

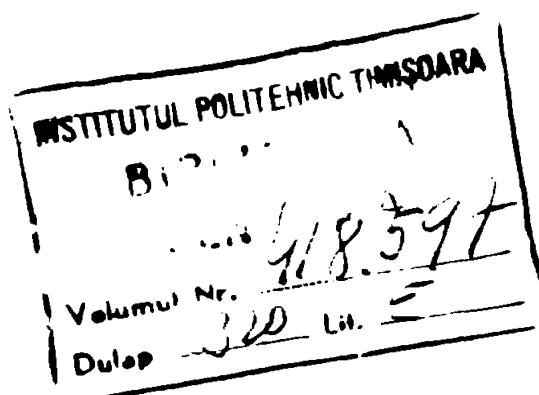
INSTITUTUL POLITEHNIC „TRAIAN VUIA” TIMIȘOARA
Facultatea de mecanică

Ing. VIOREL DIMITRIE CRISTEA

CONTRIBUȚII LA CERCETAREA
TEORETICA ȘI EXPERIMENTALĂ
A FRÍNELOR HIDRAULICE

Teză pentru obținerea titlului de
DOCTOR INGINER

BIBLIOTECĂ CENTRALĂ
UNIVERSITATEA “POLITEHNICA”
TIMIȘOARA



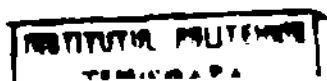
CONDUCATOR ȘTIINȚIFIC
Acad. Prof. Dr. Doc. Ing. IOAN ANTON

1979

C U P R I N S

	<u>Pag.</u>
1.- INTRODUCERE. CONSIDERATII GENERALE	3
1.1. Prezentarea generală a problemei	3
1.2. Problemele actuale ale frînelor hidraulice	5
1.3. Necesitatea abordării problemei frînelor hidraulice	7
2.- N O T A T I I	10
3.- RELATII TEORETICE ALE FRINELOR HIDRAULICE	15
3.1. Relațiile caracteristice generale ale frînelor hidraulice cu palete inclinate	15
3.2. Determinarea analitică a coeficien- tului capacitatei de moment a frî- nei k_m și influența diferenților parametri asupra sa	38
3.3. Relațiile caracteristice ale frînelor hidraulice cu palete în unghiu drept	60
3.4. Relații de asemănare, constante, func- ții caracteristice, coeficienți și parametri de bază în studiul frînelor hidraulice	70
4.- ANALIZA UNOR CONSTRUCTII DE FRINE HIDRO- DINAMICE REALIZATE IN STRAINATATE	89
5.- INCERCARI EXPERIMENTALE LA FRINA HIDRAU- LICA FH 200	97
5.1. Frîna hidraulică model experimental la scară redusă FH 200	98
5.2. Stațiunea pentru încercarea frînei hidraulice model experimental la sca- ră redusă FH 200 și metodologia încer- cărilor	102

5.3. Rezultatele încercărilor experimentale ale frânei hidraulice model FH 200	105
5.4. Concluzii privind încercările efectuate	126
6.- CALCULUL SI PROIECTAREA FRINELOR HIDRAULICE	124
7.- ANALIZA TEHNICO-ECONOMICA A CONSTRUC- TILOR DE FRINE HIDRAULICE	136
8.- CONCLUZII GENERALE	144
Anexă : Exemplu de calcul	144
BIBLIOGRAFIE	160



1. INTRODUCERE CONSIDERATII GENERALE.

1.1. PREZENTAREA GENERALA A PROBLEMEI.

Frânele hidraulice - mașini rotative care permit realizarea unui moment rezistent datorită mișcării unui rotor în interiorul unei camere în care se află un fluid de lucru - sunt cunoscute ca atare în 1877, anul în care Froude a publicat descrierea invenției sale. Mișcarea de rotație a rotorului de formă de natură să accentueze frecarea și tulburanța, dă naștere în interiorul fluidului ușor curenți turbionari care produc momentul rezistent, influențat de cantitatea de fluid aflată în camera frânei.

Modul de funcționare descris, justifică denumirea din limba germană "Flüssigkeitswirbelbremse" și utilizarea în limba română a termenului de frâna hidraulică turbionară.

Se pot deosebi frâne hidraulice turbionare de tip disc (ca rotor neted cu nervuri, găuri sau șifturi pe fețele laterale), de tip cu bolțuri (situate pe suprafața cilindrică a rotorului) și de tip hidrodinamic la care momentul rezistent este realizat în principal prin circulația fluidului în circuitul rotor-stator, datorită efectului de pompare a rotorului.

Frânele hidrodinamice sunt utilizate fie pentru încercarea unor mașini motoare (turbine cu abur, cu gaze, motoare cu ardere internă etc.) denumite în acest caz frâne dinamometrice, fie pentru frânarea controlată și încetinirea mișcării la mașini de ridicat, trolii de foraj și intervenție, mașini de construcție și autovehicole rutiere sau de cale ferată.

Ca evoluție în timp, frânele hidrodinamice s-au apropiat tot mai mult, în ceea ce privește forma circuitului hidraulic, de turboambreiajele hidraulice evoluție ilustrată în fig.1.1 în care este prezentată o frână hidraulică de construcție veche și fig.1.2 în care este prezentată o frână hidraulică de construcție recentă.

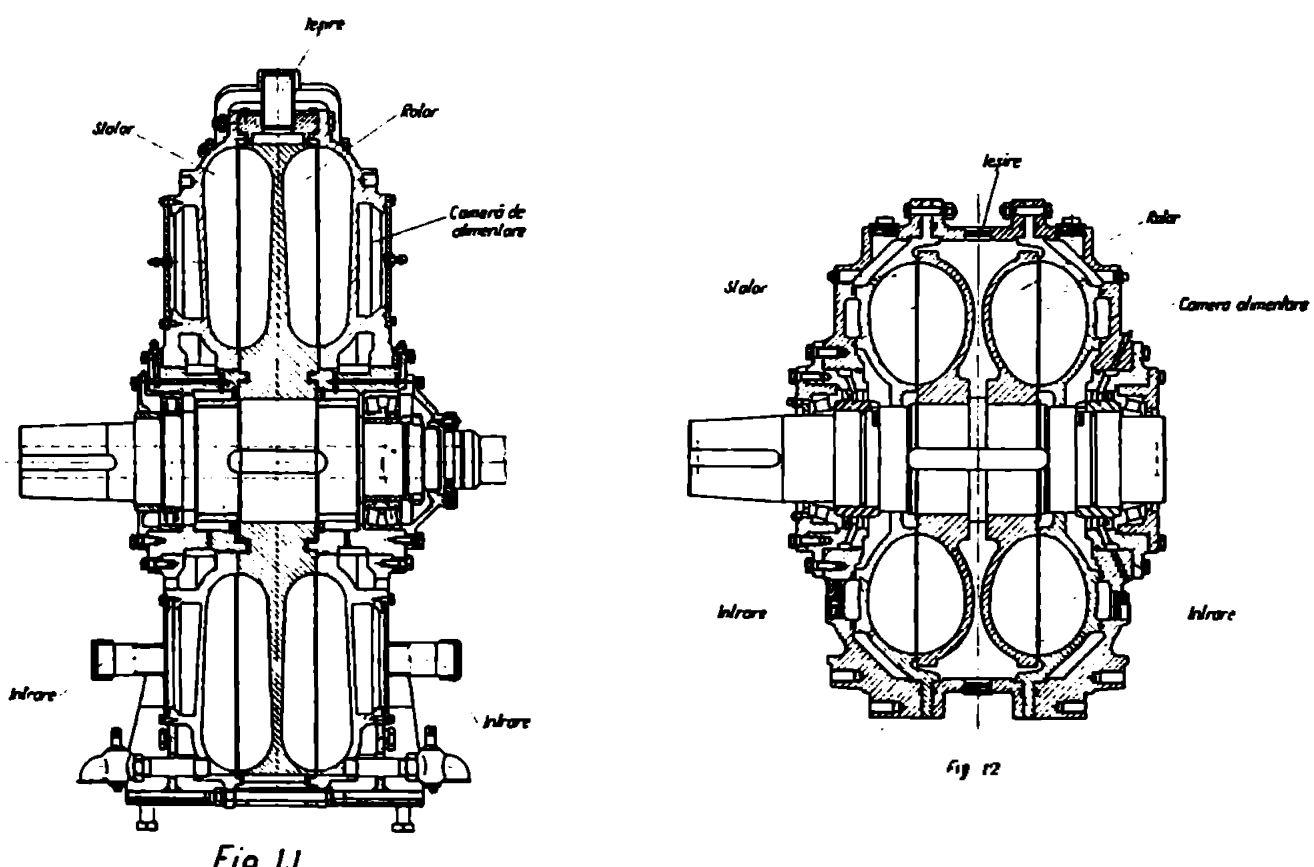


Fig. 1.1

Fig. 1.2

În afara asemănării ca formă a circuitului hidraulic, din punct de vedere funcțional frâna hidrodinamică reprezintă un turboambreiaj la care rotorul turbină este imobilizat, constituind statorul frânei.

Ca și în cazul turboambreiajelor performanțele frânelor hidrodinamice pot fi caracterizate prin coeficientul capacitatii de momen-

$$k_{mf} = \frac{M_{fh}}{D^5 n^2} \quad (1.1)$$

1.2. PROBLEMELE ACTUALE ALE FRINELOR HIDRAULICE

In ultimii 15 ani pe plan mondial au apărut numeroase construcții de frâne hidrodinamice caracterizate prin performanțe mai ridicate și destinate unor domenii noi de utilizare.

Astfel pentru tramele de foraj și intervenție a apărut o familie nouă de frâne hidraulice, cu un număr de tipuri dimensiuni în creștere an de an, caracterizate prin performanțe de catalog superioare, realizate de PARMAC INC firma cea mai reputată în acest domeniu din SUA, care detine în mod practic monopolul pieței americane pentru aceste produse.

Au apărut de asemenea familiile complete de frâne dinamometrice de tip hidrodinamic cum sunt cele produse de firmele SCHENCK și ZÖLNER din RFG.

Pentru autovehicole rutiere și feroviare sunt cunoscute frâne hidraulice realizate de firmele VOITH și ALFRED TEVES din RFG precum și de firme din SUA ca EATON MANUFACTURING CO.

Toate aceste realizări sunt analizate în ceea ce privește performanțele, în limitele datelor cunoscute, în capitolul 4 al lucrării.

Această dezvoltare tehnică nu este însă susținută și reflectată pe plan mondial de o literatură tehnică capabilă să prezinte realizările obținute și să le fundamenteze teoretic.

Singurele lucrări cunoscute consacrate integral frânelor hidraulice [20], [21], publicate în limba rusă, deși sunt întinse ca volum, nu încearcă să stabilească relații fundamentale, nu scot în evidență parametrii caracteristici ai frânelor hidraulice și nu indică o metodă de

proiectare de natură să conducă la realizarea unor frâne cu performanțe superioare.

In unele din numeroasele lucrări consacrate transmisiilor hidraulice și în special turboambreiajelor, există capitole foarte restrinse referitoare la frâne hidraulice, dar acestea nu încearcă să stabilească modul de particularizare a relațiilor fundamentale stabilite, nu analizează în amănunt funcționarea în regim de frânare și nu arată prin ce se diferențiază frânele hidraulice de turboambreiaje. Totuși metodologia adoptată în unele lucrări ca [51] și [56] este utilă pentru stadiul frinelor hidraulice.

In unele din articolele mai întinse consacrate frinelor hidraulice ca [31] deși se scot în evidență o serie de parametri și factori care influențează performanțele acestora totuși se ajunge la concluzii simpliste ca "... un calcul analitic al frinelor hidrodinamice nu a reușit pînă azi..." sau "Toate datele experimentale sunt cuprinse sumar în coeficientul capacitatei de moment k_{mf} ". Avînd determinat acest coeficient pentru o anumită construcție este posibil pe baza legilor asemănării să fie realizate frâne hidraulice noi mai mari sau mai mici avînd același coeficient k_{mf} ".

O încercare sistematică de a stabili o expresie analitică a coeficientului capacitatei de moment k_{mf} pornind de la ecuațiile fundamentale ale frinelor hidraulice a fost efectuată în [40]. In articolul citat sunt scoși în evidență principaliii factori care influențează acest coeficient, se prezintă influența fiecărui din factori, în urma prelucrării datelor rezultate pe calculator. Totuși analiza efectuată nu se bazează pe interpretarea unor date experimentale proprii sau rezultate de la construcții de frâne realizate.

Cele arătate justifică necesitatea unei cercetări teoretice și experimentale a frînelor hidraulice.

1.3. NECESITATEA ABORDARII PROBLEMEI.

FRINELOR HIDRAULICE.

Directivele Congresului al XI-lea al PCR prevăd că producția de utilaje tehnologice să fie orientată spre asigurarea echipamentelor necesare înfăptuirii programului de investiții și dezvoltării acțiunilor de cooperare cu alte țări și ca în cadrul acestei orientări, producția de instalații de foraj să cunoască o dezvoltare mai rapidă.

De asemenea conform directivelor Congresului al XI-lea al PCR "Activitatea de cercetare și de introducere a progresului tehnic este orientată cu prioritate între altele spre crearea de mașini, utilaje și instalații noi pentru susținerea introducerii și difuzării largi a progresului tehnic și a tehnologiilor avansate care să conducă la valorificarea superioară a tuturor categoriilor de resurse naturale la reducerea consumurilor specifice și creșterea generalizată a eficienței".

Aceste orientări trasate de documentele Congresului al XI-lea al PCR au stat la baza dezvoltării construcției de utilaj petrolier din țara noastră. În cadrul acestei dezvoltări, ținând seama și de evoluția semnalată pe plan mondial în realizarea de frîne hidraulice cu performanțe mult superioare celor existente, s-a impus necesitatea realizării unor frîne hidraulice, de o construcție diferită de aceea a frînelor hidraulice tradiționale.

Proiectul de program directivă de cercetare științifică, dezvoltare tehnologică și de introducere a progresului tehnic în perioada 1981 - 1990 și direcțiile principale pînă

în anul 2000, care va fi supus desbaterii Congresului al XII-lea al PCR subliniază rolul hotărîtor al cercetării științifice și al dezvoltării tehnologice în creșterea susținută a eficienței economiei, în introducerea în producție de produse și tehnologii cu înalte performanțe tehnico-economice.

Proiectul de program directivă stabilește printre orientările principale în deceniul 1981 - 1990 și în perspectivă pînă în anul 2000 în industria construcțiilor de mașini și realizarea de instalații de foraj și de exploatarea zăcămintelor de petrol și gaze pentru mari adâncimi în cadrul cărora se integrează și frînele hidraulice cu performanțe superioare.

Pentru realizarea acestor frîne hidraulice s-au putut afla în literatura tehnică de specialitate foarte puține date. Această situație a făcut necesară elaborarea unor studii teoretice, efectuarea unor cercetări experimentale și stabilirea pe baza acestora a unei metodologii de proiectare. Acesta a fost de fapt, obiectul propus în această lucrare.

x

x x

În elaborarea lucrării am primit în permanentă îndrumări și sugestii de o înaltă competență științifică din partea conducătorului științific, academician Ioan Anton, care m-au ajutat la elaborarea relațiilor teoretice și la orientarea cercetărilor experimentale.

Autorul amintește cu recunoștință de profesorul Bîr, Lazar Aurel fondatorul școlii de mașini hidraulice de la Institutul Politehnic Timișoara care i-a îndrumat primii pasi în cercetarea masinilor hidraulice.

In activitatea depusă, autorul a primit sprijinul conducerii Institutului de Cercetare Stiințifică și Inginerie Tehnologică pentru Utilaj Petrolier și Minier - IPCUP în care și desfășoară activitatea de 25 ani, și în mod deosebit din partea directorului acestuia, ing. Mihăilescu Alcibiade.

Realizarea modelului experimental și a unei noi familii de frâne hidraulice de mare capacitate au fost sprijinite de asemenea de conducerea Intreprinderii Constructoare de Utilaj Petrolier "I. MAI" Ploiești, de directorul acesteia ing. Teodorrescu Stelian și de conducerea Centralei Industriale de Utilaj Petrolier și Minier - CIUPM Ploiești, de directorul tehnic ing. Niculescu Atanase.

În rezolvarea diferitelor probleme întâlnite pe parcursul lucrării am întâlnit înțelegere, spirit de colaborare și ajutor din partea colegilor din IPCUP în frunte cu directorul tehnic ing. Rădulescu Alexandru.

În experimentările efectuate un important ajutor a fost primit din partea colegilor din cadrul Catedrei de Mașini Hidraulice și a Laboratorului de Cercetări pentru Mașini hidraulice a Institutului Politehnic "Traian Vuia" Timișoara și în mod deosebit din partea șef de lucrări ing. Bârgăluțan Mircea.

Totuși acelora care l-au ajutat și sprijinit autorul le exprimă pe această cale gratitudine și sincere mulțumiri.

x

x

x

Desejăt lucrarea nu epuizează problemele legate de cercetarea teoretică și experimentală a frânelor hidraulice dar sper că rezultatele obținute vor putea fi apreciate ca o contribuție valoroasă în realizarea frânelor hidraulice cu performanțe ridicate.

2. NOTAȚII

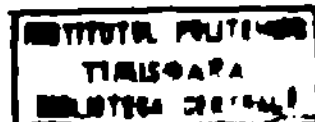
In scopul urmăririi mai ușoare a lucrării, notațiile folosite sunt indicate în continuare, în ordine alfabetică.

Pe lîngă denumire s-a trecut și prima relație în care intervine mărimea respectivă.

α	Semiaxa mare a elipsei torului circuitului hidraulic (3.1.23)
A, A'	Secțiunea efectivă, ^{respectiv} fără a ține seama de prezența paletelor a coroanei circulare de raze R_c și R_i (3.1).
A_c	Secțiunea de intrare a unui canal dintre palete (3.1.68)
A_p	Suprafața udată totală a paletelor (ambele fețe) (3.1.74)
A_{tor}	Suprafața udată interioară a torului circuitului hidraulic (rotor și stator) (3.1.74)
A_1, A_2	Secțiunea efectivă de intrare respectiv ieșire din rotor (3.1.12), (3.1.13).
A'_1, A'_2	Secțiunea de intrare respectiv ieșire din rotor, fără a ține seama de prezența paletelor (3.1.30)
b	Semiaxa mică a elipsei torului circuitului hidraulic (3.1.23).
B_1, B_2	Inălțimea secțiunii de intrare respectiv ieșire din rotor (3.1.12), (3.1.13).
D	Diametrul exterior al rotorului (diametrul activ) (1.1).
D_i	Diametrul interior al rotorului (3.1.15)
D_1, D_2	Diametrul firului echivalent la intrarea respectiv ieșirea din rotor (3.1.3)

g	Acceleratia gravitatii (3.1.3)
H_{PF}	Pierderile de sarcina prin frotare in circuitul hidraulic al frinei (3.1.42).
H_{Rth}	Inaltimea de pompare a rotorului frinei (3.1.3)
H_{SC}	Pierderile de sarcina prin soc in circuitul hidraulic al frinei (3.1.42).
H_{SCR}	Pierderea de sarcina prin soc la intrarea in rotor (3.1.43).
H_{SCS}	Pierderea de sarcina prin soc la intarea in stator (3.1.44).
i	Raportul turatiilor turbină / pompă la turbosabreiaje (3.3.51)
K	Constanta $\frac{g}{\rho} Q/D^3 n$ (5.4)
k_H, k_Q, k_P	Rapoarte constante pentru bompe asemenea, pentru sarcina, debit si putere (3.4.1), (3.4.2), (3.4.3)
k_{mf}	Coefficientul capacitatii de moment a frinei simple (cu un singur circuit hidraulic) (1.1)
k_{uR}	Coefficientul vitezei tangentiale (3.4.18).
k_v	Coefficientul vitezelor (raportul u_{R_2}/v_{m_0}) (3.1.16).
k_{vm}	Coefficientul componentei meridionale a vitezei absolute (3.4.19).
L_i	Lungimea unei conducte (3.1.65).
L_m	Lungimea firului mijlociu (3.1.68).
$M_{fh} (M)$	Momentul de frinare realizat de frină (1.1)
n	Turata rotorului frinei (1.1)
n_s	Turata specifică (3.4.12)
$(n_s)^*$	Turata specifică adimensională (3.4.15).
$n_{..}$	Turata mașinii asemenea cu diametrul și sarcina, egale cu unitatea (3.4.4)

P_{fh} (P)	Puterea (3.4.3)
p_0	Presiunea lichidului de alimentare a frânei.
Q	Debitul de circulație în frână (3.1.4)
q_b	Raportul B_2/R_e (3.1.25)
q_{ie}	Raportul R_i/R_e (3.1.16)
q_{12}	Raportul R_1/R_2 (3.1.24)
q_{2e}	Raportul R_2/R_e (3.1.26)
Q_{11}	Debitul mașinii asemenea cu diametrul și sarcina egală cu unitatea (3.4.5)
R_e, R_i	Raza exterioară respectiv interioară a rotorului (3.1.15)
Re	Numărul Reynolds (3.4.57).
R_m	Raza medie (3.1.15)
R_1, R_2	Raza firului mijlociu la intrarea respectiv ieșirea din rotor (3.1.3)
s	Grosimea paletei (3.1.32)
s'	Grosimea paletei în planul frontal (3.1.34).
S_p	Conturul unei palete la intersecția cu suprafața interioară a torului circuitului hidraulic al rotorului sau statorului (3.1.76).
u_{R_1}, u_{R_2}	Viteza tangențială la intrarea respectiv ieșirea din rotor (3.1.45) și (3.1.7).
$v_{m_0}, v_{m_2}, v_{m_3}$	Componenta meridională a vitezei absolute la intrarea respectiv ieșirea din rotor, în punctele 0,2 și 3 (3.1.11).
v'_{m_3}	Componenta meridională a vitezei absolute la ieșirea din rotor în punctul 3 fără a se ține seama de prezența paletelor (3.1.41).
r_{R_1}, r_{R_2}	Viteza absolută la intrarea în rotor în punctul 1 și 0 (3.1.1).



v_{R_2} , v_{R_3}	Viteza absolută la ieșirea din rotor în punctele 2 și 3 (3.1.1).
v_s , v_{s_0}	Viteza la intrarea în stator în punctele 1 și 0 (3.1.2).
v_{s_2} , v_{s_3}	Viteza la ieșirea din stator în punctele 2 și 3 (3.1.1).
v_{scs} , v_{sce}	Componenta de soc a vitezei la intrarea în rotor respectiv stator (3.1.1), (3.1.2).
v_{uR_0} , v_{uR_2} , v_{uR_3}	Componenta tangențială a vitezei absolute la intrarea respectiv ieșirea din rotor în punctele 0, 2 și 3 (3.1.3), (3.1.5).
v_{us_2} , v_{us_3}	Componenta tangențială a vitezei la ieșirea din stator în punctele 2 și 3 (3.1.8).
w_{R_1} , w_{R_2}	Viteza relativă la intrarea respectiv ieșirea din rotor (3.1.7).
w_{uR_1} , w_{uR_2} , w_{uR_3}	Componenta tangențială a vitezei relative la intrarea respectiv ieșirea din rotor în punctele 1, 2 și 3 (3.1.7), (3.1.8).
γ_R , γ_s	Coefficienți caracterizând pierderile datorită numărului finit de palete (3.1.5).
Z_R , Z_s	Numărul paletelor rotorului respectiv statorului (3.1.4o).
Z	Numărul mediu al paletelor (3.1.32).
α'_{s_1} , α'_{s_2}	Unghiul paletelor statorului la intrare respectiv ieșire (3.1.8).
α'_{s_0}	Unghiul vitezei v la intrarea în stator în punctul 0 (fig.3.1.3).
α'_{s_3}	Unghiul vitezei v la ieșirea din stator în punctul 3 (fig.3.1.3).
β	Raportul b/R_c (3.1.23)

β'_{R2}, β'_{R1}	Unghiul paletelor rotorului la ieșire respectiv intrare (3.1.7).
β'_{R3}, β'_{R0}	Unghiul vitezei absolute la ieșirea respectiv intrarea în rotor în punctele 3 și 0 (fig.3.1.3)
δ	Greutatea specifică a lichidului utilizat în frână (3.1.4).
G	Coefficientul global al pierderilor prin frână (3.1.66).
η, η_v, η_m	Randament hidraulic, volumetric și mecanic (3.4.1), (3.4.2), (3.4.3).
α	Coefficientul capacitatii de moment (3.3.31).
λ	Coefficientul pierderilor prin frecare longitudinală (3.1.65).
λ_R	Coefficientul pierderilor prin frecare (5.1).
ν	Viscozitatea cinematică (3.4.57).
ξ	Coefficientul de pierdere de sarcină locală (3.1.65)
σ	Raportul s/ρ_e (3.1.35).
σ'	Raportul s'/ρ_e (3.1.36).
δ_1, δ_2	Coefficienți de obstrucție ai secțiunii de intrare, ieșire datorită prezenței paletelor (3.1.12), (3.1.13).
γ	Coefficient de formă (3.1.71).
φ	Raportul w_2/u_2 (5.1)
φ_{sc}	Coefficient de soc (3.1.59)
$\varphi_{scr}, \varphi_{scs}$	Coefficient de soc la intrarea în rotor respectiv în stator (3.1.43), (3.1.44).

3. RELATIILE TEORETICE ALE FRINELOR HIDRAULICE

3.1. RELATIILE CARACTERISTICE GENERALE ALE FRINELOR HIDRAULICE CU PALETE INCLINATE.

3.1.1. Ecuatiile fundamentale ale frinelor hidraulice.

Se consideră frîna hidraulică simplă constituită în esență dintr-un rotor și un stator, ambii prevăzuți cu palete avînd înclinarea β'_{R2} , β'_{R1} , respectiv α'_s , α'_s (fig. 3.1.1.). Muchiile paletelor se consideră orientate radial, cauzul cel mai obișnuit. Așa cum s-a arătat anterior, frîna hidraulică simplă reprezintă de fapt un turboambreiaj la care rotorul turbină (denumit acum stator) a fost imobilizat, mișcarea de rotație fiind proprie numai rotorului pompă (denumit acum rotor). Frîna hidraulică reprezintă deci un turboambreiaj funcționînd în condiții de alunecare totală respectiv în regim de frînare $\alpha = 100\%$, $i = 0$).

Prin mișcarea de rotație a rotorului, fluidul este proiectat în acesta spre exterior și apoi deviat, trecînd din rotor în stator, unde fluidul este deviat din nou trecînd apoi în rotor. Mișcarea se repetă în continuare de-a-lungul aceluiași circuit.

In fig. 3.1.2.a sunt indicate la rotor respectiv stator punctele 0, 1, 2, 3, ale firului de lichid echivalent, caracteristice mișcării lichidului și transmiterii de energie, după cum urmează.

0. la intrarea în rețeaua paletelor
1. după intrarea în rețeaua paletelor
2. înainte de ieșirea din rețeaua paletelor
3. la ieșirea din rețeaua paletelor.

După cum se poate observa în fig.3.1.3 unde au fost indicate vitezele absolute, relative și tangențiale în punctele considerate ale firului de lichid echivalent, la trecerea din stator în rotor, fluidul având viteza absolută v_{s2} (punctul 2 în care paletele au unghiul α'_{s2}) intră în rotorul în mișcare suferind un şoc, caracterizat prin componenta v_{scs} . La intrarea în rotor (punctul 1) mișcarea fluidului este caracterizată prin viteza absolută v_{e1} , viteza relativă w_{R1} , viteza tangențială w_{e1} , paletele având unghiul β'_{e1} .

La ieșirea din rotor (punctul 2) fluidul având viteza absolută v_{R2} , viteza relativă w_{R2} (unghiul paletelor β'_{R2}) viteza tangențială w_{e2} , trece în stator unde suferă şocul caracterizat prin componenta v_{scs} în aşa fel că se stabileşte viteza absolută v_{s1} din punctul 1 (unghiul paletelor α'_{s1}).

La trecerea din stator în rotor și din rotor în stator pierderile prin şoc sunt importante și conduc la o tulburare ridicată.

La intrarea în rotor componenta de şoc \bar{v}_{SCR} este definită prin relația :

$$\bar{v}_{SCR} = \bar{v}_{R_0} - \bar{v}_{R_1} = \bar{v}_{s_3} - \bar{v}_{R_1} \quad (3.1.1.)$$

iar la intrarea în stator componenta de şoc \bar{v}_{SCS} este definită prin relația :

$$\bar{v}_{SCS} = \bar{v}_{s_0} - \bar{v}_{s_1} = \bar{v}_{R_3} - \bar{v}_{s_1} \quad (3.1.2.)$$

Corespunzător celor indicate anterior se pot trasa triunghiurile vitezelor la intrarea și ieșirea din rotor (fig. 3.1.2.b).

După cum este cunoscut, din relația lui Euler scri să pentru înălțimea de pompare a rotorului :

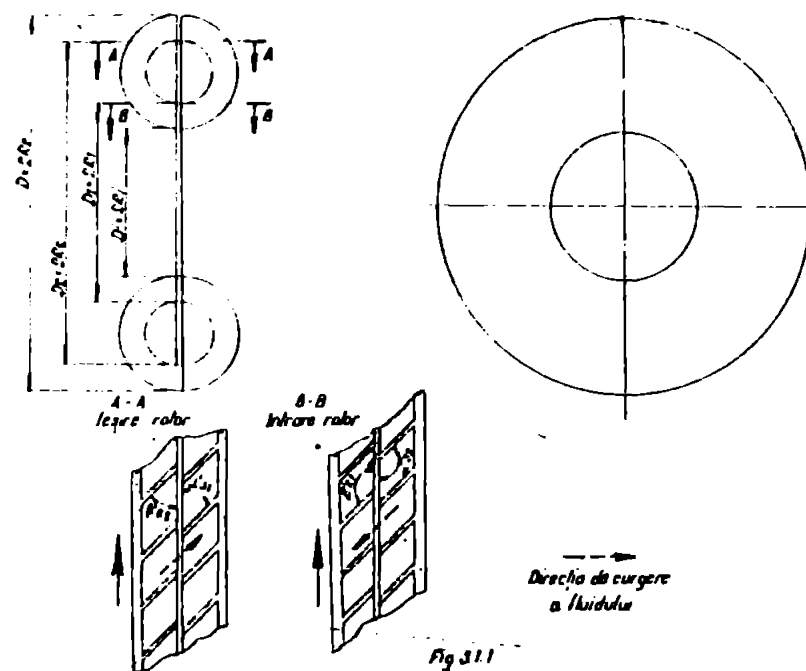


Fig. 31.1

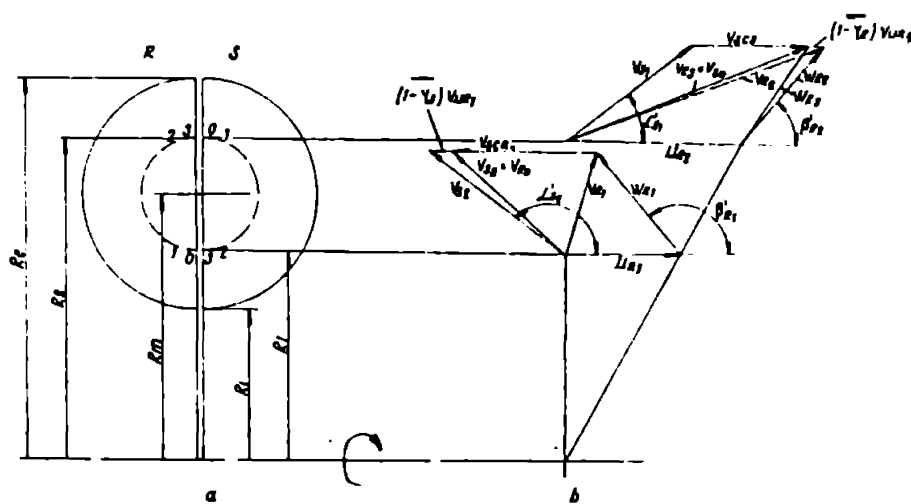


Fig. 31.2

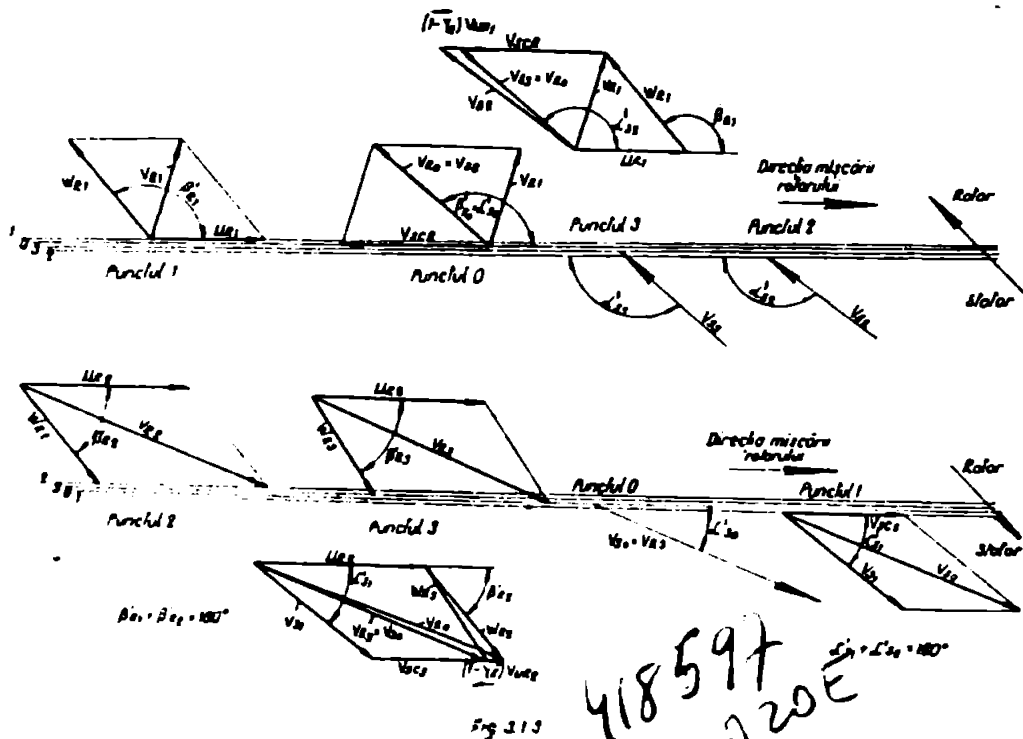


Fig. 319

$$H_{Rth} = \frac{\omega}{g} (R_2 v_{UR_3} - R_1 v_{UR_0}) \quad (3.1.3)$$

se obține momentul

$$M = \frac{Q}{g} (R_2 v_{UR_3} - R_1 v_{UR_0}) \quad (3.1.4)$$

Datorită numărului finit de palete, componentele tangențiale ale vitezei absolute scad față de valoarea aferentă unui număr infinit de palete la fel ca și sarcina realizată.

Pentru a se ține seama de influența numărului finit de palete la ieșirea din rotor, respectiv din stator, se introduc coeficienții γ_R respectiv γ_S . Acești coeficienți scot în evidență faptul că la trecerea din punctul 2 în punctul 3 pe firul mijlociu, în rotor, pierderea datorită numărului finit de palete este caracterizată la componenta tangențială a vitezei absolute v_{UR_2} prin micșorarea acesteia cu mărimea $(1 - \gamma_R) v_{UR_2}$. Componenta tangențială a vitezei absolute în cazul numărului finit de palete este deci $\gamma_R v_{UR_2} = v_{UR_3}$ la ieșirea din rotor.

In mod similar la ieșirea din stator respectiv la intrarea în rotor a fluidului, având viteza $v_{S_3} = v_{R_0}$, apare, datorită numărului finit de palete, o pierdere caracterizată prin micșorarea componentei tangențiale a vitezei absolute v_{S_2} dată de $(1 - \gamma_S) v_{US_2}$. La ieșirea din stator componenta tangențială a vitezei absolute în cazul numărului finit de palete este deci $v_{US_3} = \gamma_S v_{US_2} = v_{UR_0}$.

Modificarea componentei tangențiale a vitezei absolute datorită numărului finit de palete este asociată și cu modificarea unghiurilor β'_{R_2} în β'_{R_3} respectiv α'_{S_2} în α'_{S_3} (fig.3.1.2 și 3.1.3).

La intrarea în rotor (punctul R0) și în stator

(punctul S0) respectiv la ieșirea din rotor (punctul R3) și stator (punctul S3) are loc o variație a componentei meridionale a vitezei absolute, lucru pus în evidență în fig.3.1.4.a și 3.1.4.b. Astfel la intrarea în rotor datorită prezenței paletelor, componenta meridională a vitezei absolute variază de la v_{m_3}' valoare corespunzătoare spațiului cuprins între punctele S3, RO la v_{m_2} corespunzătoare punctelor RO, R1.

La ieșirea din rotor, datorită prezenței paletelor, componenta meridională a vitezei absolute variază de la $v_{m_2} \cdot v_{m_3}'$ la valoarea v_{m_3}' corespunzătoare spațiului cuprins între punctele R3 și S0.

Trecerea de la valorile v_{m_2} la valorile v_{m_3}' are loc fără modificarea componentelor tangențiale ale vitezelor.

Relațiile (3.1.3) și (3.1.4), ținînd seama de considerațiile anterioare, iau forma :

$$H_{Rth} = \frac{\omega}{g} (Y_R R_2 v_{ur_2} - Y_s R_1 v_{us_2}) \quad (3.1.5)$$

respectiv

$$M = \frac{Q\delta}{g} (Y_R R_2 v_{ur_2} - Y_s R_1 v_{us_2}) \quad (3.1.6)$$

Din triunghiurile de viteze (fig.3.1.2) rezultă că

$$v_{ur_2} = u_{r_2} + \omega_{r_2} \cos \beta'_{r_2} \quad (3.1.7)$$

$$v_{us_2} = v_{s_2} \cos \alpha'_{s_2} \quad (3.1.8)$$

ceea ce face ca relațiile (3.1.5) respectiv (3.1.6) să ia forma

$$H_{Rth} = \frac{\omega}{g} [Y_R R_2 (u_{r_2} + \omega_{r_2} \cos \beta'_{r_2}) - Y_s R_1 v_{s_2} \cos \alpha'_{s_2}] \quad (3.1.9)$$

$$M = \frac{QY}{g} \left[Y_R R_2 (U_{R_2} + U_{R_2} \cos \beta_{R_2}) - Y_s R_s \cos \alpha_{S_2} \right] \quad (3.1.10)$$

3.1.2. Relații geometrice generale ale circuitului hidraulic.

Razele R_2 și R_s , care caracterizează firul echivalent de lichid, presupuse identice pentru rotor și stator, precum și alte relații pentru mărimile geometrice, care caracterizează circuitul hidraulic al frânei, se determină pornind de la egalitatea componentelor meridionale ale vitezelor absolute în punctele 1 și 2, la intrarea și ieșirea din rotor. Această egalitate permite să se scrie, ținând seama de continuitatea debitului,

$$v_{m_1} A_1 = v_{m_2} A_2 \quad (3.1.11)$$

unde (fig. 3.1.5)

$$A_1 = 2\pi R_s B_s \sigma_s \quad (3.1.12)$$

este secțiunea efectivă la intrarea în rotor, iar

$$A_2 = 2\pi R_2 B_2 \sigma_2 \quad (3.1.13)$$

este secțiunea efectivă la ieșirea din rotor.

Din egalitatea secțiunilor $A_1 = A_2$ ca urmare a egalității componentelor meridionale ale vitezelor absolute, presupunând coeficienții de obstrucție egali ($\sigma_s = \sigma_2$) rezultă

$$R_s B_s = R_2 B_2 \frac{\sigma_2}{\sigma_s} \cong R_2 B_2 \quad (3.1.14)$$

Se poate deci scrie, evident fără a se ține seama de prezența paletelor,

$$A_1' = \pi (R_e^2 - R_m^2) = A_2' = \pi (R_m^2 - R_s^2) \quad (3.1.15)$$

Această egalitate permite să se stabilească o serie de relații geometrice caracteristice circuitului hidraulic al rotorului respectiv statorului.

Notând

$$\varrho_{ie} = \frac{R_i}{R_e} \quad (3.1.16)$$

rezultă

$$R_m = R_e \sqrt{\frac{1 + \varrho_{ie}^2}{2}} \quad (3.1.17)$$

Cunoscând pe R_m se obține

$$\therefore R_2 = \frac{R_e + R_m}{2} \quad (3.1.18)$$

$$R_2 = \frac{R_e}{2} \left(1 + \sqrt{\frac{1 + \varrho_{ie}^2}{2}} \right) \quad (3.1.19)$$

$$R_1 = \frac{R_m + R_i}{2} \quad (3.1.20)$$

$$R_1 = \frac{R_e}{2} \left(\varrho_{ie} + \sqrt{\frac{1 + \varrho_{ie}^2}{2}} \right) \quad (3.1.21)$$

$$B_2 = R_e - R_m$$

$$B_2 = R_e \cdot \left(1 - \sqrt{\frac{1 + \varrho_{ie}^2}{2}} \right) \quad (3.1.22)$$

$$B_1 = R_m - R_i$$

$$B_1 = R_e \left(\sqrt{\frac{1 + \varrho_{ie}^2}{2}} - \varrho_{ie} \right) \quad (3.1.23)$$

Se pot determina și măsurile ajutătoare Q_{12} ; Q_b

și Q_{2e}

$$Q_{12} = \frac{R_1}{R_2} = \frac{Q_{ie} + \sqrt{\frac{1+Q_{ie}^2}{2}}}{1 + \sqrt{\frac{1+Q_{ie}^2}{2}}} \quad (3.1.24)$$

$$Q_b = \frac{B_2}{R_2} = \frac{2(1 - \sqrt{\frac{1+Q_{ie}^2}{2}})}{1 + \sqrt{\frac{1+Q_{ie}^2}{2}}} \quad (3.1.25)$$

și

$$Q_{2e} = \frac{R_2}{R_e} = \frac{1}{2} \left(1 + \sqrt{\frac{1+Q_{ie}^2}{2}} \right) \quad (3.1.26)$$

Modul de determinare a razelor R_2 și R_i ale firului de fluid echivalent nu este singurul utilizat. Spre deosebire de autorii care folosesc relațiile identice cu (3.1.8) și (3.1.20) și anume /56/, /28/, /1/, în /40/ se utilizează pentru determinarea rezelor R_2 , R_i relațiiile

$$R_m = \frac{R_2 + R_i}{2}$$

$$R_2^2 = \frac{R_e^2 + R_m^2}{2} \quad (3.1.27)$$

$$R_i^2 = \frac{R_i^2 + R_m^2}{2} \quad (3.1.28)$$

In aceste condiții în locul relației (3.1.24) apare dă legătura dintre rapoartele Q_{ie} și Q_{12} /40/ indică o relație între acestea de tipul

$$Q_{ie}^2 = \frac{8Q_{12}^2 - (1+Q_{12}^2)}{8 - (1+Q_{12}^2)} \quad (3.1.29)$$

In fig.3.1.6 s-au reprezentat grafic curbele $\varrho_{r2} = f(\varrho_{ie})$ corespunzător relațiilor (3.1.24) respectiv (3.1.29). Se observă că valorile rezultate pentru ϱ_{r2} în ipoteza unei valori ϱ_{ie} date sunt destul de apropiate.

Secțiunile A_1' și A_2' se pot exprima, fără a se ține seama de prezența paletelor ca fiind jumătate din secțiunea A' a coroanei circulare de raze R_e și R_i :

$$A_1' = A_2' = \frac{A'}{2} = \pi (R_e^2 - R_i^2) \quad (3.1.30)$$

astfel că, ținând seama de relația (3.1.15)

$$A_1' = A_2' = \frac{\pi}{2} R_e^2 (1 - \varrho_{ie}^2) \quad (3.1.31)$$

Secțiunile efective A_1 și A_2 la intrarea respectiv ieșirea din rotor ținând seama de prezența paletelor, se obțin din relațiile

$$A_1 = \pi (R_m^2 - R_i^2) - (R_m - R_i) s' Z \quad (3.1.32)$$

și

$$A_2 = \pi (R_e^2 - R_m^2) - (R_e - R_m) s' Z \quad (3.1.33)$$

unde Z este numărul paletelor iar s' reprezintă grosimea paletei în planul frontal. Pentru inclinarea β_{R2}' a paletei, de grosime s

$$s' = \frac{s}{\cos \beta_{R2}} \quad (3.1.34)$$

Grosimile s' și s se pot exprima în funcție de R_e

$$s = G R_e \quad (3.1.35)$$

$$s' = G' R_e \quad (3.1.36)$$

Secțiunile A_1 și A_2 se pot exprima și în acest caz ca fiind jumătate din secțiunea A a coroanei circulare de raze R_e și R_i :

$$A_1 = A_2 = \frac{A}{2}$$

astfel

$$A_1 = A_2 = \frac{\pi}{2} (R_e^2 - R_i^2) - \frac{R_e - R_i}{2} \sigma' Z \quad (3.1.37)$$

Relația (3.1.37) devine ținând seama de (3.1.16) și (3.1.36)

$$A_2 = \frac{\pi}{2} R_e^2 (1 - \varrho_{ie}) / (1 + \varrho_{ie} - \frac{Z\sigma'}{\pi}) \quad (3.1.38)$$

Evident în cazul paletelor în unghiu drept ($\beta'_{R2} = \beta'_{R1} = 90^\circ$)

$$A_2 = \frac{\pi}{2} R_e^2 (1 - \varrho_{ie}) / (1 + \varrho_{ie} - \frac{Z\sigma'}{\pi}) \quad (3.1.39)$$

Este de remarcat că pentru raze R_e și R_i egale la rotor și stator, pentru numere de palete Z_e și Z_s diferite la stator și rotor, secțiunile de la intrarea în rotor și ieșirea din rotor nu sunt matematic egale.

Dată fiind însă diferența mică dintre Z_e și Z_s (de obicei $Z_R = Z_s + 1$) în cele ce urmează se vor considera secțiunile omoloage de la intrarea și ieșirea din rotor respectiv stator egale. În aceste condiții în relațiile care determină secțiunile se va introduce numărul mediu de palete.

$$Z = \frac{Z_e + Z_s}{2} \quad (3.1.40)$$

Revenind la fig.3.1.3.b este evident că pentru componentele meridionale ale vitezei absolute se poate scrie

relația :

$$v_{m_2} = v_{m_3} = v'_{m_3} \frac{A_2'}{A_2} \quad (3.1.41)$$

3.1.3. Bilanțul energetic al frînelor hidraulice.

Bilanțul energetic, în cazul frînelor hidraulice, se efectuează particularizînd relația cunoscută în cazul turboambreiajelor în sensul că, spre deosebire de turboambreiaje, în cazul frînelor hidraulice rotorul turbină (statorul), fiind imobil, căderea de sarcină în acesta este nulă.

Se va scrie deci în cazul frînelor hidraulice

$$H_{Rth} = H_{SC} + H_{PF} \quad (3.1.42)$$

unde H_{SC} este sarcina pierdută prin șoc la intrarea în rotor și în stator iar H_{PF} este sarcina pierdută prin frecare în canalele rotorului și statorului.

Energia pierdută prin șoc nu poate fi recuperată din punct de vedere mecanic, ea se transformă în căldură producînd încălzirea fluidului și a maselor din compoziția rotorului și statorului frînei.

Un șoc în adevăratul sens al cuvîntului nu poate fi considerat ca integral recuperabil din punct de vedere mecanic din cauza numărului finit de palete și legat de acesta de o conducere insuficientă a firelor de lichid în canalele rotorilor și statorilor.

Că urmare a acestui fapt frîngerea nu este la fel de netă pentru toate firele de lichid. Pentru a ține seama de acest fapt, în relația care dă pierderea de sarcină prin șoc se introduce un factor de șoc γ_{SC} în general subunitar.

Pierderea de sarcină prin șoc la intrarea în rotor este dată, ținînd seama de cele prezentate anterior, de relația

$$H_{SCR} = \frac{\varphi_{SCR} (v_{SCR})^2}{2g} \quad (3.1.43)$$

în care apare coeficientul de şoc la intrarea în rotor φ_{SCR}

Pierderea de sarcină prin şoc la intrarea în stator este dată în relația

$$H_{SCS} = \frac{\varphi_{SCS} (v_{SCS})^2}{2g} \quad (3.1.44)$$

unde coeficientul φ_{SCS} are aceeași semnificație ca și în cazul intrării în rotor.

Conform celor arătate anterior componenta de şoc v_{SCR} la intrarea în rotor este dată de relația (3.1.1). Considerind componentele tangențiale ale vitezelor se poate scrie succesiv

$$v_{SCR} = v_{us_3} - v_{ur_1} = v_{us_3} - (w_{ur_1} - u_{r_1})$$

$$v_{SCR} = Y_s v_{us_2} - (w_{r_1} \cos \beta'_{r_1} - u_{r_1}) \quad (3.1.45)$$

In caz că muchiile paletelor sunt radiale, ceea ce este aproape întotdeauna cazul,

$$\beta'_{r_2} = 180^\circ - \beta'_{r_1} \quad (3.1.46)$$

și

$$\alpha'_{s_2} = 180^\circ - \alpha'_{s_1} \quad (3.1.47)$$

ținând seama că

$$v_{us_2} = v_{s_2} \cos \alpha'_{s_2} \quad (3.1.48)$$

$$v_{s_2} = \frac{v_{m_2}}{\sin \alpha'_{s_1}} \quad (3.1.49)$$

$$\omega_{R1} = \frac{v_{m2}}{\sin \beta'_{R2}} \quad (3.1.50)$$

rezultă pentru $\gamma_s = 1$

$$v_{SCR} = u_{R1} + v_{m2} (\operatorname{ctg} \alpha'_{s1} - \operatorname{ctg} \beta'_{R2}) \quad (3.1.51)$$

În același mod pentru componenta de șoc v_{SCS} la intrarea în stator pornind de la relația (3.1.2) se obține, pornind de la componente tangențiale ale vitezelor

$$v_{SCS} = v_{UR3} - v_{us1} = Y_R v_{UR2} - v_{us1} \quad (3.1.52)$$

ținând seama că

$$v_{UR2} = u_{R2} + \omega_{R2} \cos \beta'_{R2} \quad (3.1.53)$$

$$\omega_{R2} = \frac{v_{m2}}{\sin \beta'_{R2}} \quad (3.1.54)$$

$$v_{s1} = \frac{v_{m2}}{\sin \alpha'_{s1}} \quad (3.1.55)$$

se obține pentru $\gamma_R = 1$.

$$v_{SCS} = u_{R2} - v_{m2} (\operatorname{ctg} \alpha'_{s1} - \operatorname{ctg} \beta'_{R2}) \quad (3.1.56)$$

Pierderea totală prin șoc va fi deci

$$H_{sc} = H_{SCR} + H_{SCS} \quad (3.1.57)$$

Tinând seama de (3.1.43) și (3.1.44) respectiv de (3.1.51) și (3.1.56) presupunând $\gamma_{scr} = \gamma_{scs} = \gamma_{sc}$ se obține

$$H_{SC} = \frac{\rho_{sc}}{2g} \left\{ \left[u_{R_1} + v_{m_2} (\operatorname{ctg} \alpha'_{s_1} - \operatorname{ctg} \beta'_{R_2}) \right]^2 + \right. \\ \left. + \left[u_{R_2} - v_{m_2} (\operatorname{ctg} \alpha'_{s_2} - \operatorname{ctg} \beta'_{R_2}) \right]^2 \right\} \quad (3.1.59)$$

Pentru o frînă hidraulică, evident, există interes ca pierderile prin soc să fie maxime.

Se observă că relația (3.1.59) care exprimă pierderea de sarcină prin soc la o frînă hidraulică reprezintă pentru valori u_{R_1} , u_{R_2} și v_{m_2} date o funcție de două variabile β'_{R_2} și α'_{s_1} .

$$H_{SC} = F(\alpha'_{s_1}, \beta'_{R_2})$$

Valoarea maximă sau minimă a acestei funcții rezultă pentru condițiile

$$\frac{\partial F}{\partial \alpha'_{s_1}} = 0 \quad \text{și} \quad \frac{\partial F}{\partial \beta'_{R_2}} = 0 \quad (3.1.60)$$

Sistemul de ecuații (3.1.60) nu conduce însă pe căle analitică la valori ale unghiurilor α'_{s_1} și β'_{R_2} aferente unor valori limită ale funcției

$$H_{SC} = F(\alpha'_{s_1}, \beta'_{R_2})$$

Se poate remarcă însă că în relația (3.1.59) care dă pierderea de sarcină prin soc, dacă α'_{s_1} devine tot mai mare față de β'_{R_2} atunci v_{scs} scade și v_{scs} crește iar dacă α'_{s_1} devine tot mai mic față de β'_{R_2} atunci v_{scs} crește și v_{scs} scade.

In aceste condiții se poate admite pentru moment indeplinită condiția.

$$\alpha'_{s_1} = \beta'_{R_2} \quad (3.1.61)$$

condiție pentru care valoarea rezultată pentru H_{sc}

$$H_{sc} = \frac{q_{sc}}{2g} (u_{R_1}^2 + u_{R_2}^2) \quad (3.1.62)$$

deși nu reprezintă un maxim, constituie totuși o valoare suficient de mare pentru pierderea prin soc. Influența mărimii $\delta = \alpha'_{s_1} - \beta'_{R_2}$ asupra pierderilor de sarcină prin soc verificată prin calcule numerice justifică admiterea condiției (3.1.61).

Tinând seama că :

$$\frac{u_{R_1}}{u_{R_2}} = \frac{R_1}{R_2} = q_{12}$$

se poate scrie

$$H_{sc} = \frac{q_{sc}}{2g} (1 + q_{12}^2) u_{R_2}^2 \quad (3.1.63)$$

Exprimând pe q_{12} conform relației (3.1.24) se mai poate scrie

$$H_{sc} = \frac{q_{sc}}{2g} \left[1 + \left(\frac{\frac{q_{ie}}{2} + \sqrt{\frac{1+q_{ie}^2}{2}}}{\frac{1}{2} + \sqrt{\frac{1+q_{ie}^2}{2}}} \right)^2 \right] u_{R_2}^2 \quad (3.1.64)$$

Pentru a stabili o relație convenabilă pentru pierderile de sarcină prin frecare se pornește de la relația generală a pierderilor prin conducte circulare

$$H_{PF} = \left(\lambda \frac{\sum L_i}{D} + \sum \xi \right) \frac{w^2}{2g} \quad (3.1.65)$$

în care termenul $\lambda \frac{\sum L_i}{D}$ exprimă pierderile de sarcină datorită rezistenței de fricare iar termenul $\sum \xi$ exprimă pierderile datorită rezistențelor locale.

In relația (3.1.65)

- λ - este coeficientul de pierdere de sarcină longitudinal
- $\sum L_i$ - lungimea totală a conductei
- D - diametrul conductei
- ξ - coeficientul de pierdere de sarcină locală

Pentru canalele circuitului hidraulic al frînei pierderile de sarcină prin frecare se exprimă prin relația

$$H_{PF} = \xi \frac{w^2}{2g} \quad (3.1.66)$$

In relația (3.1.66) apare un coefficient global al pierderilor prin frecare definit prin echivalență

$$\xi = \lambda \frac{\sum L_i}{D} + \sum \xi \quad (3.1.67)$$

Se poate remarcă faptul că ξ este un coefficient adimensional care include atât pierderile propriu-zise prin frecare cît și pierderile datorită rezistențelor locale cît și alte pierderi cum sunt cele datorate faptului că fluidul este condus de un număr de palete care nu este infinit, care nu sunt infinit de apropiate între ele și care nu au o grosime infinit de mică.

Referindu-ne la curgerea fluidului cu viteza w printr-un canal al rotorului și statorului cuprins între două palete, relația (3.1.66) se poate scrie în forma

$$H_{PF} = \lambda L_m \frac{\chi_c}{4A_c} \frac{w^2}{2g} \quad (3.1.68)$$

χ_c - perimetrul udat al unui canal

A_c - secțiunea unui canal.

Dacă în relația (3.1.68) amplificăm cu Z , numărul canalelor (paletelor) rotorului și statorului se obține

$$H_{PF} = \lambda L_m \frac{Z\chi_c}{4ZA_c} \frac{\omega^2}{2g} \quad (3.1.69)$$

respectiv

$$H_{PF} = \lambda L_m \frac{\chi}{4A_2} \frac{\omega^2}{2g} \quad (3.1.70)$$

relație în care

χ - este perimetrul udat al tuturor canalelor rotorului și statorului

A_2 - secțiunea de ieșire respectiv intrare în rotor dată de relațiile (3.1.37), (3.1.38) sau (3.1.39).

În relația (3.1.70) se introduce mărimea $\tilde{\tau}$ numită coefficient de formă și definită prin relația

$$\tilde{\tau} = \frac{L_m \chi}{4 A_2} \quad (3.1.71)$$

obținindu-se

$$H_{PF} = \lambda \tilde{\tau} \frac{\omega^2}{2g} \quad (3.1.72)$$

Evident

$$\mathcal{G} = \lambda \tilde{\tau} \quad (3.1.73)$$

Revenind la relația (3.1.71) se observă că produsul $L_m \chi$ poate fi considerat ca reprezentând suprafața

totală udată de lichid a celor Z canale ale rotorului și statorului [51]. În aceste condiții determinarea produsului $L_m \chi$ nu prezintă dificultate el putând fi exprimat prin relația

$$L_m \chi = A_P + A_{tor} \quad (3.1.74)$$

în care

A_P este suprafața totală a paletelor (ambele fețe)

A_{tor} - suprafața interioară a torului rotorului și statorului din care se scade suprafața aferentă intersecției cu paletele.

Produsul $L_m \chi$ poate fi determinat în cazul cel mai general prin planimetrarea suprafețelor respective și în anumite cazuri calculat analitic cu ajutorul unor relații geometrice.

Astfel pentru un circuit hidraulic cu dimensiunile în secțiune indicate în fig.3.1.7 în care A_{1P} reprezintă suprafața unei palete iar S_P conturul său de intersecție cu suprafața interioară a torului rotorului respectiv statorului, se obține

$$A_P = 2(Z_R + Z_s) A_{1P} = 4Z A_{1P} \quad (3.1.75)$$

și aplicând teorema lui Guldin, considerind grosimea paletelor în secțiune s' dată de relația (3.1.34).

$$A_{tor} = 2\pi \frac{R_e + R_i}{2} S_P - \frac{Z_R + Z_s}{2} s' S_P \quad (3.1.76)$$

Mărimea $\tilde{\gamma}$ rezultă din relația

$$\tilde{\gamma} = \frac{A_P + A_{tor}}{4A_2} \quad (3.1.77)$$

In relațiiile care dă pierderile de sarcină prin frecare H_{PF} se va considera $\omega = \omega_{R2}$.

Modul de determinare a suprafeței paletei în adevărată mărime se efectuează după cum se poate urmări în fig. 3.1.7.

Secțiunea prin rotor sau stator în planul care cuprinde axul de rotație este caracterizată prin razele R_o , R_1 , R_2 , R_3 , R_4 și R_5 precum și cota B determinată pe conturul secțiunii punctele 1a, 2d, 3a, 4a, 5a, 6a, 7a, 8a, 9a, 8b, 7b, 6b, 5b, 4b, 3b, 2b, 1b.

Din punctul O se duce o dreaptă înclinată la unghiul β'_{R2} de înclinare a paletelor. (În figură $\beta'_{R2} = 45^\circ$)

Deasemenea se duc la aceleași distanțe care împart cota B în aceleași părți egale segmentele I', II', III', IV' ... IX'.

Acste segmente intersectează dreapta înclinată la unghiul β'_{R2} în punctele 1', 2', 3', 4', 5', 6', 7', 8', 9'.

Cu centrul în O' se duc arcele de cerc care trece prin punctele 1', 2', 3', 4', 5', 6', 7', 8', 9' și care determină pe segmentul de dreaptă OO' punctele 1'', 2''... 9''.

Din aceste puncte se duc segmentele paralele cu dreapta OO' II'', III'', IV'', ... IX''.

In același timp se dă din punctele 1a, 2a, 3a... 9a, 8b, 7b, ... 1b dreptele orizontale care determină pe dreapta OO' punctele corespondente 1a', 2a', 3a', 4a'... 9a', 8b', 7b' ... 2b', 1b'. Din aceste puncte se duc arcele de cerc cu centrul în O' care vor intersecta dreptele parallele la OO', I'', II'', III''... IX'' în punctele 1a'', 2a'', 3a'', 4a'', 5a'' ... 9a'', 8b'' ... 2b'', 1b''. Aceste puncte determină conturul paletei în adevărată mărime.

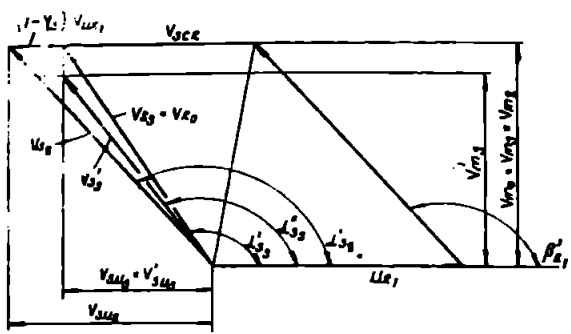


Fig 3.1.4 a

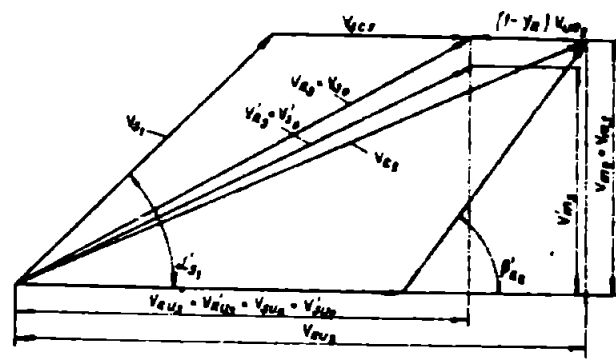


Fig 3.1.4 b

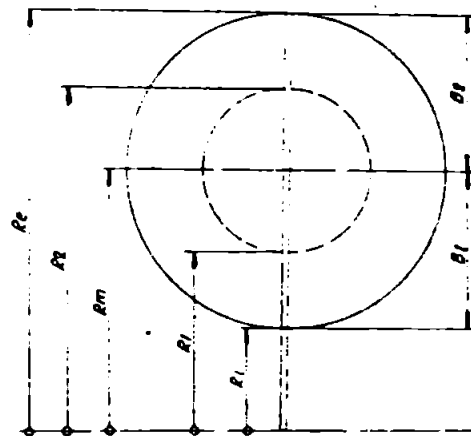


Fig 3.1.5

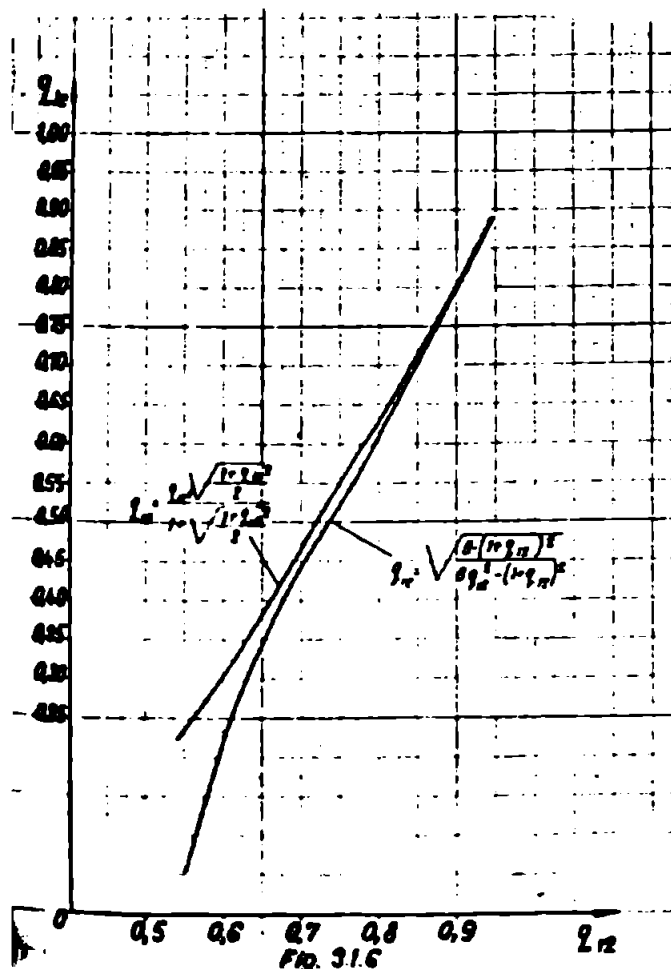
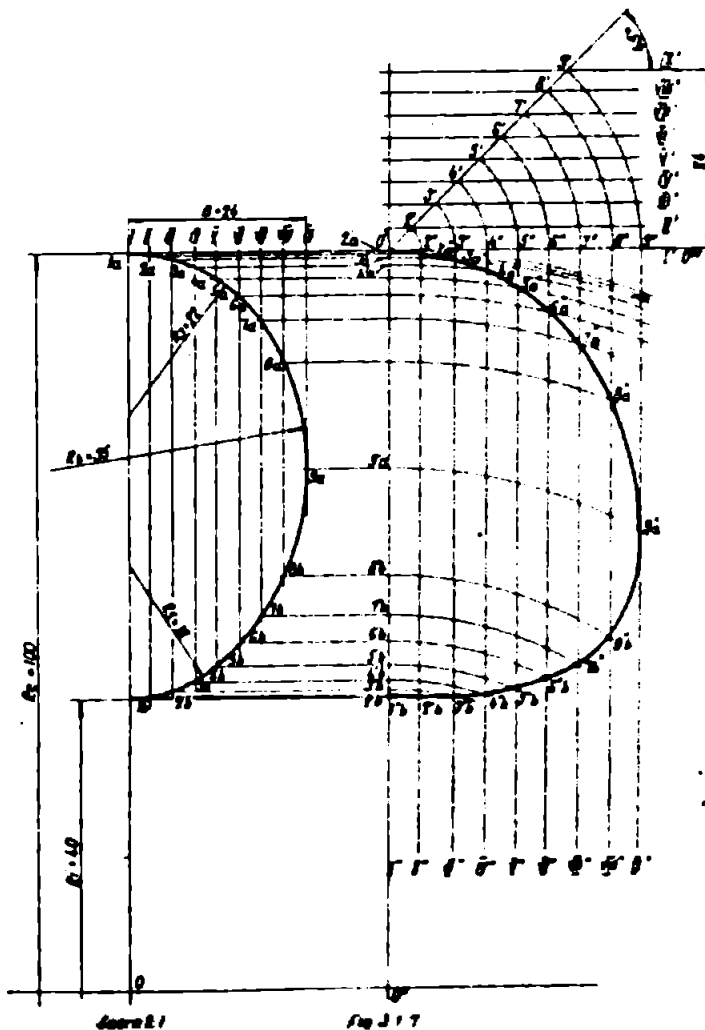


Fig 3.1.6



3.1.4. Metodă de analiză a frînelor hidraulice.

In baza celor stabilite pînă aici se poate elabora o metodă care să permită analiza frînelor hidraulice. Această metodă se bazează pe cunoașterea dimensiunilor geometrice ale frînei, a momentului de frînare realizat pentru diferite turătii $M_{fh} = f(n)$ și greutății specifice γ .

In ecuația momentului (3.1.10) în care se consideră $\gamma_R = \gamma_s = 1$.

$$M = \frac{Q\gamma}{g} \left[R_2 (\mu_{R2} + w_{R2} \cos \beta'_{R2}) - R_s r_{s2} \cos \alpha'_{s2} \right] \quad (3.1.78)$$

se înlocuiește ținînd seama de (3.1.49) și (3.1.54)

$$r_{s2} = w_{R2} \frac{\sin \beta'_{R2}}{\sin \alpha'_{s2}} \quad (3.1.79)$$

$$M = \frac{Q\gamma}{g} \left[R_2 (\mu_{R2} + w_{R2} \cos \beta'_{R2}) - R_s w_{R2} \cos \alpha'_{s2} \frac{\sin \beta'_{R2}}{\sin \alpha'_{s2}} \right] \quad (3.1.80)$$

De asemenea se observă că se poate scrie

$$w_{R2} = \frac{v_{m2}}{\sin \beta'_{R2}} = \frac{Q}{A_2 \sin \beta'_{R2}} \quad (3.1.81)$$

dé unde ținînd seama și că $\mu_{R2} = \omega R_2$

$$M = \frac{Q\gamma}{2g} \left[R_2 \left(R_2 \omega + \frac{Q}{A_2 \operatorname{tg} \beta'_{R2}} \right) - R_s \frac{Q}{A_2 \operatorname{tg} \alpha'_{s2}} \right] \quad (3.1.82)$$

Dacă muchiile paletelor sunt radiale, ceea ce este aproape întotdeauna cazul, sunt valabile relațiile (3.1.46) și (3.1.47) iar dacă este îndeplinită și condiția (3.1.61) atunci

$$\alpha'_{s2} = 180^\circ - \beta'_{R2} \quad (3.1.83)$$

și

$$\operatorname{tg} \alpha'_{s2} = - \operatorname{tg} \beta'_{R2} \quad (3.1.84)$$

În aceste condiții ecuația momentului devine

$$M = \frac{Q\delta}{g} \left[R_2 \left(R_2 \omega + \frac{Q}{A_2 \operatorname{tg} \beta'_{R2}} \right) + R_1 \frac{Q}{A_2 \operatorname{tg} \beta'_{R2}} \right] \quad (3.1.85)$$

Se observă că aceasta este o ecuație de gradul doi în Q

$$\frac{(R_2 + R_1)\gamma}{g A_2 \operatorname{tg} \beta'_{R2}} Q^2 + \frac{R_2^2 \omega \gamma}{g} Q - M = 0 \quad (3.1.86)$$

cu rădăcinile

$$Q_{1,2} = \frac{- \frac{R_2^2 \omega \gamma}{g} \pm \sqrt{\left(\frac{R_2 \omega \gamma}{g} \right)^2 + \frac{(R_2 + R_1)\gamma}{g A_2 \operatorname{tg} \beta'_{R2}} M}}{2 \frac{(R_2 + R_1)\gamma}{g A_2 \operatorname{tg} \beta'_{R2}}} \quad (3.1.87)$$

Semnul + corespunde sensului de frânare cu capacitate

maximă (indice 1).

Se observă că pentru $\beta'_{R_2} = 45^\circ$ ceea ce este cazul cel mai frecvent, $\tan \beta'_{R_2} = 1$:

Pentru valoarea lui Q , calculată pentru razele R_2 și R_1 determinate cu ajutorul relațiilor (3.1.19) și (3.1.21), pentru A_2 determinat din relația (3.1.38) și pentru β'_{R_2} , M și ω cunoscuți rezultă

$$w_{R_2} = \frac{Q}{A_2 \sin \beta'_{R_2}} \quad (3.1.88)$$

și

$$\frac{w_{R_2}^2}{2g} = \frac{1}{2g} \left(\frac{Q}{A_2 \sin \beta'_{R_2}} \right)^2 \quad (3.1.89)$$

Se remarcă faptul că dacă nu se cunoaște numărul paletelor Z și grosimea lor s , secțiunea A_2 se determină din relația (3.1.24) corectată

$$A_2 = \frac{\pi}{2} R_e^2 \left(1 - \frac{s}{2R_e} \right) U_2 \quad (3.1.90)$$

în care coeficientul de obstrucție datorită prezenței paletelor U_2 se admite în intervalul 0,90... 0,95.

În continuare se poate determina

$$H_{R_{1H}} = \frac{M \omega}{Q, \gamma} \quad (3.1.91)$$

și din (3.1.62)

$$H_{sc} = \frac{\rho_{sc}}{2g} \omega^2 (R_2^2 + R_1^2) \quad (3.1.92)$$

de unde ținind seama de (3.1.58), (3.1.66), (3.1.91) și (3.1.92) presupunând $\gamma_{sc} = 1$ se obține

$$\mathcal{G} = \frac{\frac{M\omega}{Q, \gamma} - \frac{\omega^2}{2g} (R_2^2 + R_1^2)}{\frac{\omega_{R2}^2}{2g}} \quad (3.1.93)$$

După /56/ și alți autori valoarea maximă a coeficientului de soc γ_{sc} se situează între 0,9 și 0,98 ținând spre 1. După /40/ pot fi luate în considerare valori cuprinse între 0,25 și 1.

Analiza efectuată la un număr de frâne hidraulice realizate a condus la aprecierea domeniului de variație a lui \mathcal{G} cuprins între 0,5 ... 6. Acest domeniu corespunde cu domeniul indicat în /40/.

3.2. DETERMINAREA ANALITICA A COEFICIENTULUI CAPACITATII DE MOMENT A FRINEI k_{mf} SI INFLUENTA DIFERITILOR PARAMETRII ASUPRA SA.

3.2.1. Determinarea analitică a coeficientului de moment al frânei k_{mf}

Momentul de frânare dezvoltat de o frână hidraulică se exprimă prin relația general valabilă pentru toate mașinile hidrodinamice, în ceea ce privește dependența momentului de patratul turăției și de puterea a cincea a diametrului activ .

$$M = k_{mf} n^2 D^5 \quad (3.2.1)$$

In continuare, coeficientul capacitatei de moment k_{mf} se va referi la frâna simplă, cu circuitul hidraulic cu un

singur tor.

Se poate stabili pentru coeficientul k_{mf} o relație analitică utilizând ecuația continuității, ecuația fundamentală în momente și bilanțul energetic al frânei.

Se presupune că rotorul și statorul au aceeași formă și aceleași dimensiuni principale, că paletele au grosimi neglijabile și că jocul axial dintre rotor și stator este foarte mic.

Ecuația continuității pentru circuitul hidraulic al frânei se poate scrie în aceste condiții în forma :

$$Q = \frac{\pi}{2} R_e^2 (1 - Q_{ie}^2) w_{R2} \sin \beta'_{R2} = \frac{\pi}{2} R_e^2 (1 - Q_{ie}^2) v_{S2} \sin \alpha'_{S2} \quad (3.2.2)$$

În ecuația fundamentală a frânelor hidrodinamice (3.1.10) se consideră $\gamma_r = \gamma_s = 1$ neglijînd astfel efectul numărului finit de palete, se înlocuiește valoarea lui Q din relația (3.2.2), se introduc valorile lui R_2 și R , date în relațiile (3.1.16) și (3.1.18) se introduce valoarea lui v_{S2} din relația (3.1.65) și se scrie în locul lui M valoarea sa din relația (3.2.1) obținîndu-se egalitatea

$$\begin{aligned} k_{mf} n^2 D^5 &= \frac{\pi}{2} \frac{\delta^2}{g} R_e^2 (1 - Q_{ie}^2) w_{R2} \sin \beta'_{R2} \times \\ &\times \left[\frac{R_e}{2} \left(1 + \sqrt{\frac{1 + Q_{ie}^2}{2}} \right) \left(u_{R2} + w_{R2} \cos \beta'_{R2} \right) - \frac{R_e}{2} \left(Q_{ie} + \sqrt{\frac{1 + Q_{ie}^2}{2}} \right) w_{R2} \frac{\sin \beta'_{R2}}{\sin \alpha'_{S2}} \cos \alpha'_{S2} \right] \end{aligned} \quad (3.2.3)$$

Se amplifică ambele membre cu $\frac{n}{\mu_{R2}^3}$

$$\begin{aligned} \frac{k_{mf} n^3 D^5}{\mu_{R2}^3} &= \frac{\pi}{2} \frac{\delta^2}{g} R_e^2 (1 - Q_{ie}^2) \frac{R_e}{2} \frac{n}{\mu_{R2}} \times \\ &\times \left[\left(1 + \sqrt{\frac{1 + Q_{ie}^2}{2}} \right) \left(\frac{w_{R2}}{\mu_{R2}} \sin \beta'_{R2} + \frac{w_{R2}^2}{\mu_{R2}^2} \sin \beta'_{R2} \cos \beta'_{R2} \right) + \right. \\ &\left. - \left(Q_{ie} + \sqrt{\frac{1 + Q_{ie}^2}{2}} \right) \left(\frac{w_{R2}^2}{\mu_{R2}^2} \right) \frac{\sin \beta'_{R2}}{\sin \alpha'_{S2}} \cos \alpha'_{S2} \right] \end{aligned} \quad (3.2.4)$$

Din relația cunoscută a vitezei periferice rezultă
ținând seama de (3.1.19)

$$\frac{n}{\mu_{R_2}} \frac{R_e}{2} = \frac{30}{2\pi} \cdot \frac{R_e}{R_2} = \frac{30}{\pi \left(1 + \sqrt{\frac{1+Q_{ie}^2}{2}} \right)} \quad (3.2.5)$$

Deasemenea se poate scrie

$$\frac{\pi^3 D^3}{\mu_{R_2}^3} = \left(\frac{30}{\pi} \right) \left(\frac{D}{R_2} \right)^3 = \left(\frac{60}{\pi} \right) \left(\frac{R_e}{R_2} \right)^3 = \left(\frac{60}{\pi} \right) \left(\frac{2}{1 + \sqrt{\frac{1+Q_{ie}^2}{2}}} \right)^3 \quad (3.2.6)$$

Tinând seama de (3.2.5) și (3.2.6) relația

(3.2.4) devine :

$$k_{mf} \left(\frac{60}{\pi} \right)^3 \left(\frac{2}{1 + \sqrt{\frac{1+Q_{ie}^2}{2}}} \right)^3 D^2 = \frac{\pi}{2} \frac{g}{\rho} R_e^2 / (1 - Q_{ie}^2) \frac{30}{\pi \left(1 + \sqrt{\frac{1+Q_{ie}^2}{2}} \right)} \times \\ \times \left[\left(1 + \sqrt{\frac{1+Q_{ie}^2}{2}} \right) \frac{w_{R_2}}{\mu_{R_2}} \sin \beta'_{R_2} + \left(1 + \sqrt{\frac{1+Q_{ie}^2}{2}} \right) \left(\frac{w_{R_2}}{\mu_{R_2}} \right)^2 \frac{\sin 2\beta'_{R_2}}{2} + \right. \\ \left. - \left(Q_{ie} + \sqrt{\frac{1+Q_{ie}^2}{2}} \right) \left(\frac{w_{R_2}}{\mu_{R_2}} \right)^2 \sin \beta'_{R_2} \operatorname{ctg} \alpha'_{s_2} \right] \quad (3.2.7)$$

Această relație se poate transcrie în forma

$$\left[\left(1 + \sqrt{\frac{1+Q_{ie}^2}{2}} \right) \frac{\sin 2\beta'_{R_2}}{2} - \left(Q_{ie} + \sqrt{\frac{1+Q_{ie}^2}{2}} \right) \sin^2 \beta'_{R_2} \operatorname{ctg} \alpha'_{s_2} \right] \left(\frac{w_{R_2}}{\mu_{R_2}} \right)^2 + \\ + \left[\left(1 + \frac{1+Q_{ie}^2}{2} \right) \sin \beta'_{R_2} \right] \left(\frac{w_{R_2}}{\mu_{R_2}} \right) = \left(\frac{60}{\pi} \right)^3 \left[\frac{2}{1 + \sqrt{\frac{1+Q_{ie}^2}{2}}} \right]^3 \frac{g}{\rho} \frac{1}{1 - Q_{ie}^2} \frac{1 + \sqrt{\frac{1+Q_{ie}^2}{2}}}{30} k_{mf} \quad (3.2.8)$$

respectiv, prin simplificări, în forma

$$\left[1 - \frac{Q_{ie} + \sqrt{\frac{1+Q_{ie}^2}{2}}}{1 + \sqrt{\frac{1+Q_{ie}^2}{2}}} \frac{\sin \beta'_{R_2} \operatorname{ctg} \alpha'_{s_2}}{\sin 2\beta'_{R_2}} \right] \frac{\sin 2\beta'_{R_2} \left(\frac{w_{R_2}}{\mu_{R_2}} \right)^2 + \sin \beta'_{R_2} \left(\frac{w_{R_2}}{\mu_{R_2}} \right)}{2} = \\ (3.2.9)$$

$$= \frac{32}{15} \left(\frac{60}{\pi} \right)^3 \frac{g}{\rho} \left[\frac{1}{1 + \sqrt{\frac{1+Q_{ie}^2}{2}}} \right]^3 \frac{k_{mf}}{1 - Q_{ie}^2}$$

La frânele hidrodinamice pentru palete cu muchii radiale, sunt valabile relațiile (3.1.41) și (3.1.42).

Dacă există și egalitățile (3.1.43) și (3.1.44) atunci

$$\beta'_{R2} = \alpha'_{s1} = 180^\circ - \alpha'_{s2} \quad (3.2.10)$$

și evident

$$\operatorname{ctg} \alpha'_{s2} = - \operatorname{ctg} \beta'_{R2} \quad (3.2.11)$$

și

$$\frac{\sin^2 \beta'_{R2} \operatorname{ctg} \alpha'_{s2}}{\frac{\sin 2 \beta'_{R2}}{2}} = \frac{\sin^2 \beta'_{R2} \operatorname{ctg} \alpha'_{s2}}{\sin \beta'_{R2} \cos \beta'_{R2}} = \operatorname{tg} \beta'_{R2} \operatorname{ctg} \alpha'_{s2} = -1 \quad (3.2.12)$$

În aceste condiții relația (3.2.9) ia forma

$$2 \left[1 + \frac{\frac{Q_{ie}}{2} + \sqrt{\frac{1+Q_{ie}^2}{2}}}{1 + \sqrt{\frac{1+Q_{ie}^2}{2}}} \right] \left(\frac{\sin 2 \beta'_{R2}}{2} \right) \left(\frac{\omega_{R2}}{\mu_{R2}} \right)^2 + \left(\sin \beta'_{R2} \right) \left(\frac{\omega_{R2}}{\mu_{R2}} \right) = \\ = \frac{64}{15} \left(\frac{60}{\pi} \right)^3 \frac{Q}{f} \left[\frac{1}{1 + \sqrt{\frac{1+Q_{ie}^2}{2}}} \right]^3 - \frac{k_{mf}}{1 - Q_{ie}^2} \quad (3.2.13)$$

Tinând seama că

$$v_{m2} = \omega_{R2} \sin \beta'_{R2} \quad (3.2.14)$$

și

$$\frac{\omega_{R2}}{\mu_{R2}} = \frac{1}{k_v \sin \beta'_{R2}} \quad (3.2.15)$$

unde apare coeficientul vitezelor

$$k_v = \frac{\mu_{R2}}{\omega_{R2}} \quad (3.2.16)$$

relația (3.2.13) ia, după simplificări, forma

$$2 \left[1 + \frac{q_{ie} + \sqrt{\frac{1+q_{ie}^2}{2}}}{1 + \sqrt{\frac{1+q_{ie}^2}{2}}} \right] \operatorname{ctg} \beta'_{R2} \frac{1}{k_v} + \frac{2}{k_v} = \\ = \frac{64}{15} \left(\frac{60}{\pi} \right)^3 \frac{g}{\delta} \left[\frac{1}{1 + \sqrt{\frac{1+q_{ie}^2}{2}}} \right]^3 \frac{k_{mf}}{1-q_{ie}^2} \quad (3.2.17)$$

In continuare se va utiliza relația (3.1.35) care exprimă bilanțul energetic, scrisă în forma

$$\dot{H}_{PF} = H_{Rth} - H_{SC} \quad (3.2.18)$$

In această relație se ține seama că sarcina teoretică realizată de rotor are expresia cunoscută

$$H_{Rth} = \frac{M\omega}{Q \gamma} \quad (3.2.19)$$

Introducind în (3.2.19) valoarea momentului M din (3.2.1) valoarea debitului Q din (3.2.2) precum și

$$\omega = \frac{\pi n}{30}, R_e^2 = \frac{D^2}{4} \quad \text{se obține}$$

$$H_{Rth} = \frac{8 k_{mf} n^3 D^3}{30 \delta (1-q_{ie}^2) w_{R2} \sin \beta'_{R2}} \quad (3.2.20)$$

De asemenea se ține seama de relația (3.1.52) stabilită pentru pierderile de sarcină prin soc H_{SC} și de relația (3.1.53) stabilită pentru pierderile de sarcină prin frecare H_{PF} .

In aceste condiții prin înlocuire în relația (3.2.18) se obține

$$\frac{w_{R2}^2}{2g} = \frac{8 k_{mf} n^3 D^3}{30 \delta (1-q_{ie}^2) w_{R2} \sin \beta'_{R2}} - \frac{q_{SC}}{2g} \left[\frac{1 + \sqrt{\frac{1+q_{ie}^2}{2}}}{1 + \sqrt{\frac{1+q_{ie}^2}{2}}} \right]^3 \frac{w_{R2}^2}{2} \quad (3.2.21)$$

Amplificind ambele membri cu $2g$ se obține

$$\mathcal{G} \left(\frac{w_{R2}}{\mu_{R2}} \right)^3 = \frac{16g k_{mf} n^3 D^3}{30 \gamma^4 (1 - q_{ie}^2) \mu_{R2}^3 \sin \beta'_{R2}} - \varphi_{sc} \left[1 + \left| \frac{q_{ie} + \sqrt{\frac{1+q_{ie}^2}{2}}}{1 + \sqrt{\frac{1+q_{ie}^2}{2}}} \right|^2 \right] \left(\frac{w_{R2}}{\mu_{R2}} \right) \quad (3.2.22)$$

Tinând de valoarea din relația (3.2.6) pentru $\frac{n^3 D^3}{\mu_{R2}^3}$ și simplificând cu $\sin \beta'_{R2}$ relația (3.2.22) ia forma

$$\begin{aligned} \mathcal{G} (\sin \beta'_{R2}) \left(\frac{w_{R2}}{\mu_{R2}} \right)^3 + \varphi_{sc} \left[1 + \left| \frac{q_{ie} + \sqrt{\frac{1+q_{ie}^2}{2}}}{1 + \sqrt{\frac{1+q_{ie}^2}{2}}} \right|^2 \right] (\sin \beta'_{R2}) \left(\frac{w_{R2}}{\mu_{R2}} \right) &= \\ = \frac{64}{15} \left(\frac{60}{\pi} \right)^3 \frac{g}{\gamma^4} \left(\frac{1}{1 + \sqrt{\frac{1+q_{ie}^2}{2}}} \right)^3 \frac{k_{mf}}{1 - q_{ie}^2} &\quad (3.2.23) \end{aligned}$$

Tinând seama de relația (3.2.15) se obține

$$\begin{aligned} \frac{\mathcal{G}}{\sin^2 \beta'_{R2}} \frac{1}{k_v^3} + \varphi_{sc} \left[1 + \left| \frac{q_{ie} + \sqrt{\frac{1+q_{ie}^2}{2}}}{1 + \sqrt{\frac{1+q_{ie}^2}{2}}} \right|^2 \right] \frac{1}{k_v} &= \\ = \frac{64}{15} \left(\frac{60}{\pi} \right)^3 \frac{g}{\gamma^4} \left(\frac{1}{1 + \sqrt{\frac{1+q_{ie}^2}{2}}} \right)^3 \frac{k_{mf}}{1 - q_{ie}^2} &\quad (3.2.24) \end{aligned}$$

Sistemul de ecuații (3.2.17) și (3.2.24) permite determinarea mărimilor $k_v = \frac{\mu_{R2}}{w_{R2}}$ și k_{mf} . Se observă într-adevăr că cele două ecuații ale sistemului au același membru doi, ceea ce permite obținerea directă a unei ecuații în k_v . Egaleazănd deoarece membrul unu ai ecuațiilor (3.2.17) și (3.2.24) se obține

$$2 \left[1 + \frac{q_{ie} + \sqrt{\frac{1+q_{ie}^2}{2}}}{1 + \sqrt{\frac{1+q_{ie}^2}{2}}} \right] (\cot \beta'_{R2}) \frac{1}{k_v^2} + \frac{2}{k_v} = \quad (3.2.25)$$

$$= \frac{\mathcal{G}}{\sin^2 \beta'_{R2}} \frac{1}{k_v^3} + \varphi_{sc} \left[1 + \left| \frac{q_{ie} + \sqrt{\frac{1+q_{ie}^2}{2}}}{1 + \sqrt{\frac{1+q_{ie}^2}{2}}} \right|^2 \right] \frac{1}{k_v}$$

In ecuația (3.2.25) simplificând prima dată cu $\frac{1}{k_v}$ și amplificând apoi cu $k_v^2 \sin^2 \beta'_{R2}$ se obține ecuația

de gradul 2 în k_v

$$\left\{ 2 - \varphi_{sc} \left[1 + \left| \frac{\frac{q_{ie}}{2} + \sqrt{\frac{1+q_{ie}^2}{2}}}{1 + \sqrt{\frac{1+q_{ie}^2}{2}}} \right|^2 \right] \right\} (\sin^2 \beta'_{R2}) k_v^2 + \\ + \left| \frac{\frac{q_{ie}}{2} + \sqrt{\frac{1+q_{ie}^2}{2}}}{1 + \sqrt{\frac{1+q_{ie}^2}{2}}} \right| (\sin 2\beta'_{R2}) k_v - \varphi = 0 \quad (3.2.26)$$

Rădăcinile acestei ecuații sunt

$$\left| \frac{\frac{q_{ie}}{2} + \sqrt{\frac{1+q_{ie}^2}{2}}}{1 + \sqrt{\frac{1+q_{ie}^2}{2}}} (\sin 2\beta'_{R2}) \right| \pm \left| \frac{\frac{q_{ie}}{2} + \sqrt{\frac{1+q_{ie}^2}{2}}}{1 + \sqrt{\frac{1+q_{ie}^2}{2}}} (\sin^2 \beta'_{R2}) + 4\varphi \left[2 - \varphi_{sc} \left| \frac{\frac{q_{ie}}{2} + \sqrt{\frac{1+q_{ie}^2}{2}}}{1 + \sqrt{\frac{1+q_{ie}^2}{2}}} \right|^2 \right] \right| (\sin^2 \beta'_{R2}) \quad (3.2.27)$$

$$2 \left\{ 2 - \varphi_{sc} \left[1 + \left| \frac{\frac{q_{ie}}{2} + \sqrt{\frac{1+q_{ie}^2}{2}}}{1 + \sqrt{\frac{1+q_{ie}^2}{2}}} \right|^2 \right] \right\} (\sin^2 \beta'_{R2})$$

În (3.2.27) semnul + corespunde sensului de frinare înainte, aferent capacitatei maxime de frinare, iar semnul - sensului de frinare invers.

Cunoscând pe k_v din relația (3.2.27) se poate determina coeficientul capacitatei de moment a frinei k_m prin înlocuirea în relația (3.2.24) obținându-se

$$k_m = \frac{15(\pi)}{64(60)} \frac{g^3}{g} \left| 1 + \sqrt{\frac{1+q_{ie}^2}{2}} \right|^3 \frac{1-q_{ie}^2}{\sin^2 \beta'_{R2}} \left\{ \frac{\varphi_{sc}}{k_v} \left[\frac{\frac{q_{ie}}{2} + \sqrt{\frac{1+q_{ie}^2}{2}}}{1 + \sqrt{\frac{1+q_{ie}^2}{2}}} \right]^2 (\sin^2 \beta'_{R2}) + \frac{\varphi}{k_v} \right\} \quad (3.2.28)$$

Dacă în relația (3.2.2) care dă expresia debitului Q s-ar fi ținut seama de prezența paletelor de grosime finită rezultă

$$Q = \frac{\pi}{2} R_e^2 (1-q_{ie}) \left| 1 + \sqrt{\frac{1+q_{ie}^2}{2}} \right|^3 W_{R2} \sin \beta'_{R2} = \frac{\pi}{2} R_e^2 (1-q_{ie}) \left| 1 + \sqrt{\frac{1+q_{ie}^2}{2}} \right|^3 \eta_{s2} \sin \beta'_{s2} \quad (3.2.29)$$

Dacă se înlocuiește în mod corespunzător Q în relația (3.2.20) se obține :

$$H_{Rth} = \frac{4 k_{mf} n^3 D^3}{15 \gamma^3 (1-Q_{ie}) / (1+Q_{ie} - \frac{\pi}{\pi}) \omega_{R2} \sin \beta'_{R2}} \quad (3.2.30)$$

Tinând seama de această valoare a lui H_{Rth} se obține pentru k_{mf} expresia

$$k_{mf} = \frac{15}{64} \left(\frac{\pi}{60} \right)^3 \frac{\gamma^3}{g} \left(1 + \sqrt{\frac{1+Q_{ie}^2}{2}} \right)^3 \frac{(1-Q_{ie}) / (1+Q_{ie} - \frac{\pi}{\pi})}{\sin^2 \beta'_{R2}} \left\{ \frac{Q_{sc}}{k_v} \left[1 + \left[\frac{Q_{ie} + \sqrt{\frac{1+Q_{ie}^2}{2}}}{1 + \sqrt{\frac{1+Q_{ie}^2}{2}}} \right]^2 \right] \sin^2 \beta'_{R2} + \frac{g}{k_v^3} \right\} \quad (3.2.31)$$

Se observă că reducerea secțiunii datorită prezenței paletelor are ca efect micșorarea coeficientului k_{mf} .

Pentru $\beta'_{R2} = 90^\circ$ relația (3.2.27) ia forma

$$k_v = \frac{\sqrt{g}}{2 - Q_{sc} \left[1 + \left(\frac{Q_{ie} + \sqrt{\frac{1+Q_{ie}^2}{2}}}{1 + \sqrt{\frac{1+Q_{ie}^2}{2}}} \right)^2 \right]} \quad (3.2.32)$$

Tot pentru $\beta'_{R2} = 90^\circ$ relațiile (3.2.28) și (3.2.31) iau forma

$$k_{mf} = \frac{15}{64} \left(\frac{\pi}{60} \right)^3 \frac{\gamma^3}{g} \left(1 + \sqrt{\frac{1+Q_{ie}^2}{2}} \right)^3 \frac{(1-Q_{ie})}{(1+Q_{ie} - \frac{\pi}{\pi})} \left\{ \frac{Q_{sc}}{k_v} \left[1 + \left(\frac{Q_{ie} + \sqrt{\frac{1+Q_{ie}^2}{2}}}{1 + \sqrt{\frac{1+Q_{ie}^2}{2}}} \right)^2 \right] + \frac{Q_{sc}}{k_v^3} \right\} \quad (3.2.33)$$

respectiv

$$k_{mf} = \frac{15}{64} \left(\frac{\pi}{60} \right)^3 \frac{\gamma^3}{g} \left(1 + \sqrt{\frac{1+Q_{ie}^2}{2}} \right)^3 \frac{(1-Q_{ie}) / (1+Q_{ie} - \frac{\pi}{\pi})}{\omega_{R2} \sin \beta'_{R2}} \left\{ \frac{Q_{sc}}{k_v} \left[1 + \left(\frac{Q_{ie} + \sqrt{\frac{1+Q_{ie}^2}{2}}}{1 + \sqrt{\frac{1+Q_{ie}^2}{2}}} \right)^2 \right] + \frac{g}{k_v^3} \right\} \quad (3.2.34)$$

3.2.2. Analiza influenței diferenților parametri asupra coeficientului k_{mf} .

În relațiile (3.2.28) și (3.2.27) apar toti parametrii care au influență asupra coeficientului de moment al frânei k_{mf} și anume

- raportul $\frac{R_i}{R_e}$ caracterizând proporțiile geometrice ale frânei.

- unghiul de inclinare al paletelor rotorului și statorului $\beta'_{R2} = \alpha'_{S1}$,

- coeficientul vitezelor k_v ,

- coeficientul global al pierderilor de sarcină prin frecare ζ ,

- coeficientul pierderilor de sarcină prin scoție γ_{sc} ,

- greutatea specifică γ a fluidului

- acceleratia gravitației g .

Cum aproape toți parametrii enumerați au un domeniu larg de variație, este foarte greu de scoț în evidență influența fiecărui din acești factori. Pentru a depăși această dificultate s-a elaborat un program de calcul al coeficientului de moment al frânei k_{mf} , pentru a se obține valorile corespunzătoare ale acestuia, pentru întreg domeniul de variație al parametrilor.

Schema logică a programului de calcul a coeficientului de moment al frânei k_{mf} dat de relația (3.2.28) este prezentată în fig.3.2.1.

Programul a fost rulat pe un calculator electronic IBM 370.

Domeniile de variație respectiv valorile considerate pentru parametrii care intră în relațiile (3.2.28) și (3.2.27) au fost următoarele :

Pentru φ_{ie} : 0,25; 0,3; 0,35; 0,4; 0,45; 0,5; 0,55; 0,6

Pentru β'_{R2} : 10° ; 20° ; 30° ; 31° ; 32° ; 33° ; 34° ; 35° ; 36° ;
 37° ; 38° ; 39° ; 40° ; 41° ; 42° ; 43° ; 44° ; 45° ;
 50° ; 60° ; 70° ; 80° ; 90° .

Pentru \mathcal{G} : 0,5; 0,75; 1; 1,5; 2; 3; 4; 5; 6

Pentru φ_{sc} : 0,25; 0,50; 0,75; 1.

S-a considerat

$$\gamma = 1000 \text{ kgf/m}^3$$

$$g = 9,81 \text{ m/s}^2$$

In tabelul 3.2.1 s-au indicat valorile obtinute pentru coeficientul k_{mf} , la calculator, pentru $\varphi_{ie} = 0,4$ și $\varphi_{sc} = 1$ conform relației (3.2.28) pentru ambele valori ale coeficientului vitezelor k_v notate cu semnele + și - .

Dată fiind complexitatea funcției

$$k_{mf} = f(\beta'_{R2}, \varphi_{ie}, \varphi_{sc}, \mathcal{G}, \gamma)$$

și multitudinea factorilor pe baza valorilor calculate ale coeficientului k_{mf} , pentru a se scoate în evidență influența fiecărui factor în parte, s-a recurs la reprezentări grafice.

3.2.2.1. Influența unghiului paletelor β'_{R2}

In figura 3.2.2 s-a reprezentat variația coeficientului capacității de moment a frinei k_{mf} în funcție de unghiul paletelor β'_{R2} pentru valori constante $\varphi_{ie} = 0,4$ și $\varphi_{sc} = 1$ și pentru valoarea coeficientului $\mathcal{G} = 0,5..6$. Se observă că pentru fiecare curbă $k_{mf} = f(\beta'_{R2})$ există o valoare maximă a coeficientului capacității de moment, situată la valori ale unghiului paletelor sub 45° .

Pentru alte valori ale raportului φ_{ie} se obțin curbe calitativ cu aceeași alură dar având evidenț valori ale

coeficientului k_{mf} diferite.

In figura 3.2.3 s-a reprezentat variația pentru $\gamma_{sc} = 1$; $S = 1$ și $\zeta_{re} = 0,4$ a coefficientului $k_{mf} = f(\beta'_{R2})$ pentru cele două valori ale lui k_v , rezultate în relația (3.2.27) corespunzător semnelor + și -. După cum s-a arătat anterior sensul fizic al acestora este următorul: semnul + corespunde sensului de frânare înainte, aferent capacitatei maxime de frânare în semnul - sensului de frânare invers. Se observă că spre deosebire de sensul înainte la care există o valoare maximă a lui k_{mf} pentru un anumit unghiu (situat în apropierea valorii $\beta'_{R2} = 45^\circ$) la sensul înapoi, maximul corespunde chiar valorii $\beta'_{R2} = 90^\circ$. De aici rezultă că la frânele hidrodinamice concepute să funcționeze în ambele sensuri unghiul optim este $\beta'_{R2} = 90^\circ$. Concluziile sunt valabile pentru oricare din valorile raportului ζ_{re} .

Se poate scoate în evidență influența directă a unghiului β'_{R2} asupra diametrului activ D al frânei, necesare realizării unui anumit moment. Notind cu $k_{mf, opt}$, $k_{mf, 45}$ și $k_{mf, 90}$ valorile coefficientului capacitatei de moment aferente unghiului β'_{R2} optim, de 45° și de 90° pentru aceeași valori ale parametrilor γ_{sc} , ζ_{re} și S și cu D_{opt} , D_{45} și D_{90} diametrele necesare ale frânei pentru un același moment de frânare M relația 3.2.1 permite să se scrie

$$k_{mf, opt} n^2 D_{opt}^5 = k_{mf, 45} n^2 D_{45}^5 = k_{mf, 90} n^2 D_{90}^5 \quad (3.2.35)$$

Din relația (3.2.35) rezultă :

$$\frac{D_{90}}{D_{opt}} = \sqrt[5]{\frac{k_{mf, 90}}{k_{mf, opt}}} \quad (3.2.36)$$

$$\frac{D_{90}}{D_{45}} = \sqrt[5]{\frac{k_{mf, 90}}{k_{mf, 45}}} \quad (3.2.37)$$

Relațiile (3.2.36) și (3.2.37) permit reprezentările grafice din fig.3.2.4 din care se observă că diferența dintre diametrele corespunzător unghiurilor $\beta'_{R2, opt}$ și $\beta'_{R2} = 45^\circ$ este tot mai redusă pe măsură ce coeficientul S crește apropiindu-se de $S = 6$. Pentru $S = 6$ diametrul corespunzător pentru $\beta'_{R2} = 90^\circ$ este mai mare numai cu 20...3% ca diametrele corespunzătoare lui $\beta'_{R2, opt}$ și $\beta'_{R2} = 45^\circ$.

In fig.3.2.5 s-a indicat valoarea optimă a unghiului β'_{R2} în funcție de g_{ie} pentru $f_{sc} = 1$ și valorile coeficientului S cuprinse între 0,5 și 6. Se observă că în ansamblu valoarea unghiului β'_{R2} optim este mai mică decât 45° și că pe măsură ce S este mai mic și valoarea optimă a lui β'_{R2} scade tot mai mult sub 45° coborînd pînă la 31° .

3.2.2.2. Influența raportului g_{ie}

In figura 3.2.6 s-a prezentat variația coeficientului k_{mf} în funcție de raportul g_{ie} pentru $f_{sc} = 1$ și $\beta'_{R2} = 45^\circ$. Se observă că o valoare optimă a raportului (valoarea corespunzătoare valorii maxime a coeficientului k_{mf}) apare numai la valori foarte mici ale coeficientului S . Pe măsură ce crește S curba reprezentînd coeficientul k_{mf} se aplatizează.

Din fig.3.2.7 în care este prezentată variația coeficientului k_{mf} în funcție de raportul g_{ie} pentru $f_{sc} = 1$ și $\beta'_{R2} = 90$ se remarcă faptul că pentru aceste unghiuri valoarea k_{mf} scade pe măsură ce g_{ie} crește. De aici rezultă că la frîne funcționînd în ambele sensuri este avantajos să se adopte valori mari ale raportului g_{ie} .

Alegerea raportului g_{ie} este influențat și de tipul constructiv al frînei, cu carcasa fixă în cazul frînelor hidraulice de uz general sau cu carcasa rotitoare în cazul frînelor dinamometrice.

$$\begin{aligned}
 C &= \frac{15}{8\pi} \left(\frac{\pi}{80} \right)^2 \frac{L}{g} \\
 &\text{--- } \\
 &a = \sqrt{\frac{1+q^2}{2}} \\
 &a_1 = c (1+a)^\frac{3}{2} (1-q^2)^\frac{1}{2} \\
 &b = \frac{q+a}{1+a} \\
 &b_1 = 1+b \\
 &b_2 = 1+b^2 \\
 &\text{--- } \\
 &b_3 = q b_2 \\
 &b_4 = 2(2-b_3) \\
 &\beta_C \quad k=1+24 \\
 &\text{--- } \\
 &a_3 = \sin \beta \\
 &a_4 = \sin 2\beta \\
 &b_5 = -b_1 a_4 \\
 &b_6 = b_4 a_3 \\
 &\text{--- } \\
 &a_5 = \sqrt{b_5^2 + 25b_6} \\
 &a_6 = 5/a_5 \\
 &\lambda_{v_{12}} = \frac{b_5 + a_5}{a_6} \\
 &\lambda_{mf_{12}} = a_1 \left(\frac{b_1}{\lambda_{v_{12}}} + \frac{a_6}{b_1} \right)
 \end{aligned}$$

Fig. 3.2.1

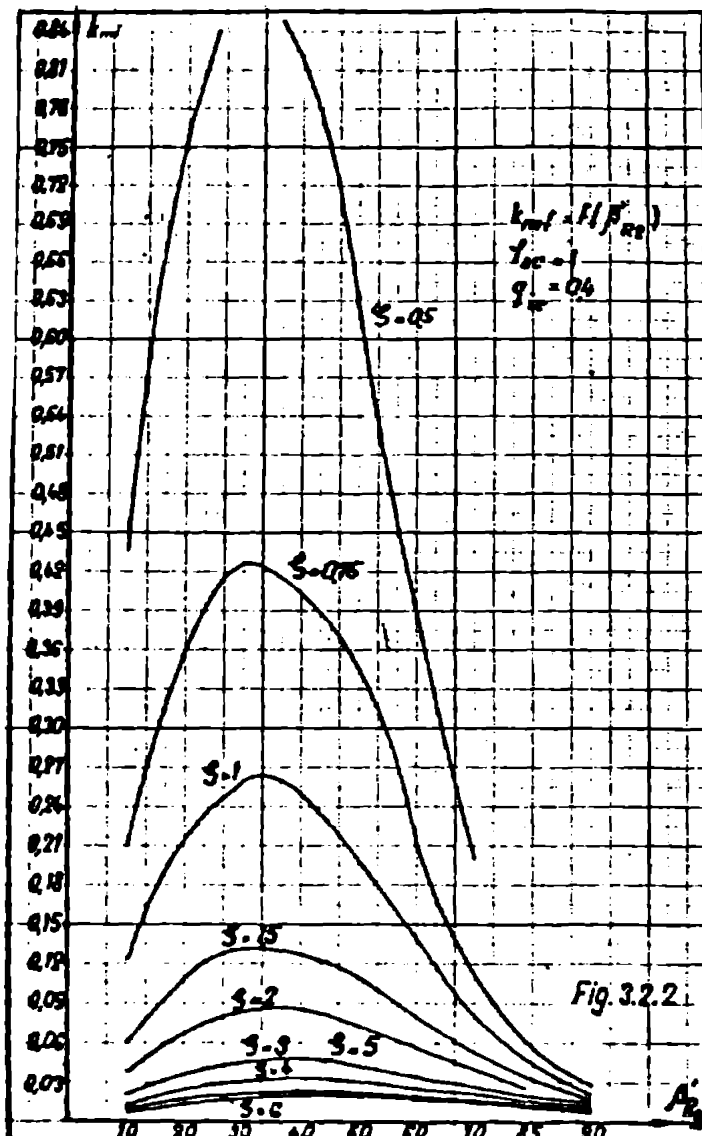


Fig. 3.2.2

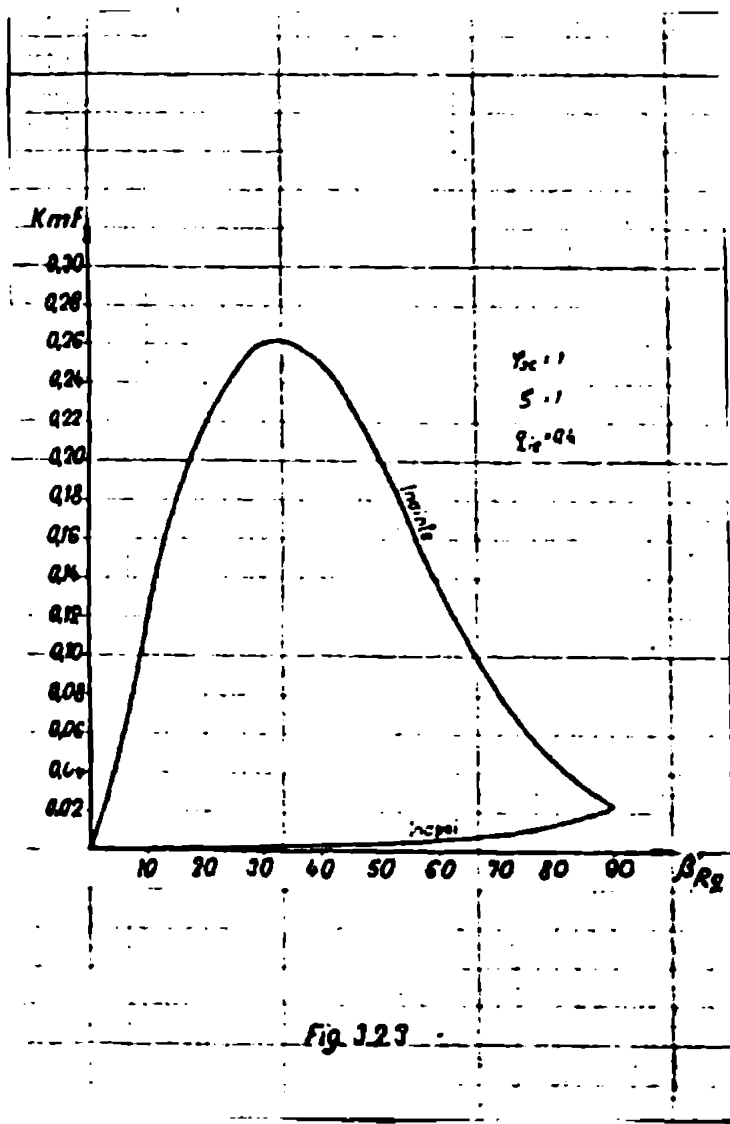


Fig. 3.2.3

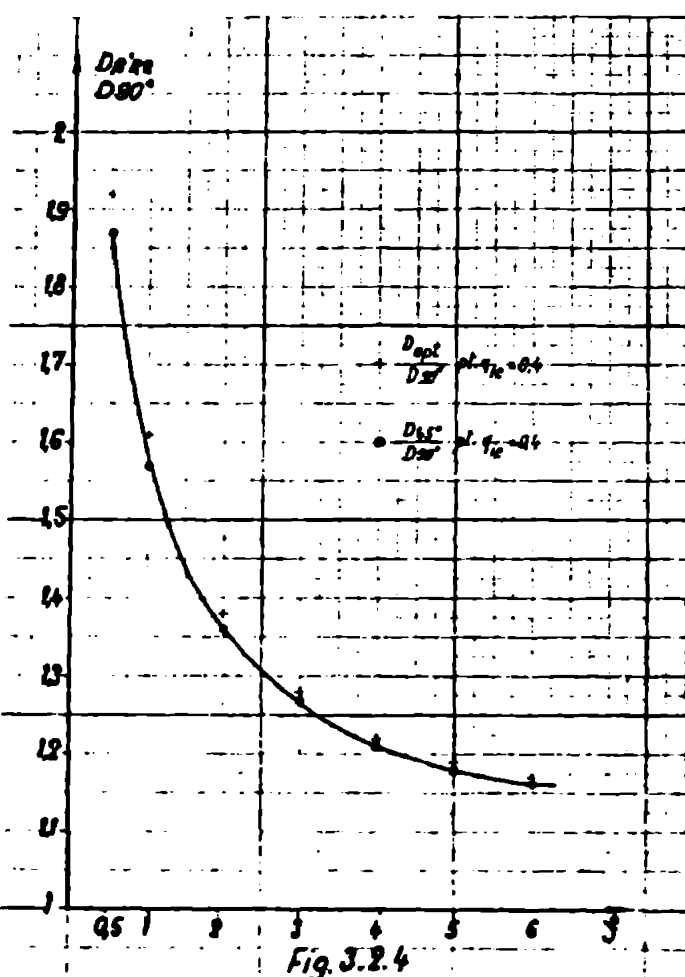


Fig. 3.2.4

In cazul frinelor hidraulice cu carcasă fixă, pentru un material dat, care permite o anumită viteză periferică, diametrul activ al rotorului (care este apropiat de diametrul maxim al rotorului) poate fi mai mare decât în cazul frinelor cu carcasă rotitoare. La acestea între diametrul activ al rotorului și diametrul maxim al carcăsei rotitoare (care este diametrul exterior al flangei acesteia) rezultă din motive constructive, o diferență mai mare, ca urmare a existenței flanglerelor de asamblare. În același timp diametrul interior al circuitului hidraulic al rotorului este mai mare în cazul frinelor cu carcasă rotitoare decât în cazul frinelor cu carcasă fixă.

În aceste condiții, la frinele cu carcasă rotitoare, raportul $\frac{d_e}{d_r}$ are valori mai mari de obicei 0,45... 0,5 decât în cazul frinelor cu carcasă fixă, de obicei 0,35... 0,4.

În fig.3.2.8 este indicată valoarea optimă a raportului $\frac{d_e}{d_r}$ în funcție de coeficientul S . Valoarea optimă a lui $\frac{d_e}{d_r}$ nu este influențată de variația coeficientului φ_{sc} în limitele 0,25 ... 1. Se observă că pentru β'_{r2} optim și $\beta'_{r2} = 45^\circ$ la valori $S < 4$ valoarea optimă a lui $\frac{d_e}{d_r}$ este în creștere pe măsură ce S scade. Pentru $\beta'_{r2} = 90^\circ$ valoarea optimă a lui $\frac{d_e}{d_r}$ este la limita intervalului de variație considerat, indiferent de valoarea coeficientului S .

3.2.2.3. Influența coeficientului global al pierderilor prin frecare S

În fig.3.2.9 este prezentată variația coeficientului k_mf în funcție de coeficientul S pentru $\varphi_{sc} = 1$ și $\beta'_{r2} = 45^\circ$ pentru diferite valori ale raportului $\frac{d_e}{d_r}$. Se observă că pentru domeniul de variație al lui $\frac{d_e}{d_r}$ cuprins între 0,3 și 0,6 rezultă valori foarte apropiate ale coeficientului k_mf .

În cazul paletelor cu unghiul $\beta'_{r2} = 90^\circ$ din curbele din fig.3.2.10 reprezintă coeficientul k_mf în funcție de

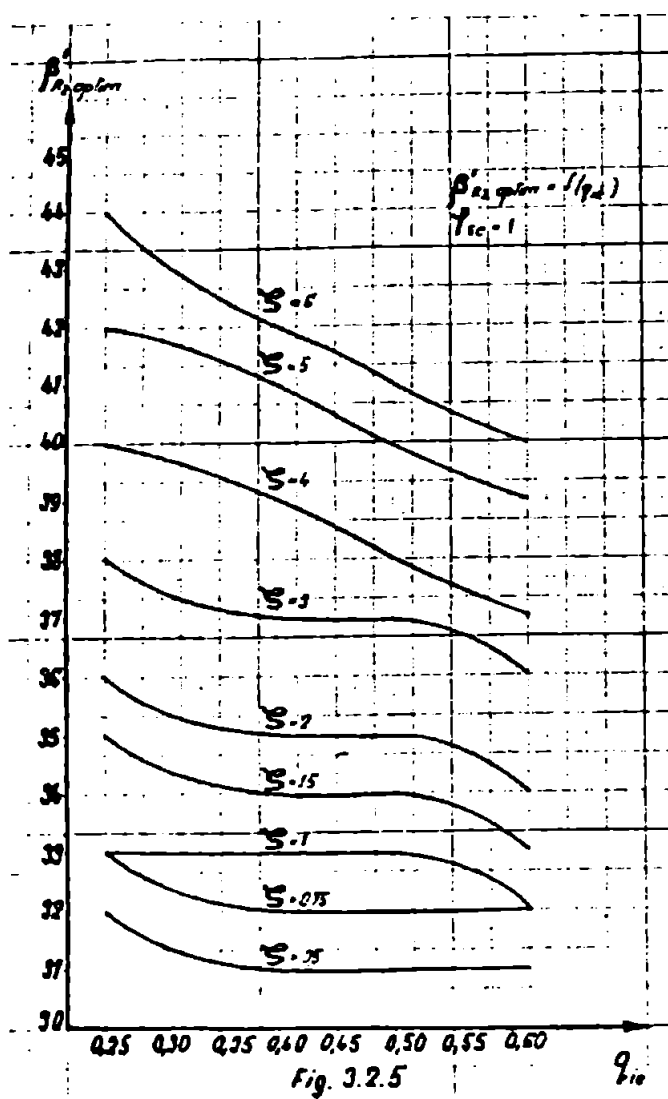


Fig. 3.2.5

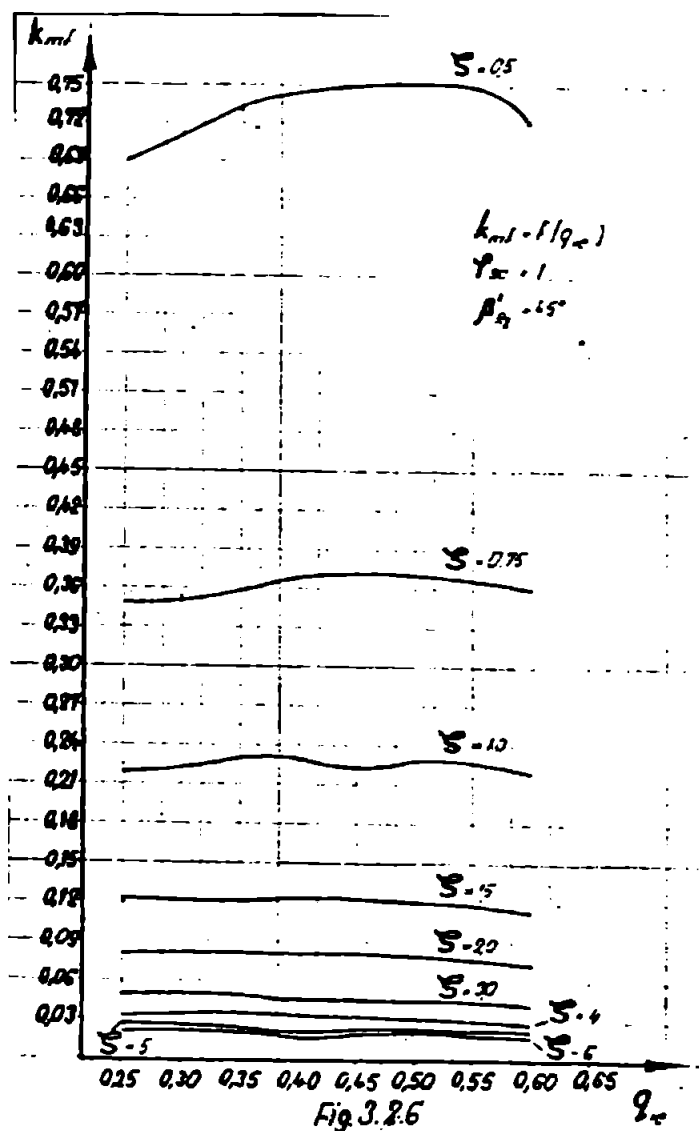


Fig. 3.2.6

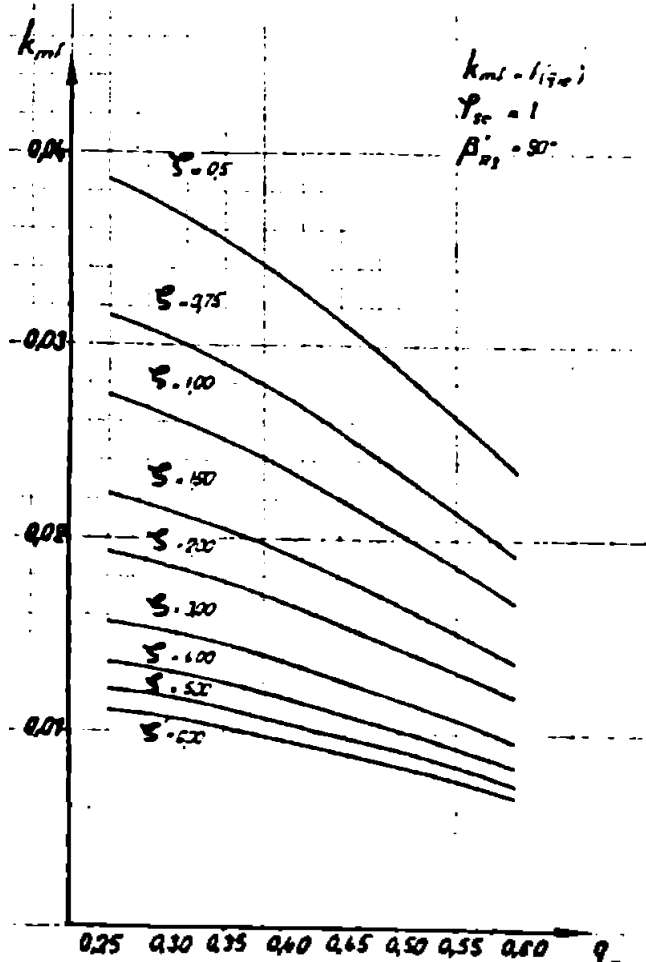


Fig. 3.2.7

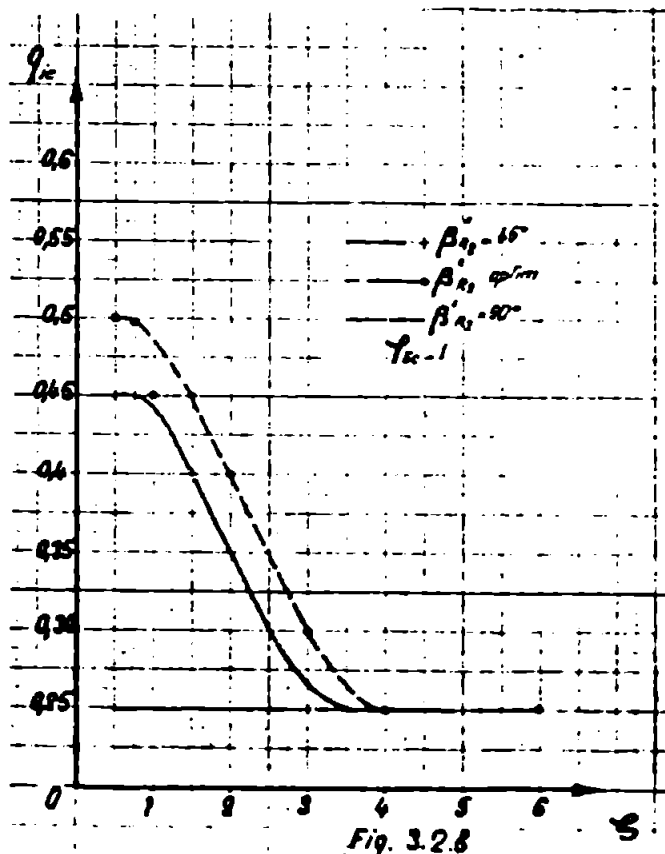


Fig. 3.2.8

S pentru $\gamma_{sc} = 1$ se observă o departajare a curbelor pentru domeniul de variație a raportului \mathcal{L}_{sc} între 0,25 și 0,6 păstrindu-se aceeași alură.

În fig.3.2.11 este prezentată variația coeficien-
tului k_{mf} în funcție de coeficientul S pentru $\mathcal{L}_{sc} = 0,4$
și $\beta'_{R2} = 45^\circ$ pentru valorile coeficientului de șoc γ_{sc} de
0,25; 0,5 ; 0,75 și 1 iar în fig. 3.2.12 aceeași variație pen-
tru unghiul $\beta'_{R2} = 90^\circ$. Se observă faptul că în cazul unghiu-
lui $\beta'_{R2} = 45^\circ$ curbele pentru diferitele valori ale lui S
cuprinse între 0,25 și 1 sunt foarte apropiate spre deosebi-
re de cazul $\beta'_{R2} = 90^\circ$ în care ele se distanțează dar își pă-
strează alura.

Din fig.3.2.9 3.2.12 se observă de asemenea
faptul că pentru valori ale coeficientului global al pierde-
rilor prin frecare $S < 3$ coeficientul capacitatei de moment
al frânei k_{mf} crește rapid pe măsură ce descrește S.
Această creștere a mărimii coeficientului k_{mf} este mai pro-
nunțată în cazul unghiului $\beta'_{R2} = 45^\circ$ decât în cazul $\beta'_{R2} =$
 $= 90^\circ$.

Valorile mari ale coeficientului S duc la măso-
rarea vitezei relative v_{R2} și prin aceasta a coeficientului k_{mf} .
Tinând seama de relația 3.1.73 care exprimă $S = \lambda \mathcal{T}$ este de-
reținut faptul că în cazul frînelor hidraulice este foarte
important ca suprafetele rotorului și statorului care vin în
contact cu lichidul să aibă o rugozitate cît mai redusă pen-
tru a se obține performanțe maxime. Faptul că pentru $\beta'_{R2} =$
 $= 90^\circ$ influența defavorabilă a creșterii coeficientului S
este simțitor atenuată arată că la frînele reversibile nu
este atât de importantă rugozitatea suprafetelor rotorilor și
statorilor. De asemenea tinând seama de aceeași relație 3.1.73
reiese că pentru unghiuri $\beta'_{R2} = 45^\circ$ este important ca și \mathcal{T}

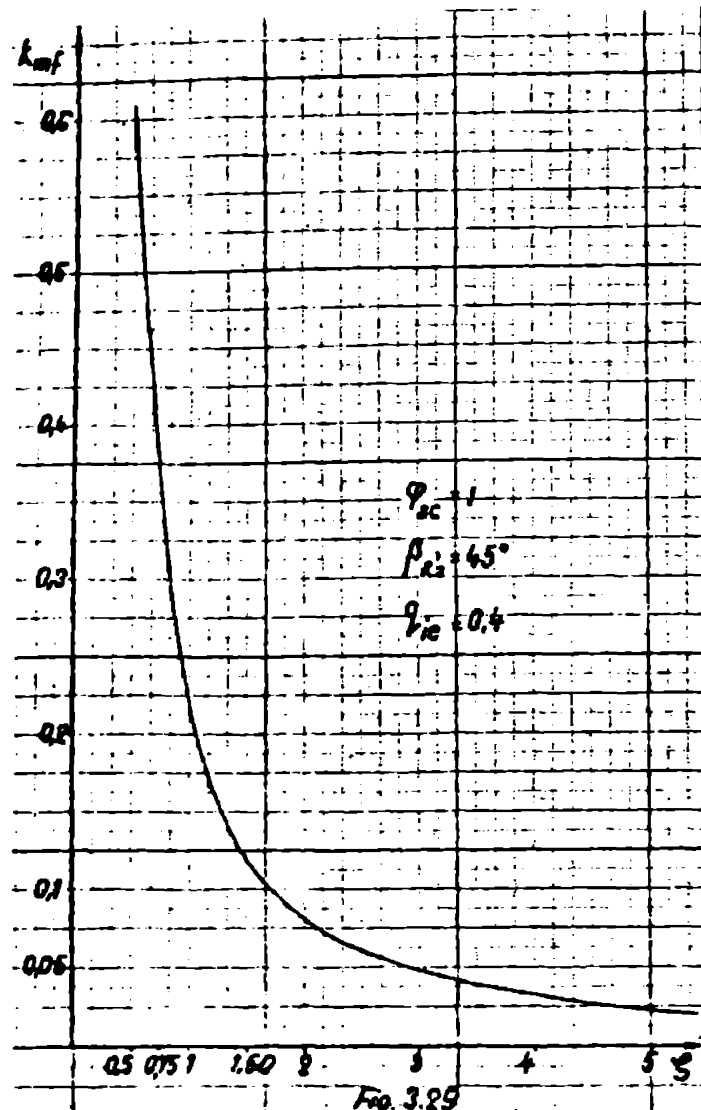


Fig. 3.2.9

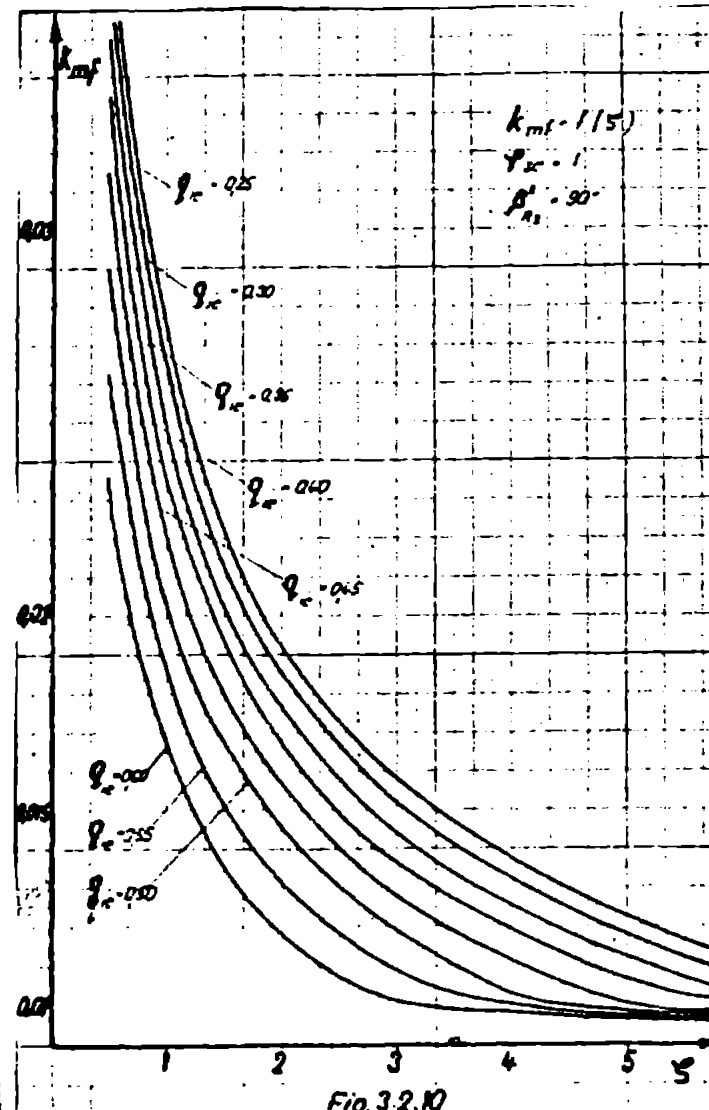


Fig. 3.2.10

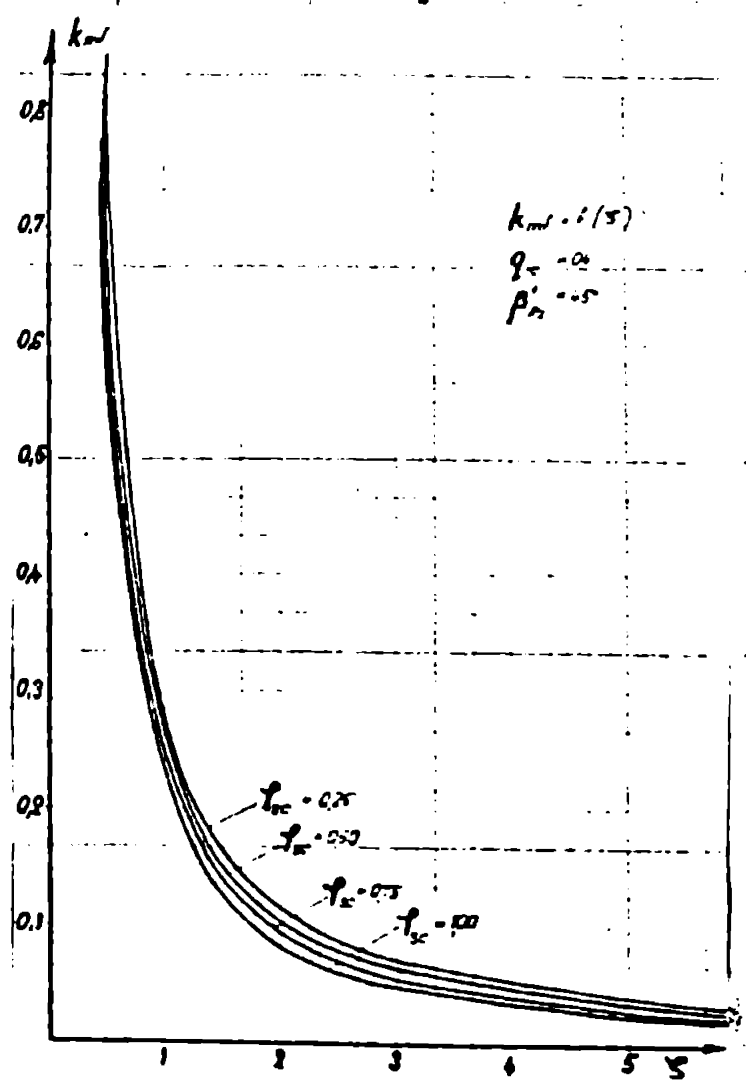


Fig. 3.2.11

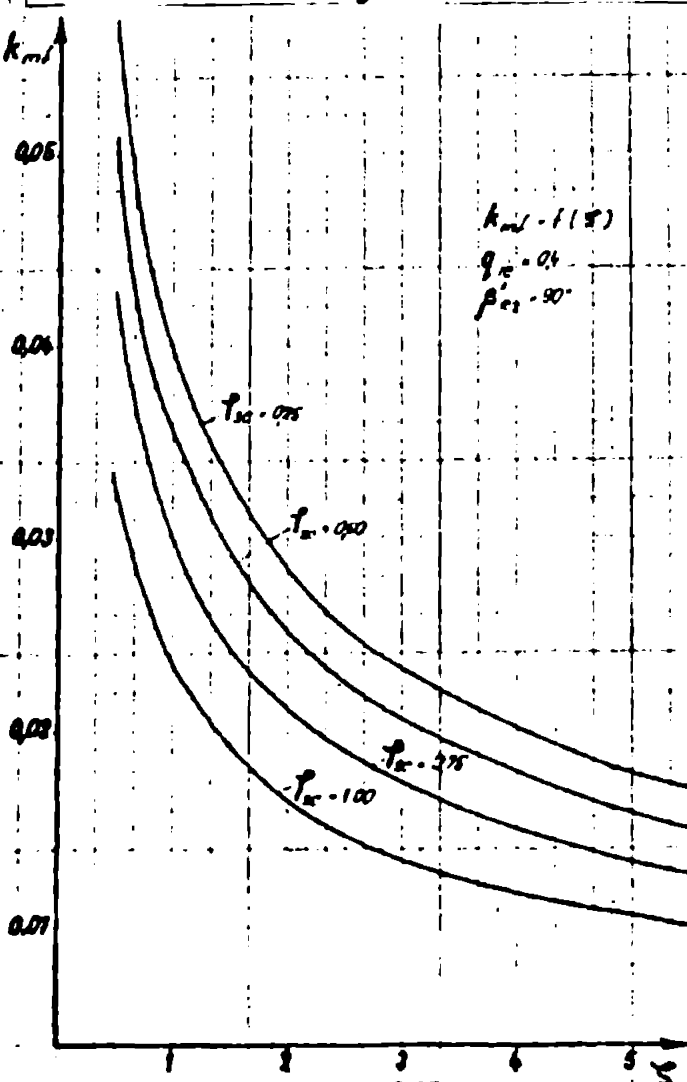


Fig. 3.2.12

să fie cît mai redus, ceea ce impune ca în acest caz și numărul de palete să fie cît mai mic. La valori $\beta'_{R2} = 90^\circ$ numărul paletelor poate să fie deci mai mare fără a influența în aceeași măsură mărimea coeficientului k_mf . Aceste deosebiri trebuie avute în vedere dacă se face o comparație între frânele hidraulice care au în general $\beta'_{R2} = 45^\circ$ și turboambreiaje care au în mod obișnuit $\beta'_{R2} = 90^\circ$.

Aspectele enumerate arată că în cazul frânelor hidraulice cu $\beta'_{R2} = 45^\circ$ trebuie să se țină seama de datele experimentale din /29/ după care pierderile de sarcină în cazul tuburilor sau canalelor rotorului în mișcare de rotație sunt diferite decât în cazul tuburilor aflate în repaus și depind numai de raportul $\frac{u}{w}$ dintre viteza tangențială și viteză relativă și nu de numărul Reynolds.

3.2.2.4. Influența coeficientului de soc γ_{sc}

Influența coeficientului de soc γ_{sc} asupra coeficientului capacitatei de momentul k_mf pentru o valoare constantă $Q_{te} = 0,4$ valori ale coeficientului S cuprinse între 0,5 și 6 pentru $\beta'_{R2} = 45^\circ$ este scoasă în evidență de curbele din fig.3.2.13 iar la unghiuri $\beta'_{R2} = 90^\circ$ în fig.3.2.14. Se observă faptul că la valori mai mici ale coeficientului γ_{sc} coeficientul k_mf crește, De asemenea cu cît S este mai mic cu atât este k_mf mai mare.

In fig.3.1.15 și 3.2.16 este prezentată influența coeficientului de soc γ_{sc} asupra coeficientului k_mf pentru $\beta'_{R2} = 45^\circ$ respectiv 90° pentru o valoare constantă $S = 2$ la diferite valori ale raportului Q_{te} cuprinse între 0,25 și 0,6. Se observă aceeași variație crescătoare a coeficientului de moment k_mf odată cu scăderea coeficientului γ_{sc} . Pentru $\beta'_{R2} = 90^\circ$ se observă că pentru variația raportului

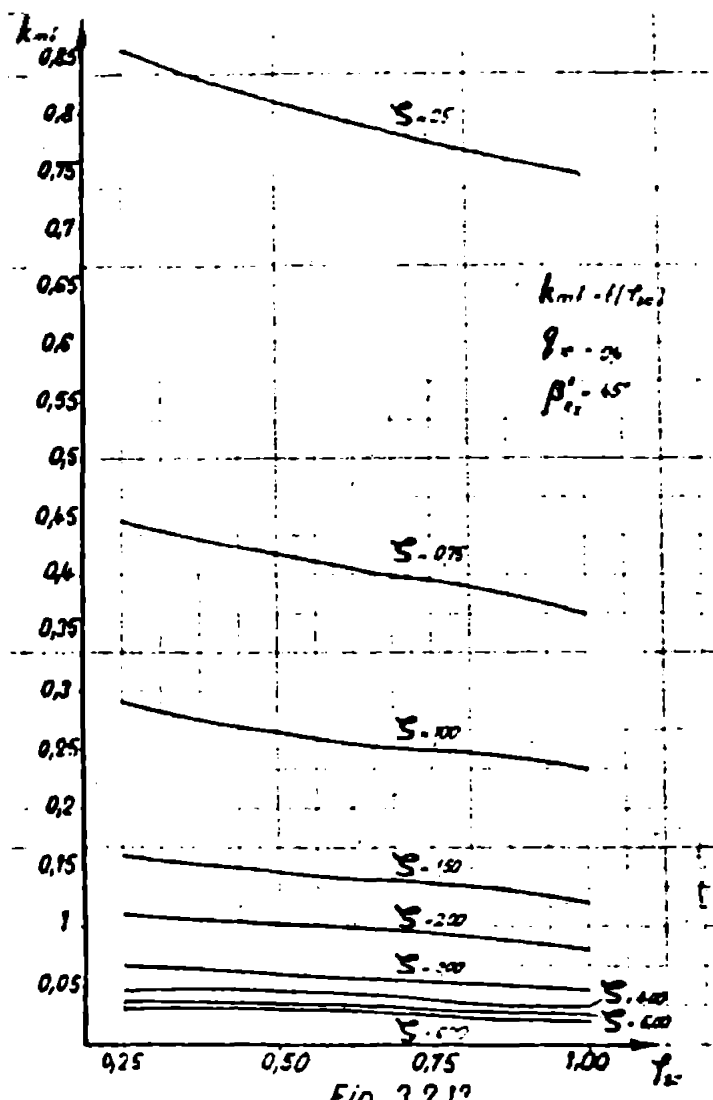


Fig. 3.2.13

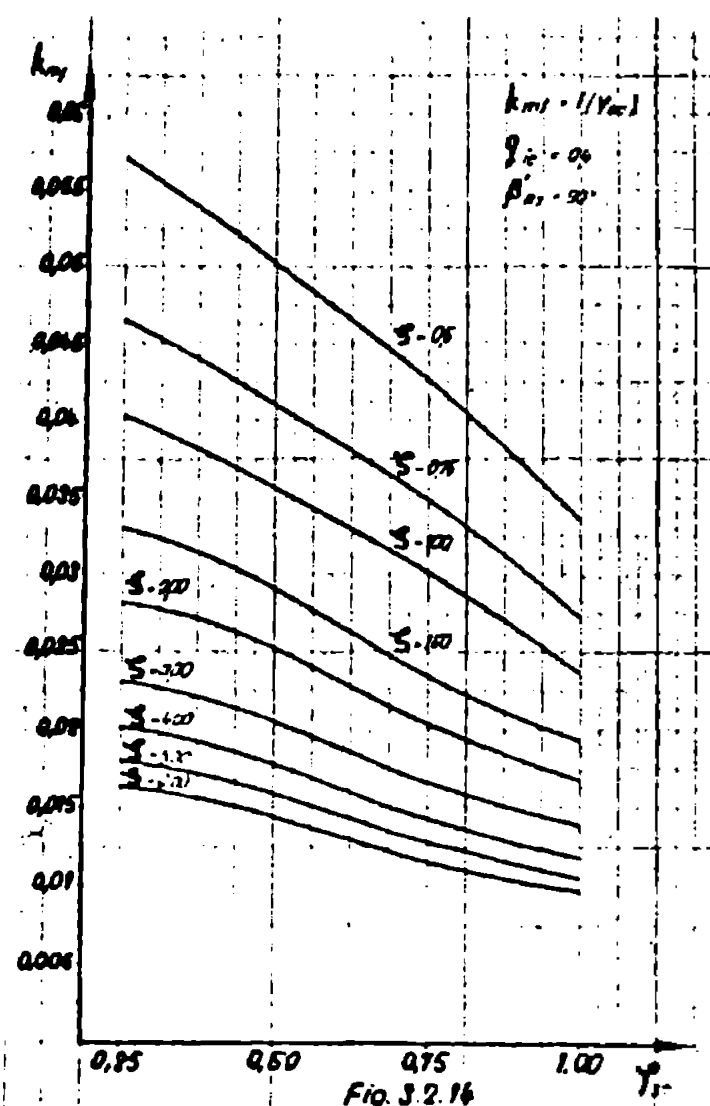


Fig. 3.2.14

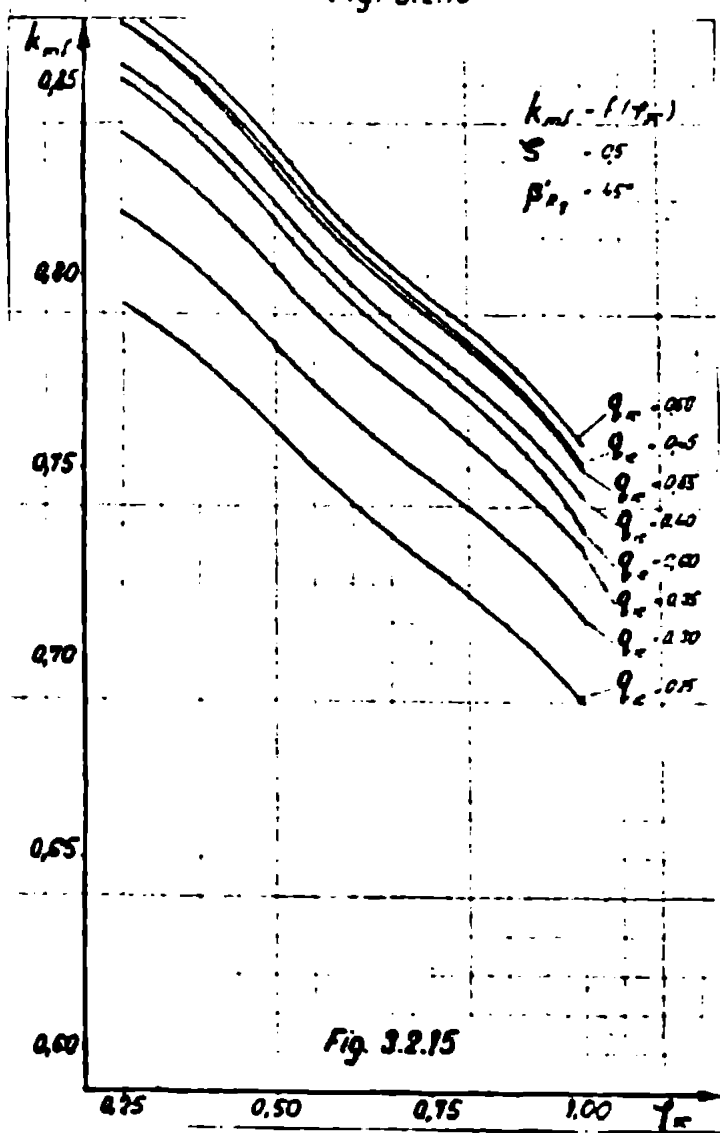


Fig. 3.2.15

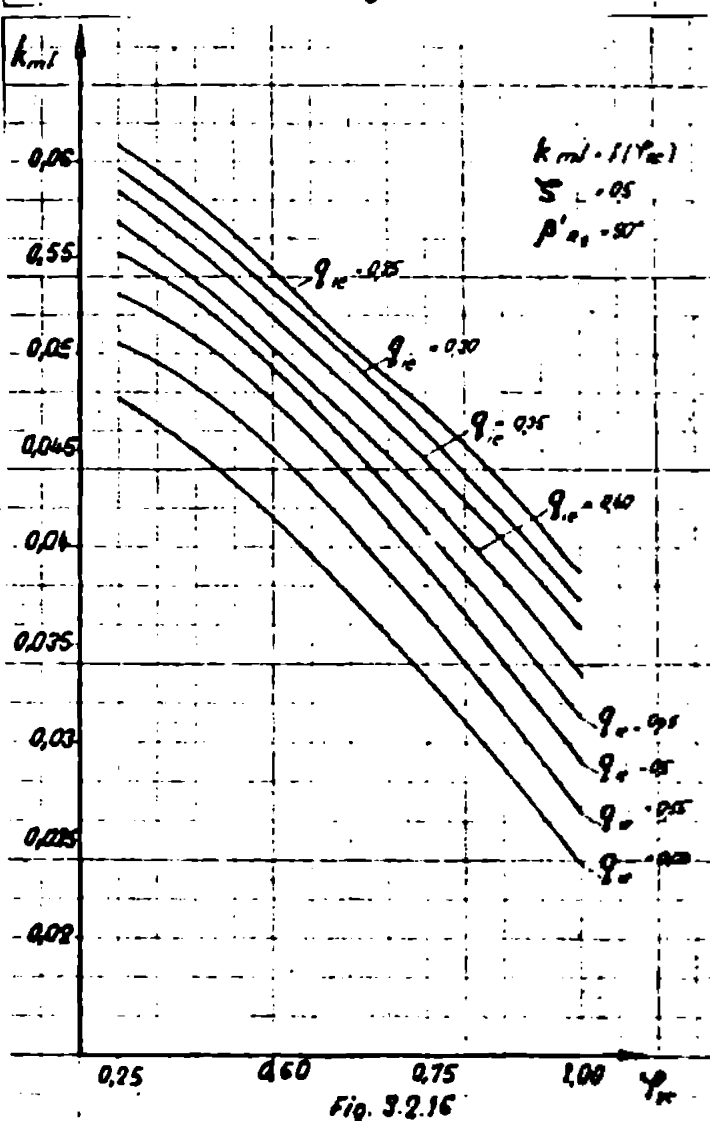


Fig. 3.2.16

φ_{re} în sensul valorilor crescătoare de la 0,25 la 0,6 se obțin valori descreșcătoare ale lui k_{mf} , pentru o aceeași valoare a lui φ_{sc} . Pentru $\beta'_{re} = 45^\circ$ variația amintită nu mai este clară, curbele pentru diferitele valori ale raportului lui φ_{re} intersectându-se.

In fig.3.2.17 este prezentată corelația dintre coeficienții φ_{sc} și φ pentru valori constante ale coeficientului k_{mf} la unghiuri β'_{re} de 45° și 90° . Se observă că în cazul unghiului paletelor de 45° influența coeficientului φ_{sc} este foarte redusă fapt confirmat de liniile apropiate de verticală în special în cazul valorilor mari ale lui k_{mf} . În cazul unghiului paletelor de 90° influența coeficientului φ_{sc} este mai pronunțată devenind preponderentă la valori mai mici ale lui k_{mf} .

3.2.2.5. Influența coeficientului vitezelor k_v

Influența coeficientului vitezelor k_v asupra mărimei coeficientului de moment k_{mf} nu apare în mod explicit datorită faptului că în relațiile stabilite el este exprimat de asemenea în funcție de aceeași factori φ_{re} , β'_{re} , φ și φ_{sc} . Influența directă a coeficientului vitezelor k_v rezultă din relația (3.2.28) este scoasă în evidență în fig. 3.2.18 în care s-a prezentat variația coeficientului k_{mf} în funcție de k_v pentru $\varphi_{re} = 0,4$, $\varphi_{sc} = 1$ pentru $\beta'_{re} = 45^\circ$ (ou $\varphi = 1$ și $\varphi = 3$) și $\beta'_{re} = 90^\circ$ (ou $\varphi = 1$).

Se observă că valorile mari ale coeficientului k_{mf} sunt asociate cu valori mici ale raportului k_v .

3.2.2.6. Influența fluidului utilizat în frină.

Proprietățile fluidului care pot avea influență directă asupra performanțelor frinei hidraulice sunt greutatea specifică, căldura specifică și viscozitatea.

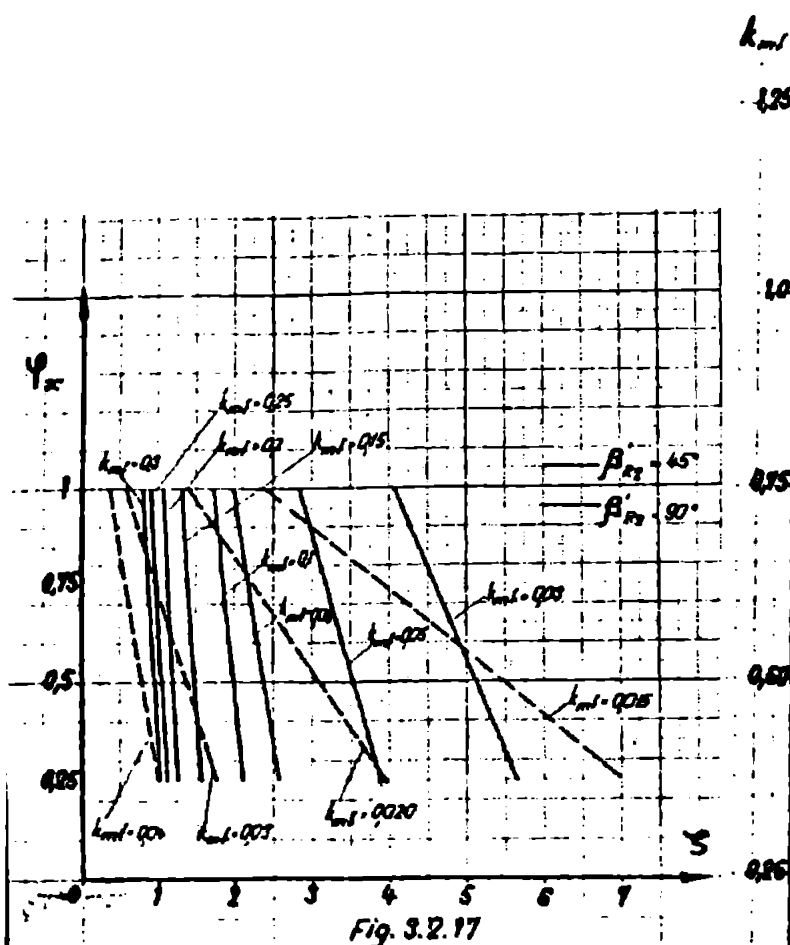


Fig. 3.2.17

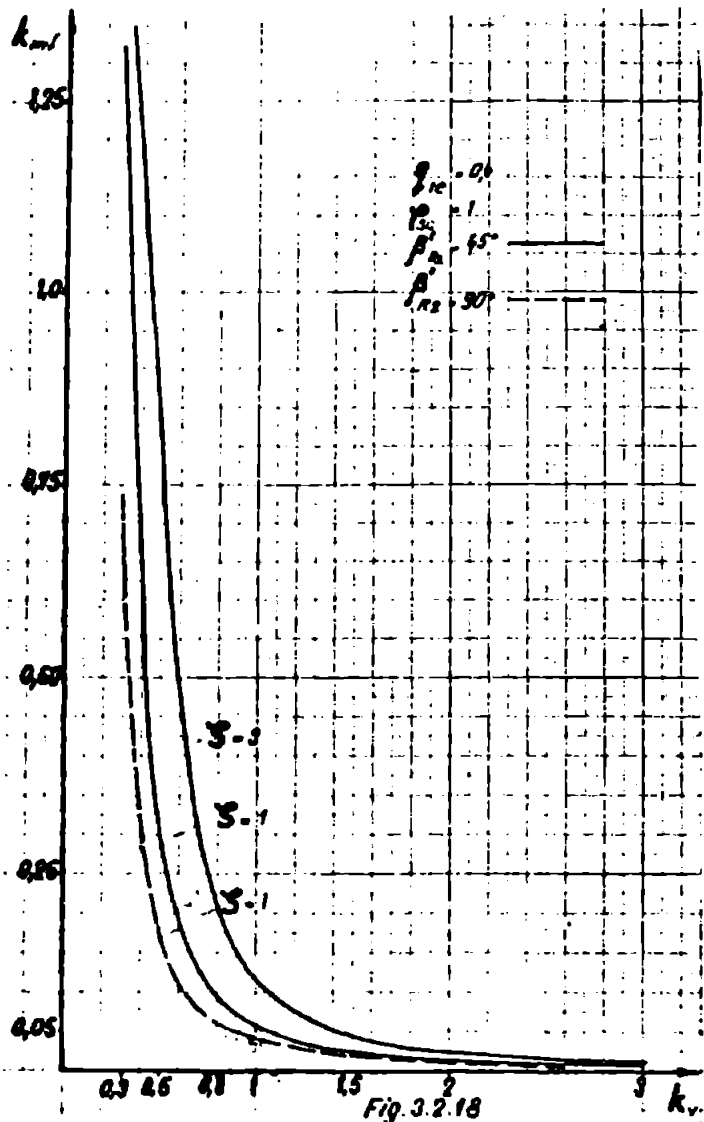


Fig. 3.2.18

Valoare coeeficientului k_m , pentru $q_{ic} = 0.4$ și $\gamma_{sc} = 1.00$

Table 3.2.21

β_{R2}	0.50	0.75	1.00	1.50	2.00	3.00	4.00	5.00	6.00
10	0.1868 -0.00067	0.20777 -0.00065	0.17615 -0.00064	0.06756 -0.00063	0.03657 -0.00062	0.01687 -0.00061	0.01158 -0.00060	0.01001 -0.00059	0.00780 -0.00058
20	0.17820 -0.00138	0.16209 -0.00137	0.17718 -0.00136	0.10301 -0.00135	0.05647 -0.00134	0.01657 -0.00133	0.01461 -0.00132	0.01328 -0.00131	0.01350 -0.00130
30	0.15918 -0.00178	0.13972 -0.00177	0.16009 -0.00176	0.12746 -0.00175	0.08235 -0.00174	0.04640 -0.00173	0.03155 -0.00172	0.02155 -0.00171	0.01986 -0.00170
40	0.13971 -0.00217	0.11053 -0.00216	0.13917 -0.00215	0.11677 -0.00214	0.08133 -0.00213	0.04776 -0.00212	0.03347 -0.00211	0.02193 -0.00210	0.01919 -0.00209
50	0.11917 -0.00253	0.08137 -0.00252	0.11137 -0.00251	0.08118 -0.00250	0.05115 -0.00249	0.03208 -0.00248	0.02168 -0.00247	0.01637 -0.00246	0.01399 -0.00245
60	0.09901 -0.00281	0.05117 -0.00280	0.09117 -0.00279	0.06167 -0.00278	0.03676 -0.00277	0.02177 -0.00276	0.01347 -0.00275	0.00873 -0.00274	0.00595 -0.00273
70	0.07977 -0.00311	0.02197 -0.00310	0.07977 -0.00309	0.04157 -0.00308	0.02481 -0.00307	0.01277 -0.00306	0.00677 -0.00305	0.00317 -0.00304	0.00167 -0.00303
80	0.06046 -0.00341	0.01156 -0.00340	0.06046 -0.00339	0.03136 -0.00338	0.01686 -0.00337	0.00786 -0.00336	0.00356 -0.00335	0.00156 -0.00334	0.00056 -0.00333
90	0.04113 -0.00371	0.00718 -0.00370	0.04113 -0.00369	0.01798 -0.00368	0.00863 -0.00367	0.00417 -0.00366	0.00187 -0.00365	0.00087 -0.00364	0.00037 -0.00363
100	0.02180 -0.00401	0.00218 -0.00400	0.02180 -0.00399	0.01157 -0.00398	0.00581 -0.00397	0.00278 -0.00396	0.00110 -0.00395	0.00040 -0.00394	0.00010 -0.00393
120	0.00249 -0.00431	0.00249 -0.00430	0.00249 -0.00429	0.01157 -0.00428	0.00581 -0.00427	0.00278 -0.00426	0.00110 -0.00425	0.00040 -0.00424	0.00010 -0.00423
150	0.00079 -0.00461	0.00079 -0.00460	0.00079 -0.00459	0.01157 -0.00458	0.00581 -0.00457	0.00278 -0.00456	0.00110 -0.00455	0.00040 -0.00454	0.00010 -0.00453
200	0.00000 -0.00500	0.00000 -0.00499	0.00000 -0.00498	0.01157 -0.00497	0.00581 -0.00496	0.00278 -0.00495	0.00110 -0.00494	0.00040 -0.00493	0.00010 -0.00492
300	0.00000 -0.00500	0.00000 -0.00500	0.00000 -0.00500	0.01157 -0.00500	0.00581 -0.00500	0.00278 -0.00500	0.00110 -0.00500	0.00040 -0.00500	0.00010 -0.00500
400	0.00000 -0.00500	0.00000 -0.00500	0.00000 -0.00500	0.01157 -0.00500	0.00581 -0.00500	0.00278 -0.00500	0.00110 -0.00500	0.00040 -0.00500	0.00010 -0.00500
500	0.00000 -0.00500	0.00000 -0.00500	0.00000 -0.00500	0.01157 -0.00500	0.00581 -0.00500	0.00278 -0.00500	0.00110 -0.00500	0.00040 -0.00500	0.00010 -0.00500
600	0.00000 -0.00500	0.00000 -0.00500	0.00000 -0.00500	0.01157 -0.00500	0.00581 -0.00500	0.00278 -0.00500	0.00110 -0.00500	0.00040 -0.00500	0.00010 -0.00500
700	0.00000 -0.00500	0.00000 -0.00500	0.00000 -0.00500	0.01157 -0.00500	0.00581 -0.00500	0.00278 -0.00500	0.00110 -0.00500	0.00040 -0.00500	0.00010 -0.00500
800	0.00000 -0.00500	0.00000 -0.00500	0.00000 -0.00500	0.01157 -0.00500	0.00581 -0.00500	0.00278 -0.00500	0.00110 -0.00500	0.00040 -0.00500	0.00010 -0.00500
900	0.00000 -0.00500	0.00000 -0.00500	0.00000 -0.00500	0.01157 -0.00500	0.00581 -0.00500	0.00278 -0.00500	0.00110 -0.00500	0.00040 -0.00500	0.00010 -0.00500
1000	0.00000 -0.00500	0.00000 -0.00500	0.00000 -0.00500	0.01157 -0.00500	0.00581 -0.00500	0.00278 -0.00500	0.00110 -0.00500	0.00040 -0.00500	0.00010 -0.00500

Din relația (3.2.28) se observă că există o proporționalitate directă între $k_m f$ și f' ceea ce înseamnă că momentul realizat de frână este direct proporțional cu greutatea specifică a fluidului utilizat. Utilizarea unui fluid cu o greutate specifică f' mai mare decât cea prevăzută inițial f ceea ce permite reducerea diametrului activ al frânei în proporție $(f/f')^{1/5}$.

Influența căldurii specifice și a viscozității se poate face simțită în sensul necesității unui debit de fluid necesar răcirii mai reduse pentru un fluid cu căldura specifică mai mare și în sensul variației lui f' .

3.2.2.7. Influența grosimii paletelor și a numărului acestora

Compararea relațiilor (3.2.28) și (3.2.29) scoate în evidență faptul că dacă se ține seama de prezența paletelor, de grosimea finită și de numărul paletelor, rezultă o reducere a mărimii coeficientului capacității de moment în proporție

$$(1 + 2_{le} - \frac{ZG'}{\pi}) / (1 + 2_{le})$$

Numărul paletelor rotorului și statorului poate avea asupra coeficientului $k_m f$ o influență importantă, care nu este scoasă în evidență în relația 3.2.28.

3.2.2.8. Influența altor factori.

Relația (3.2.28) nu scoate în evidență influența asupra mărimii coeficientului capacității de moment a unor factori ca forma geometrică a secțiunii torului format de rotor și stator, jocul axial dintre rotor și stator, excentricitatea receptorului.

În ceea ce privește influența coeficientului k_v asupra coeficientului $k_m f$ aceasta reiese din relația (3.2.28). Din relația (3.2.27) rezultă că factorii care au influență asupra lui k_v și anum. 2_{le} , S , L_{sc} și β_{re} sunt aceeași ca și în cazul lui $k_m f$.

3.3. RELATIILE CARACTERISTICE ALE FRINELOR

HIDRAULICE CU PALETE IN UNGHIU DREPT ($\beta'_{e2} = 90^\circ$)

3.3.1. Ecuatiile fundamentale ale frinelor hidraulice cu palete in unghiu drept ($\beta'_{e2} = 90^\circ$).

La frinele hidraulice avand paletele rotorului si statorului in unghiu drept ($\beta'_{e2} = \alpha'_{s2} = \alpha'_{s1} = \beta'_{R1} = 90^\circ$) relatiile caracteristice, stabilite anterior pentru frinele hidraulice cu palete inclinate se vor prezenta intr-o forma diferita.

Circuitul hidraulic al unei frine hidraulice cu paletele in unghiu drept va avea aceeași formă în secțiune ca și în cazul frinelor hidraulice cu palete inclinate (fig. 3.3.1a).

Triunghiurile vitezelor la intrarea în rotor și la ieșirea din rotor vor arăta diferit (fig.3.3.1b) datorită unghiurilor drepte $\beta'_{R1} = \alpha'_{s2} = \beta'_{R2} = \alpha'_{s1} = 90^\circ$ și a unghiurilor β'_{R3} și α'_{s3} mai mici dar apropiate de 90° și a unghiului β'_{R3} mai mare dar apropiat de 90° .

In același timp se remarcă faptul că la ieșirea din rotor $v'_{R3} = Y_R v'_{R2}$ ceea ce conduce la $v'_{UR3} = Y_R v'_{UR2} = Y_R u'_{R2}$ iar la intrarea în rotor $v'_{R0} = v'_{S3} = Y_s v'_{Se}$ ceea ce conduce, datorită faptului că v'_{S2} este perpendicular pe direcția vitezei tangențiale la $v'_{US2} = 0$ și implicit la $v'_{UR0} = v'_{US3} = 0$ (fig.3.3.2).

In aceste condiții în relatiile care determină pe H_{Rth} și M , (3.1.1) respectiv(3.1.2) va trebui considerat $v'_{UR3} = Y_R v'_{UR2}$ și $v'_{UR0} = 0$. Aceste relații se vor prezenta succesiv în forma

$$H_{Rth} = \frac{\omega}{g} R_2 Y_R u'_{R2} \quad (3.3.1)$$

$$M = \frac{Q\delta^2}{g} R_2 Y_R u_{R2} \quad (3.3.2)$$

sau, pentru că $u_{R2} = \omega R_2$

$$H_{Rth} = \frac{1}{g} \omega^2 R_2^2 Y_R \quad (3.3.3)$$

$$M = \frac{Q\delta^2}{g} \omega R_2^2 Y_R \quad (3.3.4)$$

sau, ținind seama de (3.1.26)

$$H_{Rth} = \frac{1}{g} \omega^2 Q_{2e}^2 R_e^2 Y_R \quad (3.3.5)$$

$$M = \frac{Q\delta^2}{g} \omega Q_{2e}^2 R_e^2 Y_R \quad (3.3.6)$$

3.3.2. Bilanțul energetic la frînelor hidraulice cu $\beta'_{R2} = 90^\circ$

Analizînd pierderile de sarcină prin șoc la intrarea în rotor și intrarea în stator se observă că se poate scrie (fig.3.3.2)

$$V_{SCS} = u_{R1} - V_{uS3} = u_{R1} - (1 - Y_s) V_{uR1}$$

$$V_{SCR} = u_{R2} - V_{uR3} = u_{R2} - (1 - Y_R) V_{uR2}$$

Considerînd $Y_s = Y_R = 1$ rezultă

$$V_{SCS} = u_{R1}$$

$$V_{SCR} = u_{R2}$$

Pierderile de sarcină prin șoc la intrarea în rotor respectiv la intrarea în stator sînt

$$H_{SCE} = \frac{\phi_{SCR} u_{R1}^2}{2g} \quad (3.3.7)$$

$$H_{scs} = \frac{\varphi_{scs} \mu_{R2}^2}{2g} \quad (3.3.8)$$

iar pierderea totală de sarcină prin şoc va fi

$$H_{sc} = \frac{\varphi_{sc}}{2g} (\mu_{R1}^2 + \mu_{R2}^2) \quad (3.3.9)$$

Evident, aceasta poate fi scrisă succesiv în următoarele forme

$$H_{sc} = \frac{\varphi_{sc}}{2g} \left[1 + \left| \frac{\frac{Q_{ie} + \sqrt{\frac{1+Q_{ie}^2}{2}}}{1 + \sqrt{\frac{1+Q_{ie}^2}{2}}} \right|^2 \right] \mu_{R2}^2 \quad (3.3.10)$$

sau ținând seama de (3.1.21)

$$H_{sc} = \frac{\varphi_{sc}}{2g} (1 + Q_{12}^2) R_2^2 \omega^2 \quad (3.3.11)$$

respectiv ținând seama de (3.1.14)

$$H_{sc} = \frac{\varphi_{sc}}{2g} (1 + Q_{12}^2) Q_{2e}^2 R_e^2 \omega^2 \quad (3.3.12)$$

Cunoscind sarcina de pompare H_{pump} din relația (3.3.5) și pierderea de sarcină prin şoc H_{sc} din relația (3.3.12) se poate scrie expresia pierderilor de sarcină prin frecare conform bilanțului energiilor ^{specifice} redat prin relația (3.1.42) care ia forma

$$H_{pf} = \frac{Q_{2e}^2 R_e^2 \omega^2}{2g} \left[2 Y_R - \varphi_{sc} (1 + Q_{12}^2) \right] \quad (3.3.13)$$

care pentru $Y_R = 1$ ia forma

$$H_{pf} = \frac{Q_{2e}^2 R_e^2 \omega^2}{2g} \left[2 - \varphi_{sc} (1 + Q_{12}^2) \right] \quad (3.3.14)$$

Dacă se consideră $\psi_{sc} = 1$ atunci

$$H_{PF} = \frac{q_{2e}^2 R_e^2 \omega^2}{2g} (1 - q_{1e}^2) \quad (3.3.15)$$

Tinând seama de relația (3.1.66) care definește coeficientul global al pierderilor prin frecare, tinând seama de (3.3.15), (3.3.6) și (3.1.39) se obține

$$w_{k2} = \frac{2gM}{\pi \delta \omega^2 q_{2e}^2 R_e^4 (1 - q_{1e}) \left(1 + q_{1e} - \frac{ZG}{\pi} \right)} \quad (3.3.16)$$

și

$$\xi = \left[\frac{\pi \delta \sqrt{1 - q_{1e}^2}}{2g} \frac{q_{2e}^3 R_e^5 (1 - q_{1e}) (1 + q_{1e} - \frac{ZG}{\pi})}{\left(\frac{\omega^3}{M} \right)^2} \right]^2 \quad (3.3.17)$$

Relațiile (3.3.16) și (3.3.17) sunt utile pentru analiza frînelor hidraulice la care se cunosc parametrii de funcționare $M = f(n)$.

3.3.3. Determinarea analitică a mărimilor γ și λ la frînele hidraulice avind $\beta_{re}' = 90^\circ$.

La frînele hidraulice cu palete în unghiu drept, mărimea γ , definită prin relațiile (3.1.71) respectiv (3.1.77), poate fi determinată cu ușurință pe cale analitică.

In cazul torului cu secțiune circulară (fig.3.33) determinarea suprafeței totale a paletelor A_p și a suprafeței nete interioare a torului A_{tor} conform relațiilor (3.1.75) și (3.1.76) se face astfel

$$A_p = 2Z \frac{\pi (R_e - R_i)}{2}$$

$$A_p = \frac{\pi}{2} Z R_e^2 (1 - Q_{ie})^2 \quad (3.3.18)$$

$$A_{tor} = 2\pi^2 (R_e - R_i) \frac{R_e + R_i}{2} - Z_s \pi (R_e - R_i)$$

$$A_{tor} = \pi^2 R_e^2 (1 - Q_{ie}) (1 + Q_{ie} - \frac{Z\sigma}{\pi}) \quad (3.3.19)$$

Se obține deci

$$\begin{aligned} L_m x &= \frac{\pi}{2} Z R_e^2 (1 - Q_{ie})^2 + \pi^2 R_e^2 (1 - Q_{ie}) (1 + Q_{ie} - \frac{Z\sigma}{\pi}) \\ L_m x &= \frac{\pi}{2} R_e^2 (1 - Q_{ie}) \left[Z (1 - Q_{ie}) + 2\pi \left(1 + Q_{ie} - \frac{Z\sigma}{\pi} \right) \right] \end{aligned} \quad (3.3.20)$$

Tinând seama de valoarea lui A_2 dată de (3.1.33) rezultă

$$\tilde{\tau} = \frac{L_m x}{4A_2} = \frac{\frac{\pi}{2} R_e^2 (1 - Q_{ie}) \left[Z (1 - Q_{ie}) + 2\pi \left(1 + Q_{ie} - \frac{Z\sigma}{\pi} \right) \right]}{4 \frac{\pi}{2} R_e^2 (1 - Q_{ie}) \left(1 + Q_{ie} - \frac{Z\sigma}{\pi} \right)}$$

de unde

$$\tilde{\tau} = \frac{Z (1 - Q_{ie}) + 2\pi \left(1 + Q_{ie} - \frac{Z\sigma}{\pi} \right)}{1 + Q_{ie} - \frac{Z\sigma}{\pi}} \quad (3.3.21)$$

Pentru torul de secțiune eliptică (fig.3.3.4) de semiaxe a, b se procedează similar.

Intrucit

$$a = \frac{R_e}{2} (1 - Q_{ie}) \quad (3.2.22)$$

$$b = \beta R_e \quad (3.2.23)$$

$$A_p = 2Z\pi ab$$

$$A_p = \pi Z (1 - Q_{ie}) \beta R_e^2 \quad (3.3.24)$$

$$A_{tor} = 2\pi \frac{R_e + R_i}{2} \pi \left[\frac{3(a+b)}{2} - \sqrt{ab} \right] - Z_s \pi \left[\frac{3(a+b)}{2} - \sqrt{ab} \right]$$

$$A_{tor} = \pi \left[\frac{3(a+b)}{2} - \sqrt{ab} \right] \left(2\pi \frac{R_e + R_i}{2} - Z_s \right)$$

$$A_{tor} = \pi \left\{ \frac{\frac{3R_e}{2}(1-q_{ie}) + \beta R_e}{2} - \sqrt{\frac{R_e}{2}(1-q_{ie})\beta R_e} \right\} \left[2\pi \frac{R_e}{2}(1+q_{ie}) - Z_s R_e \right]$$

$$A_{tor} = \pi R_e^2 \left[\frac{3}{4}(1-q_{ie} + 2\beta) - \sqrt{\frac{(1-q_{ie})\beta}{2}} \right] \left[\pi(1+q_{ie}) - Z_s \right]$$

(3.3.25)

In aceste conditii

$$A_p + A_{tor} = \pi R_e^2 \left\{ \left[\frac{3}{4}(1-q_{ie} + 2\beta) - \sqrt{\frac{(1-q_{ie})\beta}{2}} \right] \left[\pi(1+q_{ie}) - Z_s \right] + Z(1-q_{ie})\beta \right\}$$

(3.3.26)

și

$$\gamma = \frac{\left[\frac{3}{4}(1-q_{ie} + 2\beta) - \sqrt{\frac{(1+q_{ie})\beta}{2}} \right] \left[\pi(1+q_{ie}) - Z_s \right] + Z(1-q_{ie})\beta}{2(1-q_{ie})(1+q_{ie} - \frac{Z_s}{\pi})}$$

(3.3.27)

Pentru torul cu secțiune careoare determinarea mărimii $\tilde{\tau}$ se face conform celor prezentate anterior la punctul ^{3.1.3} mențiunea că la frânele hidraulice cu palete în unghiu drept paleta apare în secțiunea prin rotor - stator în adevărata mărime.

- Relația (3.3.14) permite să se stabilească în continuare o serie de relații interesante pentru frânele hidraulice cu palete în unghiu drept. Intr-adevăr ținând seama de (3.1.59) se poate scrie

$$\frac{q_{2e}^2 R_e^2 \omega^2}{2g} \left[2 - \varphi_{sc} (1+q_{12}^2) \right] = \lambda \tilde{\tau} \frac{w_{rz}^2}{2g}$$

(3.3.28)

de unde

$$w_{R2} = Q_{2e} R_e \omega \sqrt{\frac{2 - \varphi_{sc} (1 + Q_{12}^2)}{\lambda T}} \quad (3.3.29)$$

Debitul Q fiind dat de relația $Q = w_{R2} A_2$

$$Q = \frac{\pi}{2} Q_{2e} R_e^3 \omega \sqrt{\frac{2 - \varphi_{sc} (1 + Q_{12}^2)}{\lambda T}} (1 - Q_{ie}) / \left(1 + Q_{ie} - \frac{Z\sigma}{\pi} \right) \quad (3.3.30)$$

Revenind la relația (3.2.1) observăm că ea poate fi scrisă în forma

$$M = 32 \kappa \frac{f}{g} \omega^2 R_e^5 \quad (3.3.31)$$

unde κ este un coeficient al capacitatii de moment, similar coeficientului k_m .

Tinând seama și de (3.3.31) se elimină M și se obține

$$\kappa = \frac{Q}{\omega R_e^3} \frac{Q_{ee}^2}{32} Y_R \quad (3.3.32)$$

Din relația (3.3.30) se poate obține

$$\frac{Q}{\omega R_e^3} = \frac{\frac{\pi Q_{ee} (1 - Q_{ie}) / (1 + Q_{ie} - \frac{Z\sigma}{\pi})}{2\sqrt{\lambda} \sqrt{\tau}} \sqrt{2 - \varphi_{sc} (1 + Q_{12}^2)}}{(3.3.32)} \quad (3.3.33)$$

Inlocuind în relația și considerind $Y_R = 1$ și

$\varphi_{sc} = 1$ rezultă

$$\kappa = \frac{\frac{\pi Q_{ee}^3 (1 - Q_{ie}) / (1 + Q_{ie} - \frac{Z\sigma}{\pi})}{64 \sqrt{\lambda} \sqrt{\tau}} \sqrt{1 + Q_{12}^2}}{(3.3.34)}$$

respectiv

$$\sqrt{\lambda} = \frac{\frac{\pi Q_{ee}^3 (1 - Q_{ie}) / (1 + Q_{ie} - \frac{Z\sigma}{\pi})}{54 \kappa \sqrt{\tau}} \sqrt{1 + Q_{12}^2}}{(3.3.35)}$$

3.3.4. Variația componentei meridionale a vitezei absolute în canalul dintre două palete.

Distribuția vitezelor în canalul cuprins între două palete poate fi pusă în evidență în modul următor. Se consideră în masa de fluid o particulă infinit mică de formă paralelipipedică de dimensiuni d_n , d_h , d_l cu centrul de greutate în O' (fig.3.3.5).

Pentru a scrie condiția de echilibru a forțelor ce acționează asupra particulei de fluid, aflate în mișcare cu o viteză unghiulară constantă ω după axa n-n. trebuie evaluate forțele care acționează asupra $\frac{\text{particulei de fluid}}{\text{fluid}}$ sint:

- Forță dată de presiunea pe față \bar{I} , F_I

$$F_I = \left(p + \frac{\partial p}{\partial n} \frac{1}{2} d_n \right) d_h d_l \quad (3.3.36)$$

- Forță dată de presiunea pe față \bar{II} , F_{II}

$$F_{II} = \left(p - \frac{\partial p}{\partial n} \frac{1}{2} d_n \right) d_h d_l \quad (3.3.37)$$

- Forță Coriolis F_C care acționează asupra particulei de fluid aflate în mișcare de rotație împreună cu rotorul și având o mișcare în direcție radială cu viteză w este

$$F_C = m \sigma_C \quad (3.3.38)$$

unde accelerarea lui Coriolis σ_C este dată de

$$\sigma_C = 2 \omega w \quad (3.3.39)$$

Se poate deci scrie

$$F_C = 2 \omega w m$$

și întrucăt

$$m = \rho dn dh dl$$

$$F_c = 2 \omega w \rho dn dh dl \quad (3.3.40)$$

Condiția de echilibru a forțelor după axa $n - n$
este

$$-(p + \frac{1}{2} \frac{\partial p}{\partial n} dn) dl/dh + (p - \frac{1}{2} \frac{\partial p}{\partial n} dn) dl/dh - 2 \omega w \rho dn dl/dh \\ (3.3.41)$$

din care, după simplificări și reduceri rezultă

$$-\frac{\partial p}{\partial n} = 2 \omega w \rho \quad (3.3.42)$$

Pentru a stabili o relație între presiunea p și
viteza relativă w se utilizează relația lui Bernoulli
scrisă în forma

$$\frac{p}{\rho g} + \frac{w^2}{2g} - \frac{u^2}{2g} = \text{const.} \quad (3.3.43)$$

care se diferențiază în raport cu dn obținindu-se sucesiv

$$\frac{1}{\rho g} \frac{\partial p}{\partial n} + \frac{2w}{2g} \frac{\partial w}{\partial n} - \frac{2u}{2g} \frac{\partial u}{\partial n} = 0$$

$$\frac{1}{\rho g} \frac{\partial p}{\partial n} + \frac{1}{g} \left(w \frac{\partial w}{\partial n} - u \frac{\partial u}{\partial n} \right) = 0$$

Inlocuind $u = wr$ rezultă

$$-\frac{\partial p}{\partial n} = \rho \left[w \frac{\partial w}{\partial n} - wr \frac{\partial (wr)}{\partial n} \right]$$

Considerind $r = \text{const}$ se obține mai departe

$$-\frac{\partial p}{\partial n} = \rho w \frac{\partial w}{\partial n} \quad (3.3.44)$$

Egalând relațiile (3.3.42) și (3.3.44)

rezultă

$$2\omega w \varphi = g w \frac{\partial w}{\partial n}$$

de unde

$$\frac{\partial w}{\partial n} = 2\omega$$

respectiv

$$\partial w = 2\omega dn \quad (3.3.45)$$

Inlocuind în relația (3.3.45) $dn = r d\varphi$ se obține

$$dw = 2\omega r d\varphi$$

de unde prin integrare rezultă

$$w = 2\omega r \varphi + C_1 \quad (3.3.46)$$

Constanta C_1 se determină din condiția că pt

$$\varphi = 0$$

$$C_1 = w_{med} = \frac{Q}{A_2}$$

de unde

$$(3.3.47)$$

$$w = w_{med} \pm 2\omega r \varphi$$

Vitezele maximă și minimă se obțin pentru $\varphi = \frac{\pi}{Z}$

$$w_{max} = w_{med} + 2\omega r \frac{\pi}{Z} \quad (3.3.48)$$

$$w_{min} = w_{med} - 2\omega r \frac{\pi}{Z} \quad (3.3.49)$$

Se observă din relațiile (3.3.47), (3.3.48) și (3.3.49) că pentru o valoare determinată a lui r , în secțiunea transversală a canalului dintre două patele, viteză relativă w are o variație liniară (fig.3.36).

Relația (3.3.47) scoate în evidență necesitatea ca pentru a nu apărea desprinderi ale firelor de lichid să fie îndeplinită inegalitatea

$$w_{med} - \omega r \frac{2\pi}{Z} > 0 \quad (3.3.50)$$

Această inegalitate permite o explicație a faptu-

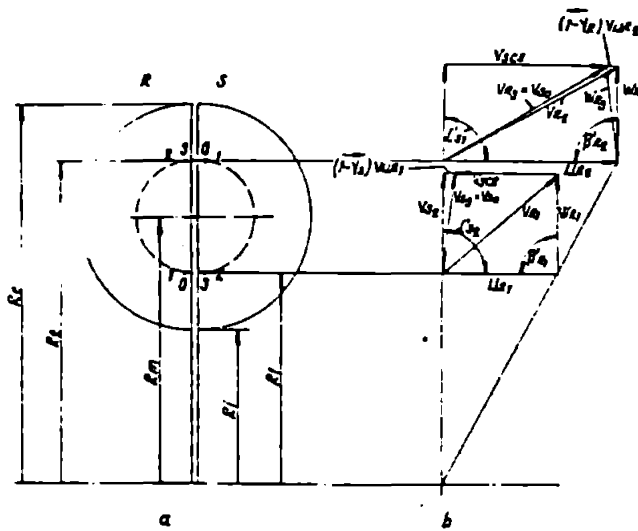


Fig. 33.1

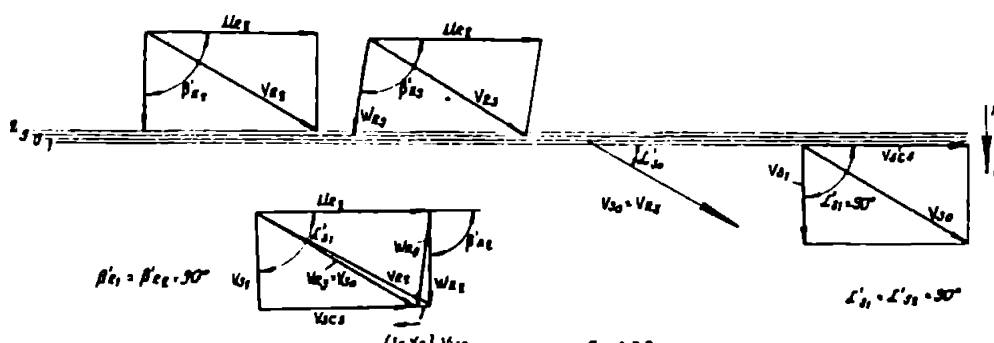
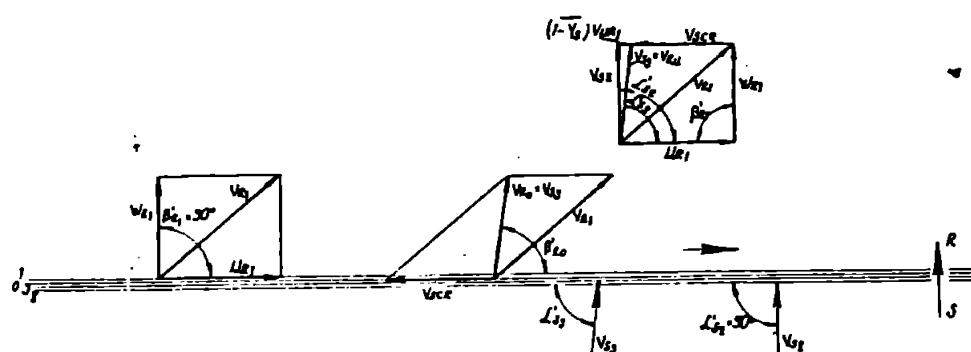


Fig. 112

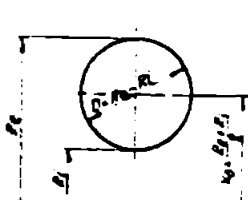


Fig. III

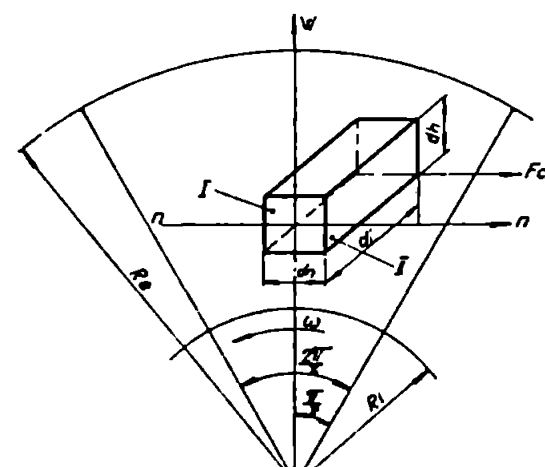
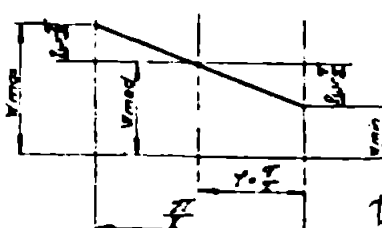
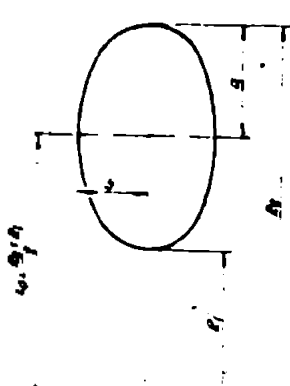


FIG. 335



-1- 34

5133.6

lui că la frâne hidrodinamice numărul de palete poate fi mai mic decât în cazul turboambreiajelor.

Intr-adevăr în cazul turboambreiajelor pentru un raport de transmitere i folosind indicii P și T pentru rotorii pompă și turbină se pot scrie succesiv relațiile:

Inălțimea de pompare teoretică a rotorului pompă

$$H_{Pth} = \frac{1}{g} Q_{2e}^2 R_e^2 \omega_p^2 (1-i Q_{12}^2) \quad (3.3.51)$$

Cădereea de sarcină teoretică în rotorul turbină

$$H_{Tth} = \frac{1}{g} Q_{2e}^2 R_e^2 i \omega_p^2 (1-i Q_n^2) \quad (3.3.52)$$

Pierdereea de sarcină prin soc

$$H_{sc} = \frac{1}{2g} Q_{2e}^2 R_e^2 \omega_p^2 (1+Q_{12}^2) / (1-i)^2 \quad (3.3.53)$$

Pierdereea de sarcină prin frecare

$$\begin{aligned} H_{PF} &= H_{Pth} - H_{Tth} - H_{sc} \\ H_{PF} &= \frac{1}{g} Q_{2e}^2 R_e^2 \omega_p^2 \left[(1-i Q_{12}^2) / (1-i) - \frac{1}{2} (1+Q_{12}^2) / (1-i)^2 \right] \end{aligned} \quad (3.3.54)$$

$$H_{PF} = \lambda \tilde{\tau} \frac{\omega^2}{2g} \quad (3.3.55)$$

Din ultimele două relații se obține

$$w_{m_2} = Q_{2e} R_e \omega_p \sqrt{\frac{2(1-i Q_{12}^2)(1-i) - (1+Q_{12}^2)(1-i)^2}{\lambda \tilde{\tau}}} \quad (3.3.56)$$

sau după explicitarea relației de sub radical

$$w_{m_2} = Q_{2e} R_e \omega_p \sqrt{\frac{(1-i^2)(1-Q_{12}^2)}{\lambda \tilde{\tau}}} \quad (3.3.57)$$

Relația (3.3.57) în coordonate i , w_{m2}

reprezintă elipsă de semiaxe $i = 1$ și $w_{m2} = \varrho_{2e} R_e \omega_p \sqrt{\frac{1-2\beta^2}{\lambda \tau}}$

Din relația 3.3.57 se observă că viteza meridională w_{m2} este sensibil mai mare pentru $i = 0$ decât pentru $i = 0,04 \dots 0,06$ domeniul cel mai frecvent de lucru al turboambreiajelor.

Acest lucru înseamnă că dacă se ține seama de variația vitezei relative în secțiunea transversală a canelului dintre două palete, caracterizată prin relația (3.3.57), condiția (3.3.50) scrisă în forma

$$w_{med} > \omega r \frac{2\pi}{Z} \quad (3.3.58)$$

socotește în evidență faptul că pentru parametrii identici cu excepția lui i , numărul de palete Z trebuie să fie sensibil mai mare la turboambreiaje ($i = 0,04 \dots 0,06$) față de frâne hidraulice ($i = 0$).

Evident numărul de palete diferit conduce la valori diferite a lui τ ceea ce aduce anumite corecții relației (3.3.57).

3.4. RELATII DE ASEMANARE, CONSTANTE, FUNCTII CARACTERISTICE, COEFICIENTI SI PARAMETRI DE BAZA IN STUDIUL FRINELOR HIDRAULICE.

Din numărul de constante, funcții caracteristice, coeficienți și parametrii de bază care sunt cunoscute în studiul mașinilor hidraulice este necesară selectarea acelora care într-o formă aproape prezintă utilitatea maximă în

studiu, experimentarea și proiectarea frinelor hidraulice.

Relațiile de similitudine stabilite în teoria mașinilor hidraulice pentru pompe conduo la o serie de rapoarte constante pentru toate mașinile asemenea care permit exprimarea sarcinii, debitului și puterii în forma :

$$H = k_H \gamma_w \frac{n^2 D^2}{g} \quad (3.4.1)$$

$$Q = k_Q \gamma_v n D^3 \quad (3.4.2.)$$

$$P = k_P \rho \frac{1}{\eta_m} n^3 D^5 \quad (3.4.3)$$

In aceste relații k_H , k_Q , k_P sunt rapoarte constante pentru toate pompele asemenea.

Evident aceste relații sunt valabile și pentru frâne hidrodinamice.

Presupunând că randamentele se păstrează la scări geometrice diferite și înglobind în constante accelerarea gravitațională și masa specifică, relațiile anterioare se scriu într-o formă în care apar n_{II} , Q_{II} și P_{II} turăția, debitul și puterea unei mașini asemenea având diametrul activ D și sarcina H egale cu unitatea.

$$n = n_{II} H^{1/2} D \quad (3.4.4)$$

$$Q = Q_{II} D^2 H^{1/2} \quad (3.4.5)$$

$$P = P_{II} D^2 H^{3/2} \quad (3.4.6)$$

Aceste relații nu sunt adimensionale, ele depind de sistemul de unități de măsură adoptat.

Dintre relațiile anterioare cele mai utile în studiul frînelor hidraulice apar (3.4.1), (3.4.2), (3.4.3) și (3.4.5) care se pot scrie, admitînd aproximările enunțate, în forma:

$$H = k_H n^2 D^2 \quad (3.4.7)$$

$$Q = k_Q n D^3 \quad (3.4.8)$$

$$P = k_P n^3 D^5 \quad (3.4.9)$$

și derivat din aceasta

$$M = k_{mf} n^2 D^5 \quad (3.4.10)$$

precum și

$$Q_{II} = Q D^{-2} H^{-1/2} \quad (3.4.11)$$

In teoria mașinilor hidraulice s-au introdus anumite funcții caracteristice, care caracterizează proporțiile geometrice și unghiiurile constructive ale rotorilor, dintre care cea mai utilizată este turăția specifică η_s . Aceasta a rezultat din formarea produsului $n_{II} P_{II}$ și are expresia cunoscută

$$\eta_s = n P^{1/2} H^{-5/4} \quad (3.4.12)$$

In cazul pompelor se utilizează o relație derivată

$$n_s = \sqrt{\frac{f}{75}} n Q^{1/2} H^{-3/4} \quad (3.4.13)$$

care, pentru $f = 1000 \text{ kgf/m}^3$, în forma cunoscută

$$\eta_s = 3,65 n Q^{1/2} H^{-3/4} \quad (3.4.14)$$

După definiția lui Proskura se utilizează și
turația specifică $(n_s)^*$

$$(n_s)^* = n_s \gamma^{-\frac{1}{2}} (2gH)^{-\frac{3}{4}} \quad (3.4.15)$$

care se scrie ținând seama de (3.4.13)

$$(n_s)^* = \frac{1}{\sqrt{75}} n Q^{\frac{1}{2}} (2gH)^{-\frac{3}{4}} \quad (3.4.16)$$

sau similar cu (3.4.14)

$$(n_s)^* = \frac{1}{25,55} n Q^{\frac{1}{2}} H^{-\frac{3}{4}} \quad (3.4.17)$$

In studiul frînelor hidraulice, așa cum se va confirma din analiza ce urmează, prezintă un interes deosebit unele mărimi care se dovedesc foarte utile, cum sunt coeficientul vitezelor k_v , dat de relația (3.2.16) și coeficientii de viteză, preluati din studiul turbinelor axiale elaborat de Acad. Anton [2], scriși în forma

$$k_{uR} = \frac{u_{Re}}{\sqrt{2gH_{Re}}} \quad (3.4.18)$$

$$k_{vm} = \frac{v_{m2}}{\sqrt{2gH_{Re}}} \quad (3.4.19)$$

Parametrii k_v , k_{uR} și k_{vm} pot fi exprimați în funcție de alte mărimi caracteristice ale mașinilor hidraulice.

Astfel coeficientul de viteză k_{uR} se poate exprima ținând seama de relația (3.4.4) și de definiția vitezei tangențiale u_{Re} în forma

$$k_{uR} = \frac{\frac{\pi D_2 n}{60}}{\sqrt{2gH_{Re}}} = \frac{\pi}{60} \frac{n_{11} \sqrt{H_{Re}}}{\sqrt{2gH_{Re}}} \quad \text{BUPT}$$

de unde

$$k_{uR} = \frac{\pi}{60\sqrt{2g}} n_{II} \quad (3.4.20)$$

La fel, coeficientul de viteză k_{vm} se poate scrie, ținând seama definiția componentei meridionale a vitezei absolute V_{m2} scrisă ca raport între debitul Q și secțiunea exprimată prin relația (3.1.13), respectiv de definiția debitului unitar Q_{II} în forma

$$k_{vm} = \frac{\frac{Q}{\pi D_2 B_2 G_2}}{\sqrt{2g H_{Reh}}} = \frac{\frac{Q_{II} D_2^2 \sqrt{H_{Reh}}}{\pi D_2 B_2 G_2}}{\sqrt{2g H_{Reh}}}$$

de unde ținând seama și de (3.1.25)

$$k_{vm} = \frac{2}{\pi \sqrt{2g} G_2 Q_{II}} \quad (3.4.21)$$

Relațiile (3.4.20) și (3.4.21) permit exprimarea coeficientului vitezelor k_v în forma

$$k_v = \frac{u_{R2}}{V_{m2}} = \frac{k_{uR}}{k_{vm}} = \frac{\frac{\pi^2 G_2 Q_{II}}{30}}{\frac{n_{II}}{Q_{II}}} \quad (3.4.22)$$

Principalii parametri ai frînelor hidraulice pot fi exprimați la rîndul lor în funcție de mărimele caracteristice definite anterior.

Astfel sarcina creată de rotor dată de relația (3.1.9) în care se consideră $\gamma_r = 1$; $\gamma_s = 1$, ia forma

$$H_{Reh} = \frac{\omega}{g} \left[R_2 (u_{R2} + w_{R2} \cos \beta'_{R2}) - R_1 r_{s2} \cos \beta'_{s2} \right] \quad (3.4.23)$$

Tinând seama de relațiile (3.1.46), (3.1.47) valabile pentru palete cu muchia radială, de relația (3.1.79) con-

siderind că este valabilă și relația (3.1.61) se obține pentru H_{Rth} , ținând seama că $\omega R_2 = \mu_{R2}$:

$$H_{Rth} = \frac{\omega}{g} \left[R_2 (R_2 \omega + \mu_{R2} \cos \beta'_{R2}) + R_1 \mu_{R2} \cos \beta'_{R2} \right] \quad (3.4.24)$$

Mai departe, ținând seama de relațiile (3.1.24), (3.2.15) și (3.2.16) se obține:

$$H_{Rth} = \frac{R_2^2 \omega^2}{g} \left[\frac{(1+q_{12}) \operatorname{ctg} \beta'_{R2}}{k_v} + 1 \right] \quad (3.4.25)$$

La rîndul lor coeficientii de viteză definiți prin relațiile (3.4.18) și (3.4.19) se pot exprima de asemenea în funcție de coeficientul vitezelor k_v utilizînd relația (3.4.25).

Prin definiție rezultă deci:

$$k_{ur} = \frac{R_2 \omega}{\sqrt{2g \frac{R_2^2 \omega^2}{g} \left[\frac{(1+q_{12}) \operatorname{ctg} \beta'_{R2}}{k_v} + 1 \right]}} \quad (3.4.26)$$

și formînd expresia inversă se obține

$$\frac{1}{k_{ur}^2} = \frac{2R_2^2 \omega^2 \left[\frac{(1+q_{12}) \operatorname{ctg} \beta'_{R2}}{k_v} + 1 \right]}{R_2^2 \omega^2}$$

de unde

$$\frac{1}{k_{ur}^2} = 2 \left[\frac{(1+q_{12}) \operatorname{ctg} \beta'_{R2}}{k_v} + 1 \right]$$

respectiv

$$k_{ur} = \sqrt{\frac{k_v}{2[(1+q_{12}) \operatorname{ctg} \beta'_{R2} + k_v]}} \quad (3.4.27)$$

Se observă că pentru $\beta'_{R2} = 90^\circ$

$$k_{ur} = \frac{1}{\sqrt{2}} \quad (3.4.28)$$

Tot prin definiție

$$k_{vm} = \frac{v_{m2}}{\sqrt{2g \frac{R_2^2 \omega^2}{g} \left[\frac{(1+2_{12}) \operatorname{ctg} \beta'_{R2}}{k_v} + 1 \right]}} \quad (3.4.29)$$

Formind expresia inversă

$$\frac{1}{k_{vm}^2} = \frac{2R_2 \omega^2 \left[\frac{(1+2_{12}) \operatorname{ctg} \beta'_{R2}}{k_v} + 1 \right]}{v_{m2}^2}$$

ținând seama de (3.2.16)

$$\frac{1}{k_{vm}^2} = 2k_v \left[(1+2_{12}) \operatorname{ctg} \beta'_{R2} + k_v \right]$$

și explicitând se obține în final

$$k_{vm} = \sqrt{\frac{1}{2k_v [(1+2_{12}) \operatorname{ctg} \beta'_{R2} + k_v]}} \quad (3.4.30)$$

Se observă că pentru $\beta'_{R2} = 90^\circ$

$$k_{vm} = \frac{1}{\sqrt{2} k_v} \quad (3.4.31)$$

Pentru a explicita o relație care să scoată în evidență dependența debitului unitar Q_u de diferenți parametrii ai frânelor hidraulice se pornește de la relația (3.2.18), care definește pierderea de sarcină prin frecare, în care se ține seama conform (3.1.81) că

$$v_{R2}^2 = \left(\frac{Q}{A_2 \sin \beta'_{R2}} \right)^2 \quad (3.4.32)$$

Astfel

$$H_{Pr} = \frac{\mathcal{G} Q^2}{2g A_2^2 \sin^2 \beta'_{R2}} = H_{Reh} - H_{sc} \quad (3.4.33)$$

de unde

$$Q^2 = \frac{2g A_2^2 (H_{Reh} - H_{sc}) \sin^2 \beta'_{R2}}{\mathcal{G}} \quad (3.4.34)$$

Din relația (3.4.11) rezultă

$$Q''^2 = \frac{Q^2}{D^4 H_{Reh}} \quad (3.4.35)$$

Inlocuind în (3.4.35) valoarea lui Q^2 din (3.4.34)

$$Q''^2 = \frac{g A_2^2 (H_{Reh} - H_{sc}) \sin^2 \beta'_{R2}}{\delta \mathcal{G} R_e^4 H_{Reh}}$$

sau

$$Q''^2 = \frac{g A_2^2 \sin^2 \beta'_{Re}}{\delta \mathcal{G} R_e^4} \left(1 - \frac{H_{sc}}{H_{Reh}} \right) \quad (3.4.36)$$

Raportul $\frac{H_{sc}}{H_{Reh}}$ se poate explicita ținând seamă de relațiile (3.1.63), (3.1.24) și (3.4.25)

$$\frac{H_{sc}}{H_{Reh}} = \frac{1}{2} \frac{\gamma_{sc} k_v (1 + Q_{12}^2)}{(1 + Q_{12}) \operatorname{ctg} \beta'_{R2} + k_v} \quad (3.4.37)$$

Inlocuind în (3.4.36) se obține

$$Q''^2 = \frac{g A_2^2 \sin^2 \beta'_{Re}}{\delta \mathcal{G} R_e^4} \left[1 - \frac{1}{2} \frac{\gamma_{sc} k_v (1 + Q_{12}^2)}{(1 + Q_{12}) \operatorname{ctg} \beta'_{R2} + k_v} \right] \quad (3.4.38)$$

din care după simplificări se obține în final, considerind

$\varphi_{sc} = 1$ și ținând seama de relația (3.1.38) stabilită pentru A_2 ,

$$Q_{11} \sqrt{S} = \frac{\pi \sqrt{g}}{4\sqrt{2}} (1-q_{ie}) \left(1+q_{ie} - \frac{Z\sigma}{\pi} \right) \sin \beta'_{R2} \sqrt{1 - \frac{1}{2} \frac{k_v (1+q_{ie}^2)}{(1+q_{ie}) \operatorname{ctg} \beta'_{R2} + k_v}} \quad (3.4.39)$$

Se observă că s-a obținut pentru $Q_{11} \sqrt{S}$ o relație dependență numai de proporțiile geometrice ale frânei hidraulice, de unghiul paletelor β'_{R2} și de coeficientul vitezelor k_v .

Pentru palete în unghi drept $\beta'_{R2} = 90^\circ$ relația (3.4.39) ia forma simplificată

$$Q_{11} \sqrt{S} = \frac{\pi \sqrt{g}}{8} (1-q_{ie}) \left(1+q_{ie} - \frac{Z\sigma}{\pi} \right) \sqrt{1-q_{ie}^2} \quad (3.4.40)$$

Din ecuația (3.2.26) în care s-a înlocuit valoarea lui \sqrt{S} dată de relația (3.1.24) se obține pentru coeficientul global al pierderilor prin frecare S

$$S = \left[2 - \varphi_{sc} (1+q_{ie}^2) \right] k_v^2 \sin^2 \beta'_{R2} + (1+q_{ie}) k_v \sin 2\beta'_{R2} \quad (3.4.41)$$

iar pentru $\varphi_{sc} = 1$

$$S = (1-q_{ie}^2) k_v^2 \sin^2 \beta'_{R2} + (1+q_{ie}) k_v \sin 2\beta'_{R2} \quad (3.4.42)$$

pentru $\beta'_{R2} = 90^\circ$

$$S = (1-q_{ie}^2) k_v^2 \quad (3.4.43)$$

Tinând seama de expresiile obținute pentru S rezultă că produsul $Q_{11} \sqrt{S}$ este dependent numai de proporțiile

geometrice ale frinei și de coeficientul vitezelor k_v .

Cum $\mathcal{G} = \lambda \mathcal{Z}$ iar \mathcal{Z} este o mărime determinată de proporțiile geometrice ale rotorului și statorului prezintă interes valoarea coeficientului λ în funcție de k_v , obținindu-se pentru $\mathcal{G}_{sc} = 1$

$$\lambda = \frac{1}{\mathcal{Z}} \left[\left(1 - Q_{12}^2 \right) k_v^2 \sin^2 \beta'_{R2} + \left(1 + Q_{12} \right) k_v \sin 2\beta'_{R2} \right] \quad (3.4.44)$$

Se observă că pentru $\beta'_{R2} = 90^\circ$ din relațiile (3.4.40) rezultă că λ depinde numai de proporțiile geometrice, și de coeficientul vitezelor k_v :

Pentru a se afla o relație între turăția specifică n_s și alți parametri ai frinei se înlocuiesc valorile lui n și $Q^{1/2}$ în relația (3.4.13).

Turăția n se poate exprima ținând seama de relațiile (3.2.5) și (3.4.18).

$$n = \frac{60 U_{R2}}{\pi D} = \frac{60}{2\pi Q_{2e} R_e} k_{UR} \sqrt{2g H_{Rth}} \quad (3.4.45)$$

$$n = \frac{30}{\pi Q_{2e} R_e} k_{UR} \sqrt{2g H_{Rth}} \quad (3.4.46)$$

Debitul Q se poate exprima ținând seama de relația (3.2.22).

$$Q = A_2 n_{m2} = A_2 k_{vm} \sqrt{2g H_{Rth}} \quad (3.4.47)$$

și ținând seama de relația (3.2.29)

$$Q^{1/2} = R_e \sqrt{\frac{\pi}{2} (1 - Q_{ie}) / (1 + Q_{ie} - \frac{ZG}{\pi})} \sqrt[4]{2g H_{Rth}} \sqrt{k_{vm}} \quad (3.4.48)$$

Inlocuind în relația (3.4.13)

$$\eta_s = \frac{\sqrt{\frac{f}{75}} \cdot \frac{30}{\pi Q_{2e} R_e} \sqrt{2g H_{Rth}} k_{ur} R_e \sqrt{\frac{\pi}{2}(1-Q_{ie})/(1+Q_{ie} - \frac{Z\sigma}{\pi})} \sqrt[4]{2g H_{Rth}} \sqrt{k_{vm}}}{\sqrt[4]{H_{Rth}^3}} \quad (3.4.49)$$

respectiv

$$\eta_s = \sqrt{\frac{f}{6\pi}} \sqrt[4]{(2g)^3} \frac{1}{Q_{2e}} \sqrt{(1-Q_{ie})(1+Q_{ie} - \frac{Z\sigma'}{\pi})} k_{ur} \sqrt{k_{vm}} \quad (3.4.50)$$

Tinând seama de relațiile (3.4.27) și (3.4.30) - care exprimă coeficienții k_{ur} și k_{vm} în funcție de k_v se obține că :

$$k_{ur} \sqrt{k_{vm}} = \sqrt{\frac{k_v}{8[(1+Q_{12}) \operatorname{ctg}\beta'_{R2} + k_v]^3}} \quad (3.4.51)$$

In final, tinând seama de (3.4.50) se obține

$$\eta_s = \frac{\sqrt{f}}{\sqrt{6\pi}} \sqrt[4]{(2g)^3} \frac{1}{Q_{2e}} \sqrt{(1-Q_{ie})(4Q_{ie} - \frac{Z\sigma'}{\pi})} \sqrt[4]{\frac{1}{2\sqrt{2} k_v}} \quad (3.4.52)$$

Pentru $\beta'_{R2} = 90^\circ$

$$\eta_s = \frac{\sqrt{f}}{\sqrt{6\pi}} \sqrt[4]{(2g)^3} \frac{1}{Q_{2e}} \sqrt{(1-Q_{ie})(1+Q_{ie} - \frac{Z\sigma}{\pi})} \sqrt[4]{\frac{1}{2\sqrt{2} k_v}} \quad (3.4.53)$$

Cum din relațiile (3.4.13) și (3.4.15) rezultă

$$(\eta_s)^* = f^{-\frac{1}{2}} (2g)^{-\frac{3}{4}} \eta_s \quad (3.4.54)$$

se obține pentru $(n_s)^*$ valorile

$$(n_s)^* = \frac{1}{\sqrt{6\pi} q_{ze}} \sqrt{(1-q_{ie})/(1+q_{ie} - \frac{Z\sigma'}{\pi})} \sqrt[4]{\frac{k_v}{8[(1+q_{ie})\operatorname{ctg}\beta'_{e2} + k_v]^3}} \quad (3.4.55)$$

și pentru $\beta'_{e2} = 90^\circ$

$$(n_s)^* = \frac{1}{\sqrt{6\pi} q_{ze}} \sqrt{(1-q_{ie})/(1+q_{ie} - \frac{Z\sigma'}{\pi})} \sqrt{\frac{1}{2\sqrt{2} k_v}} \quad (3.4.56)$$

Se observă că atât n_s cît și $(n_s)^*$ depind numai de proporțiile geometrice, de unghiul paletelor și de coefficientul vitezelor k_v .

Determinarea numărului Reynolds în cazul frânelor hidraulice se face pornind de la expresia cunoscută

$$Re = \frac{\nu D}{\gamma} \quad (3.4.57)$$

unde ν este viteza fluidului

γ viscozitatea cinematică

se poate scrie în cazul curgerii prin canalele circuitului hidraulic cu secțiunea totală A , perimetrul udat χ și viteză relativă w

$$Re = \frac{4wA}{\gamma \chi} \quad (3.4.58)$$

sau pentru curgerea prin canalele unui rotor cu Z_R palete

$$Re^* = \frac{\nu \frac{4A_e}{Z_R}}{\gamma} \quad (3.4.59)$$

Se observă că dacă înmulțim numărătorul și numitorul cu lungimea firului mediu echivalent L_m relația (3.4.58) ia forma

$$Re = \frac{\omega L_m}{\nu} \frac{4 A_2}{L_m \chi} \quad (3.4.60)$$

Inlocuind valoarea lui \bar{T} dată de relația (3.1.57) se obține

$$Re = \frac{\omega_{R2} L_m}{\nu \bar{T}} \quad (3.4.61)$$

În relația (3.4.61), dacă se admite că rotorul și statorul au în secțiunea firului mijlociu un contur circular, lucru suficient de exact în cazul frânelor hidraulice cu palete îmobilizate la 45° , cazul cel mai general, valoarea lungimii L_m se poate scrie astfel :

$$\begin{aligned} L_m &= \pi(R_2 - R_1) \\ L_m &= \pi(1 - q_{R2}) R_2 \end{aligned} \quad (3.4.62)$$

În aceeași relație, viteza relativă se poate scrie rezolvând ecuația care se obține pornind de la relația (3.1.66) care, dacă sunt satisfăcute relațiile (3.1.41), (3.1.42) și (3.1.43) își formează

$$M = \frac{Q r^2}{g} \left[R_2 (R_2 \omega + \omega_{R2} \cos \beta'_{R2}) + R_1 \omega_{R2} \cos \beta'_{R2} \right] \quad (3.4.63)$$

Din această relație, introducind valoarea lui din (3.1.74) se obține

$$A_2 (R_2 + R_1) \frac{r^2}{g} \frac{\sin 2\beta'_{R2}}{2} \omega_{R2}^2 + A_2 R_2^2 \omega \frac{r}{g} \sin \beta'_{R2} - M = 0 \quad (3.4.64)$$

de unde

$$\omega_{R2} = \frac{A_2 R_2^2 \omega \frac{r}{g} \sin \beta'_{R2} \pm \sqrt{(A_2 R_2 \omega \frac{r}{g} \sin \beta'_{R2})^2 + 2A_2 (R_2 + R_1) \frac{r}{g} M \sin 2\beta'_{R2}}}{A_2 (R_2 + R_1) \frac{r}{g} \sin 2\beta'_{R2}} \quad (3.4.65)$$

Semnul + corespunde sensului de frânare înainte.

Mărimea τ se determină cu una din metodele indicate în cap. 3.1 sau 3.2.

Numărul Reynolds se poate determina înlocuind în (3.4.61) pe L_m dat de (3.4.62), ω_{R2} dat de (3.4.65), τ și v .

Din analiza efectuată a rezultat că următoarele mărimi :

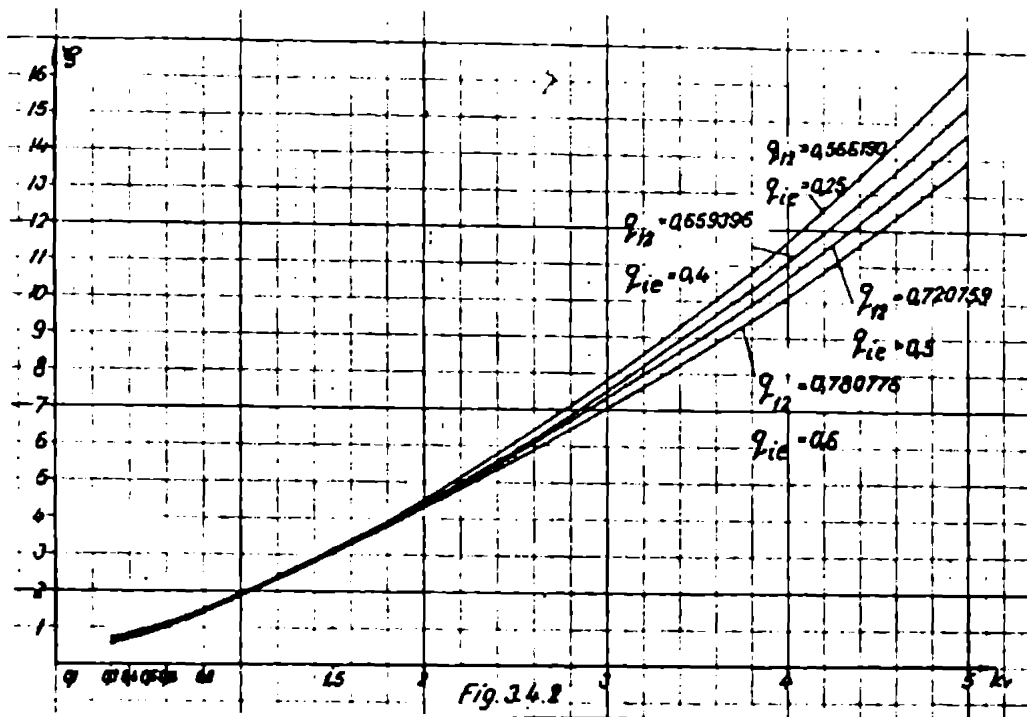
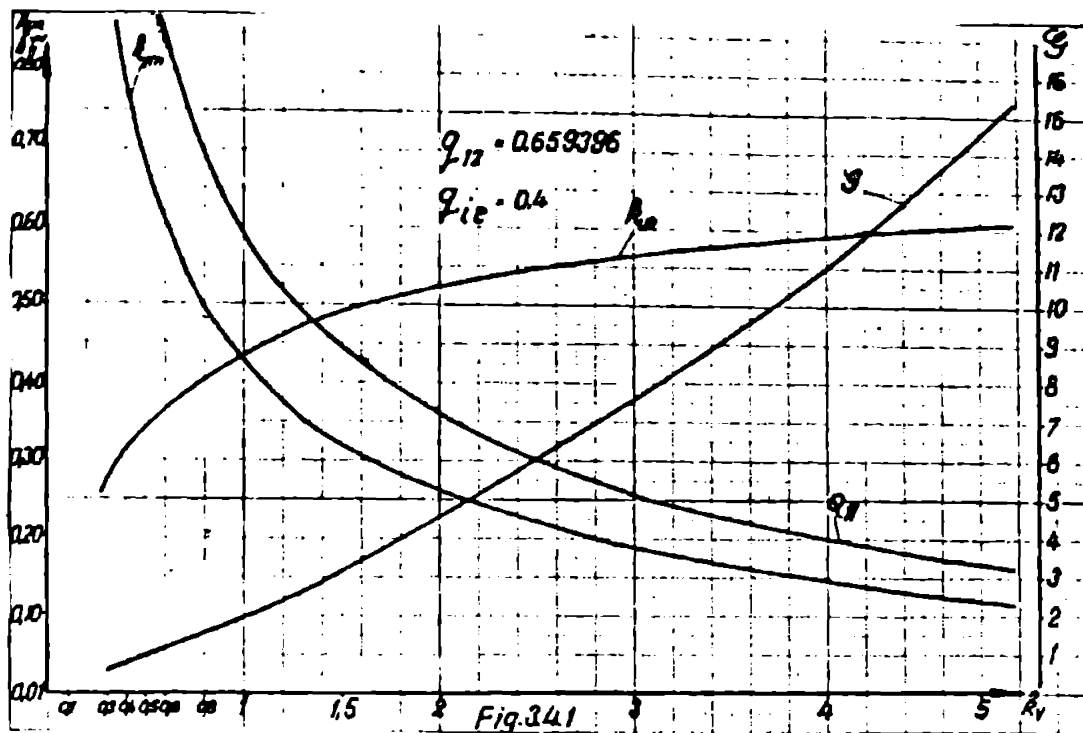
- sarcina de pompare H_{Rth} (relația 3.4.25)
- coeficienții de viteză k_{ur} și k_{vr} (relațiile 3.4.26 și 3.4.30)
- debitul unitar Q_u (relația 3.4.39)
- coeficientul ξ (relația 3.4.42)
- coeficientul λ (relația 3.4.44)
- turăriile specifice n_s și $(n_s)^*$ (relațiile 3.4.49 și 3.4.55)
pentru un β'_{R2} dat
sunt dependente numai de proporțiile geometrice ale frânei și de coeficientul vitezelor k_v .

Variatia mărimilor k_{ur} , k_{vr} , ξ și Q_u în funcție de coeficientul k_v pentru $\xi_{12} = 0,659396$ ($\xi_e = 0,4$) și $\beta'_{R2} = 45^\circ$ este scosă în evidență în reprezentările grafice din fig. 3.4.1.

In general variația lui ξ_{12} în limitele $\xi_{12} = 0,3 \dots 0,6$ duce la diferențe minime în cazul coeficientului ξ reprezentat în fig. 3.4.2.

x

x x



In acest capitol al lucrării a fost întreprinsă o cercetare teoretică a frînelor hidrodinamice.

Pornind de la ecuațiile generale ale mașinilor hidraulice rotative s-au stabilit relațiile teoretice ale frînelor hidraulice care exprimă momentul de frînare M și sarcina de pompare H_{RH} realizate.

De asemenea s-au stabilit o serie de relații geometrice generale care permit definirea proporțiilor circuitului hidraulic al frînelor.

Bilanțul energetic efectuat a scos în evidență pierderile prin frecare și pierderile prin soc definite prin sarcinile H_{PF} și H_{SC} . Pentru caracterizarea acestor pierderi s-au introdus coeficienții ξ și γ_{sc} . Prin introducerea unui coeficient de formă ζ s-a putut exprima și legătura dintre coeficientul global al pierderilor prin frecare ξ și coeficientul pierderilor longitudinale prin frecare λ .

Expresia analitică a coeficientului capacității de moment k_{mf} scoate în evidență dependența acestuia de :

- proporțiile geometrice ale circuitului hidraulic caracterizate prin coeficientul ζ_e
- unghiul de înclinare al paletelor β'_{R2}
- greutatea specifică a fluidului utilizat γ
- coeficienții pierderilor prin frecare și prin soc ξ și γ_{sc} .
- coeficientul vitezelor κ , (dependent la nivelul lui de ζ_e , β'_{R2} , γ , ξ și γ_{sc}).

In baza programului de calcul elaborat, au fost calculate pe un calculator IBM 370 valorile coeficientului pentru întregul domeniu de variație al parametrilor enunțați.

Pentru a se scoate în evidență influența individuală a diferenților parametri asupra coeficientului k_{mf} s-a

recurs la reprezentări grafice.

Ecuatiile generale ale frinelor hidraulice au fost particularizate pentru unghiuri de inclinare ale paletelor β_{R2}' de 45° și 90° .

Pornind de la relatiile de asemănare ale mașinilor hidraulice rotative, de la constantele și funcțiile acestora, au fost selectate mărimele care pot caracteriza cel mai bine funcționarea frinelor hidraulice și asemănarea lor.

Pornind de la relatiile generale de asemănare, de la constantele și funcțiile caracteristice ale mașinilor hidraulice rotative, s-au putut selecta și exprima într-o formă corespunzătoare mărimele caracteristice ale frinelor hidraulice care permit în modul cel mai eficient compararea unor realizări existente, proiectarea unor tipuri noi pornind de la un model redus de laborator și alegerea construcțiilor cu performanțele cele mai bune.

Dintre mărimele la care s-a făcut referire în prezentul capitol cele mai indicate pentru analiza frinelor hidraulice pot fi considerate :

- sarcina de pompare H_R , exprimată de relația (3.4.25);

- coeficienții de viteză k_{UR} și k_{Vm} datei de relațiile (3.4.18) și (3.4.19).

- debitul unitar Q_u exprimat de relația (3.4.40)

- coeficientul global al pierderilor prin frecare

S dat de relația (3.4.42).

Toate aceste mărimi caracteristice sunt dependente, așa cum se poate observa din relațiile respective, de coeficiențul vitezelor k_v și de proporțiile geometrice ale circuitului hidraulic al frinei (coeficientul γ_f) și de unghiul de inclinare al paletelor β_{R2}' .

4. ANALIZA UNOR CONSTRUCTII DE FRINE HIDRODINAMICE REALIZATE IN STRAINATATE

Așa cum s-a arătat în concluziile capitolului precedent, relațiile teoretice elaborate pot constitui aparatul de analiză al unor frâne hidraulice existente, realizate în strainatătate.

Analiza s-a efectuat pentru două mari grupe de frâne hidraulice și anume frâne cu un singur sens de frânare respectiv cu frânaresă în ambele sensuri, reversibile.

La prima grupă se presupune că unghiul de înclinare al paletelor $\beta_{\alpha 2}'$ este de 45° , considerat puțin diferit de valoarea optimă, care dă valoarea maximă a momentului de frânare. Această presupunere pornește de la avantajele tehnologice ale unui unghi de 45° față de unghiul optim (fig.3.2.5) diferența de moment de frânare nefiind apreciabilă, lucru scos în evidență de variația coeficientului k_{mf} (fig.3.2.2).

Pentru a avea posibilitatea unor comparații concludente, toți parametrii analizați au fost considerați pentru frâne hidraulice simple, cu un singur tor, considerându-se caracteristicile aferente.

Metodologia analizei efectuate se bazează pe relațiile stabilite anterior pornindu-se de la calculul debitului Q respectiv a vitezei $W_{\alpha 2}$ cunoșcind dimensiunile, proporțiile geometrice ale frânei și momentul de frânare M realizat pentru anumite valori ale turăției α .

Pentru frâne hidraulice cu un singur sens de frânare ($\beta_{\alpha 2}' = \alpha_{s1}' = 45^\circ$) se va utiliza relația (3.1.87) pentru

calculul debitului Q în care se introduc $\gamma \beta'_{R2} = 1$, $\gamma = 1000 \text{ kg/m}^3$, $g = 9,81 \text{ m/s}^2$, M și ω pentru valori indicate în diagrame sau măsurate.

Cunoscând razele R_e și R_i se pot calcula cu ajutorul relațiilor (3.1.19) și (3.1.21) razele firului echivalent, R_2 și R_i .

Intrucit în majoritatea cazurilor nu se cunosc numărul de palete ale rotorului și statorului Z_e și Z_s respectiv grosimea paletelor s , secțiunea A_2 se va calcula cu ajutorul relației (3.1.90) în care s-a considerat pentru coeficientul de obstrucție, datorită prezenței paletelor, valoarea medie $\bar{\sigma}_2 = 0,93$.

Mărimile w_{R2} , $\frac{w_{R2}}{2g}$, H_{Rth} , H_{sc} și \mathcal{S} se determină cu ajutorul relațiilor (3.1.88), (3.1.89), (3.1.91) (3.1.92) și (3.1.93). În relația (3.1.92) se consideră $\sigma_{sc} = 1$.

Având cunoscute mărimile anterioare se pot determina k_v , k_{vR} , k_{vm} și Q_1 din relațiile (3.2.16), (3.4.18), (3.4.19) și (3.4.39).

De asemenea a fost calculată, cu ajutorul relației (3.4.14) turăția specifică n_s .

Rezultatele analizei efectuate pentru lo frâne hidraulice realizate în străinătate sunt înfățișate în tabelul 4.1 în care frânele hidraulice au fost prezentate în ordinea aferentă mărimii coeficientului global al pierderilor prin frecare \mathcal{S} . Valorile din tabel au fost determinate pentru un punct de funcționare al frânei.

Se precizează datele utilizate care au avut la bază următoarele surse, respectiv au fost deduse astfel:

Pentru frânele hidraulice Parmac V200 și V295 dimensiunile au rezultat din desenele de ansamblu prevăzute cu unele cote iar caracteristicile $M_F = f(n)$ au fost extrase

din diagramele din catalogul firmei [58].

Pentru firma Zöllner tip 12 n 56 aflată în țară (echipează standul de probă pentru motoare diesel de la ICM Reșița) dimensiunile au rezultat din desenul de ansamblu la scară iar caracteristica de moment $M_f=f(n)$ din diagrama $P_f=f(n)$ pentru puterea frânei cuprinsă în instrucțiunile de întreținere și exploatare care au însoțit la livrare frâna [61].

Pentru frânele Sohenck caracteristicile de moment au fost extrase din catalogul firmei [59] iar proporțiile geometrice R_i/R_e au fost deduse din același catalog și din instrucțiunile care au însoțit o frână hidraulică U2-25 (reversibilă) aflată în dotarea I.M. Plopeni, în modul indicat în continuare. Cunoscând dimensiunile exterioare ale acestei frâne considerind că acestea sunt identice cu frâna corespondentă cu un singur sens U1-25, în baza unor deducții privind proporțiile constructive și valorile corespunzătoare ale coeficientului de moment $k_m f$ dependent de $D=2R_e$ s-a ajuns la concluzia că $D=0,250$ m dimensiune confirmată de simbolul frânei (cifrele 25).

Luarea în considerare a momentelor de frânare realizate de celelalte tipuri dimensiuni de frâne hidraulice ale firmei a confirmat că diametrul activ figurează în simbolul fiecarei frâne ($D = 0,300$ m pt. U1-30; $D=0,100$ m pentru U1-10; $D=0,130$ pentru U1-13).

Dintre frânele hidraulice ale firmei Voith [60] s-a dispus de date suficiente numai pentru frâna tip 180.

Pentru frâna hidraulică de încetinire pentru vehicoul greu Fuller datele respective au fost obținute din [38].

Pentru frâna hidraulică TG 1200 dimensiunile și caracteristica de moment au rezultat din [19].

Pentru a se scoate în evidență variația parametrilor k_{UR} , k_{vm} , Q_{II} , și aceștia au fost reprezentăți grafic în diagrama din fig.4.1 în funcție de k_v .

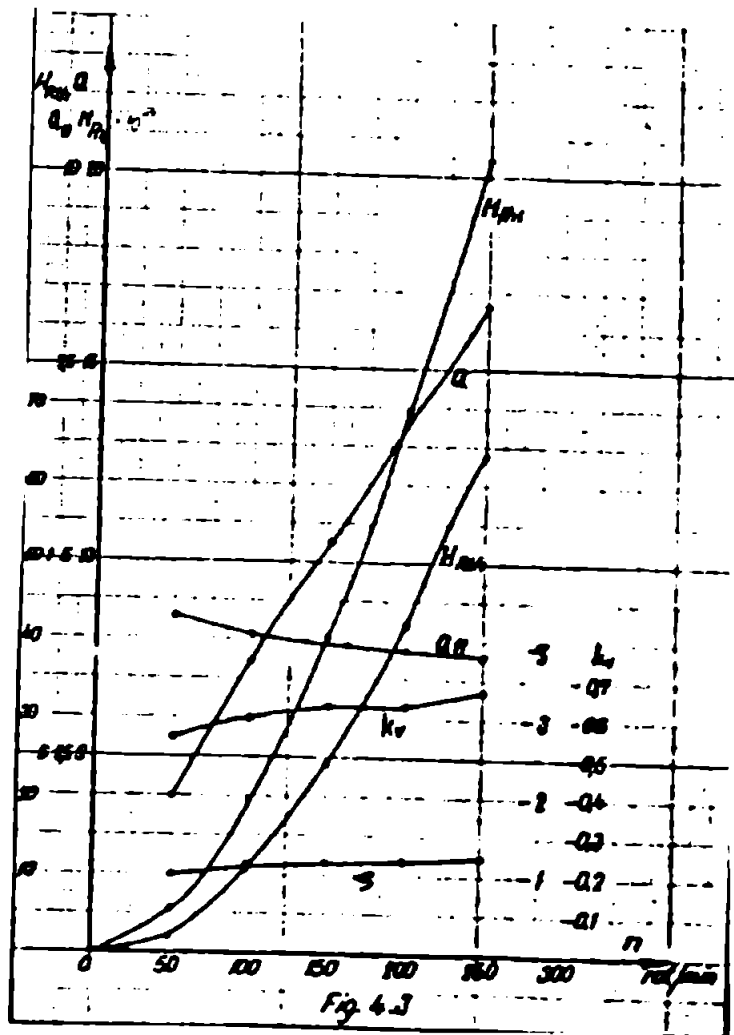
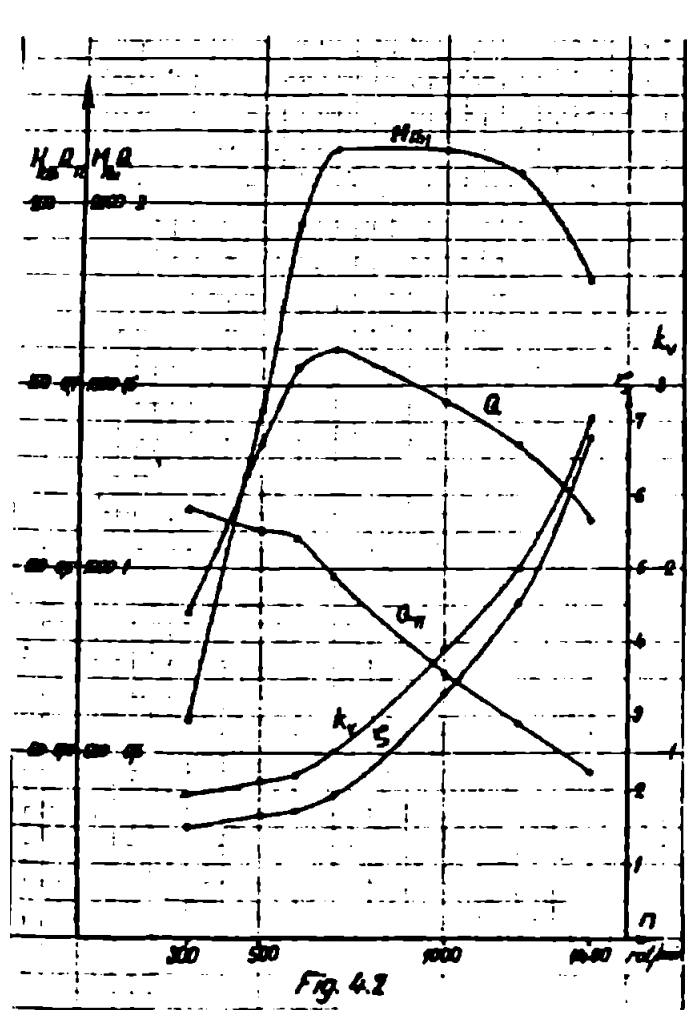
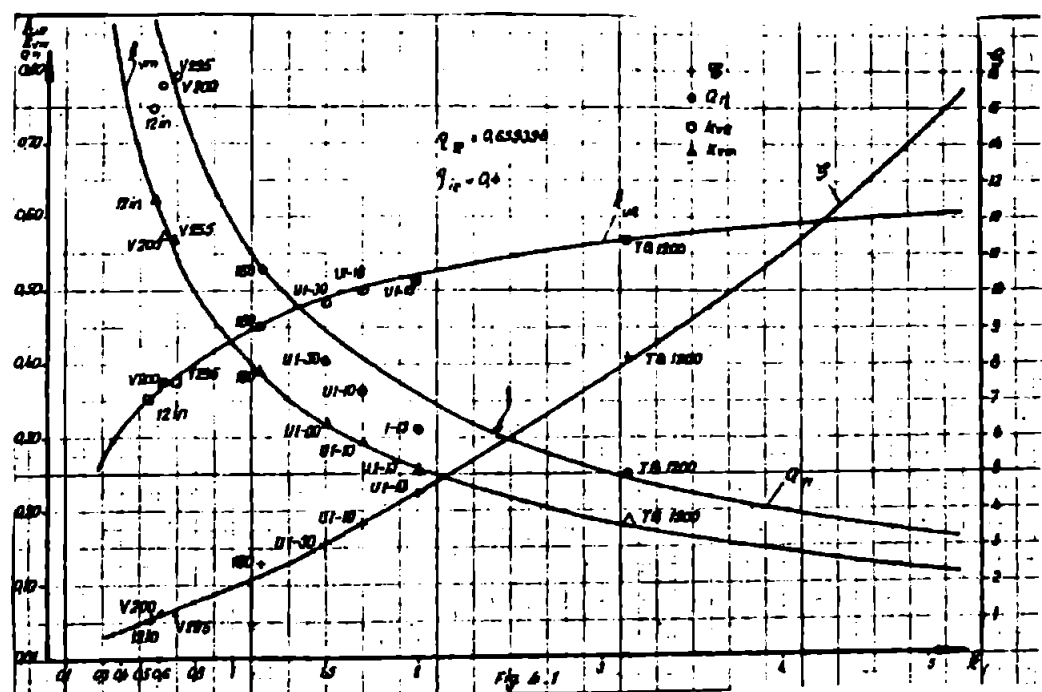
In aceeași diagramă au fost reprezentate grafic funcțiile care exprimă parametrii k_{UR} , k_{vm} , Q_{II} și ζ în raport cu k_v conform relațiilor (3.4.27), (3.4.30), (3.4.40) și (3.4.43). Se observă o corelare foarte bună a valorilor rezultate din calcul pentru cele nouă frâne hidraulice analizate cu curbele teoretice definite prin relațiile amintite, deși frânele au rapoarte Q_{Ie} și Q_{I2} diferite de valorile considerate la determinarea curbelor respective ($Q_{Ie} = 0,4$; $Q_{I2} = 0,659396$) ceea ce justifică unele abateri.

Pentru firma Zöllner tip 12 n 56 în figura 4.2 s-a reprezentat variația, în funcție de turăția n , a mărimilor M_{fh} , Q , Q_{II} , H_{Rth} , și k_v . Este de reținut alura curbei $M_{fh}=f(n)$ care are trei domenii caracteristice, primul în care se respectă proporționalitatea cu pătratul turăției, al doilea de moment de frânare constant și al treilea în care momentul de frânare scade.

Este de reținut de asemenea că și la alte frâne, de exemplu Voith 180 curba $M_{fh}=f(n)$ prezintă o abatere asemănătoare de la legea pătratică $M = k_{mf} n^2 \delta^5$.

Pentru frâna Parmac V200, în figura 4.3 s-a reprezentat variația în funcție de turăția n a mărimilor Q , Q_{II} , H_{Rth} , și k_v . Se remarcă faptul că în domeniul de turăție indicat pentru această frânu momentul de frânare M_{fh} respectă suficient de exact proporționalitatea cu pătratul turăției.

Intrucit din [49] au rezultat caracteristicile $M_{fh}=f(n)$ pentru frâna ATE 360 a firmei TEVE din RFG pentru diferite presiuni ale fluidului de lucru (ulei cu $\gamma = 865 \text{ kg/m}^3$)



la intrarea în frînă în tabelul 4.2 au fost indicate aceleasi mărimi, ca în tabelul 4.1, determinate pentru puncte de funcționare la presiuni de alimentare crescătoare.

Dependența momentului de frînare de presiunea de alimentare cu lichid a frînei hidraulice constituie un aspect nou care nu a reesit din cercetarea teoretică efectuată. Acest aspect se reține ca un mijloc de îmbunătățire a performanțelor frînei.

Pentru frîne hidraulice reversibile ($\beta_{R2}' = 90^\circ$) debitul Q poate fi determinat cu ușurință din relația (3.3.4) în care se consideră $\gamma_e = 1$, $\gamma = 1000 \text{ kg/m}^3$, $g = 9,81 \text{ m/s}^2$, pentru valorile aferente ale momentului de frînare M_{fh} și a vitezei unghiulare ω .

Au putut fi analizate 2 tipuri de frîne hidraulice reversibile, o frînă hidraulică model experimental cu diametrul $D = 400 \text{ mm}$ realizată în RDG în trei variante, cu numere diferite de palete la rotor și stator ($Z_R/Z_s = 16/15$; $48/15$ și $48/47$) și frîna hidraulică Schenk U2-25.

A fost analizat și cuplajul hidraulic funcționând în regim de frînare descris în [30]. Acest cuplaj a fost realizat în ceea ce privește calitatea execuției, grosimea paletelor, precizia geometrică și calitatea suprafețelor în trei variante.

Rezultatele analizei efectuate sunt infățișate în tabelul 4.3 în care au fost indicate aceleasi mărimi ca în tabelul 4.1.

Se observă că coeficientul global al pierderilor prin frecare S prezintă un domeniu de variație mare lucru ce se explică în primul rînd prin calitatea concepției și a execuției frînei. Acest domeniu reprezintă în mod practic limitele de funcționare posibile ale frînelor hidraulice cu palete inclinate.

FRINE HIDRAULICE REALIZATE IN STRAINATATE

$\rho_{\text{fr}} = 65^\circ$

Tabelă 41

Parametru	Fulger	Formare	Formare	Tönnier	Valk	Scherck	Scherck	Scherck	Scherck	UNISSE
D, m	0.152	1.624	1.651	0.510	0.180	0.300	0.100	0.350	0.100	1.6200
R_f, m	0.038	0.736	0.756	0.160	0.036	0.072	0.026	0.050	0.026	0.200
$g_f, -$	0.5	0.60409	0.35478	0.31035	0.4	0.4	0.4	0.48	0.4	0.35
R_s, m	0.058	0.516	0.522	0.953	0.079	0.124	0.065	0.115	0.079	0.5297
R_t, m	0.0300	0.305	0.318	0.039	0.039	0.036	0.036	0.070	0.039	0.3397
$q_f, -$	0.77018	0.67100	0.62805	0.7357	0.588	0.705	0.745	0.705	0.705	0.705
A_f, m^2	0.000238	0.000205	0.000205	0.000205	0.000205	0.000205	0.000205	0.000205	0.000205	0.000205
$u_{sf}, m/s$	2.020084	1.777919	1.512024	1.871944	1.532346	1.602211	1.620373	1.716823	1.707819	1.707819
$u_{st}, m/s$	4.707159	2.155563	1.817234	1.817246	1.667255	1.827152	1.827152	1.827152	1.827152	1.827152
$H_{fr}, kg/m$	1.53475	1.0070	1.0000	1.0000	1.0000	1.0000	1.0000	1.0000	1.0000	1.0000
$n, rev/min$	1000	75	100	100	100	100	100	100	100	100
$Q, m^3/s$	0.073213	0.2429915	1.23106	1.531938C	0.0091891	0.23771601	0.0537374	0.0537374	0.0537374	0.0537374
$N_{fr}, m/s$	17.79730	23.36797	11.81593	10.07914	12.28567	12.29126	9.53021	12.56059	8.465503	6.461205
$V_{fr}, m/s$	12.58212	12.30958	12.35517	14.45049	8.570115	9.191286	12.552044	9.675537	12.000491	6.370367
H_{fr}, m	10.826488	6.939578	11.17250	19.021742	20.70659	12.90122	22.46124	16.34768	28.03367	28.03367
H_{fr}, m	3.746277	8.577832	8.793813	20.749123	18.87045	15.020013	10.14155	11.746432	13.417747	13.417747
$g, -$	1.0267207	1.3069377	1.167137	1.6934878	2.1977152	2.02432	3.073575	3.033029	6.322401	6.322401
$I_f, -$	0.5007207	0.675941	0.675919	0.675919	1.1567311	1.691131	1.704245	1.712097	8.0339765	3.793067
$t_{fr}, -$	0.214829	0.375561	0.375561	0.400087	0.465111	0.481024	0.6000729	0.500157	0.500157	0.500157
$k_{fr}, -$	0.214829	0.375561	0.375561	0.400087	0.465111	0.481024	0.6000729	0.500157	0.500157	0.500157
$k_{fr}, -$	0.214829	0.375561	0.375561	0.400087	0.465111	0.481024	0.6000729	0.500157	0.500157	0.500157
$Q_{fr}, m^3/s$	0.7815825	0.5616655	0.5616655	0.5616655	0.5616655	0.5616655	0.5616655	0.5616655	0.5616655	0.5616655
$n_f, -$	0.55377004	10.067209	10.61550	10.43655	10.61551	10.43656	10.61557	10.61557	10.61557	10.61557
L_{fr}, m	0.077700	0.0753176	0.0753179	0.0753179	0.0753179	0.0753179	0.0753179	0.0753179	0.0753179	0.0753179
l_{fr}, m	0.04336424	0.04336424	0.04336424	0.04336424	0.04336424	0.04336424	0.04336424	0.04336424	0.04336424	0.04336424

FRINA HIDRAULICĂ ATE 360 - TEVE

Tabelă 42

P	d_0, mm	1	2	3	4	5	6
D, m				4.360			
R_f, m				0.0975			
$g_f, -$				0.5616655			
R_s, m				0.1673719			
R_t, m				0.1712359			
$q_f, -$				0.245895377			
A_f, m^2				0.0331646419			
$u_{sf}, m/s$	0.71541776	2.501962202	1.90277519	1.160317157	15.30356001	16.30356001	
$u_{st}, m/s$	0.71541776	0.6712171206	0.6712171206	0.6712171206	0.6712171206	0.6712171206	
$H_{fr}, kg/m$	40	58	58	58	58	58	
$n, rev/min$	600	500	500	500	500	500	
$Q, m^3/s$	0.71541776	0.71541776	0.71541776	0.71541776	0.71541776	0.71541776	
$N_{fr}, m/s$	7.407872967	9.767613276	9.767613276	9.767613276	9.767613276	9.767613276	
$V_{fr}, m/s$	5.826222467	6.906796702	6.906796702	6.906796702	6.906796702	6.906796702	
H_{fr}, m	10.03710101	11.16167474	11.16167474	11.16167474	11.16167474	11.16167474	
H_{fr}, m	3.659938777	3.724271518	3.724271518	3.724271518	3.724271518	3.724271518	
$g, -$	8.660972673	2.687262906	2.687262906	2.687262906	2.687262906	2.687262906	
$I_f, -$	1.238457703	1.238457703	1.238457703	1.238457703	1.238457703	1.238457703	
$k_{fr}, -$	0.437191972	0.437191972	0.437191972	0.437191972	0.437191972	0.437191972	
$k_{fr}, -$	0.437191972	0.437191972	0.437191972	0.437191972	0.437191972	0.437191972	
$Q_{fr}, m^3/s$	0.437191972	0.437191972	0.437191972	0.437191972	0.437191972	0.437191972	
$n_f, -$	0.437191972	0.437191972	0.437191972	0.437191972	0.437191972	0.437191972	
L_{fr}, m	2.070055963	0.019359603	0.019359603	0.019359603	0.019359603	0.019359603	
l_{fr}, m	0.04336424	0.04336424	0.04336424	0.04336424	0.04336424	0.04336424	

FRINE HIDRAULICE REALIZATE IN STRAINATATE

$\rho_{\text{fr}} = 90^\circ$

Tabelă 43

Parametru	F100 - FDC			Scherck	Cuplu hidraulic (30) revoluție		
	15/15	44/45	68/69		U-2-95	1	2
D, m	3.400			0.250		4.220	
R_f, m	2.000			0.175		0.110	
R_s, m	0.010			0.050		0.050	
$g_f, -$	0.700			2.640		2.3272777	
R_t, m	0.748376			0.748376		0.0986532	
A_f, m^2	0.037825192	0.03535374	0.04637011	0.03941596	0.03036777	0.03941596	0.03941596
$u_{sf}, m/s$	9.503863056	9.503863056	9.503863056	9.503863056	9.503863056	9.503863056	9.503863056
$u_{st}, m/s$	5.75721182			0.757206		12.907405	
$H_{fr}, kg/m$	51	686	51,10	51,10	51,10	51,10	51,10
$n, rev/min$	500			500		500	
$Q, m^3/s$	0.557205950	0.6203505950	0.6133671519	0.6058608	0.60554667	0.6043151	0.6043151
$N_{fr}, V_m, m/s$	12.71721567	12.71721567	12.71721567	12.71721567	12.71721567	3.9377799	3.9377799
H_{fr}, m	0.504004637	0.504004637	0.504004637	0.504004637	0.504004637	12.6002000	12.6002000
H_{fr}, m	5.57373			5.57373		11.301205	
$g, -$	0.438605933	0.438605933	0.438605933	0.438605933	0.438605933	3.7930715	3.7930715
$I_f, -$	0.438605933	0.438605933	0.438605933	0.438605933	0.438605933	3.7930715	3.7930715
$k_{fr}, -$	0.438605933	0.438605933	0.438605933	0.438605933	0.438605933	3.7930715	3.7930715
$Q_{fr}, m/s$	0.438605933	0.438605933	0.438605933	0.438605933	0.438605933	0.438605933	0.438605933
$n_f, -$	0.438605933	0.438605933	0.438605933	0.438605933	0.438605933	0.438605933	0.438605933
L_{fr}, m	0.438605933	0.438605933	0.438605933	0.438605933	0.438605933	0.438605933	0.438605933
l_{fr}, m	0.438605933	0.438605933	0.438605933	0.438605933	0.438605933	0.438605933	0.438605933

x

x x

Analiza efectuată confirmă concluzia teoretică anterioară ^{căz} atât în cōficientul global al pierderilor prin frecare și ^{căz} coeficienții de viteză k_{vr} și k_{vm} și debitul unitar Q_H sunt dependenți de cōficientul vitezelor k_v . În fig.4.1 în care au fost indicate valorile respective determinate pentru diferitele frîne analizate, au fost reprezentate și curbele $k_{vr} = f(k_v)$ conform relației (3.4.27) ; $k_{vm} = f(k_v)$ conform relației (3.4.30), $Q_H = f(k_v)$ conform relației 3.4.40 și $\beta = f(k_v)$ conform relației 3.4.43 pentru $\varphi_{ip} = 0,4$ și $\beta_{R2} = 45^\circ$.

Se observă așa cum s-a arătat o foarte bună corespondență a punctelor calculate cu curbele teoretice deși frînele respective au rapoarte φ_{ip} diferite de valoarea luată în calcul.

Analiza efectuată la frîne hidraulice realizată în stîrenătate confirmă deci toate concluziile cercetării teoretice întreprinse.

5. INCERCARI EXPERIMENTALE LA FRINA

HIDRAULICA FH 200.

Cercetarea teoretică întreprinsă în capitolul 3 a permis stabilirea relațiilor fundamentale ale frînelor hidraulice. Întrucît parametrul de bază al unei frîne hidraulice este momentul de frînare, realizat la o turăție dată, pentru caracterizarea acestuia, independent de dimensiunile frînei și turăția aleasă, s-a folosit coeficientul capacitatei de moment al frînei k_{mf} . Relația analitică stabilită pentru aceasta scoate în evidență dependența acestuia de factori ca proporțiile geometrice ale circuitului hidraulic, coeficientul φ_{ie} , unghiul de înclinare al paletelor β'_{R2} , coeficienții caracterizînd pierderile globale prin frecare și respectiv pierderile prin șoc φ_{sc} și indirect de coeeficientul vitezelor k_v .

Pornind de la relațiile de asemănare ale mașinilor hidraulice s-a putut stabili pentru frîne hidraulice dependența unor mărimi cum sunt coeficienții k_{ur} , k_{vm} , debitul unitar Q_u , coeeficientul φ ca și însăși coeeficientul k_{mf} de coeeficientul vitezelor k_v .

Relațiile teoretice stabilite au permis și elaborarea unei metodologii de analiză a unor tipuri de frîne hidraulice existente, metodologie aplicată pentru analiza unor frîne realizate în străinătate. Analiza efectuată în capitolul 4 al lucrării a confirmat rezultatele cercetării teoretice întreprinse în capitolul 3 arătînd că aceasta poate sta la baza realizării unor frîne hidraulice noi, cu performanțe superioare.

Cercetarea teoretică și analiza efectuată nu au putut însă stabili în mod concret care este cauza că mărimele caracteristice k_{mf} , ξ dependente de k , au un domeniu de variație atât de larg, care sunt valorile reale care pot fi obținute în condiții concrete și cum trebuie acționat pentru a se obține performanțele cele mai bune caracterizate prin valori mari ale coeficientului k_{mf} , și valori mici ale coeficientului ξ .

Pentru verificarea experimentală a rezultatelor cercetării teoretice întreprinse, a unei construcții concepute în concordanță cu aceste rezultate s-a considerat nevoie să realizarea unei frâne hidraulice model experimental la scară redusă, care să fie încercată pe stand.

5.1. FRINA HIDRAULICA MODEL EXPERIMENTAL LA SCARA REDUSĂ FH 200.

Frâna hidraulică FH 200, model experimental la scară redusă a fost concepută ținând seama de necesitatea încercării în condițiile stațiunii de încercări ce putea fi adaptată în Laboratorul de mașini hidraulice de la Institutul Politehnic "Traian Vuia" Timișoara.

În funcție de aceste condiții, prezumind un coeficient al capacitatii de moment $k_{mf} = 0,150$ rezultat ca posibil în urma analizei construcțiilor de frâne hidraulice cunoscute pe plan mondial efectuată în cap. 4 s-a ales diametrul activ $D = 0,200$ m. Elementele geometrice ale circuitului hidraulic al rotorului și statorului sunt prezentate în figura 5.1. Proportiile geometrice au fost stabilite în jurul valorilor rezultate pentru construcțiile de frâne analizate.

Reportul $Z_e = \frac{R_1}{R_e}$ 0,4 a rezultat în mod obiectiv din soluțiile constructive posibile la o frînă hidraulică de dimensiuni mici. El se încadrează între valorile cele mai uzuale la frînele hidrodinamice de uz general.

Pentru valoarea Z_e aleasă a rezultat

$$R_2 = 0,088078865$$

$$R_1 = 0,058078865$$

$$Z_{r2} = 0,659396155$$

Frîna hidraulică FH 200 (fig.5.2), dublă, cu două toruri a fost concepută inițial cu execuția rotorului și statorilor din aliaj siluminic AT Si 12 Cu elaborat după norma NU 02-40 a Intreprinderii 1 Mai - Ploiești, prin turnare obișnuită. Unghiul paletelor β'_{R2} s-a ales de 45° respectiv 35° pentru a putea evidenția influența acestui unghi asupra coeficientului capacitatii de moment al frînei, influență evidentiată în expresia analitică stabilită pentru coeficientul k_{mf} .

Conform analizei efectuate în cap.3, ținînd seama de concluzia că la frîne hidraulice numărul de palete rotative respectiv statorice poate fi sensibil mai mic decît la turboambreiaje s-a ales $Z_r = 9$, $Z_s = 8$.

Rotorul respectiv statorul în varianta turnată sunt prezentăți în fig.5.3 și 5.4.

Grosimea paletelor prevăzută inițial $S = 3$ mm a fost modificată la cererea turnătoriei la $S = 4$ mm.

Încercarea acestei prime variante a frînei hidraulice FH 200 a condus la determinarea unui coefficient al capacitatii de moment $k_{mf} = 0,0325$ independent de valoarea unghiului paletelor $\beta'_{R2} = 45^\circ$ sau $\beta'_{R2} = 35^\circ$, mult inferior valorii prezumate. În baza măsurătorilor efectuate a rezultat

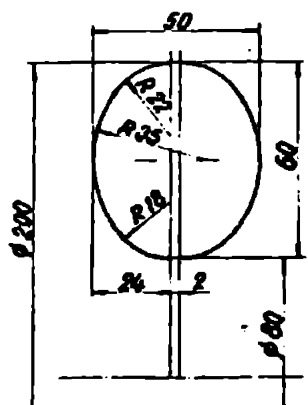


Fig. 5.1

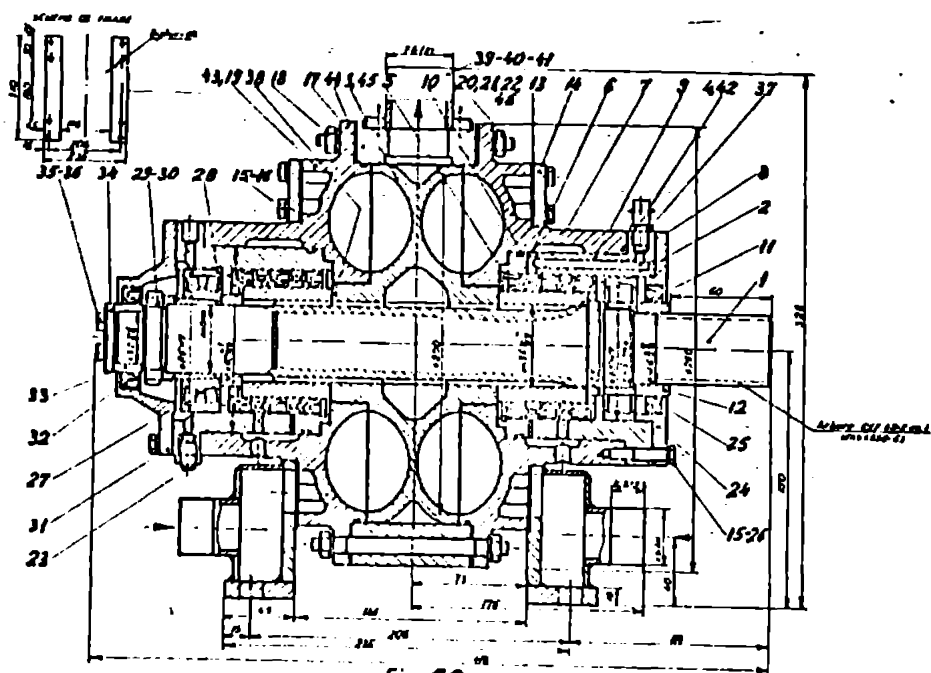


Fig. 5.2

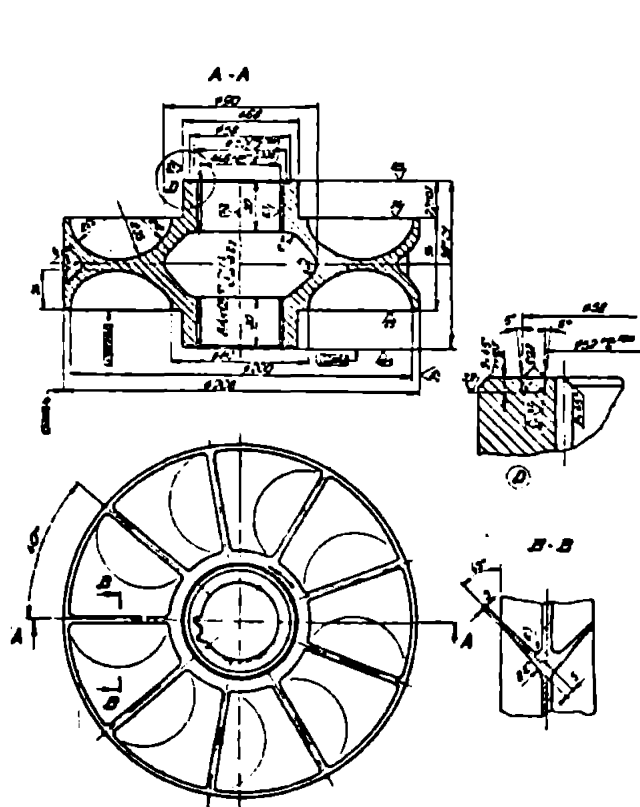


Fig. 5.3

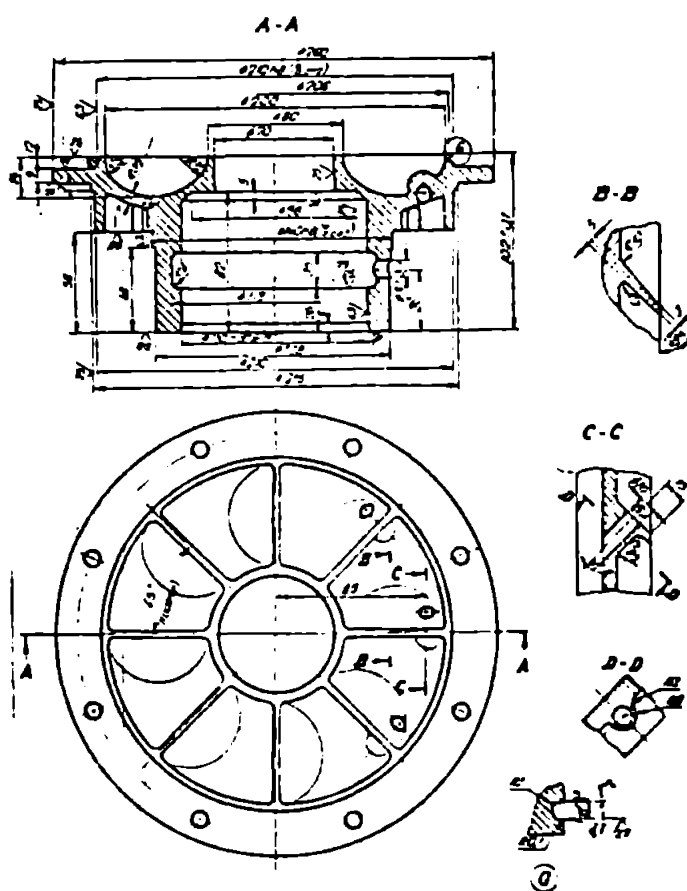


Fig 5.4

că grosimea paletelor rotorului era de 4...5 mm iar grosimea paletelor statorului era de 6...8 mm. Muchia paletelor nu era radială iar calitatea suprafetelor, care vin în contact cu apa, rugoasă .

Din analiza efectuată s-a conchis că pentru a se obține valori mai mari ale coeficientului capacității de moment k_{mf} ar trebui să se acționeze în direcția măririi preciziei geometrice a construcției rotorului și statorilor și a calității suprafetelor care vin în contact cu apa ale acestora precum și în direcția măririi numărului de palete rotorice și statorice.

Corespunzător acestor necesități întrucât execuția prin turnare de precizie a rotorului și statorilor era extrem de scumpă (apreciată de ICPTSC la cca. 1.500.000 lei) și necesită un timp de execuție foarte lung s-a recurs la execuția acestora în construcție combinată cu corpul rotorului și statorului din oțel laminat din semifabricat masiv, la suprafetele de contact cu apa prelucrate prin strunjire și cu palete decupate din tablă și asamblate prin sudură în rotor respectiv stator (fig.5.5 și 5.6). Dat fiind faptul că în această execuție rotorul și statorii erau mai ușor de realizat decât în relația turnată, care avea și un ciclu de fabricație mai lung, neocesând modele pentru turnare, s-au putut executa în scurt timp trei variante de motori statori cu 9/8, 13/12 și 17/16 palete având elementele geometrice din tabelul 5.1.

Variantele realizate au fost simbolizate prin T 9/8, A 9/8, A 13/12 și A 17/16, prin T și A notindu-se varianta turnată respectiv asamblată prin sudură iar prin cifre numărul de palete rotorice și statorice.

La variantele asamblate prin sudură grosimea palelor din tablă a fost în aşa fel aleasă ca să rezulte secțiuni nete A_2' cît mai apropiate aşa cum rezultă din tabelul 5.1.

5.2. STATIUNEA PENTRU INCERCAREA FRINEI HIDRAULICE MODEL EXPERIMENTAL LA SCARA REDUSA FH 200 și METODOLOGIA INCERCARILOR.

Pentru încercarea frinei hidraulice model experimental la scară redusă a fost amenajată în vadrul Laboratorului de mașini hidraulice a Inst. Politehnic Trăian Vuia Timișoara o stațiune de încercări reprezentată schematic în fig.5.7.

Stațiunea are ca element principal un motor electric asincron ME tip UCMR ASI de putere $P = 120 \text{ kW}$ la $n = 960 \text{ rot/min.}$ care antrenează printr-un arbore cardanic frâna hidraulică FH 200.

Pentru reglarea turăției motorului electric a fost prevăzut un grup Ward Leonard de frecvență variabilă GVV care, împreună cu sursa dublă de tensiune SDT, permite modificarea comodă, în mod continuu, a turăției de antrenare a frinei hidraulice. A fost experimentat și sistemul de variație a turăției motorului electric cu ajutorul unui reostat cu apă dovedindu-se însă inferior sistemului cu frecvență variabilă.

Aparatura de măsură a fost formată dintr-o trusă wattmetrică TW tip QW 111 - Metra pentru măsurarea puterii absorbite de instalație, un dinamometru constituit dintr-un traductor mecano-electric torsiometric TM tip Huggenberger 15 - 9 - 30/32 care permite citirea momentului la un tensometru electronic TE tip N 230L și un traductor electromagnetic de turăție TT tip LMH care afisează secțional numeric,

luminos, valoarea turăției, direct în rețății pe minut la un numărător universal amplificator NU tip FE 0202A.

Pentru înregistrarea caracteristicilor energetice ale frânei s-a utilizat un coordonatograf C trasatori de diagramă tip ENDIM 62001 alimentat cu semnale analoge prin tahogeneratorul TG tip G Kobold și tensometrul electric TE.

Circuitul hidraulic de alimentare a fost prevăzut cu o pompă centrifugă etajată PCE antrenată de un motor electric M și cu robinetele V1, V2 și V3 amplasate pe conductă de intrare și de ieșire din frână respectiv pe o conductă de ocolire a acesteia. Sistemul de robinete V1, V2 și V3 permit diferite combinații debit - presiune de alimentare a frânei în domeniul de funcționare al pompei centrifuge.

Debitul a fost măsurat cu o turbină turboquant TQ și s-a citit la numărătorul universal NU în afișaj numeric, secvențial, luminos după prelucrarea și amplificarea semnalului în amplificatoarele ATQ și A.

Presiunea și temperatura apei la intrarea și ieșirea din frâna hidraulică s-au măsurat cu manometrele M1, M2 și termometrele T1 și T2. Temperatura în interiorul frânei s-a măsurat cu termocoplul TC iar presiunea (la peretele torului) cu manometrul M3.

In primele etape ale încercărilor alimentarea frânei s-a realizat dintr-un rezervor cilindric RA cu volumul de 2 m³ având prevăzute un robinet de reglare un manometru și un termometru.

Componența stațiunii de încercare împreună cu o serie de caracteristici ale elementelor respective este indicată în figura 5.7.

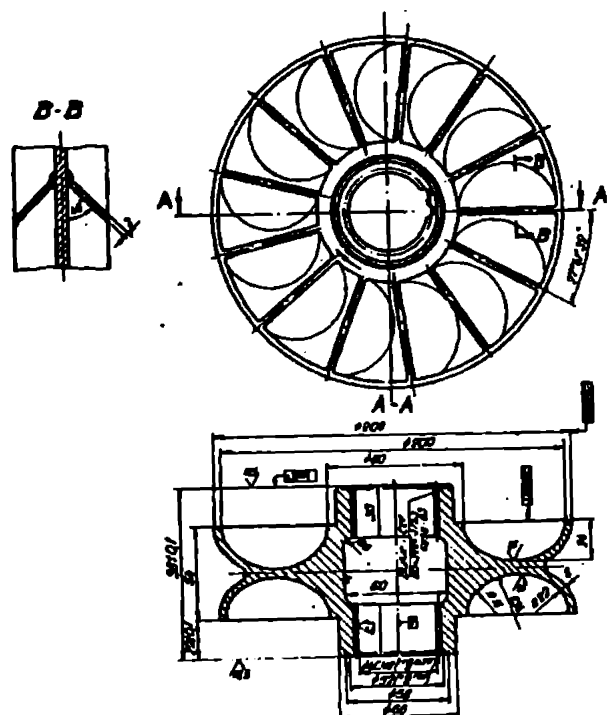


Fig. 5.5

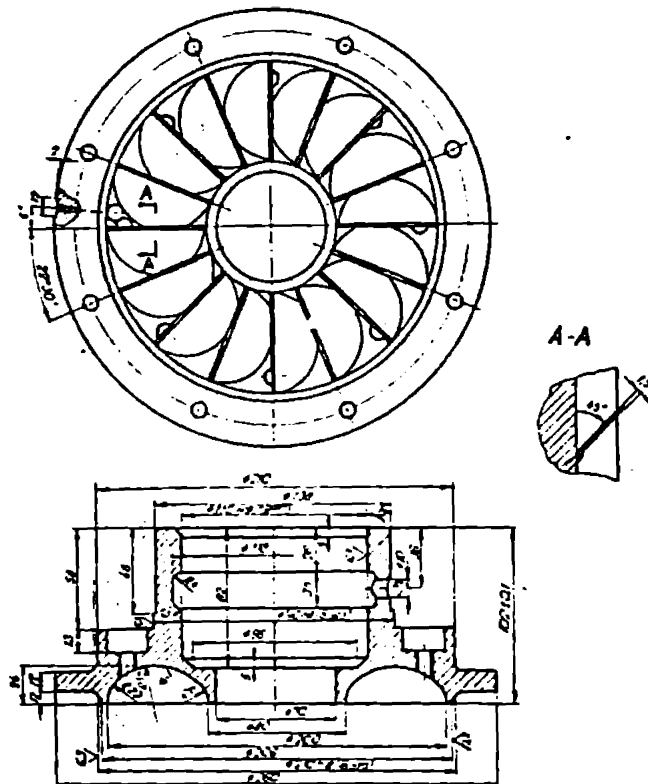
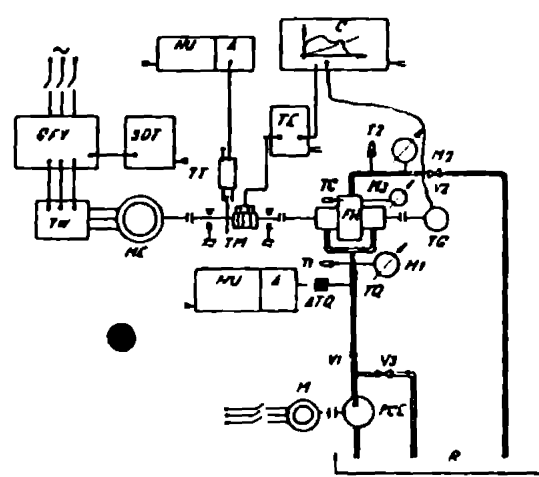


Fig. 5.6



CFV - grup de frecvență variabilă
 TM - fluxu volumetric
 ME - motor electric
 FH - fierb hidrodynamic
 R - rezervor
 PCE - pompă centrifugă elojata
 M - motor electric
 V₁; V₂; V₃ - robineti de reglare
 T₁; T₂ - termometru
 M₁; M₂; M₃ - manometru
 SOT - senzor dublu de tensiune
 T₁ - transductor de flux
 T_M - transductor de moment
 TG - turbogenerator
 TC - termometru electronic
 A - ampermetru
 AM - numărător universal
 C - coordonatograf
 TG - turbogenerator
 ATG - amplificator turbogenerant
 TC - termocouple

<u>Simbol</u>	<u>Tip</u>	<u>Caracteristici</u>
CFV	517/6	P=120 kw; n=980 rot/min la 50 Hz;
ME		D=3 l/s; H = 60 m H ₂ O; n=3000 rot/min
PCE		P=0...100kw; n=100...1000 rot/min

Fig. 5.7

Incercarea diferitelor variante ale frînei hidraulice FH 200 s-a rezumat la înregistrarea momentului de frînare mecanic dezvoltat de frînă, în funcție de turătie, variind diferenți parametri printre care numărul paletelor, presiunea de alimentare și la prima variantă și unghiul paletelor, excentricitatea rotorului față de stator și jocul axial.

Curba $M_{fh} = f(n)$ a fost parcursă în ambele sensuri cu o reglare a turătiei motorului electric în aşa fel ca efectele dinamice să fie minime.

Etalonarea instrumentelor de măsură s-a executat conform schemelor bloc din fig.5.8 . Pentru turătie s-a legat în serie un generator de joasă frecvență G tip F c5al de instrumentele digitale și înregistratorul din stațiune. Pentru momentul mechanic s-a montat un sistem static de torsionare SS cu greutăți pe arbore și de instrumentele din stațiune s-a obținut curba de etalonare din fig.5.9.

Precizia măsurătorilor de turătie a fost de 1% ; înregistrarea turătiei fiind făcută cu eroarea de 1% .

Măsurătorile de moment s-au înregistrat cu o eroare de 2% .

5.3. REZULTATELE INCERCARILOR EXPERIMENTALE ALE FRINEI HIDRAULICE MODEL FH 200

Incercările frînei hidraulice model experimental la scară redusă FH 200, în stațiunea descrisă, au constat în determinarea și înregistrarea momentului mechanic realizat de frînă în funcție de turătie de antrenare, modificată continuu.

Curba de moment a fost parcursă în ambele sensuri dus și intors.

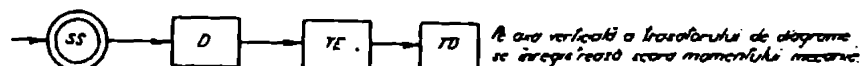
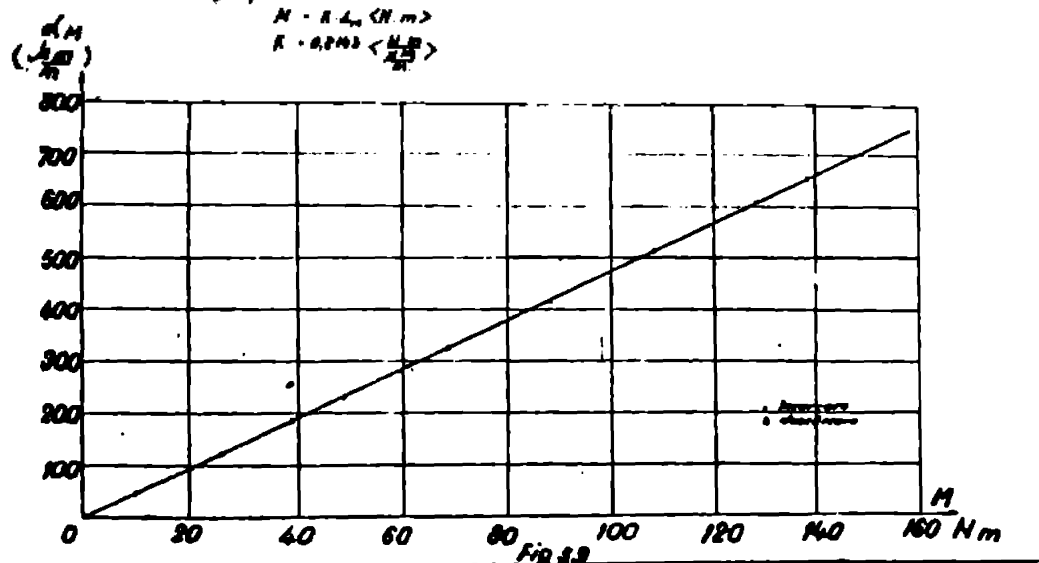


Fig.58 Schematice bloc ale mufelor de elaboreare a momentului mecanic și a brațelor

Cubă de elaboreare a traductorului
de moment Huggenberger tip ZF-T2
cu puncte tensometrică N 2301

$$M = 8.4 \cdot 10^{-3} \text{ N.m}$$

$$F = 0.8943 \cdot 10^3 \text{ N}$$



CARACTERISTICILE VARIANTELOR INCERCATE DE ROTORI-STATORI

Tabelul 5.1

Varianta	Nr. palete		Diametru casetă Z_2	$\frac{\text{diametru}}{\text{stator}} \cdot \frac{3}{\text{raio}} \cdot \rho_{\text{sc}}$	A_2'	T	Unghiul potrivit
	Bior	Stator					
T3/8	9	8	5	7.077035	0.011391575	0.02038834	$\rho_{\text{sc}}' = 45^\circ$ $\rho_{\text{sc}}'' = 55^\circ$
A3/8	9	8	3	1.24262	0.03172621	0.05043663	$\rho_{\text{sc}}' = 65^\circ$
AR12	12	12	2	9.82861	0.020300324025820	0.04060064	$\rho_{\text{sc}}' = 65^\circ$
AT11/16	17	16	1.5	2.12131	0.0216666	0.04200637	$\rho_{\text{sc}}' = 45^\circ$

* Valoare medie rezultată din măsurări

Reglarea turăției a fost făcută în așa fel ca efectele dinamice să fie neglijabile.

Curbele de moment au fost parcuse cu determinarea și înregistrarea unor parametri de funcționare diferenți în ceea ce privește presiunea lichidului de alimentare și debitul, valori obținute prin diferite combinații ale robinetelor V1, V2 și V3.

De asemenea a fost măsurată temperatura lichidului la intrarea și ieșirea din frână.

Încercările au fost efectuate cu diferite excentricități ale rotorului față de camera rotorilor și cu diferite jocuri axiale între rotor și stator.

Încercările frânei hidraulice FH 200 au fost reprezentate în mai multe etape, cu variantele de rotori de statori descriși anterior.

Încercările inițiale au fost efectuate cu alimentarea frânei din rezervor, cu diferite excentricități și jocuri axiale, în circuit deschis și cu frâna inclusă, cu diferite grade de umplere.

Încercările inițiale au condus la concluzia că modificarea jocului axial Δ dintre rotor și stator în domeniul 1,5 ... 4,5 mm a avut o acțiune nesemnificativă asupra funcționării frânei.

De asemenea modificarea excentricității ρ dintre rotor și camera statorilor în limitele 0... 2% a avut o acțiune redusă și contradictorie.

În prima etapă au fost încercate variantele turnate cu unghiul paletelor $\beta'_{\alpha_2} = 45^\circ$ și $\beta'_{\alpha_2} = 35^\circ$. Din cauza valorilor mici ale momentului respectiv ale coeficientului k_m , influența unghiului paletelor a fost neînsemnată lucru explicabil prin prizma analizei acestui coeficient efectuată în cap.3 (fig.3 .2).

In etapele următoare încercările au fost efectuate numai în circuit deschis, la variante având unghiul paletelor $\beta'_{re} = 45^\circ$.

O curbă tipică $M_{fh} = f(n)$ din prima etapă este prezentată în fig.5.10.

Încercările din etapele următoare sunt redate prin curbele $M_{fh} = f(n)$ din figurile 5.11 ... 5.24.

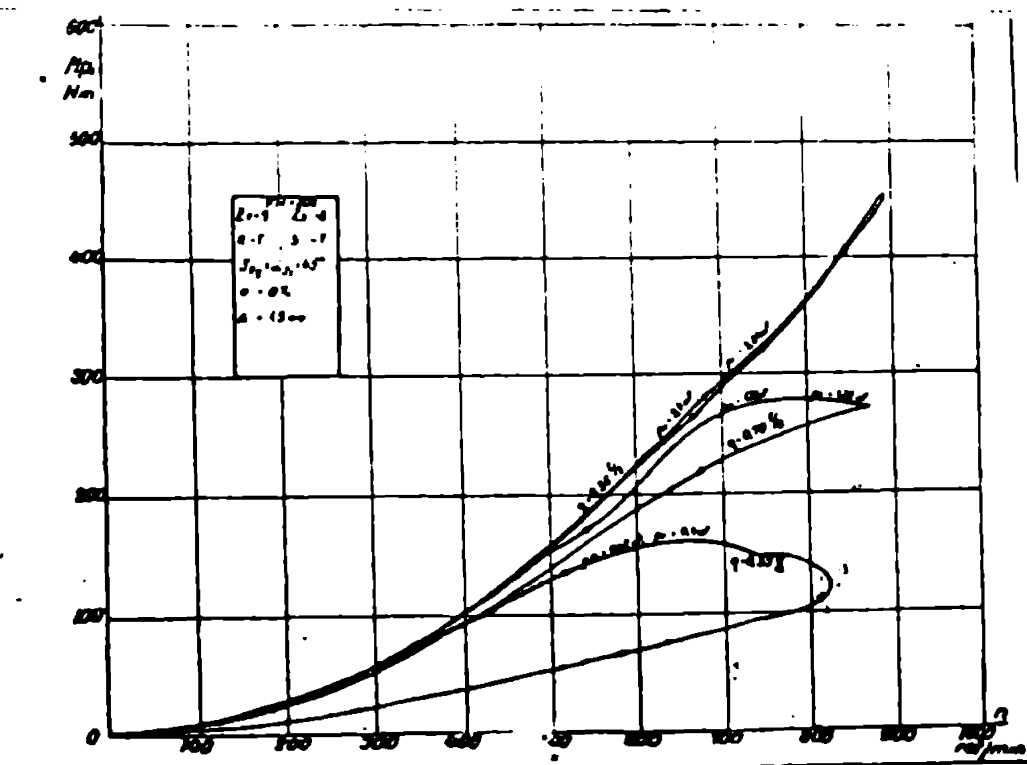
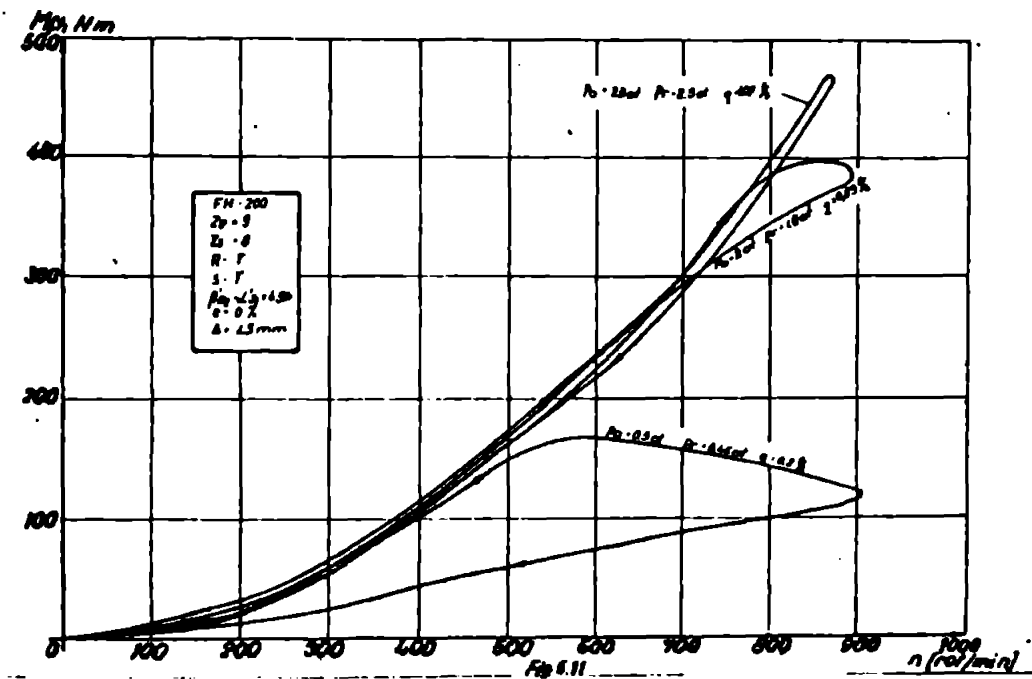
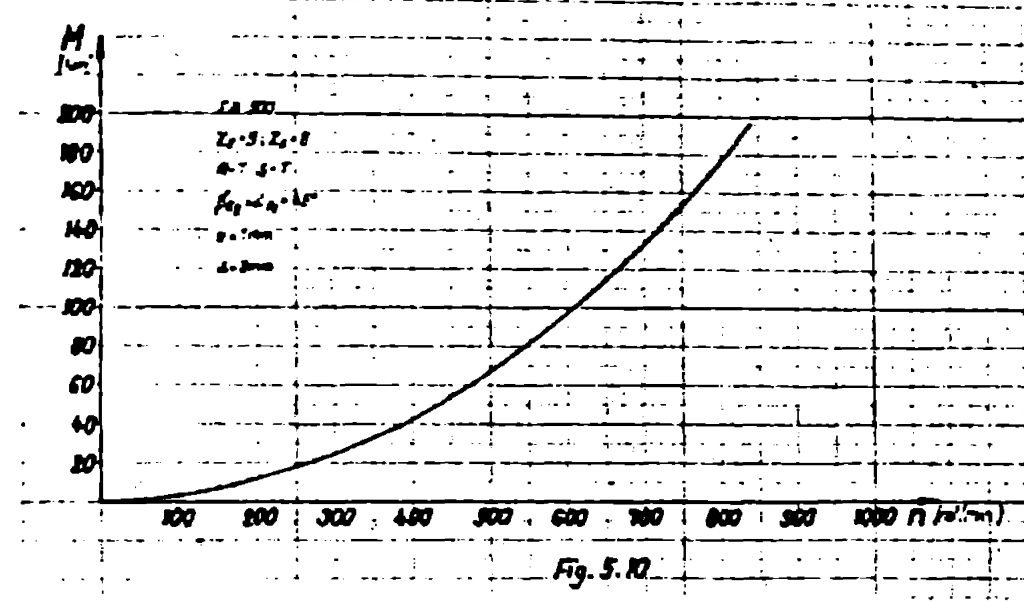
ACESTE ÎNCERCĂRI AU SCOS ÎN EVIDENȚĂ INFLUENȚA IMPORTANTĂ A PRESIUNII LICHIDULUI DE ALIMENTARE ASUPRA VARIATII MOMENTULUI DE FRINARE.

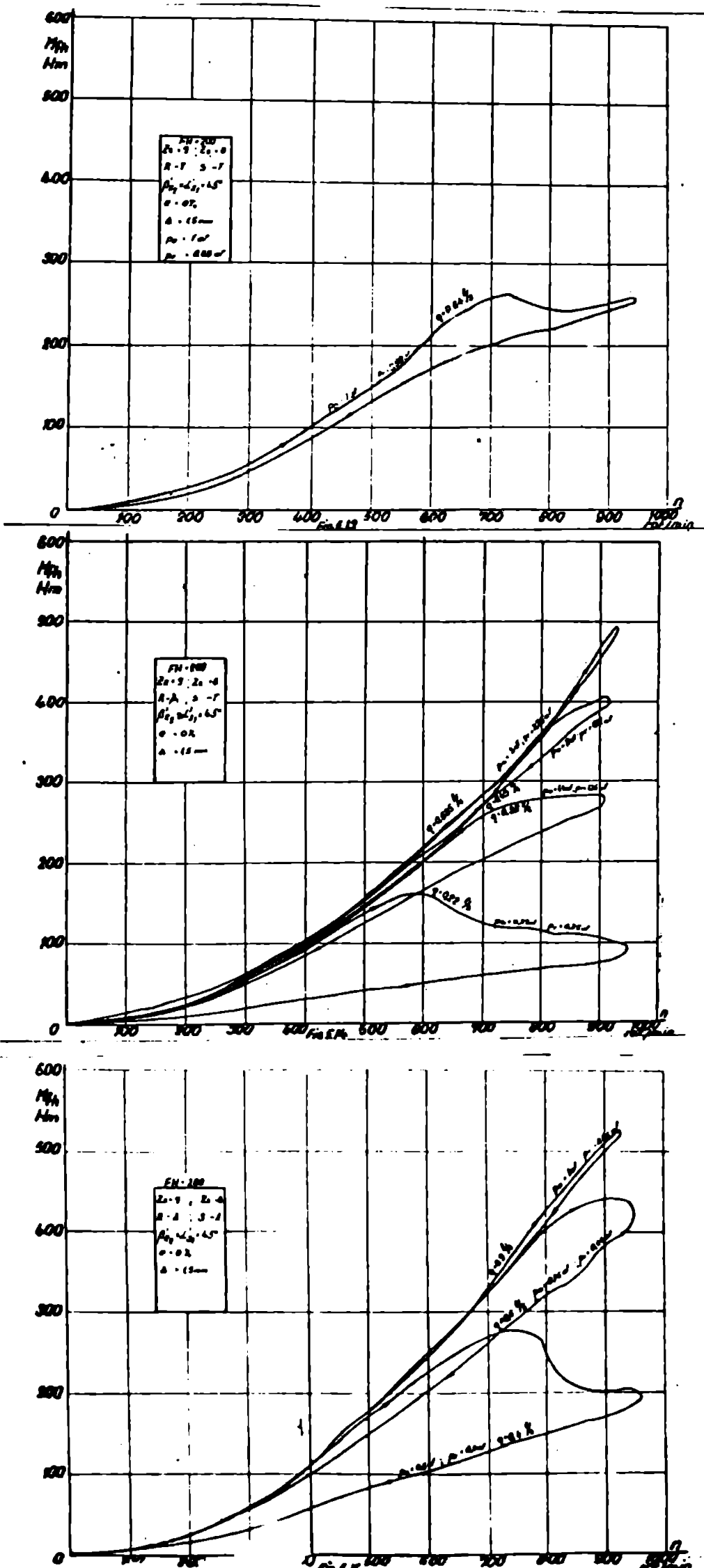
Momentul de frinare a crescut de asemenea odată cu numărul paletelor rotorului și statorului.

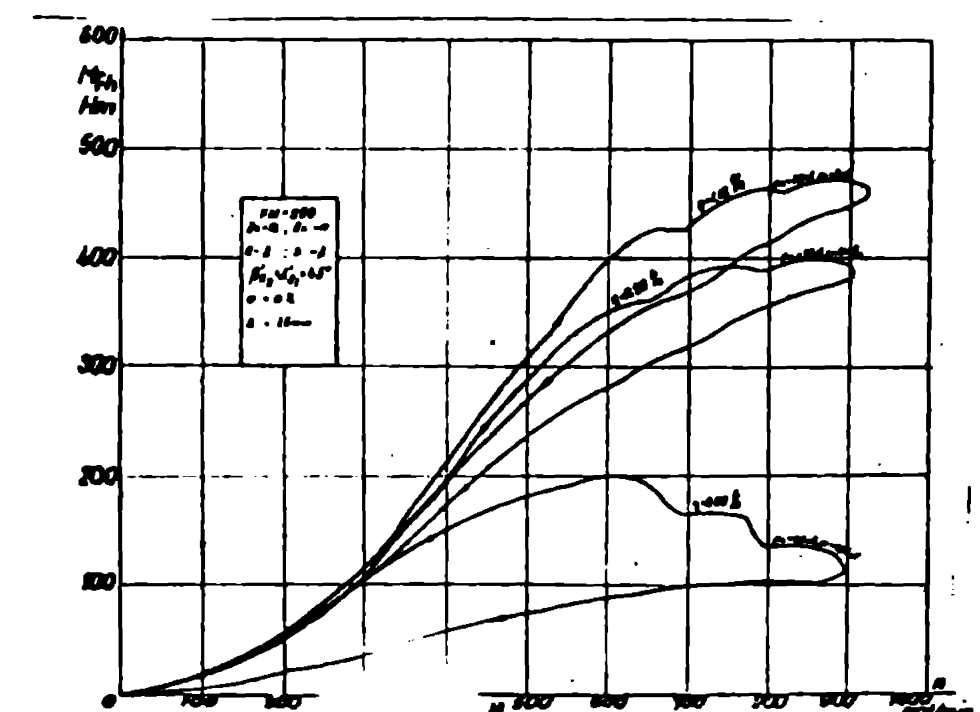
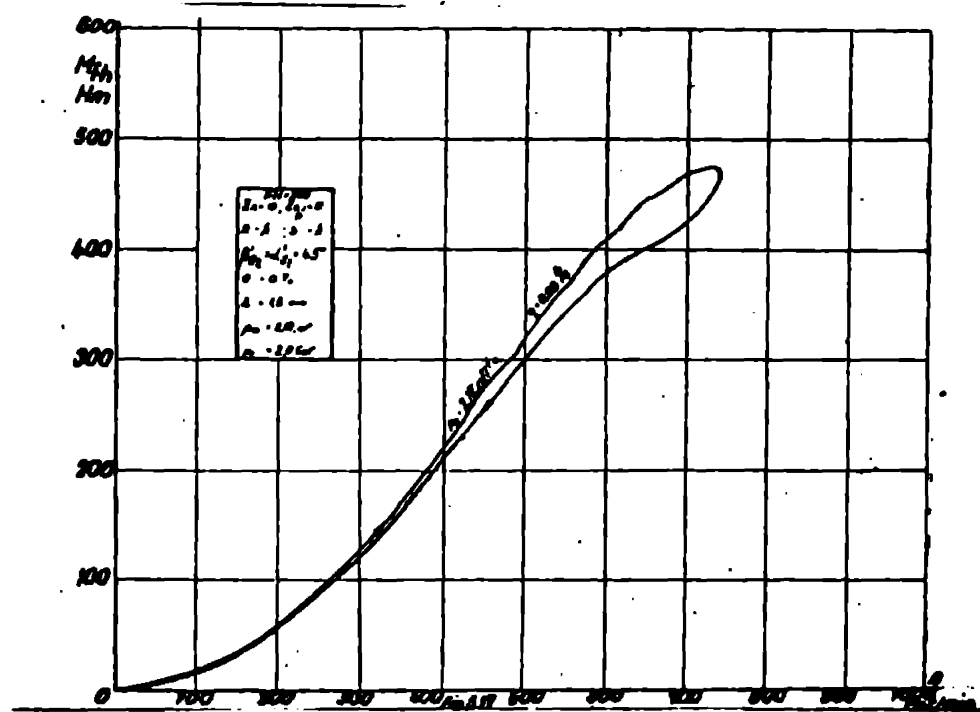
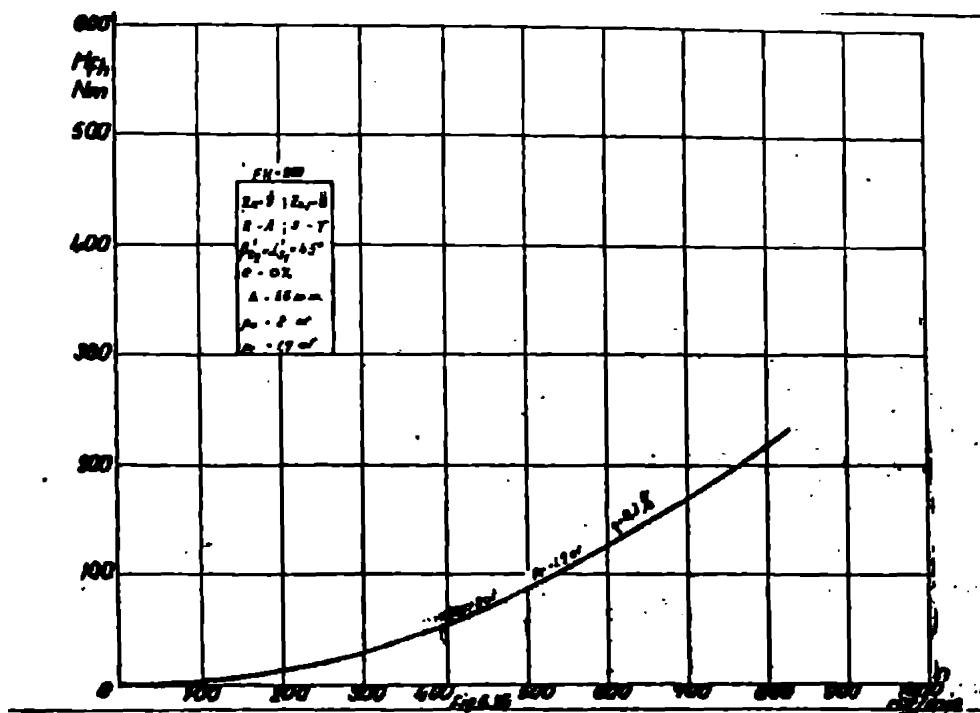
Așa cum reiese din curbele din fig.5.11...5.24 apare un histerezis între curbele "dus" și "întors" cu momente crescătoare și descrescătoare. Inițial acest fenomen a fost pus pe seama sistemului de alimentare, presupunind că prin aceasta se introduce aer în frină. Repetarea unor măsurători cu alimentare de la rețeaua de apă au confirmat fenomenul și au eliminat presupunerea.

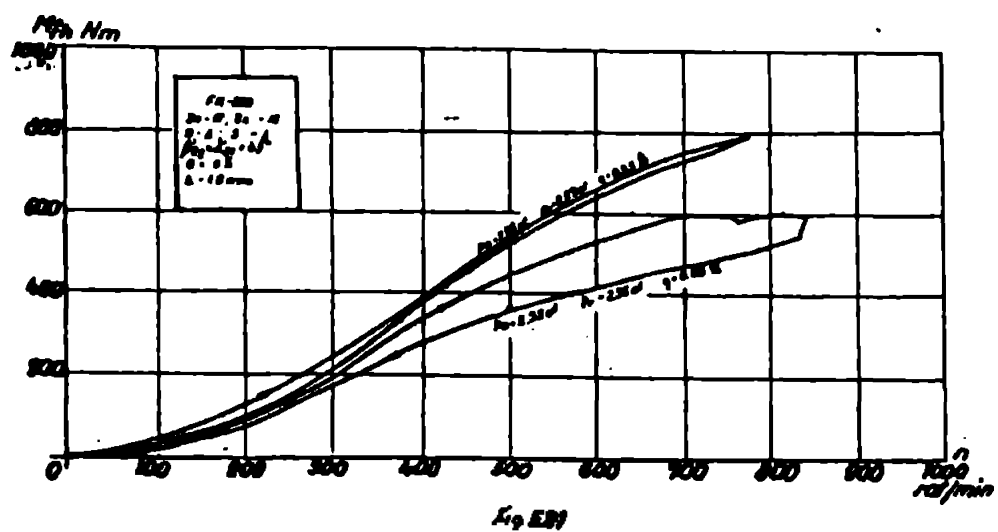
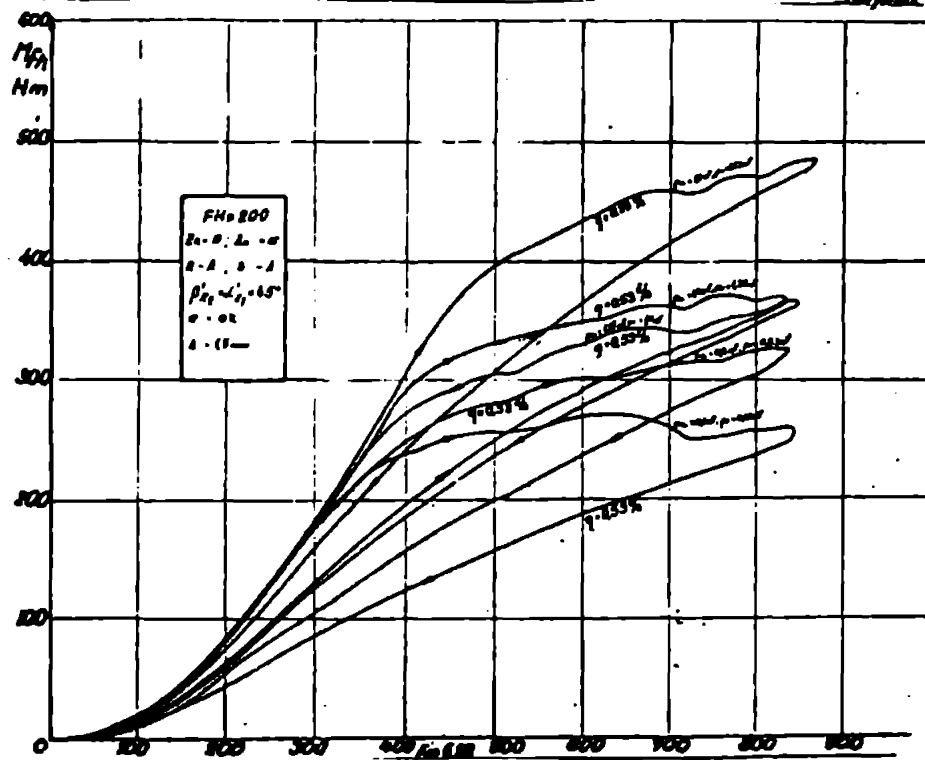
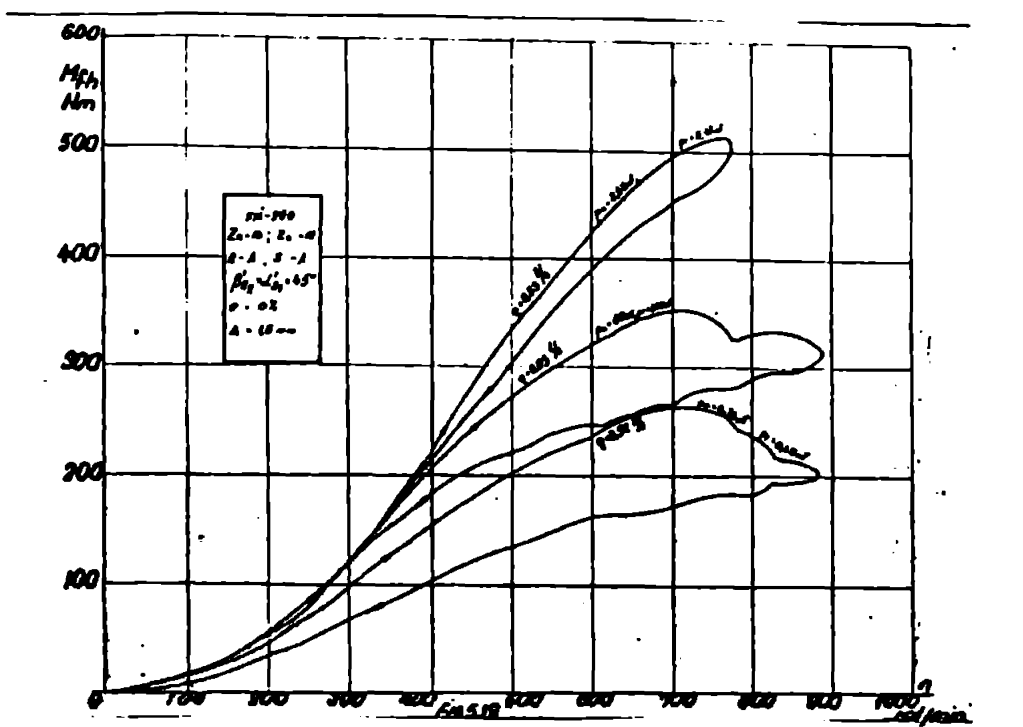
Prin măsurători de presiune în interiorul frinei și prin urmărirea variației presiunii în funcție de turăție s-a ajuns la concluzia că momentul desprinderii de pe parabolă a curbei $M_{fh} = f(n)$ coincide cu apariția unor zone de depresionare în frină și cu funcționarea pe curbe diferite la "dus" respectiv "întors".

In ceea ce privește fenomenul de desprindere de pe parabolă și apariția zonei de presionare, reanalizarea unora din lucrările sau realizările citate în bibliografie [60], [61], [37], [49] și [38] conduce la confirmarea acestui fenomen, care apare foarte bine în evidență în curba $M_{fh} = f(n)$ din fig.4.2.









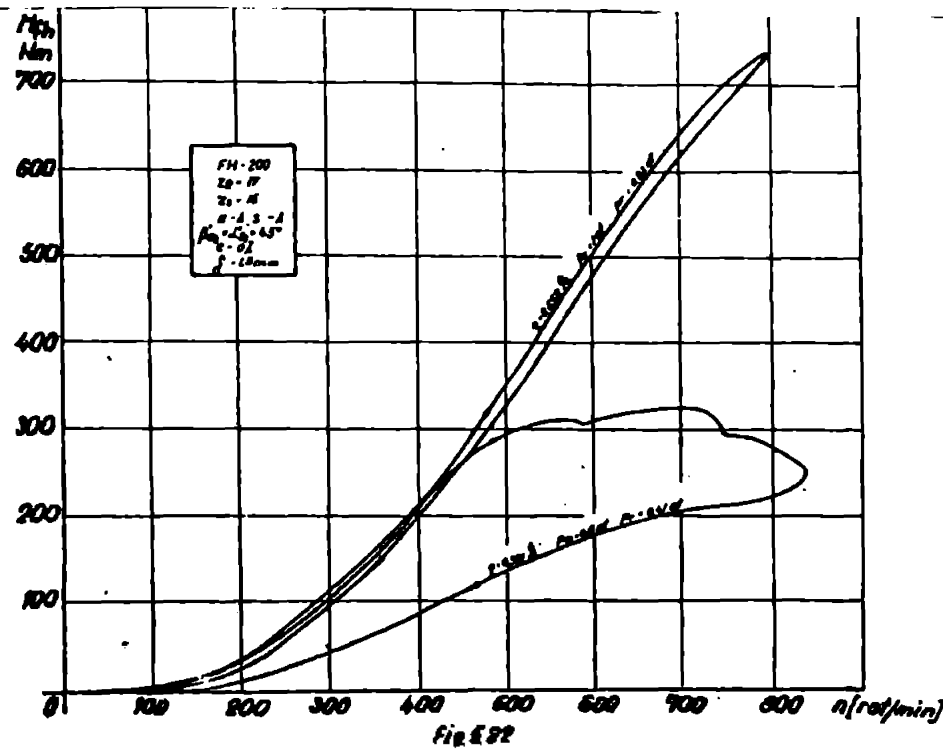


Fig. E.22

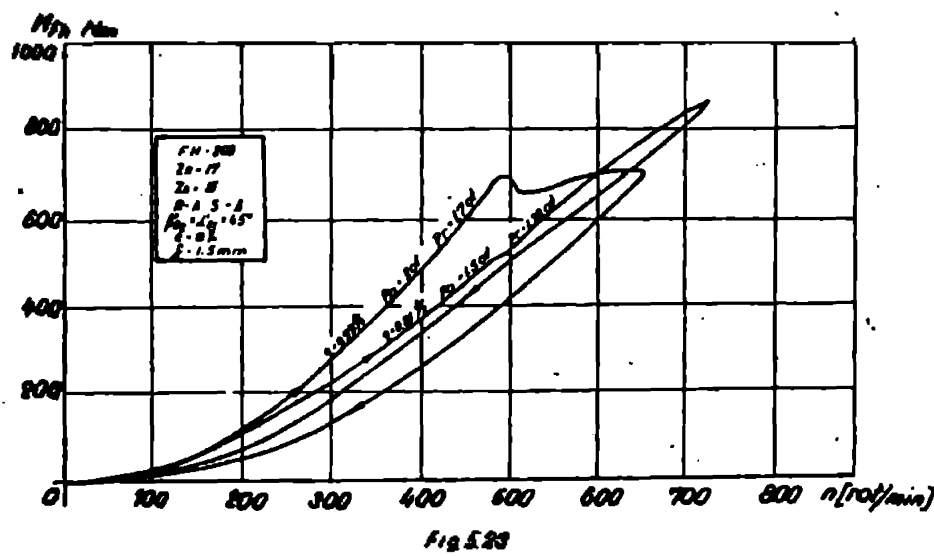


Fig. E.23

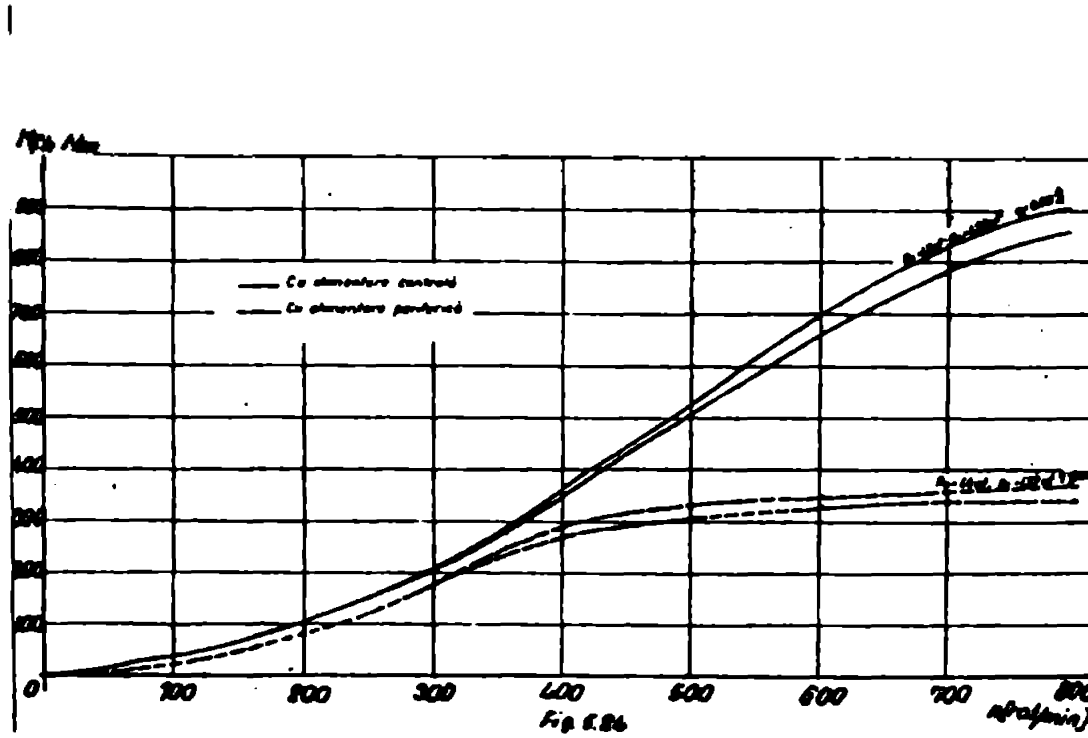


Fig. E.26

Din încercările efectuate a rezultat că desprinderea de pe parabolă a curbei $M_{fh} = f(n)$ are loc la turătii mai mari, pentru presiuni mai mari ale lichidului de alimentare, lucru confirmat și prin încercările redate în [49].

Alimentarea centrală redată în fig.5.25 (initial alimentarea s-a făcut prin simple găuri prevăzute în peretele statorului, fig.5.6) a avut ca efect atenuarea fenomenei de desprindere de pe parabolă.

Influența creșterii presiunii de alimentare și a introducerii alimentării centrale asupra momentului de frânare este scoasă în evidență în curbele din fig.5.26.

Pentru fiecare din variantele încercate au fost determinați o serie de parametri de funcționare ca sarcina de pompă H_{Rth} , debitul Q debitul unitar Q_u , coeficientul global al pierderilor prin frecare ξ (pentru coeficientul de soc $\gamma_s = 1$) și coeficientul vitezelor k_v .

Rezultatele calculelor efectuate sunt prezentate în tabelele 5.2 ; 5.3; 5.4; 5.5; 5.6 respectiv în curbele din fig.5.27 ; 5.28; 5.29 și 5.30.

Pentru a se putea scoate în evidență influența presiunii lichidului de alimentare concomitent cu numărul de palete, s-au determinat pentru toate variantele, pornind de la valorile momentului de frânare M_{fh} pentru o aceeași turătie $n = 400$ rot/min., parametrii de funcționare sarcina de pompă H_{Rth} , debitul Q debitul unitar Q_u , coeficientul global al pierderilor prin frecare ξ și coeficientul vitezelor k_v . Rezultatele calculelor respective sunt prezentate în tabelele 5.7 ; 5.8 și 5.9.

În baza rezultatelor obținute se pot trasa, pentru variantele caracterizate prin numere diferite de palete

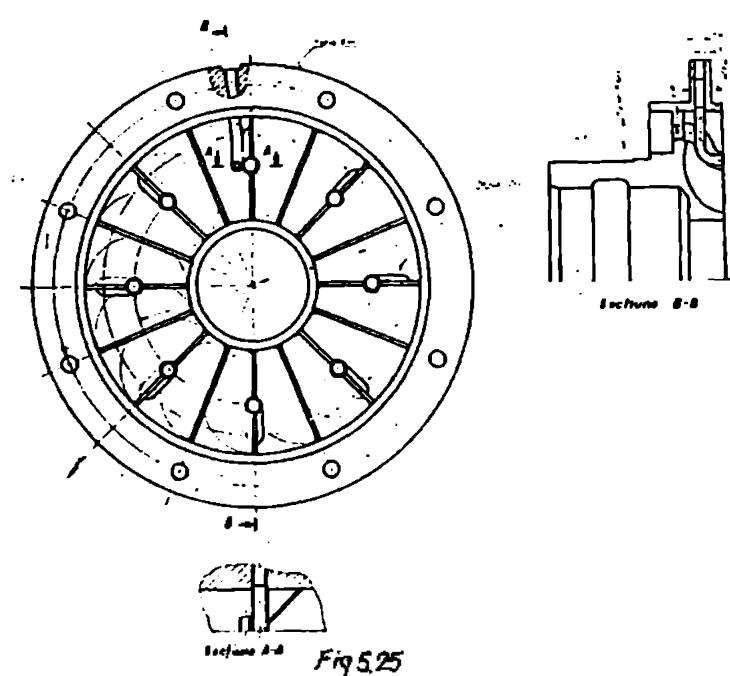


Fig. 5.25

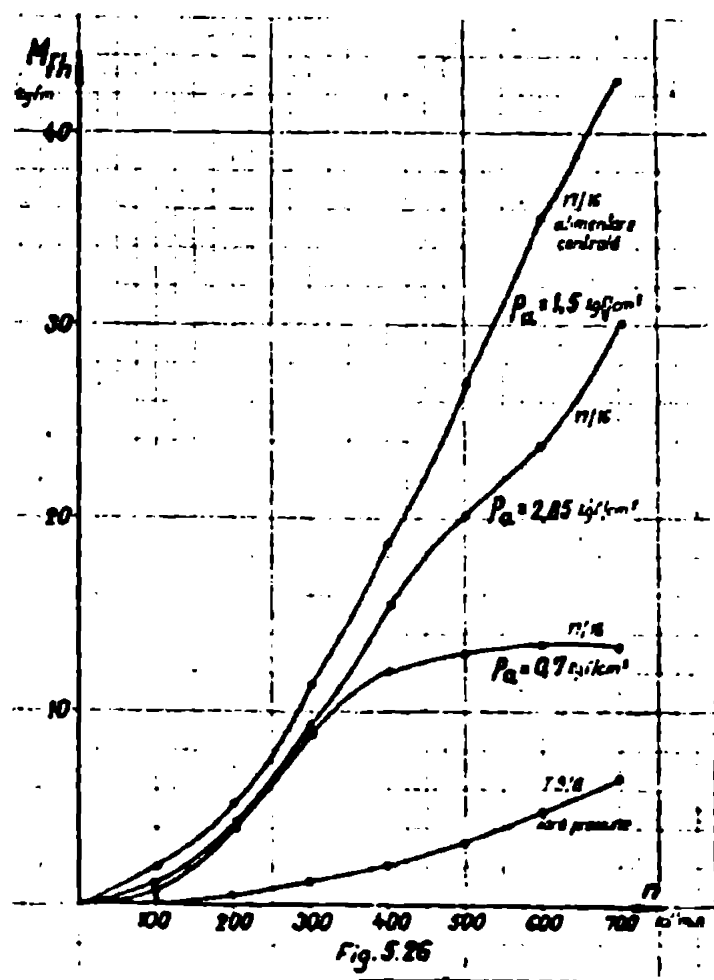


Fig. 5.26

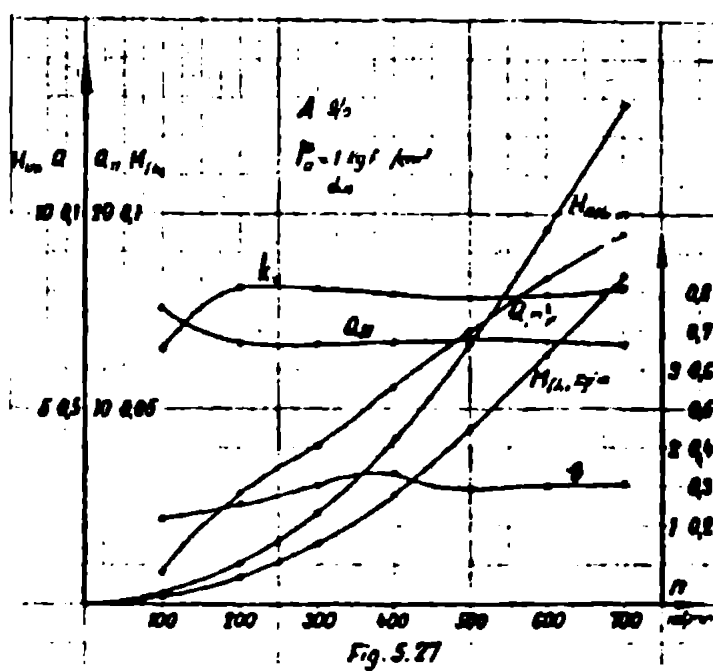


Fig. 5.27

*Determinarea principaliilor parametri
la varianta $T\%$*

tabelul 5.2

n	100	200	300	400	500	600	700	
M ₁₁	0,5179	0,5606	1,7762	2,1661	3,3830	4,3639	5,7197	
Q	0,028003399	0,028370300	0,02713131	0,027541679	0,02742056	0,028331579	0,028376649	
W ₁₁	1,005383849	1,007003359	1,011866206	1,019857537	1,024005155	1,030098770	1,034009078	
V ₁₁₁	0,71113362	1,34458746	2,00075197	2,60314576	3,292930683	3,901877767	4,620089308	
H ₁₁₁	0,197613630	0,26525037	1,2044751	3,09714056	4,22026107	6,42917177	9,346796298	
S	2,655080534	2,655553349	2,701530215	2,882266857	2,9701452	2,971715716	2,97438857	
L ₁	1,996431357	1,971558739	1,976663718	1,981615209	1,98264476	1,989153717	1,993028638	
G ₁₁	0,423511376	0,437520834	0,438673006	0,439656315	0,43971177	0,439758364	0,439846718	
R ₁	1,048594906	1,04717534	1,047174485	1,049104179	1,049107380	1,0491555	1,04920497	
E	0,020997162	0,020716105	0,020716820	0,020717235	0,020717153	0,020717236	0,020717326	
A ₁₁	0,04778715	0,04756872	0,047568725	0,047568725	0,047568725	0,047568725	0,047568725	
A	1,02804777	1,02804777	1,027105372	1,027105113	1,027105005	1,02619049	1,025943372	
Z ₁₁₁ - Y ₁₁₁	1,063168704	1,063168657	1,057161572	1,056116026	1,056317165	1,057800305	1,057800305	

*Determinarea principaliilor parametri
la varianta $A\%$ - p₁*

tabelul 5.3

n	100	200	300	400	500	600	700	800
M ₁₁	0,6201	1,0253	2,109	5,7016	2,0815	12,8931	16,1197	21,316
Q	0,071026781	0,071307450	0,071026648	0,071307389	0,071026783	0,071307376	0,071307378	0,071307378
W ₁₁	1,989031930	3,6118007	4,070963039	6,331676571	8,75064009	9,805593681	11,8001007	12,3053930
V ₁₁	1,47639575	2,979400523	3,129156836	6,007100768	6,309167808	6,309167808	7,005300461	7,005300461
H ₁₁₁	0,212165467	1,195153771	1,371196168	1,771196168	1,772101475	1,772101475	1,872101475	1,872101475
S	1,028161010	1,028161010	1,027107203	1,026011136	1,026011136	1,026011136	1,026011136	1,026011136
L ₁	0,635729876	0,635729876	0,635729876	0,635729876	0,635729876	0,635729876	0,635729876	0,635729876
G ₁₁	0,169162916	0,169162916	0,169162916	0,169162916	0,169162916	0,169162916	0,169162916	0,169162916
R ₁	1,057241945	1,057241945	1,057241945	1,057241945	1,057241945	1,057241945	1,057241945	1,057241945
E	0,020562295	0,020562295	0,020562295	0,020562295	0,020562295	0,020562295	0,020562295	0,020562295
A ₁₁	0,035656795	0,035656795	0,035656795	0,035656795	0,035656795	0,035656795	0,035656795	0,035656795
A	0,071162908	0,071162908	0,071162908	0,071162908	0,071162908	0,071162908	0,071162908	0,071162908
Z ₁₁₁ - Y ₁₁₁	1,027930871	1,027930871	1,027930871	1,027930871	1,027930871	1,027930871	1,027930871	1,027930871
M ₁₁	0,4749	1,4963	2,1409	3,7406	2,0475	12,8497	16,1095	20,3044
Q	0,051635285	0,051707130	0,051635285	0,051707130	0,051635285	0,051707130	0,051707130	0,051707130
W ₁₁	1,02610478	2,97940077	4,070963039	6,331676571	8,75064009	9,805593681	11,8001007	12,3053930
V ₁₁	1,272149798	2,172364010	3,397156026	6,007100768	6,309167808	6,309167808	7,005300461	7,005300461
H ₁₁₁	0,228465251	1,195153771	1,371196168	1,771196168	1,772101475	1,772101475	1,872101475	1,872101475
S	1,029171315	1,029171315	1,028161010	1,027107203	1,026011136	1,026011136	1,026011136	1,026011136
L ₁	0,637215566	0,637215566	0,637215566	0,637215566	0,637215566	0,637215566	0,637215566	0,637215566
G ₁₁	0,170162916	0,170162916	0,170162916	0,170162916	0,170162916	0,170162916	0,170162916	0,170162916
R ₁	1,057241945	1,057241945	1,057241945	1,057241945	1,057241945	1,057241945	1,057241945	1,057241945
E	0,020515185	0,020515185	0,020515185	0,020515185	0,020515185	0,020515185	0,020515185	0,020515185
A ₁₁	0,035656795	0,035656795	0,035656795	0,035656795	0,035656795	0,035656795	0,035656795	0,035656795
A	0,071162908	0,071162908	0,071162908	0,071162908	0,071162908	0,071162908	0,071162908	0,071162908
Z ₁₁₁ - Y ₁₁₁	1,027930871	1,027930871	1,027930871	1,027930871	1,027930871	1,027930871	1,027930871	1,027930871

*Determinarea principaliilor parametri
la varianta $A\%$ - p_{2,58}*

tabelul 5.4

n	100	200	300	400	500	600	700	800
M ₁₁	0,3043	2,7306	3,0768	11,3309	11,1182	17,1813	21,4397	
Q	0,059771336	0,059816886	0,059816886	0,060314837	0,0616403	0,061816883	0,062337888	
W ₁₁	1,023048964	1,461000115	1,611000115	2,351616284	3,068560068	3,66563974	4,300310076	
V ₁₁₁	1,023048964	1,461000115	1,611000115	2,351616284	3,068560068	3,66563974	4,300310076	
H ₁₁₁	0,202046486	1,021000115	1,171000115	1,611000115	2,351616284	3,068560068	3,66563974	
S	0,90803158	1,020162912	1,171000115	1,611000115	2,351616284	3,068560068	3,66563974	
L ₁	0,50614227	0,510174101	0,510174101	0,510174101	0,510174101	0,510174101	0,510174101	
G ₁₁	0,206645527	0,207162912	0,207162912	0,207162912	0,207162912	0,207162912	0,207162912	
R ₁	1,021204372	1,021204372	1,021204372	1,021204372	1,021204372	1,021204372	1,021204372	
E	0,020503593	0,020503593	0,020503593	0,020503593	0,020503593	0,020503593	0,020503593	
A ₁₁	0,035656795	0,035656795	0,035656795	0,035656795	0,035656795	0,035656795	0,035656795	
A	0,071162908	0,071162908	0,071162908	0,071162908	0,071162908	0,071162908	0,071162908	
Z ₁₁₁ - Y ₁₁₁	1,027930871	1,027930871	1,027930871	1,027930871	1,027930871	1,027930871	1,027930871	
M ₁₁	0,3033	2,7264	2,9668	11,3109	11,1091	17,1718	21,4063	
Q	0,059771334	0,059816885	0,059816885	0,060314837	0,0616403	0,061816884	0,062337889	
W ₁₁	1,023048963	1,461000115	1,611000115	2,351616284	3,068560068	3,66563974	4,300310073	
V ₁₁₁	1,023048963	1,461000115	1,611000115	2,351616284	3,068560068	3,66563974	4,300310073	
H ₁₁₁	0,202046486	1,021000115	1,171000115	1,611000115	2,351616284	3,068560068	3,66563974	
S	0,90803158	1,020162912	1,171000115	1,611000115	2,351616284	3,068560068	3,66563974	
L ₁	0,50614227	0,510174101	0,510174101	0,510174101	0,510174101	0,510174101	0,510174101	
G ₁₁	0,206645527	0,207162912	0,207162912	0,207162912	0,207162912	0,207162912	0,207162912	
R ₁	1,021204372	1,021204372	1,021204372	1,021204372	1,021204372	1,021204372	1,021204372	
E	0,020503593	0,020503593	0,020503593	0,020503593	0,020503593	0,020503593	0,020503593	
A ₁₁	0,035656795	0,035656795	0,035656795	0,035656795	0,035656795	0,035656795	0,035656795	
A	0,071162908	0,071162908	0,071162908	0,071162908	0,071162908	0,071162908	0,071162908	
Z ₁₁₁ - Y ₁₁₁	1,027930871	1,027930871	1,027930871	1,027930871	1,027930871	1,027930871	1,027930871	

Determinarea principaliilor parametri la varianta A ¹¹ /16 - p 15c							
n	100	200	300	400	500	600	700
M ₀₁	2.028	5.251	10.805	14.756	21.013	35.677	42.656
Q	0.037599155	0.053637615	0.08267653	0.104891677	0.137643377	0.151480456	0.162059111
W ₀₁	4.36941208	6.944692485	9.818717687	12.91163639	15.42209639	18.62944737	19.05557631
V ₀₁	3.089655683	4.910612006	6.938670806	9.000817594	10.90582569	11.43302976	12.63553914
H ₀₁	0.568771815	1.873201883	4.028182626	1.085479453	12.6794225	14.79879159	14.98417967
3	4.570572343	4.663754003	4.016102826	0.716708826	0.715857638	0.7191857972	0.858574916
A _Y	0.29851555	0.375659781	0.398763033	0.404036765	0.428287677	0.436289978	0.478417859
Q _{II}	1.1843643395	1.08761109	1.049646333	1.041389773	1.013255772	0.986646546	0.960293501
n ₈	107.8534076	111.0715371	111.7915663	111.9656163	112.6315703	119.570153	113.7132386
K	6.028765313	0.027334326	0.027063066	0.027659085	0.027653076	0.026492103	0.026104867
A _{mf}	0.636875	0.410046875	0.375173651	0.365328195	0.3766275	0.309636108	0.270765306
I	0.172678205	0.2920261991	0.281680519	0.283016000	0.281907837	0.262903173	0.285106346
Z _{ff} - Y _{ff}	0.79567951	0.590518263	0.585583476	0.580010022	0.5910674508	0.589042605	0.589042605
M ₀₁	0.9072	3.7767	9.531	14.6336	25.5351	33.7234	41.2046
Q	0.024607069	0.049163817	0.070596465	0.096580951	0.118380361	0.145383906	0.161336816
W ₀₁	2.197400554	3.772581183	5.1520371783	7.157227829	10.91851033	16.92253563	18.70635837
V ₀₁	1.978408372	4.046394332	6.471698214	9.555852911	10.57094825	14.86603617	15.28446616
H ₀₁	0.4935394718	1.609561889	3.809803369	6.358660716	10.61647934	14.38513828	16.75793383
3	0.435063369	0.815826115	0.767085963	0.800008198	0.7777461902	0.887907101	0.873263467
A _Y	0.667119283	0.455880467	0.427566159	0.437580899	0.436871035	0.462648667	0.465092065
Q _{II}	0.935364367	0.968380377	1.006748369	0.958707072	0.936536358	0.93593055	0.93170488
n ₈	113.4571686	113.8467948	112.5855330	113.6153369	112.7354713	113.3888576	113.8581855
K	0.0261336166	0.026351307	0.026686493	0.0261633933	0.026580603	0.026877259	0.026085496
A _{mf}	0.2835	0.335056687	0.3309375	0.336193918	0.331918115	0.387501537	0.362833367
I	0.17731633	0.21030532	0.15775099	0.215753916	0.158789071	0.174361033	0.250004238
Z _{ff} - Y _{ff}	5.637612506	5.760400636	6.161871859	5.661879010	6.013836122	5.618194555	5.603176589

Determinarea principaliilor parametri la varianta A ¹¹ /16 - p 8,85							
n	100	200	300	400	500	600	700
M ₀₁	2.7276	6.517	11.4213	10.19	21.4299	33.6501	38.1877
Q	0.046299409	0.066180280	0.091181768	0.115484983	0.133610117	0.146600706	0.156300379
W ₀₁	3.4182906137	7.776122641	10.62017913	13.62903949	15.55761306	17.07118507	17.97713631
V ₀₁	3.0629466319	5.497568645	7.51870597	9.509950315	11.00039619	12.07121689	12.71181187
H ₀₁	0.6011162392	2.0291170711	4.295780493	7.319264743	10.74993177	14.2215513	16.13851567
3	0.371345533	0.588061336	2.613945689	0.626318108	0.715318795	0.82016913	0.839061618
A _Y	0.383329179	0.325181951	0.368123936	0.362585656	0.419216820	0.436458648	0.301914869
Q _{II}	1.507130222	1.162830431	1.100718673	1.067018343	1.02171567	0.965074221	0.906364913
n ₈	116.5620175	112.3615081	110.81624	111.6418033	112.3611209	113.3075079	114.36616331
K	0.071598481	0.0702644063	0.067196495	0.067216138	0.056189458	0.076152226	0.066160866
A _{mf}	0.8833715	0.532660183	0.47175694	0.391335937	0.39137315	0.292101562	0.263510055
I	0.116663947	0.191139112	1.0273112	1.1332916	1.561960305	1.718011205	5.170563315
Z _{ff} - Y _{ff}	1.010181512	1.2273112	1.11112	1.11112	1.11112	1.11112	1.11112
M ₀₁	1.9972	5.0465	11.0637	13.5612	26.5177	38.4864	36.9238
Q	0.036409155	0.052068333	0.085164334	0.113383489	0.131065378	0.143546408	0.150465671
W ₀₁	6.174930475	6.78193576	9.374199387	11.90116939	15.865015	16.71996463	17.583538149
V ₀₁	2.997475017	4.721463677	7.258151597	9.306020041	12.24180208	12.89985419	13.39110163
H ₀₁	0.551389742	1.629869563	4.07116701	7.114043659	10.39923519	14.18961406	17.28253634
3	0.531319177	0.652217657	0.692217657	0.692217657	0.760135697	0.822673776	0.963581649
A _Y	0.377412233	0.377412233	0.377412233	0.377412233	0.42721065	0.460203871	0.511060245
Q _{II}	1.277405135	1.070561566	1.070561566	1.070561566	1.070561566	0.886071703	0.895155764
n ₈	116.3595065	111.3916707	111.3321606	111.6567013	112.5629978	113.36060165	114.3585069
I	0.019560196	0.027345592	0.027345592	0.027345592	0.027345592	0.0268691381	0.025688118
A _{mf}	0.60223	0.299412032	0.38615675	0.38615675	0.38615675	0.31146025	0.271149166
I	0.179458972	0.255512968	0.255512968	0.255512968	0.255512968	0.278517296	0.276653507
Z _{ff} - Y _{ff}	2.53413131	6.02661202	6.665813335	6.665813335	6.665813335	5.46671766	5.039827075

Determinarea principaliilor parametri la varianta 9/16-n=400							
n	—	Q ₁₉	Q ₂₀	Q ₂₁	Q ₂₂	Q ₂₃	Q ₂₄
M ₀₁	2.1651	4.3972	1.0745	4.6075	3.1939	3.1006	3.0065
Q	0.05956577	0.06494203	0.06494203	0.07206385	0.053597103	0.051711642	0.053517398
W ₀₁	3.700153533	3.700153533	3.700153533	3.700153533	4.170519213	4.170519213	4.165313138
V ₀₁	3.700153533	3.700153533	3.700153533	3.700153533	3.700153533	3.700153533	3.700153533
H ₀₁	1.620153533	1.620153533	1.620153533	1.620153533	1.620153533	1.620153533	1.620153533
3	1.08714052	2.379561209	4.022495671	3.379336633	4.170519213	4.271076255	4.170519213
A _Y	1.08714052	1.760153533	1.620153533	1.760153533	1.760153533	1.760153533	1.760153533
Q _{II}	1.109145329	0.900616269	0.831715227	0.900616269	0.831715227	0.831715227	0.831715227
n ₈	0.28343530	0.28343530	0.28343530	0.28343530	0.28343530	0.28343530	0.28343530
K	1.025517179	1.112039871	1.112039871	1.112039871	1.112039871	1.112039871	1.112039871
A _{mf}	0.051715227	0.051715227	0.051715227	0.051715227	0.051715227	0.051715227	0.051715227
I	0.11112	0.11112	0.11112	0.11112	0.11112	0.11112	0.11112
Z _{ff} - Y _{ff}	1.49313131	1.49313131	1.49313131	1.49313131	1.49313131	1.49313131	1.49313131

Determinarea principaliilor parametri
la varianța σ_{18}^2 - n 600
(continuare)

Tabelul 5.7-8

P ₀	2°	3°	4°	5°	6°	7°	8°	9°
M ₀₁	5.0963	5.3771	5.7536	5.8715	5.31	5.7803		
G	0.051044220	0.057305039	0.057716497	0.055323579	0.057207039	0.057062235		
M ₀₂	6.37700049	6.543009367	6.570760633	6.646133431	6.633009862	6.516300643		
M ₀₃	4.481070057	4.481633937	4.615036855	4.83350300	4.826833887	4.7630476		
M ₀₄	4.101553215	4.733506365	4.763315702	4.704341172	4.735063945	4.74236011		
3	1.571016629	1.571160721	1.636002377	1.676008357	1.501160721	1.570331919		
K _V	0.823367391	0.797033520	0.796128443	0.75035456	0.797033320	0.60612391		
G _H	0.610370477	0.615308455	0.679464226	0.646655481	0.637047455	0.63704747		
P ₀	112.7651277	112.7652196	112.7510317	112.7652159	112.7652196	112.7761091		
K	0.074837112	0.07423148772	0.070706335	0.0703631433	0.075348772	0.079328361		
A ₀₅	0.099546875	0.105021604	0.1194483	0.116471234	0.101021164	0.103122085		
I	0.760332464	0.739783581	0.761570362	0.753770165	0.739783371	0.746383063		
M ₀₇ -M ₁	1.663062329	1.696536691	1.700376187	1.723711954	1.696536691	1.678926671		

* Varianta ET/EF

Determinarea principaliilor parametri
la varianța $A\sigma_{18}^2$ - n 400

Tabelul 5.8

P ₀	0.5	0.76	1.18	1.8	2.12	2.6	2.58
M ₀₁	2.7041	1.9	3.6291	10.1617	11.866	10.9072	11.3308
G	0.062616376	0.067613746	0.075171637	0.076356660	0.080213358	0.085513861	
M ₀₂	1.784286280	1.92241665	1.975661204	2.128106179	2.639532603	3.51613333	3.74960187
M ₀₃	5.504367102	5.58617648	6.163361776	6.453001059	6.835626713	6.729022135	6.91602635
M ₀₄	4.825720006	4.877201082	5.935965587	5.613515031	5.660551615	5.59668399	5.689668706
3	1.862203667	1.220060191	1.090331976	1.041601351	0.975938051	0.935538406	0.979433716
K _V	0.670377231	0.660389166	0.596037188	0.57158286	0.536314688	0.548870083	0.53658906
G _H	0.760762381	0.760668081	0.819913486	0.811860396	0.871026001	0.861026032	0.875819809
P ₀	112.3381637	112.8770377	112.3313011	112.0453902	112.6371638	112.6371638	112.6371638
K	0.029350461	0.029613832	0.0295066316	0.029515585	0.0293540163	0.0295453362	0.029553663
A ₀₅	0.150416015	0.1541936215	0.161162109	0.158009609	0.13303125	0.13101125	0.127169368
I	0.439276435	0.439370173	0.438770066	0.419115395	0.392708881	0.400056836	0.391891768
M ₀₇ -M ₁	2.368071586	3.078591946	2.337712092	3.440361397	2.635617586	2.866516216	3.708034301

Determinarea principaliilor parametri
la varianța $A\sigma_{18}^2$ - n 400

Tabelul 5.9

P ₀	0.7	0.9	1	1.4	1.7	2°	2.57	2.85	2.87
M ₀₁	12.066	12.7481	11.408	4.8878	11.7038	11.7877	11.6368	11.0371	11.8651
G	0.029350461	0.029613832	0.029506639	0.029515588	0.029440468	0.029103168	0.026491106	0.015010916	0.01639165
M ₀₂	1.0137819	1.04305658	1.131120761	1.131120761	1.131120761	1.131120761	1.131120761	1.131120761	1.131120761
M ₀₃	1.0137819	1.04305658	1.04305658	1.04305658	1.04305658	1.04305658	1.04305658	1.04305658	1.04305658
M ₀₄	3.6307462	3.771157158	3.630330643	3.571279005	3.543556019	3.073356015	1.137703007	1.137703007	1.137703007
3	0.91104643	0.93030676	0.930407142	0.933610656	0.935910193	0.929302963	0.741315054	0.603340006	0.716026626
K _V	0.658110053	0.658107671	0.658107671	0.658107671	0.658107671	0.658107671	0.658107671	0.658107671	0.658107671
G _H	0.657110059	11.4071177	11.3591208	11.371157158	11.371157158	11.371157158	11.371157158	11.371157158	11.371157158
P ₀	112.3381637	112.3381637	112.3381637	112.3381637	112.3381637	112.3381637	112.3381637	112.3381637	112.3381637
K	0.029350461	0.029613832	0.029506639	0.029515588	0.029440468	0.029103168	0.026491106	0.015010916	0.01639165
A ₀₅	0.137	0.140303748	0.177581231	0.207070457	0.206105018	0.189361825	0.11605675	0.091561825	0.170461825
I	0.420715682	0.43958945	0.4393323816	0.4393323816	0.436151118	0.437314561	0.436303067	0.437833008	0.437833008
M ₀₇ -M ₁	1.030329461	1.027100458	1.028046320	1.028046320	1.026661931	1.027111246	1.026087641	1.026087641	1.026087641

* cu dimensiunea cadrului

rotorice și statorice, la turația de funcționare $n = 400$ rot/min. în funcție de presiunea lichidului de alimentare, ρ_a curbele M_{f_h} (fig.5.31), H_{R_h} (fig.5.32) și Q (fig.5.33), Q_{II} (fig.5.34), \mathcal{G} (fig.5.35) și k_v (fig.5.36).

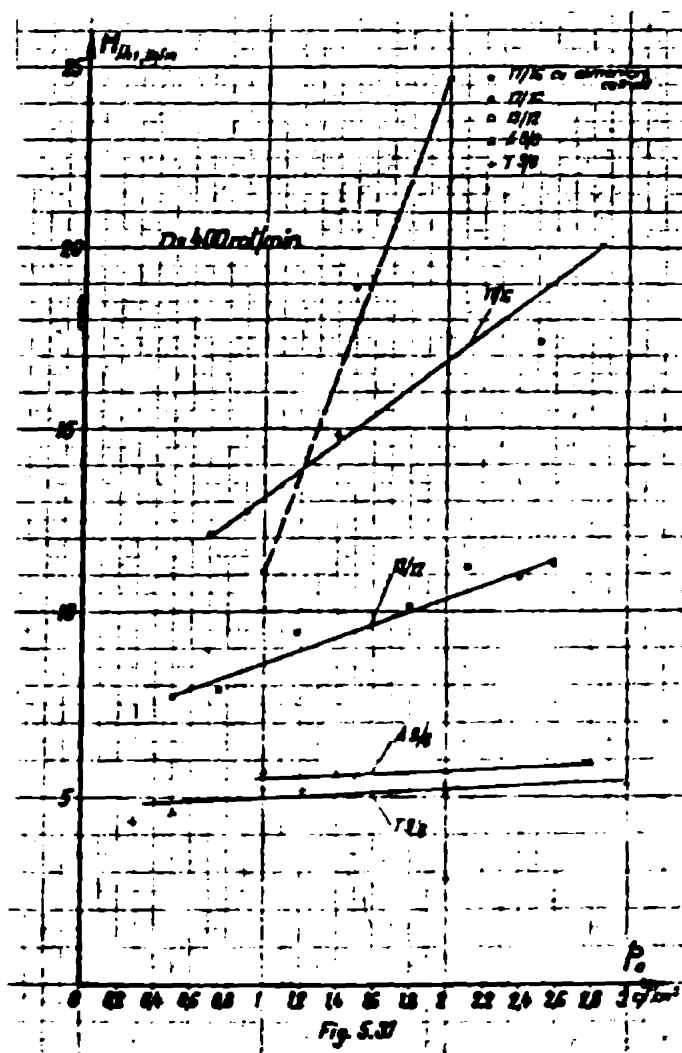
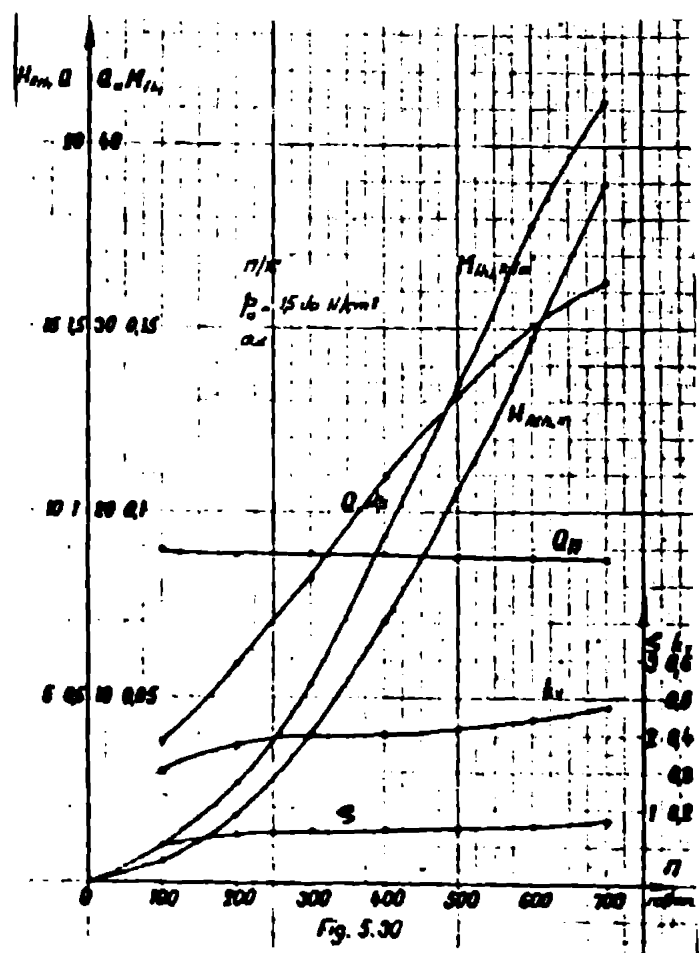
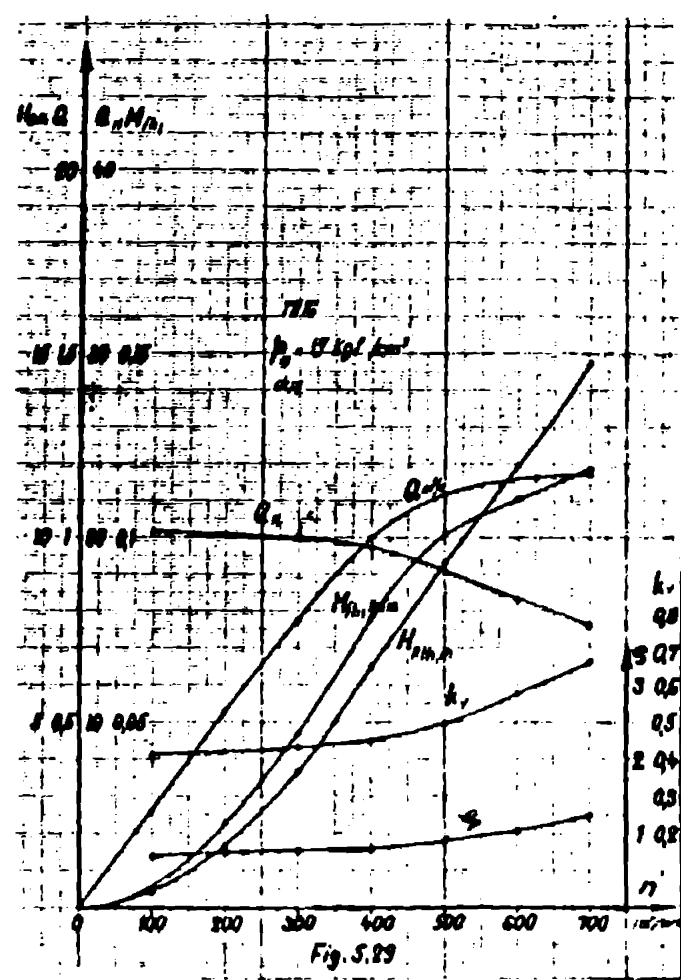
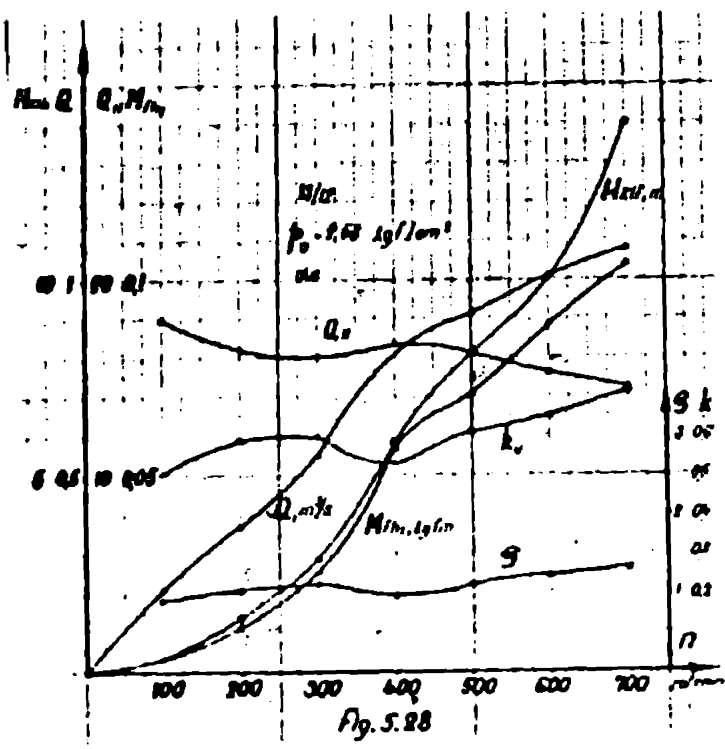
S-a ales turația de 400 rot/min. pentru a se considera numai regimuri de funcționare la care la nici o presiune nu apar desprinderi sensibile de la parabola corespunzătoare curbei teoretice $M = k_{mf} n^2 D^5$.

Din curbele respective reiese în mod pregnant în evidență influența deosebită a numărului de palete, a presiunii lichidului de alimentare și a alimentării centrale în zona depresionară.

Prelucrarea rezultatelor experimentale a permis verificarea relațiilor dintre unii parametri ai frînelor hidraulice.

Astfel considerînd numai valori rezultate pentru funcționarea la aceeași turație de 400 rot/min. la care nu apar desprinderi de la parabola curbei teoretice de moment de frînare se poate verifica relația dintre k_{mf} și \mathcal{G} . Se observă din fig.5.37 că toate punctele de funcționare se situează în apropierea curbei din fig.3.2.11 pentru $\%_{sc} = 1,00$, $\beta'_{k2} = 45^\circ$ și $Q_{II} = 0,4$. Creșterea presiunii lichidului de alimentare la fiecare din variantele cu numere diferite de palete are ca efect micșorarea coeficientului \mathcal{G} și creșterea corespunzătoare a coeficientului k_{mf} .

De asemenea se constată că valorile rezultate pentru mărimele Q_{II} , \mathcal{G} , k_{ur} și k_{vr} arată o bună dependență a acestora de coeficientul vitezelor k_v corespunzător relațiilor (3.4.39), (3.4.42), (3.4.27) și (3.4.30). Această situație este socasă în evidență pentru debitul unitar Q_{II} și



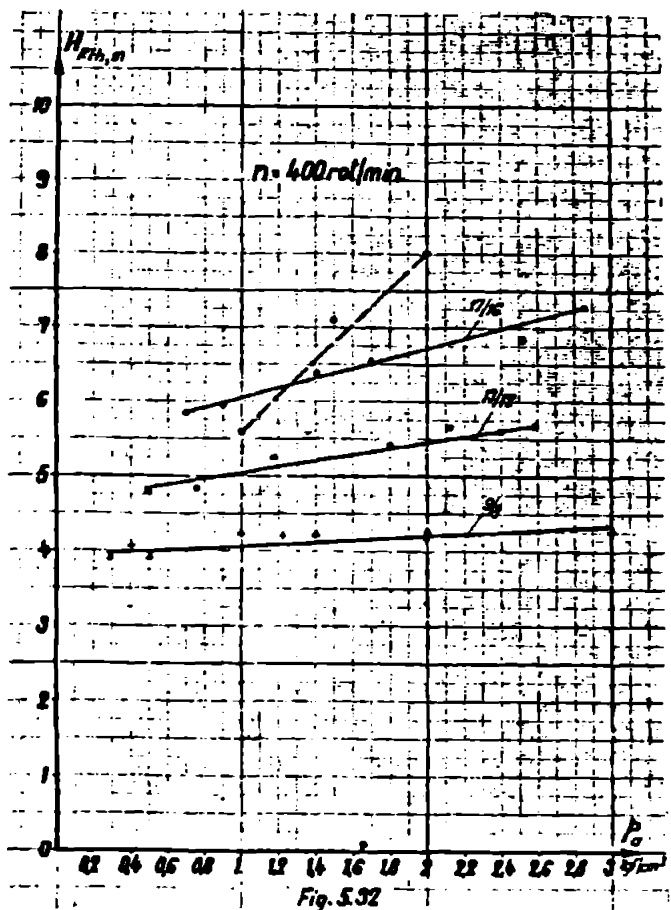


Fig. 5.32

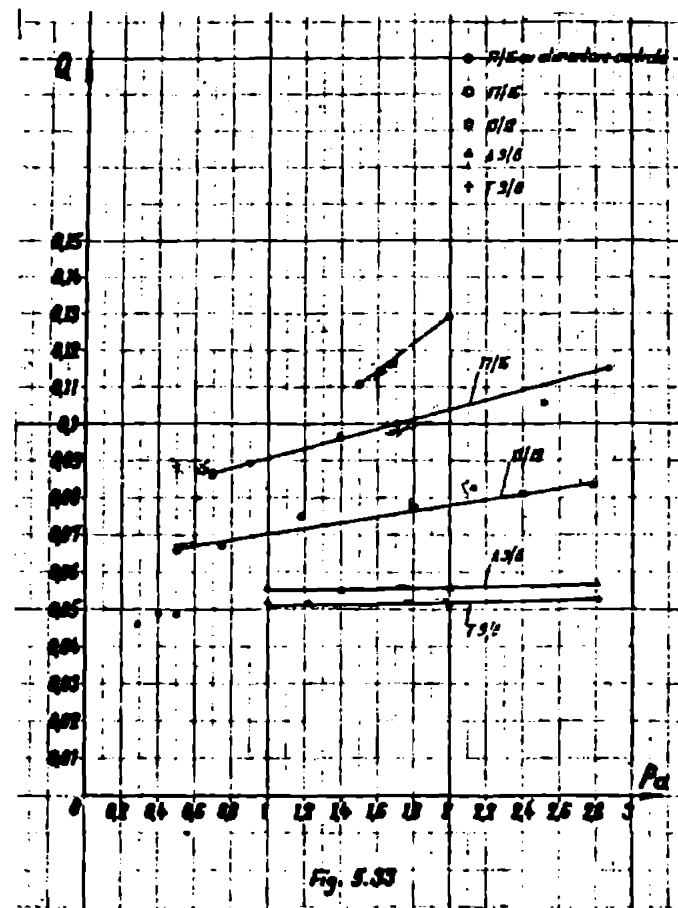


Fig. 5.33

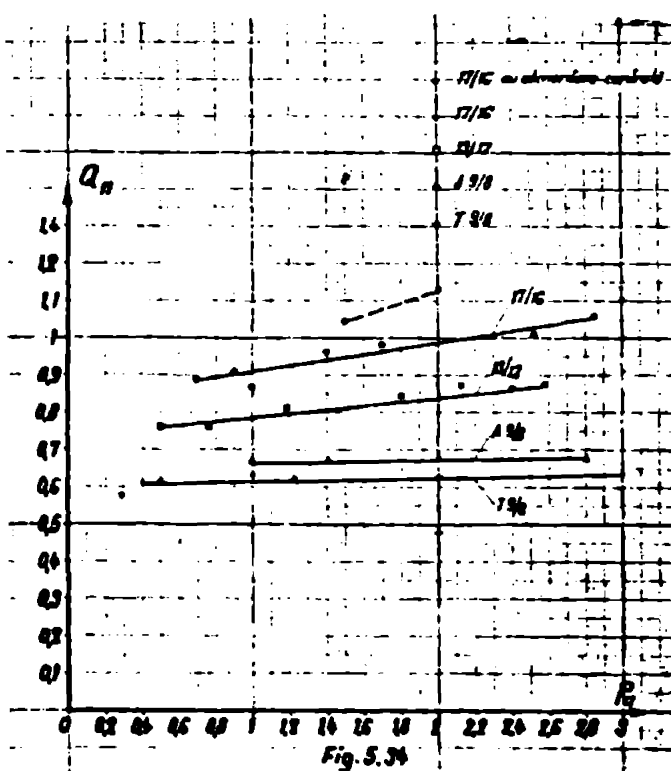


Fig. 5.34

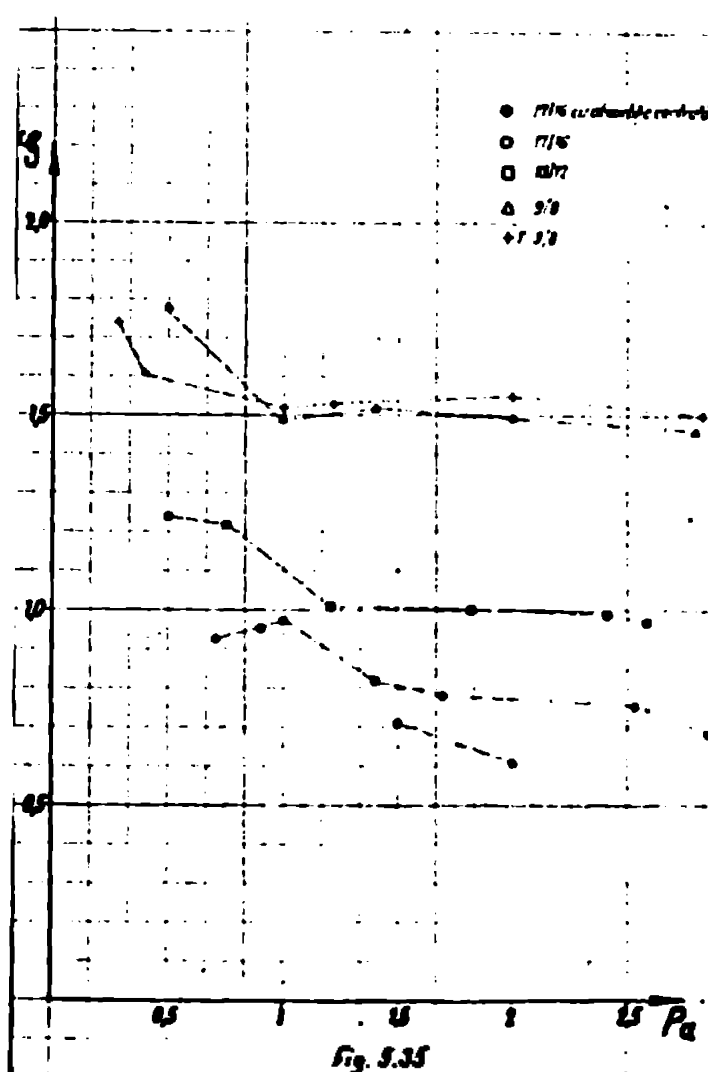


Fig. 5.35

coeficientul global al pierderilor prin frecare ζ în fig. 5.38.

De asemenea se pot reprezenta într-o diagramă prin puncte perechile de valori ale coeficienților λ și k_v , corespunzătoare acelorași regimuri de funcționare. Din fig. 5.39 se observă că pentru fiecare variantă de numere de palete la rotor și stator punctele sunt grupate pe o dreaptă diferită trecând prin origine. Relația dintre λ și k_v este lineară dar cu pantă diferită pentru fiecare variantă. Creșterea presiunii lichidului de alimentare acționează în sensul micșorării coeficientului pierderilor prin frecare longitudinală λ .

Pentru caracterizarea prin puncte a diferitelor regimuri de funcționare a turboambreiajelor poate fi preluată reprezentarea utilizată în [41] prin perechea de valori coeficientul λ_k caracterizând pierderile de sarcină prin frecare (similar cu ζ , pentru că $\lambda_k = H_{PF} / \omega^2 / 2g$)

și mărimea $\frac{Z}{2\pi} \varphi$ unde Z este numărul de palete iar φ coeficientul de viteză $\varphi = w_2 / u_2$, w_2 fiind viteză relativă la ieșirea din rotor iar u_2 viteză tangențială în același punct.

Reprezentarea respectivă se referă la turboambreiaje cu unghiul de înclinare al paletelor de 90° la care w_2 și u_2 sunt perpendiculare, ceea ce face ca mărimea φ să poată fi considerată echivalentă cu inversul coeficientului vitezelor $k_v = u_{R2} / v_{m0}$ utilizat în lucrare.

În fig. 5.40 s-au reprezentat în coordinate logaritmice punctele de funcționare pentru cele 3 variante de numere de palete Z la aceeași turatie de 400 rot/min. caracterisate prin perechile de valori $\zeta = \lambda_k$ și $\frac{Z}{2\pi} \frac{1}{k_v} = \frac{Z}{2\pi} \varphi$

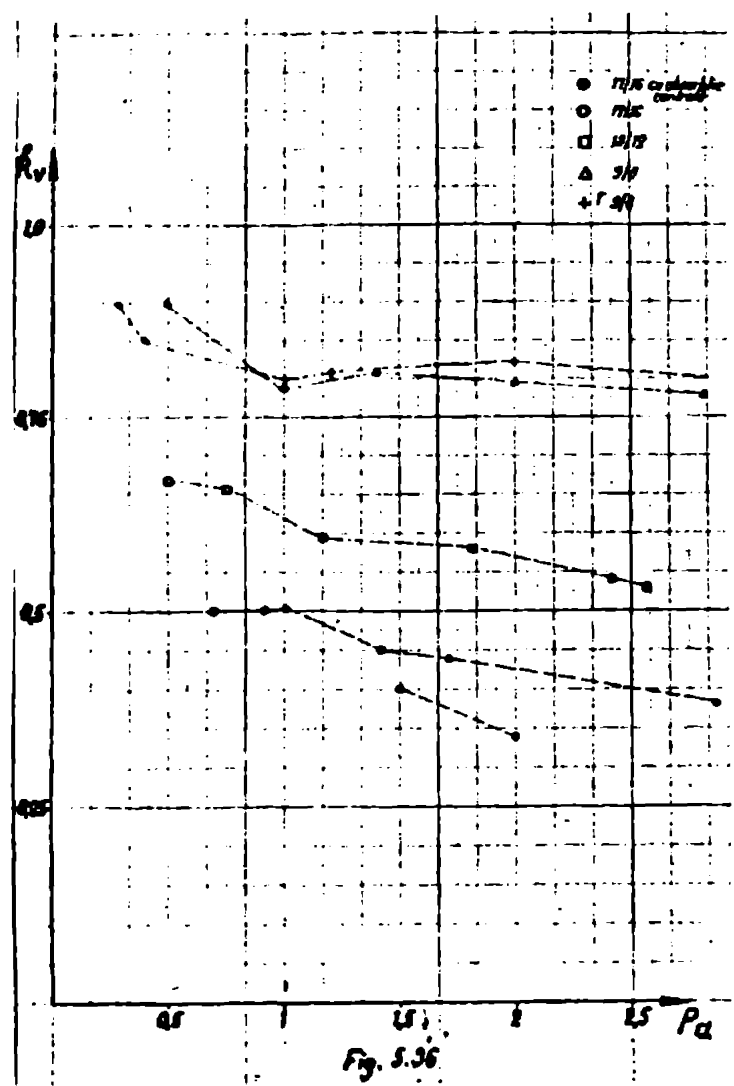


Fig. 5.36

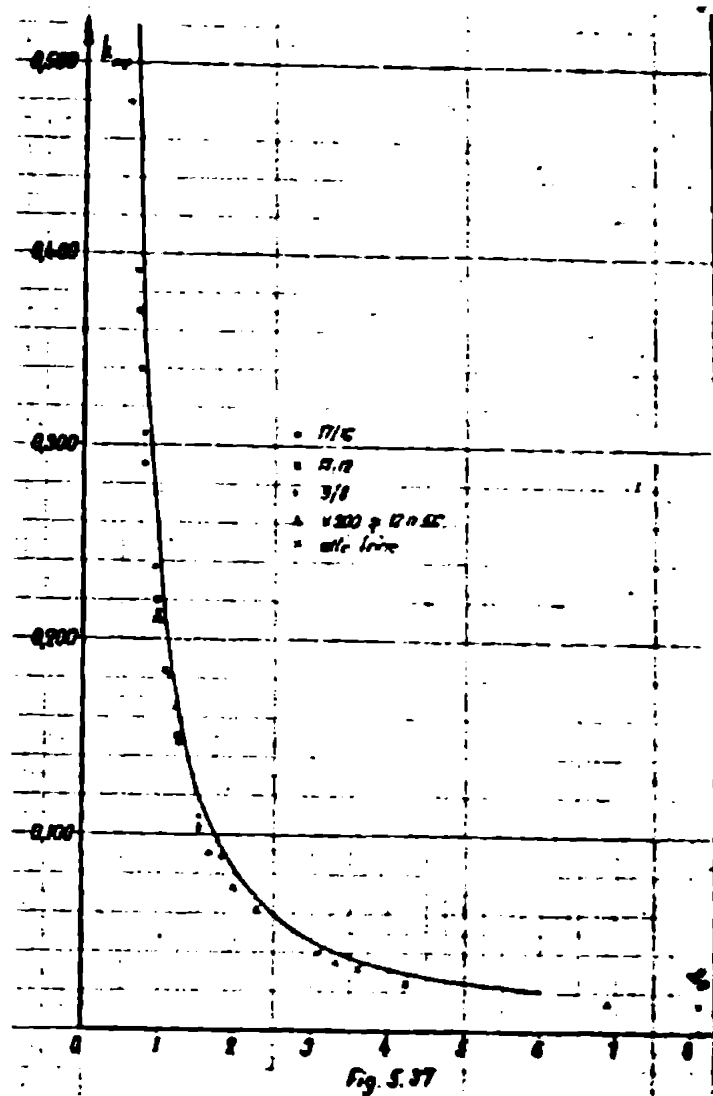


Fig. 5.37

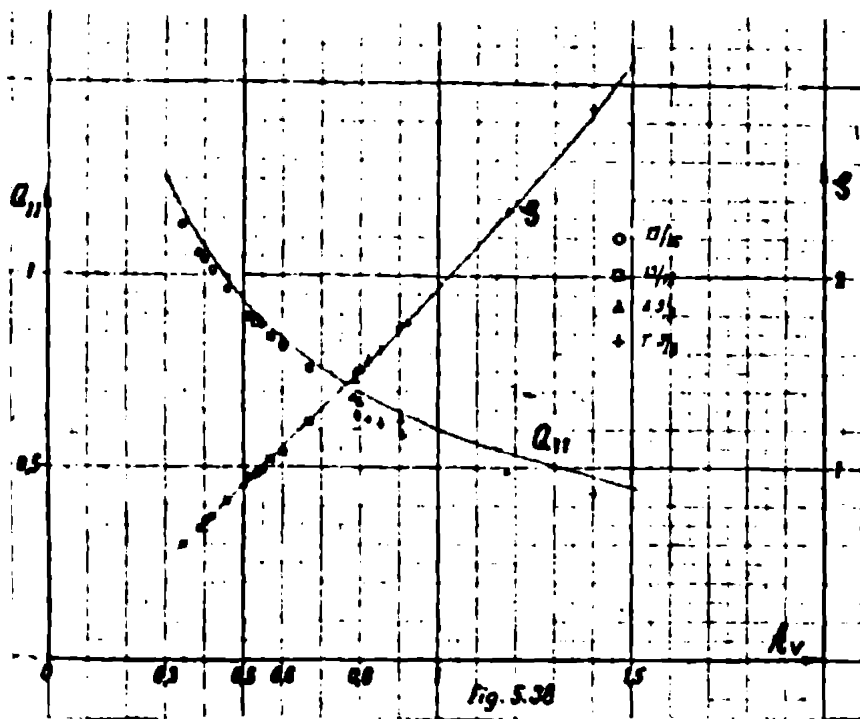


Fig. 5.38

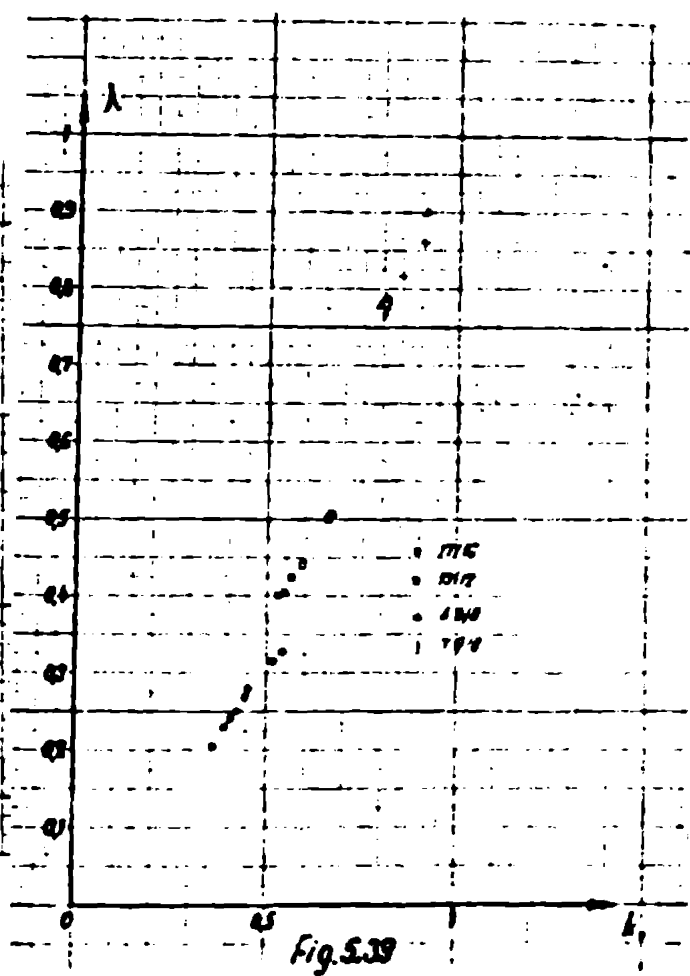


Fig. 5.39

Se observă că valorile coeficientilor λ_R se situează pentru cele 3 variante pe 3 drepte definite cu înclinare. În figură este reprezentată și porțiunea de curbă $\lambda_R = f\left(\frac{Z}{2\pi} \varphi\right)$, [41] care în domeniu aferent este tot o dreaptă.

În [41] este indicată relația

$$\lambda_R \left(\frac{Z}{2\pi} \varphi \right)^2 = 1,1 \quad (5.1)$$

care acoperă însă întreg domeniul considerat de punctul de funcționare, mai extins decât porțiunea lineară aferentă valorilor $\frac{Z}{2\pi} \frac{1}{k_v}$ rezultate din încercările efectuate la frâne hidraulice în cadrul lucrării de față.

În fig.5.41 s-a reprezentat în coordonate logaritmice punctele de funcționare la aceeași turătie de 400 rot/min. pentru cele trei variante de numere de palete Z caracterizate prin perechile de valori λ și $\frac{Z}{2\pi} \frac{1}{k_v}$. Se observă că toate punctele de funcționare rezultate din încercări se situează în această reprezentare pe o singură dreaptă înclinată la cca. 45° . Ecuția dreptei este

$$\lambda \frac{Z}{2\pi} \frac{1}{k_v} = 1,5 \quad (5.2)$$

Se observă că varianta cu 17/16 palete se diferențiază prin valorile cele mai mici ale coeficientului pierderilor prin frecare longitudinale λ acestea scăzând odată cu creșterea presiunii lichidului de alimentare.

Relația (5.1) preluată din [41] nu este singura indicată în literatură. Astfel în [28] figurează o relație care exprimă coeficientul λ_R în funcție de numărul Reynolds

$$\lambda_R = 7,1 Re^{-0,25}$$

rezultă din încercări la convertizoare hidraulice de cuplu. Relația concordă cu aceea a lui Blasius. Valorile reale, indicate în lucrarea citată pentru λ_r se situează în domeniul $0,2 \dots 0,55$.

In aceeași lucrare sunt indicate valori rezultate din încercările efectuate de Tomo - O - Ishihara cuprinse în domeniul $0,2 \dots 1,2$. Aceste valori sunt de același ordin de mărime cu valorile lui λ rezultate din încercările efectuate în cadrul lucrării de față, cu frâne hidraulice, situate în domeniul $0,6 - 2,83$. Este de reținut însă că la încercările cu varianta optimă cu 17/16 palete domeniul lui λ se situează între limitele $0,6 \dots 0,94$.

Încercările efectuate în [51] cu turboambreiaje în diverse regimuri, dau pentru condiții de frânare valori ale coeficientului λ în domeniul $0,0361 \dots 0,16$, considerate ca dependente de Re . Considerind numai valorile corespondente regimurilor de frânare dependența rezultată din diagrama din [51] este de tipul

$$\lambda = (0,62 \dots 1) Re \quad (5.3)$$

Atât din încercările efectuate cu variantele de rotori și statori în cadrul lucrării cât și din analiza frânelor hidraulice realizate în străinătate, la care s-au recalculat o serie de parametri, a rezultat că există o mărime aproape constantă care prezintă, pentru toate punctele de funcționare considerate, o variație minimă, caracterizată prin expresia

$$K = \frac{S^{\frac{3}{4}} Q}{D^3 n} \quad (5.4)$$

Valorile obținute pentru această constantă sunt indicate în tabelele 4.1... 4.3 și 5.2 ... 5.9. Pentru variantele de rotori-statori încercate s-a reprezentat variația

constantei k în funcție de presiunea de alimentare în fig.

5.42. Se observă că valoarea lui k se menține constantă dar diferă într-o mică măsură crescând la variantele cu mai multe palete.

Pentru toate variantele de rotori-statori încercate cît și pentru toate frânele hidraulice analizate constanta k a luat valori cuprinse între 0,019 și 0,03.

5.4. CONCLUZII PRIVIND INCERCARILE EFECTUATE.

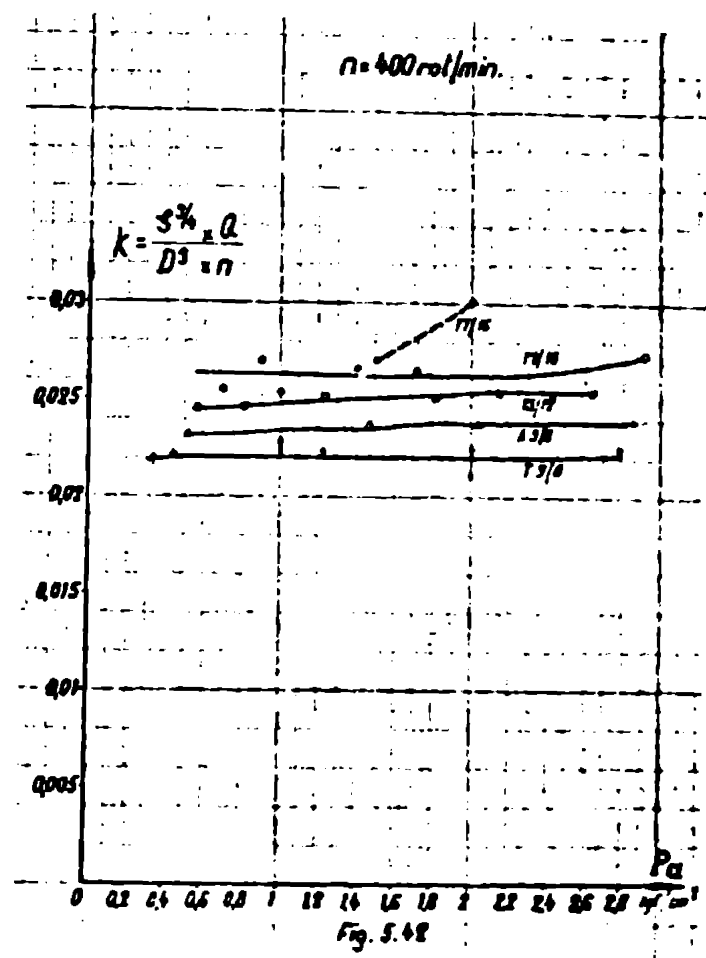
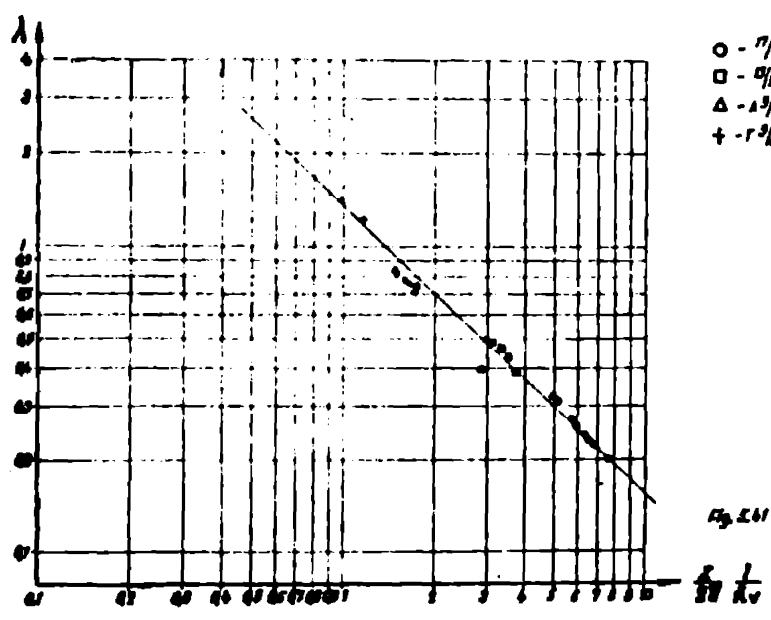
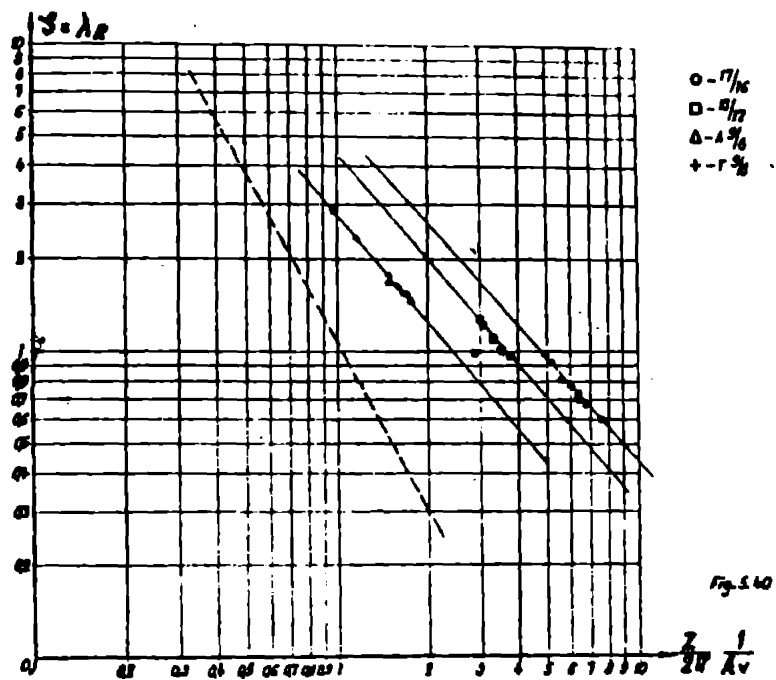
Încercarea frânei hidraulice model experimental la scară redusă FH 200 și prelucrarea rezultatelor acestei încercări permit să se execute următoarele concluzii :

- În urma încercării pe stand a variantelor de rotori și statori s-au putut determina valorile reale ale coeficientului capacitatei de moment a frânei k_{mf} .

Valorile obținute pentru această mărime specifică, ce permite comparația diferențelor construcției, sunt influențate de calitatea execuției elementelor circuitului hidraulic de la rotor și stator și, în cea mai mare măsură, de numărul paletelor rotorului și statorului.

La o variantă dată, creșterea presiunii lichidului de alimentare a frânei are ca urmare valori mai mari ale coeficientului k_{mf} .

Odată cu creșterea turăției rotorului apar în frână zone depresionare care duc la micșorarea momentului de frânare și deci la micșorarea coeficientului k_{mf} . Apariția acestui fenomen poate fi eliminată sau atenuată prin mărirea presiunii lichidului de alimentare și prin introducerea lichidului în zona centrală a tarului circuitului hidraulic.



Încercările efectuate au confirmat concluziile teoretice anterioare privitor la dependența parametrilor sarcină de pompă H_{RH} , debitul unitar Q_u și coeficientul global al pierderilor prin frecare ζ și a coeficienților de viteză k_{ur} și k_{vr} de coeficientul vitezelor k_v . Valoările acestor parametri respectă relațiile teoretice stabilite, indiferent de apariția zonei depresionare și de mărimea preșunii lichidului de alimentare.

De asemenea încercările au confirmat relația teoretică stabilită dintre valoarea lui k_{mf} și coeficientul ζ , restul parametrilor (Q_e , β'_{R2} și γ_{sc}) fiind constanți.

Datorită utilizării mărimii geometrice φ se poate determina, cunoștinând coeficientul global al pierderilor prin frecare ζ și presupunând $\gamma_{sc} = 1$, coeficientul pierderilor prin frecare longitudinale λ , care apare dependent de coeficientul vitezelor k_v și de condițiile de funcționare (presiunea lichidului de alimentare).

Rezultatele încercărilor au permis să se stabilească o dependență între coeficientul pierderilor prin frecare longitudinale λ numărul paletelor Z și coeficientul vitezelor k_v , dată de relația (5.2).

Rezultatele experimentate obținute completează relațiile teoretice elaborate și permit elaborarea unei metode de proiectare a frinelor hidraulice.

6. CALCULUL SI PROIECTAREA FRINELOR HIDRAULICE

Cercetarea teoretică și experimentală efectuată și relațiile cu caracter general stabilite între parametrii frinelor hidraulice permit elaborarea unei metodologii pentru calculul și parametrii frinelor hidraulice.

După datele inițiale ale problemei, se pot prezenta următoarele situații :

a. Se dă valoarea cerută a momentului de frânare pentru o turătie dată - un punct obligatoriu al curbei $M=f(n)$ și se cer dimensiunile frînei.

b. Se dă diametrul frînei rezultat din considerente particulare și se cere determinarea curbei teoretice $M=f(n)$.

Situatia de la punctul a este cea mai frecventă și conduce la problema cu caracterul cel mai general, metodologia propusă în continuare referindu-se la această situație.

Sub rezerva verificării experimentale ulterioare a coeficientului capacitatei de moment k_{mf} , diametrul activ D al rotorului frînei se determină cu ajutorul relației (3.2.1) scrisă în forma

$$D = \left(\frac{M}{k_{mf} n^2} \right)^{1/5} \quad (6.1)$$

Stabilirea unei valori probabile a coeficientului k_{mf} presupune anumite opțiuni pentru o serie de mărimi care au o influență majoră asupra acestui coefficient și anume :

- unghiul paletelor rotorului β'_{R2} și statorului α'_{S1}
- coeficienții pierderilor globale prin frecare ζ și coeficientul pierderilor prin soc ζ_{sc}
- coeficientul vitezelor k_v
- coeficienții k_{ur} și k_{vm}

In ceea ce privește unghiul paletelor rotorului și statorului se consideră conform presupunerilor făcute în Cap.2 că $\beta'_{R2} = \alpha'_{S1}$, alegerea valorii acestora făcindu-se ținând seama de următoarele considerente :

- dacă se cere frânarea într-un singur sens de rotație cu obținerea momentului maxim, se alege $\beta'_{R2} = \alpha'_{S1} = 45^\circ$ întrucât această valoare este, după cum s-a arătat, suficient de apropiată de valoarea optimă a unghiului β'_{R2} care dă valoarea maximă a coeficientului k_{mf} .
- dacă se cere frânarea în ambele sensuri de rotație, cu aceleași caracteristice de frânare se alege $\beta'_{R2} = \alpha'_{S1} = 90^\circ$.

Admitând $\zeta_{sc} = 1$ coeficientul ζ se poate estima în corelare cu coeficientul k_v , ținând seama de relația (3.4.42) care este reprezentată grafic pentru $\beta'_{R2} = 45^\circ$ în figura 6.1. Analiza unui număr de frâne hidraulice realizate în străinătate efectuată în Cap.4 și cercetările experimentale expuse în Cap.5, permit ca să se considere domeniul de variație al lui ζ cuprins între 1...2 valoriile aferente ale lui k_v fiind cuprinse în domeniul 0,5 ... 1.1.

Pentru o valoare dată a coeficientului k_v rezultă imediat, tot din fig.6.1 și valoarea coeficientului k_{mf} .

De carece în fig.6.1 s-a considerat valoarea teoretică a coeficientului k_{mf} dat de relația (3.2.28) care

nu ține seama de prezența paletelor este nevoie ca la determinarea diametrului activ D cu ajutorul relației (6.1) să se considere o valoare corectată a coeficientului capacitatei de moment $k'_{mf} = (0,85 \dots 0,9) k_{mf}$.

Valorile corespunzătoare k_v , k_{vr} , k_{vm} și β din fig.6.1 se determină pentru valoarea teoretică a lui k_{mf} .

Valorile din fig.6.1 sunt determinate pentru un raport $\frac{D_i}{D} = 0,4$ dar, după cum s-a arătat, diferențele rezultate, pentru alte valori ale acestui raport, sunt neesentiale.

Alegerea valorilor coeficienților β , k_v și k_{mf} ținând seama de curbele din fig.6.1 trebuie să aibă în vedere posibilitățile tehnologice de execuție a rotorului și statorului, precizia execuției și calitatea suprafețelor care vin în contact cu lichidul de lucru, care vor putea fi realizate. Cu cît precizia de execuție va fi mai mare și cu cît suprafețele vor fi mai puțin rugoase cu atât valoările lui β și k_v se pot situa la limita inferioară a intervalelor indicate.

In cazul unui unghiu $\beta'_{R2} = 90^\circ$, β se poate determina în funcție de k_v cu ajutorul relației (3.4.43).

Cunoscind în afara momentului M și a turării n date prin temă și valoarea coeficientului k_{mf} estimat în modul expus anterior din relația (6.1) se determină diametrul activ al rotorului D .

In funcție de diametrul activ al rotorului D se pot stabili celelalte elemente geometrice ale circuitului hidraulic. In acest scop în fig.6.2 sunt indicate aceste elemente în funcție de diametrul D , proporțiile geometrice fiind rezultate din analiza unui număr de frâne execute.

Alegerea numărului paletelor rotorului reprezintă o problemă dificilă din cauza datelor foarte reduse existente în literatura tehnică. Considerațiile din capitolul 2 au socotit în evidență faptul că la frâne hidraulice numărul de palete poate fi mai mic decât la un turboambreiaj de aceleasi dimensiuni. Încercările efectuate cu variantele cu 9, 13 și 17 palete la rotorul frânei hidraulice model experimental cu diametrul activ de 0,2 m au arătat că cele mai bune rezultate s-au obținut cu 17 palete. Presupunând că mărirea numărului de palete la această frână nu mai putea să ducă la creșterea momentului de frânare realizat se poate considera că la frâne hidraulice numărul de palete la rotor poate fi ca ordin de mărime jumătate din numărul de palete recomandat pentru turboambreiaje [43]. Pe această bază în fig.6.3 s-a indicat numărul de palete recomandat în funcție de diametrul activ al rotorului.

Numărul de palete la stator Z_s se va alege mai mic cu 1 - 2 palete

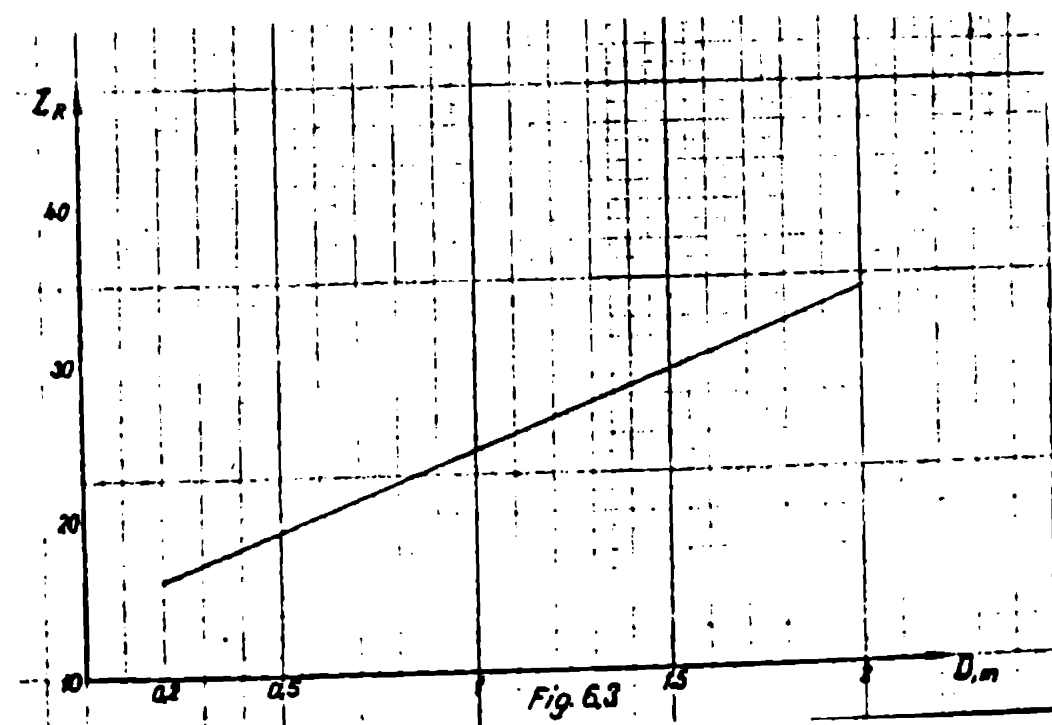
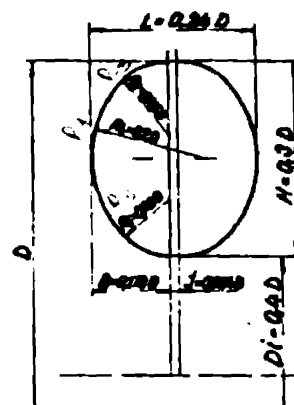
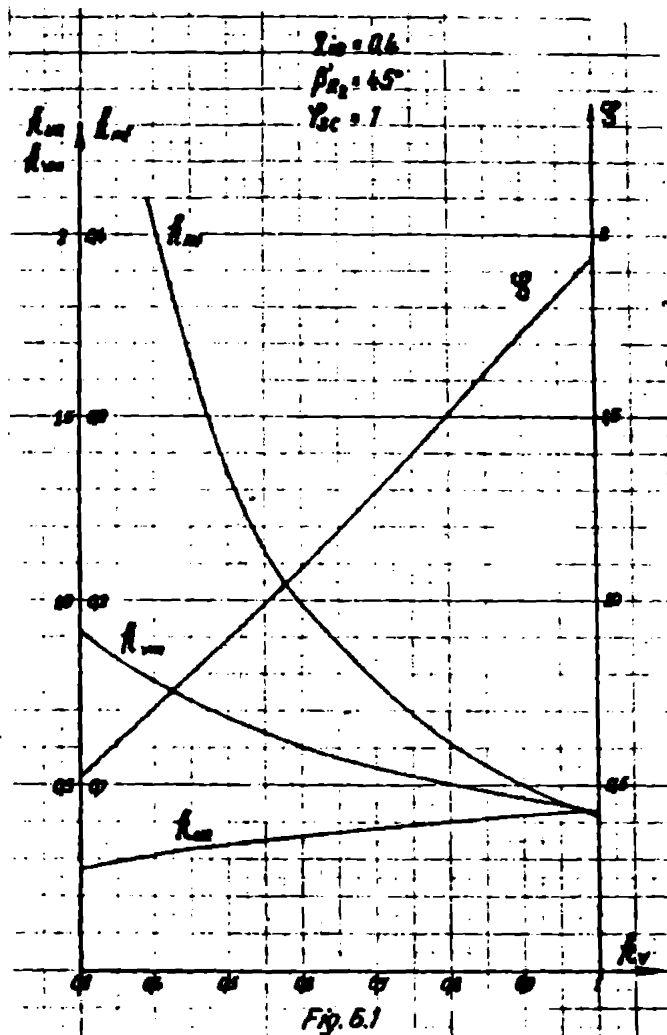
$$Z_s = Z_r - (1 \dots 2) \quad (6.2)$$

Pentru determinarea în continuare a parametrilor frânei hidraulice este necesară cunoașterea diametrelor $D_2 = 2R_2$ și $D_1 = 2R_1$ date de relațiile (3.1.19) respectiv 3.1.21.

$$D_2 = R_e \left(1 + \sqrt{\frac{1 + q_{ie}^2}{2}} \right) \quad (6.3)$$

$$D_1 = R_e \left(q_{ie} + \sqrt{\frac{1 + q_{ie}^2}{2}} \right) \quad (6.4)$$

Din relația de definiție a coeficientului k_{ur}



(3.4.18) rezultă

$$H_{Rth} = \frac{\mu_{R2}}{2g k_{UR}^2} \quad (6.5)$$

în care viteza tangențială μ_{R2} se determină pentru turăția n dată prin temă și pentru D_2 rezultat din relația (6.3).

Cunoscând sarcina creiată de rotor H_{Rth} se poate determina cu ajutorul relației (3.4.19) componenta meridională a vitezei absolute la ieșirea din rotor

$$v_{m2} = k_m \sqrt{2g H_{Rth}} \quad (6.6)$$

Pentru a se determina debitul este necesar să se determine în prealabil secțiunea A_2 la ieșirea din rotor dată de relația (3.1.37)

$$A_2 = \frac{\pi}{2} (R_e^2 - R_i^2) - \frac{R_e - R_i}{2} s'z \quad (6.7)$$

în care conform relației (3.1.34)

$$s' = \frac{s}{\cos \beta'_{R2}} \quad (6.8)$$

Cu elementele cunoscute se poate determina și coeficientul grosimii paletei σ' dat de relația (3.1.36)

$$\sigma' = \frac{s'}{R_e} \quad (6.9)$$

De asemenea se poate determina coeficientul de corecție al coeficientului de moment

$$k_{mf}' = \frac{1 + q_{ie} - \frac{Z\sigma'}{\pi}}{1 + q_{ie}} k_{mf} \quad (6.10)$$

Debitul care circulă prin frînă este

$$Q = v_{m_2} A_2 \quad (6.11)$$

Viteza relativă la ieșirea din rotor este

$$w_{R2} = \frac{v_{m_2}}{\sin \beta'_{R2}} \quad (6.12)$$

Cu elementele cunoscute se poate recalcula coeficientul global al pierderilor prin frecare

$$\xi = \frac{H_{Rth} - H_{sc}}{\frac{w_{R2}^2}{2g}} \quad (6.13)$$

în care pierderea de sarcină prin şoc se determină considerind $\varphi_{sc} = 1$ în relația (3.1.63)

$$H_{sc} = \frac{1}{2g} \left(1 + q_{1/2}^2 \right) u_{R2}^2 \quad (6.14)$$

Valoarea recalculată a lui ξ trebuie să fie apropiată de valoarea inițială.

7. ANALIZA TEHNICO ECONOMICA A CONSTRUCTIILOR DE FRINE HIDRAULICE

In realizarea unor noi construcții de frâne hidraulice, ca și în realizarea oricărui produs nou, analiza tehnico-economică permite aprecierea nivelului tehnico al soluțiilor constructive aplicate, a competitivității pe plan intern și internațional, respectiv a eficacității economice a produsului nou cît și pentru caracterizarea acestuia în raport cu alte produse similare.

Orice utilaj are un anumit nivel tehnic care este dat de valoarea sa de întrebuințare, raportată la o valoare de referință, pe care acest utilaj o cîștigă ca expresie globală cu caracteristicile sale tehnicoe, constructive, funcționale de fabricație și exploatare, a performanțelor sale.

Nivelul tehnic al unui utilaj definit prin caracteristicile care-i conferă valoarea de întrebuințare exprimă de fapt calitatea acestuia sub aspectul competitivității, a eficienței atât la producătorul utilajului cît și la beneficiarul său.

Nivelul tehnic al diferitelor utilaje se exprimă obiectiv și unicivoc prin anumiți parametri tehnico-economiici. Chiar dacă comparația este limitată la utilaje avînd aceeași destinație, aceleasi funcțiuni și din aceeași clasa, parametrii considerați permit o durificare a acestor utilaje numai din punctul de vedere al acestora. Dacă utilajele sunt din clase diferite atunci comparația nu poate fi efectuată decit recurgînd la indici specifici.

Este posibil în majoritatea cazurilor să se poată stabili indici specifici capabili să exprime nivelul tehnic relativ al utilajelor având aceeași destinație.

Principalii parametri ai frinelor hidraulice sunt următorii :

- Diametrul activ al rotorului D m
- Momentul de frinare realizat M_{fh} ; kgfm în funcție de turăția și rot/min.
- Puterea de frinare realizată P_{fh} ; CP, în funcție de turăția n
- Masa frinei G ; kg

Momentul de frinare realizat de frindă poate fi exprimat prin relația

$$M_{fh} = i k_{mf} n^2 D^5 \quad (7.1)$$

unde i este numărul de circuite hidraulice.

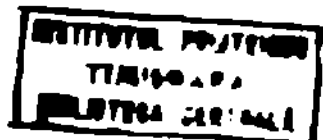
Puterea de frinare realizată se exprimă prin relația

$$P_{fh} = i k_{pf} n^3 D^5 \quad (7.2)$$

Intre coeficientul capacității de moment a frinei k_{mf} și coeficientul k_{pf} există evident relația

$$k_{mf} = 716,2 k_{pf} \quad (7.3)$$

In relațiile (7.1) și (7.2) apar coeficienții k_{mf} și k_{pf} care reprezintă de fapt indici specifici ai frinelor hidraulice care permit comparația nu numai a frinelor având același diametru ca în cazul parametrilor ci a oricărora mărimi de frine.



Masa frînei se poate exprima analitic prin re-
lația

$$G = A D^\sigma \quad (7.4)$$

în care A este un coeficient și σ un exponent ce pot fi determinați pe cale statistică.

De exemplu analizînd frînele hidraulice din programul de fabricație al firmei Parmac SUA de tip vechi, ambele de tip nou simple sau de tip nou, duble, rezultă pe bază statistică.

Tabelul 7.1.

Tipul	a	$A = \bar{x}$	σ_n
Frîne hidraulice vechi, duble	2,45	1685	345
Frîne hidraulice noi, simple	2,40	1970	412
Frîne hidraulice noi, duble	2,45	3304	297

Comparînd două construcții de frîne a și b de același tip (fie simple fie duble) caracterizate prin anumiti parametri sau indici, condiția de superioritate a frînei hidraulice a față de frîna b rezultă astfel :

- pentru coeficientul capacitatei de moment

$$k_{mfa} > k_{mfib}$$

- pentru masa frînei

$$G_a < G_b$$

In analiza nivelului frînelor hidraulice este necesar să introducă și alte performanțe legate de destinația lor, de rolul lor funcțional.

Dacă de exemplu se limitează analiza la frînele hidraulice ale trolialor de foraj și intervenție, couplate direct cu arborele tobei de manevră, trebuie să se țină seama de faptul că ele sunt frîne auxiliare de încoetinire și că

parametrul cel mai important este viteza de introducere a garniturii de foraj care din motive tehnologice trebuie să poată fi cât mai mică.

In condițiile de utilizare a frinelor hidraulice la trolii de foraj și intervenție punctul de funcționare caracterizat prin viteza de introducere a garniturii v_c este influențat de următorii factori :

- diametrul de înfășurare al cablului de toba de manevră D_{tv}
- numărul de fire al înfășurării cablului pe rolele mecanismului macara - geamblac $2z$ (z fiind numărul de role al macaralei)
- randamentul mecanismului macara - geamblac η ,
- masa maximă a garniturii de foraj suspendate la cîrligul instalației, Q_c
- momentul de frinare respectiv puterea de frinare realizate de frîna hidraulică pentru condițiile date.

Punctul de funcționare al frînei hidraulice se determină prin egalarea puterii frînei hidraulice P_{fh} cu puterea de frinare dezvoltată la introducerea garniturii, P_{fi} .

Puterea frînei hidraulice se poate exprima ținând seama de relațiile (7.1) și (7.3)

$$P_{fh} = \frac{i k_m f n^3 D^5}{716,2} \quad (7.5)$$

Puterea de frinare P_{fi} , dezvoltată la introducerea garniturii de foraj de masă Q_c , cu viteza v_c este dată de relația

$$P_{fi} = \frac{Q_c v_c}{75} \gamma_r \quad (7.6)$$

Relația dintre viteza de introducere v_c și turăția

Năfrimea cuplate direct cu toba de manevră este

$$v_c = \frac{\pi D_{tu} n}{120 z} \quad (7.7)$$

Egalarea relațiilor (7.5) și (7.6) ținând seama de (7.7) permite exprimarea vitezei de introducere prin relația

$$v_c = \sqrt{\frac{716,2}{75} \left(\frac{\pi}{60}\right)^3 \frac{Q_c \gamma_r D_{tu}^3}{(2z)^3 k_m D^5}} \quad (7.8)$$

Relația (7.8) care pune în evidență toți factorii care influențează viteza de introducere v_c devine mai rapidă dacă se compară două frâne funcționând în aceleasi condiții. Notind cu indicei a și b parametrii celor două frâne hidraulice componente pentru aceleasi valori Q_c , γ_r , D_{tu} , $2z$

și rezultă

$$\frac{v_{cb}}{v_{ca}} = \sqrt{\frac{k_{mfa} D_a^5}{k_{mb} D_b^5}} \quad (7.9)$$

Lufindu-se ca produs de referință frâna cu indicele a cu ajutorul relației (7.9) se pot determina performanțele relative ale oricărei frâne hidraulice notate cu indicele i cu ajutorul relației

$$v_{ci} = v_{ca} \sqrt{\frac{k_{mfa} D_a^5}{k_{mfi} D_i^5}} \quad (7.10)$$

Din punct de vedere funcțional condiția de superioritate a frânei b dată de frâna a este dată de condiția

$$v_{cb} < v_{ca}$$

Corespunzător vitezelor de introducere τ_{co} și τ_{ci} a aceleiași sarcini Q , debitele de apă de răcire cu care trebuie alimentate cele două frâne hidraulice comparate q_0 respectiv q_i se află în raportul

$$\frac{q_i}{q_0} = \sqrt{\frac{k_{mf\sigma} D_\sigma^5}{k_{mf} D_i^5}} \quad (7.11)$$

Se observă că frâna cu capacitate de frânare mai mare permite realizarea unei viteze de introducere mai mici și corespunzător acesteia și necesită un debit de alimentare mai redus.

Evident comparația poate fi făcută și între frâne simple și duble. La o asemenea comparație se pune problema raportului dintre diametrele active ale rotorilor frinelor simplă D_s și dublă D_d care realizează un același moment de frânare respectiv au același coeficient al capacității de moment k_{mf} , condiții care se exprimă prin relația

$$M_{fh} = k_{mf} n^2 D_s^5 = 2 k_{mf} n^2 D_d^5$$

de unde rezultă

$$D_s^5 = 2 D_d^5$$

respectiv

$$D_s = 1,1486 D_d$$

(7.12)

Cunoscând relația (7.4) și datele statistice din tabelul 7.1 se poate face comparație între greutatea frânei simple G_s și a frânei duble G_d în aceleasi condiții (același moment de frânare și același coeficient k_{mf})

$$G_s = 1970 D_s^{2,4}$$

$$G_d = 3304 D_d^{2,45}$$

(7.13)

Considerind conform celor arătate anterior
 $D_s = 1,1486 D_d$ rezultă

$$\frac{G_s}{G_d} = \frac{1970}{3304} D_d^{0,05}$$

Cum $D_d^{0,05}$ este foarte apropiat de 1 (în intervalul $D_d = 0,56 \dots 1,5$ m și valoarea $0,9714 \dots 1,0204$) rezultă

$$G_s = 0,5962 G_d$$

(7.14)

Se observă că frânele hidraulice simple apar ca foarte avantajoase sub aspectul greutății.

Pentru a se exprima nivelul tehnic relativ al frânelor hidraulice este necesară determinarea unei mărimi care să fie influențată de coeficientul de moment k_{mf} (parametru legat de momentul de frânare realizat dar independent de turatie și de diametrul activ al frânei) și de indicele de greutate A_i (legat de greutatea frânei și diametrul acestuia).

Pentru a exprima nivelul tehnic ținând seama deci de moment (prin coeficientul de moment k_{mf} și de indicele de greutate A_i) s-a considerat mărimea

$$H_t = \frac{k_{mf}}{A_i} \quad (7.15)$$

Lăsând ca element de referință nivelul tehnic al unei frâne hidraulice considerate produs etalon H_{to} se poate exprima nivelul tehnic relativ al altor frâne hidraulice i (notate cu b, c ...) prin relația

$$H_{tr} = \frac{H_{ti}}{H_{to}} \cdot 100 \quad (7.16)$$

De careoră în general produsele noi sănt superioare produsului etalon, acesta va avea un nivel tehnic relativ de 100% iar produsele noi un nivel caracterizat prin valori mai mari.

Analiza comparativă în raport cu un produs etalon reprezentat de o frînă hidraulică existentă de tip vechi, caracterizată prin indicele a unor construcții noi de frâne caracterizate prin indicii b, c.. trebuie făcută prin compararea indicilor specifiici k_{mf} , r_{ci}/r_{co} , A_i , H_i și a nivelului tehnic relativ H_{tri} .

Un exemplu de asemenea analiză este efectuată în anexă, pentru o frînă hidraulică FH 1000 de tip nou proiectată în baza metodologiei propuse în prezenta lucrare, în raport cu o frînă hidraulică de tip vechi FH 60 și o frînă hidraulică de construcție americană, recentă, V 200.

Realizarea unui produs nou, trebuie analizată și sub aspectul eficienței economice a introducerii progresului tehnic.

Indicatorii privind această eficiență se referă la :

- Beneficiu
- Reducerea costurilor de producție
- Reducerea consumurilor de materiale, energie, combustibil, etc.
- Creșterea productivității muncii
- Reducerea importului
- Creșterea exportului.

Eficiența economică estimată a asimilării frânei hidraulice FH 1000 în raport cu frâna de construcție veche FH 60 și cu frâna hidraulică realizată recent în SUA este prezentată în anexă.

8. CONCLUZII GENERALE

Teza de doctorat reprezintă o sinteză a cercetărilor teoretice și experimentale privind frânele hidraulice cunoscute pe plan mondial și contribuția autorului la rezolvarea problemelor de bază a acestora. Printre problemele abordate trebuie citate în primul rînd următoarele :

1. Elaborarea unei teorii unitare a frânelor hidraulice care să stabilească ecuațiile fundamentale și relațiile cu caracter general dintre parametrii geometrici și funcționali ai acestora.

2. Verificarea experimentală a teoriei elaborate prin încercarea pe stand a unor modele experimentale la scară redusă, proiectate în baza acesteia și stabilirea unor relații noi, cu caracter experimental, între parametrii caracteristici ai frânelor hidraulice.

3. Elaborarea unei metode de calcul și proiectare a frânelor hidraulice care să constitue aplicarea în producție a rezultatelor obținute și care să conducă la realizarea de frâne hidraulice cu indici tehnico-economici superiori, la nivelul celor mai bune realizări cunoscute în străinătate.

Cercetările teoretice și experimentale efectuate în cadrul lucrării permit să se prezinte în mod succint, în lumina problemelor abordate, următoarele rezultate și concluzii cu caracter general :

1.1. Pornind de la relațiile generale cunoscute ale mașinilor hidraulice s-au formulat într-o formă apropiată ecuațiile fundamentale ale frânelor hidraulice care exprimă momentul

de frânare M_{fh} și înălțimea de pompare H_{Rth} realizate de frâna hidraulică. Ecuatiile stabilite țin seama de particularitățile de funcționare a frinelor hidraulice și nu au fost pînă în prezent formulate în literatura tehnică în forma lor generală.

1.2. S-au stabilit o serie de relații generale care definesc proporțiile circuitului hidraulic al frînei în funcție de raportul $\frac{R_i}{R_e}$ al diametrelor interior și exterior al rotorului.

1.3. S-a efectuat un bilanț V energiilor V specifică definindu-se pierderile de sarcină prin frecare H_{PF} și pierderile de sarcină prin soc H_{SC} caracterizate prin coeficientul global al pierderilor de sarcină prin frecare ζ și coeficientul de soc γ_{sc} . Prin introducerea coeficientului de formă γ , pentru care s-au indicat metode originale de determinare, s-a stabilit o relație între coeficientul ζ și coeficientul de frecare λ .

1.4. Pentru coeficientul capacitatei de moment k_{mf} care caracterizează performanțele energetice ale frînei hidraulice s-a stabilit o relație de caracter general în funcție de proporțiile geometrice ale frînei caracterizate de raportul

$\frac{R_i}{R_e}$, unghiul paletelor β_{α_2} , coeficienții ζ , γ_{sc} , coeficientul vitezelor λ_v și greutatea specifică γ a lichidului utilizat în frînă.

1.5. Pentru coeficientul k_{mf} a fost elaborat un program de calcul care a fost rulat pe un calculator electronic IBM 370. Valorile obținute pentru k_{mf} acoperă întreg domeniul de variație al parametrilor $\frac{R_i}{R_e}$, β_{α_2} , ζ , γ_{sc} . Influența individuală a acestora asupra valorii lui k_{mf} a fost evidențiată prin reprezentări grafice.

1.6. Pornind de la relațiile de asemănare generale ale mașinilor hidraulice, la constantele și funcțiile acestora

au fost selectate mărimele care pot caracteriza cel mai bine frânele hidraulice.

Cercetarea teoretică efectuată a permis să se stabilească relații care scot în evidență dependența coeficientilor k_{mf} , \mathcal{S} , a coeficientului vitezei tangențiale k_{ur} , a coeficientului vitezei meridionale k_{vm} , a sarcinii H_{eth} și a debitului unitar Q_u de coeficientul vitezelor k_v , de proporțiile geometrice ale circuitului hidraulic al frânei (raportul q_{ie}) și de unghiul paletelor β'_{el} .

Relațiile generale stabilite au un caracter original și permit precizarea parametrilor de funcționare k_{mf} , k_{ur} , k_{vm} , \mathcal{S} , H_{eth} și Q_u în funcție de coeficientul k_v .

1.7. Relațiile teoretice stabilite au fost utilizate la analiza unui număr de 14 frâne hidraulice realizate în străinătate. Din analiza efectuată a rezultat o foarte bună corespondență între parametrii determinați conform relațiilor teoretice stabilite și valorile rezultate din parametrii indicați de constructor.

2.1. Pentru verificarea experimentală a teoriei elaborate pentru frânele hidraulice, au fost proiectate, realizate și încercate două tipuri de frâne hidraulice, modele experimentale la scară redusă, cu diametrul activ al rotorului de 200 mm și cu cinci variante de rotori-statori cu 9/8, 13/12 și 17/16 palete rotorice respectiv statorice.

Variantele realizate și încercate succesiv au condus în final la performanțe energetice deosebite, depășind toate valorile de coeficient de moment k_{mf} rezultate din recalcularea performanțelor celor mai bune frâne hidraulice realizate în străinătate.

2.2. Performanțele energetice caracterizate prin momentul de frânare realizat au crescut sensibil datorită

- măririi numărului de palete rotorice și statorice.
- măririi presiunii lichidului de alimentare
- introducerii alimentării centrale în zona centrală a torului circuitului hidraulic.

Optimizarea variantelor a permis și atenuarea accentuată a fenomenelor de histerezis între curbele dus și întors și evitarea desprinderii curbei de moment de parabola teoretică.

2.3. Prelucrarea rezultatelor experimentale a confirmat toate concluziile teoretice stabilite în lucrare și în special corelația dintre valorile adiacente ale coeficientilor k_{af} și ζ și dependența mărimilor și coeficientilor H_{es} , k_{ur} , k_m , Q_1 și ζ de coeficientul vitezelor k_v , proporțiile geometrice și unghiul paletelor, conform relațiilor cu caracter general stabilite în lucrare.

2.4. Influența mărimii presiunii lichidului de alimentare a frânei, alimentarea centrală, alegerea corespunzătoare a numărului de palete rotorice și statorice precum și execuția îngrijită a elementelor circuitului hidraulic s-a dovedit determinante pentru obținerea unor performanțe de frânare ridicate.

2.5. Prelucrarea rezultatelor experimentale a socotit în evidență și dependența dintre coeficientul de frecare λ și mărimea $\frac{Z}{2\pi} \frac{1}{k_v}$ sub forma unei drepte în coordonate logaritmice, deosebit de utilă pentru proiectarea unor frâne hidraulice noi.

3.1. În baza cercetării teoretice și experimentale efectuate s-a elaborat o metodologie de calcul și proiectare a frânelor hidraulice care a fost aplicată la proiectarea unei frâne hidraulice cu diametrul activ al rotorului de 1000 mm.

3.2. În cadrul tezei a fost elaborată și o metodologie de analiză tehnico-economică a frânelor hidraulice care a fost

aplicată concret la aprecierea eficienței economice a asimilării frînei hidraulice FH 1000.

Teza de doctorat elaborată deschide perspectiva adâncirii și aprofundării rezultatelor obținute, în special în privința influenței presiunii de alimentare asupra performanțelor energetice ale frînelor hidraulice.

Contribuția autorului prin cercetările teoretice și experimentale efectuate în cadrul lucrării va conduce la assimilarea unei noi familii de frîne hidraulice, cu caracteristici mult superioare celor existente în țară, la nivelul celor mai bune realizări din străinătate, prin efort propriu, fără import de licență sau de modele experimentale.

EXEMPLU DE CALCUL

1. Proiectarea frânei hidraulice FH 1000

Se cere o frână hidraulică dublă cu un singur sens de frânare avind caracteristicile :

$$M_{fh} = 3200 \text{ kgfm}$$

$$n = 100 \text{ rot/min.}$$

Pentru un singur sens de frânare se consideră

$$\beta'_{R2} = \alpha'_{r1} = 45^\circ$$

și preliminar

$$k_{mf} = 0,185$$

Valoarea aleasă are în vedere faptul că acea cum rezultă din relația (6.1) trebuie să se țină seama de prezența paletelor. În aceste condiții între valoarea teoretică k_{mf} care este indicată în fig.6.1 și valoarea reală k'_{mf} care ține seama de prezența paletelor există relația 6.2 presupunându-se deco o valoare corectată a coeficientului capacitatei de moment

$$k'_{mf} = 0,160$$

Diametrul frânei rezultă din relația (6.1)

$$D = \left(\frac{M_{fh}}{2k'_{mf} n^2} \right)^{\frac{1}{3}} = 0,9713811$$

Valoarea obținută se rotunjeste la

$$D = 1,000 \text{ m}$$

Raportul $\varrho_{ie} = R_i/R_e$ se alege $\varrho_{ie} = 0,4$ valoarea

foarte frecventă așa cum rezultă din datele statistice. Rezul-

tă deci

$$D_1 = 2r_e \quad D = 0,400m$$

Diametrul de ieșire și de intrare la rotor ale firului echivalent de lichid se determină cu ajutorul relațiilor (6.3) respectiv (6.4) rezultând

$$D_2 = R_e \left(1 + \sqrt{\frac{1 + 2/r_e^2}{2}} \right) = 0,880m$$

$$D_3 = R_e \left(2/r_e + \sqrt{\frac{1 + 2/r_e^2}{2}} \right) = 0,580m$$

Celelalte elemente geometrice ale circuitului hidraulic se adoptă conform figurii 6.3 avind valorile

$$R_3 = 115 \text{ mm}$$

$$R_4 = 175 \text{ mm}$$

$$R_5 = 90 \text{ mm}$$

$$H = 118 \text{ mm}$$

$$L = 240 \text{ mm}$$

$$j = 4 \text{ mm}$$

Numărul paletelor rotorului se alege conform fig.6.4.

$$Z_r = 24$$

iar numărul paletelor statorului

$$Z_s = 23$$

Grosimea paletei se alege preliminar

$$S = 0,008 \text{ m}$$

Grosimea alesă corespunde execuției rotorului și statorului prin asamblare prin sudură corpul fiind realizat din oțel turnat iar paletele din tablă laminată.

Grosimea paletei în planul frontal este dată de relația 3.1.34

$$s' = \frac{s}{\cos \beta'_{Re}} = 0,011313 \text{ m}$$

Coefficientul grosimii paletei σ' este dat de relația (3.1.36).

$$\sigma' = \frac{s'}{R_e} = 0,022627 \text{ m}$$

Cu aceste elemente se poate determina coefficientul de corecție al coefficientului de moment

$$\frac{1 + 2i_e - \frac{\pi \sigma'}{H}}{1 + 2i_e} = 0,8791009$$

Coefficientul capacitatii de moment

$$k_m = 0,185$$

Pentru această valoare a coefficientului capacitatii de moment rezultă din fig.6.1.

$$k_y = 0,625$$

$$S = 1,140$$

$$k_{UR} = 0,365$$

$$k_{ym} = 0,590$$

Cunoscind diametrele D_2 și D_1 se pot calcula vitezele tangențiale pentru $n = 100 \text{ rot/min.}$

$$u_{R2} = \frac{\pi D_2 n}{60} = 4,607669 \text{ m/s}$$

$$u_{R1} = \frac{\pi D_1 n}{60} = 3,036892 \text{ m/s}$$

Relația (6.5) permite să se calculeze sarcina creierată de rotor H_{Rth}

$$H_{Rth} = \frac{u_{Re}^2}{2g k_{UR}^2} = 8,122278 \text{ m}$$

Relația 6.6 permite să se calculeze componenta meridională a vitezei absolute la ieșirea din rotor

$$v_{m_2} = k_{vm} \sqrt{2g H_{rel}} = 7448013 \text{ m/s}$$

Secțiunea de trecere a fluidului A_2 este dată de relația (6.8)

$$A_2 = \frac{\pi}{2} (R_e^2 - R_i^2) - \frac{R_e - R_i}{2} sZ = 0,289986588 \text{ m}^2$$

Debitul de fluid ce trece prin frâna este dat de relația (6.10)

$$Q = v_{m_2} A_2 = 2,159823937 \text{ m}^3/\text{s}$$

Viteza relativă la ieșirea din rotor

$$w_{re} = \frac{v_{m_2}}{\sin \beta'_{R_2}} = 10,53303334 \text{ m/s}$$

Cu valorile obținute se poate recalcula coeficientul global al pierderilor prin frecare ξ .

Pierderea de sarcină prin soc H_{sc} dată de (6.14) este pentru $\gamma_{sc} = 1$

$$H_{sc} = \frac{1}{2g} (1 + q_{12}^2) v_{R_2}^2 = 1,5521515 \text{ m}$$

ξ se recalculează din relația (6.12).

$$\xi = \frac{H_{rel} - H_{sc}}{\frac{w_{re}^2}{2g}} = 1,162004712$$

Coefficientul de formă τ se determină cu ajutorul relației (3.1.77) în care conform relației (3.1.75)

$$A_p = 2(Z_R + Z_S) A_{1p} = 3,71441$$

respectiv conform relației (3.1.76)

$$A_{1or} = 2\pi \frac{R_e + R_i}{2} S_p - \frac{Z_R + Z_S}{2} S' S_p = 1,5814061$$

Suprafața paletei $A_{1,P} = 0,039515 \text{ m}^2$ și lungimea arcului paletei $S_p = 0,818 \text{ m}$ s-au determinat prin planimetrire respectiv măsurare pe paletă în mărime naturală, construită conform indicațiilor privind fig.3.1.7.

În aceste condiții conform (3.1.77)

$$\gamma = \frac{A_P + A_{tor}}{4A_2} = 4,5655699$$

Relația (3.1.73) permite determinarea coeficientului de frecare longitudinal λ

$$\lambda = \frac{\gamma}{\tau} = 0,2545147$$

Curba din figura 5.41 care exprimă relația determinată experimental dintre λ și mărimea $\frac{Z}{2\pi} \frac{1}{k_v}$ permite recalculara lui k_v .

Pentru $\lambda = 0,25451$ rezultă din fig.5.41 $\frac{Z}{2\pi} \frac{1}{k_v} = 6$ de unde

$$k_v = 0,62335$$

valoare foarte apropiată de aceea rezultată din fig.6.1.

Cu elementele cunoscute, cu ajutorul relației (3.1.91) se poate recalcula momentul de frânare

$$M_{fx} = \frac{Q H_{ret} \gamma}{\omega} = 1675,203565 \text{ kgfm}$$

$$M_{fh} = 3350,40713 \text{ kgfm}$$

Ansamblul frânei hidraulice este prezentat în figura A₁.

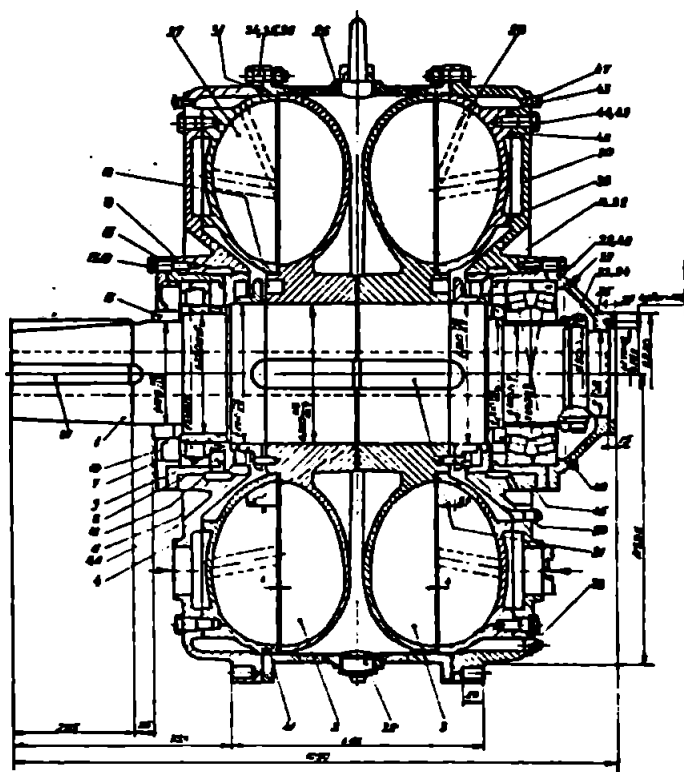


Fig. A1

2. Analiza tehnico-economică a frânei hidraulice FH 1000 și determinarea eficienței economice a asimilării.

Nivelul tehnic al frânei hidraulice FH 1000 va fi analizat în comparație cu frâna hidraulică de construcție veche FH 60 realizată în țara noastră, cu frâna hidraulică V 200 de construcție nouă, realizată în SUA și frâna hidraulică TG 1200, realizată recent în URSS.

Caracteristicile tehnice care definesc nivelul tehnic, precizate în capitolul 7, ale celor 3 tipuri de frâne sunt indicate în tabel

Parametrul sau indicele	U.M.	Tipul frânei hidraulice			
		FH60	FH1000	V200	TG1200
Indicele caracteris.		a	b	c	d
Diametrul activ D	m	1,524	1	1,168	1,200
Greutatea proprie G	kg	3500	2382	4120	2730
Moment de frânare la $n=100 \text{ rot/min}$	kgfm	1808	3350	6899	713
Coeficient de moment k_{mf}		0,011	0,1675	0,1587	0,014342
Raport ν_{ci}/ν_{co}		1	0,751	0,512	1,591845
Indice $A_i = G/D^2$		1531	2382	2816	1746,5
Exponent statistic α		2,45	2,45	2,45	2,45
Coefic.statistic A		1685	3304	3304	1685
Indice al niv.tehn. $H_t = (k_{mf}/A_i) \times 10^6$		7,1848	70,319059	56,356534	8,2118522
Nivel tehn.relativ $H_{tri} = (H_{ti}/H_{ta}) \times 100$	%	100	978,719	784,385	114,294

Din tabel se observă următoarele .

Frânele FH 1000 și V 200 realizează viteze de introducere v_c sensibil mai mic decât frâna de referință FH 60 ceea ce să cum să arătat este avantajos.

Afăt coeficientul de moment k_m și indicele de greutate $A_i = \frac{G_i}{D_i^2}$ au valori avantajoase în raport cu valorile statistice. Frâna hidraulică FH 1000 cu parametrii estimati în baza încercării modelului experimental se apreciază ca superioară frânei hidraulice V 200, una dintre cele mai bune ale firmei americane Parmao.

Pentru caracterizarea nivelului tehnic relativ s-a considerat indicele $(k_m / A_i) \times 10^6$ raportat la indicele corespunzător al frânei hidraulice FH 60.

Se observă că frâna hidraulică FH 1000 are un nivel tehnic superior în proporție de aproape 1000% mai ridicat ca la frâna hidraulică de referință FH 60.

Eficiența economică a asimilării frânei hidraulice FH 1000 se determină considerind că ea va înlocui frâna hidraulică veche FH 60 la o parte din trolleyile de foraj pentru adâncimi de foraj pînă la 4000 - 5000 m.

Eficiența economică a introducerii progresului tehnic datorită realizării frânei hidraulice FH 1000 se evidențiază prin indicatorii :

- reducere consum net de metal Δm_n
- modificare preț datorită creșterii calității producției Δb
- creștere export ΔF_x
- reducere import E_v

Reducerea consumului de metal Δm_n se evidențiază cu ajutorul relației

$$\Delta m_n = \Delta M Q,$$

în care

ΔM este economia de metal pe unități de produs Q , producția de unități fizice după aplicarea progresului tehnic.

Considerind un volum de fabricație de 20 buc. frâne hidraulice pe an rezultă pe 5 ani și $\Delta M = 3500 - 2382 = 1118$ kg.

$$\Delta m_1 = 1118 \times 20 \times 5$$

$$\Delta m_1 = 111,8 \text{ tone metal pe cincinal.}$$

Având în vedere că s-au considerat greutățile nete economia reală va fi mai mare, de ordinul a 130 tone.

Sporul de beneficiu Δb ca urmare a modificării prețurilor datorită creșterii calității producției (creșterea performanțelor și parametrilor tehnico-economici) se determină cu ajutorul relației

$$\Delta b = Q_1 (\rho_1 - \rho_0)$$

în care ρ_0 și ρ_1 sunt prețurile de producție înainte și după aplicarea progresului tehnic.

Prețul de producție al frânei hidraulice FH 60 este de $\rho_0 = 93700$ lei.

Prețul de producție al frânei hidraulice noi FH 1000 nu a fost considerat egal cu al frânei hidraulice vechi FH 60 ci s-a determinat pe considerentul echivalenței funcționale.

Ca parametru de referință pentru stabilirea prețului s-a luat momentul de frânare realizat la 100 rot/min.

Tinând seama de momentele de frânare rezultă :

$$\rho_1 = 93700 \frac{3350}{1808}$$

$$\rho_1 = 173000 / \text{ei}$$

Sporul de beneficiu pe 5 ani este în aceste condiții
 $\Delta b = 20 \times 5 \times (173000 - 93700)$

$$\Delta b = 7930000 / \text{ei}$$

Datorită performanțelor superioare frâna hidraulică nouă poate fi exportată atât în cadrul instalațiilor de foraj oficiale și individual pentru înlocuirea frânelor existente.

Considerind că circa 70% din instalațiile de foraj pe care le echipează sunt exportate rezultă că un număr de 14 buc. frâne hidraulice FH 1000 se vor livra la export.

Se apreciază că numărul de frâne hidraulice FH 1000 exportate individual poate fi în medie de 6 buc. anual lucru care nu a fost avut în vedere anterior.

În aceste condiții creșterea exportului ΔE_x pe 5 ani se determină astfel

$$\Delta E_x = \Delta E_{x_1} - \Delta E_{x_0}$$

Considerind că o frână hidraulică FH 60 este vândută cu un preț extern de 28000 \$ iar o frână hidraulică FH 1000 poate avea un preț extern de ordinul a 42.500 \$.

Acest preț a fost stabilit pornind de la prețul din 1972 al frânelor hidraulice Parmao tip 342 și V 200 de 15903 \$ respectiv 26535 \$ (pentru care există prețuri de catalog). Conform escaladării prețurilor în perioada 1972 - 1979 ar rezulta practic o dublare a prețurilor ceea ce ar reprezenta 31806 \$ respectiv 53070 \$. S-a considerat frâna hidraulică FH 1000 ca fiind la mijlocul intervalului (diametre active de 0,863 m respectiv 1,168 m în raport cu 1 m) pentru care s-a luat exact valoarea medie de 42500 \$.

Se menționează că acest preț nu este exagerat întrucât la cererea de ofertă pentru o frână hidraulică model tip Parmao 481 (greutate 1765 kg) s-a primit în 1978 o ofertă cu un preț de vînzare de 64405 \$.

Creșterea exportului pe o perioadă de 5 ani indicată în lei valută este deci

$$\Delta E_x = 5 \times 14 \times 4,97 (42500 - 28000) + 5 \times 6 \times 4,97 \times 42500$$

$$\Delta E_x = 11381300 \text{ lei valută}$$

Reducerea importului E_v rezultă din economia de valută

$$E_v = V_o - V_f$$

unde

V_o reprezintă cheltuielile în valută înainte de aplicarea progresului tehnic.

V_f cheltuielile în valută după aplicarea progresului tehnic.

Se are în vedere economia rezultată datorită renunțării la modelul experimental Parmao 451.

$$E_v = 64405 \times 4,97$$

$$E_v = 320092 \text{ lei valută.}$$

B I B L I O G R A F I E

1. Alexopolski D : Ghidrodinamiceskie peredaci. Maşghiz Moskva 1963
2. Anton I : Influenţa parametrilor geometrici şi dinamici asupra caracteristicilor energetice şi cavitătionale ale turbinelor axiale I şi II. Studii şi cercetări de mecanică aplicată 1971 Tomul 30 nr. 3 şi 4.
3. Anton I : Curbe caracteristice de cavitatie la maşinile hidraulice (turbine şi pompe). Comunicările conferinţei de maşini hidraulice Timişoara 1964.
4. Anton V, Popovici M : Hidraulică şi maşini hidraulice Editura Didactică şi Pedagogică Bucureşti 1979
5. Bărglăzan A : Maşini hidraulice Vol. I şi II Litografia IPT Timisoara 1951
6. Bărglăzan A, Dobînda V : Turbo transmisiile hidraulice Editura Tehnică Bucureşti 1957
7. Bărglăzan A, Anton V, Anton I, Preda I: Încercările maşinilor hidraulice şi pneumatice. Editura Tehnică Bucureşti 1959
8. Berzănescu A : Calculul şi construcţia utilajului petrolier; Maşini hidraulice petroliere Editura de Stat Didactică şi Pedagogică Bucureşti 1961
9. Bălăică I, Cristea V, Hirsch I, Peligrad N, Silion Gh: Utilaj petrolier pentru foraj şi extractie. Editura Tehnică Bucureşti 1968.
10. Cristea V : Aspecte ale utilizării frânelor hidraulice la troliile de foraj . Petrol si Gaze XIX (1960) Nr. 10
11. Cristea V, Cretă G, Ivan DP, Ardeleanu P: Etanşări Editura Tehnică Bucuresti 1973.
12. Csanady GT: Theory of Turbomachines ,Mc Graw Hill Book Company, New York, San Francisco, Toronto, London 1964
13. Daugerty R, Franzini J: Fluid Mechanics with Engineering Applications. Mc Graw-Hill Book Company. New York, San Francisco,

14. Dobîndă V : Contribuția laboratorului de mașini hidraulice din Timișoara la stadiul formelor optime ale unor organe de mașini hidraulice. Comunicările conferinței de mașini hidraulice Timișoara 1964.
15. Dumitrescu D, Cazacu M : Stadiul teoretic și experimental al curgerii lichidelor reale prin labirintii turbomașinilor hidraulice. Comunicările conferinței de mașini hidraulice Timișoara 1964.
16. Eck Bruno, Technische Strömungs lehre. Springer Verlag Berlin Göttingen, Heidelberg 1957.
17. Eck Bruno Ventilatoren . Springer Verlag Berlin, Göttingen, Heidelberg 1957.
18. Erdöcseny A : A comparison of the unsteady Operating properties of two dissimilar types of hydraulic brakes. Acta Technica Academiae Scientiarum Hungaricae. Akadémiai Kiadó Budapest Tomus XXII Fasciculi 1 - 2.
19. Efendiev TH. Novfi ghidrodinamiceskii tormaz izgotavlenii zavodom im leit Smidta, Mașinfi i hefteanoe oborudovanie 1975 nr. 2.
20. Fataliev MD: Ghidrodinamiceskii tormoz burovoi lebedki. Azerneftneşr Baku 1960.
21. Gavrilenko BA, Minin V.A, Olovnikov IS: Ghidrovlicheskie tormaza . Maşghiz Moskva 1961.
22. Gavrilenko BA, Miniu V.A, Ghidrodinamiceskie mufti, Oboronghiz 1959.
23. Grabow G : Einfluss der Schaufelform an das Kennlinienverhalten von Peripherial Seiten Kanal pumpen und hydrodinamischen Strömungskupplungen (Föttinger rinzip). Maschinenbau technic 31 (1972) 3.
24. Gyulay F, Anton V, Deleanu M : Cîteva probleme actuale în cercetarea fenomenului de cavitatie. Comunicările conferinței de mașini hidraulice Timișoara 1964.
25. Hutařew G : Einführung, in die Technische Hydraulik Springer Verlag Berling, Heidelberg, New - York 1973.
26. Iaremenko O V : Ispitaniia nasosov. Mašinostroenie Moskva 1976.
27. Ketala HN, Mc. Grew JM : Pressure, Frictional Resistance and Flow Characteristics of the Partially Wetted Rotating Disk. Journal of Lubrication Technology April 1968.

28. Kickbusch E : Föttinger - Kupplungen und Föttinger Getriebe. Springer Verlag Berlin Göttingen Heidelberg 1963
29. Kisbocskey L: Über die Änderung des Strömungswiderstandes in schnell rotierenden Rohrleitungen. Acta Technica Academiae Scientiarum Hungaricae. Academicae Kiado Budapest Tomus XXII Fasciculi 1-2
30. Kisbocskey L, Stvrteczky F: Calculul influenței factorilor care fac să varieze puterea esură parametrilor de calcul a turboambreiajelor. Comunicările conferinței de mașini hidraulice. Timișoara 1971
31. Kober K.I. : Funktion von Strömungs - Bremsen VDIZ 108 (1966) 22 - Aug. și VDIZ 108 (1966)-Sept.
32. Kocikarev A : Ghidrodinamiceskie peredaci Mašgiz Moskva 1971
33. Kosynu G : Untersuchung an radial durchströmten Dichtspalten mit ebenem Spaltwandungen unter Berücksichtigung von Parallelitätsfehlern. Dissertation, Technische Hochschule Braunschweig 1976.
34. Kugel Fritz: Hydrodynamische Kraftübertragung Krausskopf Verlag Wiesbaden 1962.
35. Lusar R : Der hydraulische Drehmomentwandler und die hydraulische Kupplung. Carl Hauser Verlag, München 1961.
36. Moering UK : Untersuchung des radialen druckverlaufes und des übertragenen Drehmomentes in Radseitenraum von Kreiselpumpen bei glatter, ebenen Radseitenwand und bei Anwendung von Rückenschaufern . Dissertation Technische Hochschule Braunschweig 1976.
37. Müller H: Möglichkeiten der hydrodynamischen Bremsung von Schnellfahrzügen . Leichtbau der Verkehrsfahrzeuge Heft 4, 1996
38. Nagel W.S : Truck Retarder - Design and Development. SAE Paper 650266 August 1966.
39. Nagopian N.K: Rasciot osevih sil v ghidrodinamiceskih peredaci Mašinostrojenie . Moskva 1975.
40. Narayan Rao The Basic Theory of Hydraulic Dynamometers and Retarders SAE Paper 680178.
41. Oprecht Ulrich: Untersuchungen von hydrodynamischen Kupplungen MTZ 16 (1955) Okt. 1955.
42. Osipov KG : Trubopereadaci burovih ustavovok Gostoptehizdat Moskva

43. Peligrad N : *Unele probleme, teoretice și experimentale ale turboambreiajelor.* Construcția de Mașini 1964 nr.1.
44. Pfleiderer C: *Die Kreiselpumpen für Flüssigkeiten und Gase* Springer Verlag Berlin 1955.
45. Pfleiderer - Peterman *Strömungsmaschinen* Springer Verlag Berlin Göttingen Heidelberg 1964.
46. Preda I *Fenomenul de cavitatie la turbinele hidraulice. Cercetări efectuate la laboratorul de mașini hidraulice din Timișoara* 1964
47. Praskura G F : *Ghidrodinamica turbomasin* Mașghiz Moskva 1954.
- 48 Rumiski LZ : *Prelucrarea matematică a datelor experimentale.* Editura Tehnică București 1974.
49. Schmidt H : *Funktion und Anwendung der hydrodynamischen Strömungs bremse als verschleiss und wartungsfreie Bremsen in Schwerfahrzeugen Öl hydraulik und Pneumatik* 18(1974)2.
50. Stesin SP, Iakovenko : *Ghidrodinamiceskie peredaci Mašinostroenie* Moskva 1973.
51. Timm K: *Untersuchungen an Föttinger-Kupplungen* Dissertation, Technische Hochschule Hannover 1958.
52. Timm K: *Untersuchungen an Föttinger - Kupplungen* ATZ 61(1959)3
53. Trutnovsky K: *Berührungs freie dichtungen* VDI Verlag Düsseldorf 1964.
54. Vasilescu Al : *Analiză dimensională și teoria similitudinii.* Editura Academia RSR București 1969.
55. Walden F, Nüssler L, Liebau G Köhler H: *Erfahrungen bei der Drehmomentmessung mit Torsionsdynamometern, Pendel motoren und Wasserbremsen.* Maschinenbautechnik 12 (1963)10 și 12(1963)11.
- 56 Wolf M: *Strömungskupplungen und Strömungswandler* Springer Verlag Berlin, Göttingen und Heidelberg 1962.
- * 57 Parkersburg Hydromatic Brakes . The Parkersburg Rig Reel Company Coffeyville Kansas.
- * 58. Hydromatic Brakes and Hydrotarders Parmac INC Coffeyville, Kansas 67337-1966
- * 59. Hydraulische Leistungsbremsen Carl Schneck AG Darmstadt. 1970
- * 60. Hydrodinamische Getriebe Kupplungen Bremsen Voith Getriebe kG Heidenheim Mainz. Krausskopf 1970.
- * 61. Frina Zöllner 12 n 56 - Instrucțiuni exploatare 1969